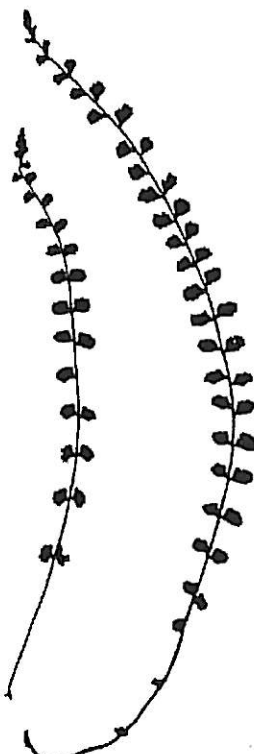
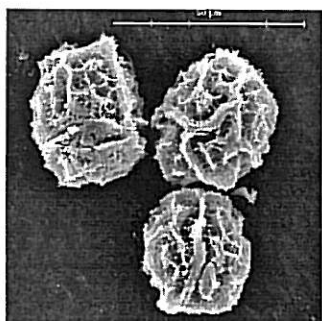


Jihočeská univerzita v Českých Budějovicích  
Biologická fakulta  
Katedra botaniky



Magisterská diplomová práce

# Revize polyploidního komplexu *Asplenium trichomanes* agg. na území České republiky



Libor Ekrt

2003

Školitel: Ing. Milan Štech, Ph.D.

EKRT L. (2003): Revize polyploidního komplexu *Asplenium trichomanes* agg. na území České republiky [Revision of the *Asplenium trichomanes* polyploid complex in the Czech Republic. Mgr. Thesis, in Czech.] – 76 p., + 37p. Suppl., Faculty of Biological Sciences, University of South Bohemia, České Budějovice, Czech Republic.

Anotace:

A taxonomic and phytosociological investigation of the *Asplenium trichomanes* complex (*Aspleniaceae, Pteridophyta*) in the area of the Czech Republic is presented. Four subspecies *Asplenium trichomanes* subsp. *trichomanes*, *A. t.* subsp. *quadrivalens*, *A. t.* subsp. *pachyrachis*, *A. t.* subsp. *hastatum* were found in the Czech Republic. Material from 42 localities in the whole area of the Czech Republic was studied cytologically and morphologically. Existing characters were examined and a suitability of new ones was tested. All four taxa can be recognized on basis of the study of morphological characters. The distribution map of each subspecies (based on own material and on the revision of herbarium specimens from the largest herbarium collections) is carried out. Key for the subspecies of the *Asplenium trichomanes* is presented. An illustration copies of the fronds of the subspecies and their hybrids in the area of the Czech Republic are included.

Tato práce byla podpořena studentskými granty – *Mattoni awards for Studies Biodiversity and Conservation* (USA) v roce 2001 a 2002

Prohlašuji, že jsem tuto magisterskou diplomovou práci vypracoval samostatně pouze s použitím citované literatury.

V Českých Budějovicích dne 23. 4. 2003

.....  
Libor Ekrt

„ Zjištěné zajímavosti, ale i zdánlivě jednoduchá či z hlediska běžného člověka i malicherná fakta se postupně mění v racionální poznání struktury a zákonitostí živých systémů, které lidstvu umožní osvobodit se od pověr a tajemných sil a usnadní mu orientaci ve světě, v kterém žijeme.“

Zdeněk Veselovský

## **Poděkování**

*Řada lidí se zde často omezuje pouze na frázi, že děkuji všem, kteří jim v práci pomohli. Myslím si, že i přes to, že výčet díků může být obsáhlý, všechny dobré duše si zde jmenovitě zaslouží patřičné vyjádření díku.*

*Na prvním místě bych zde chtěl poděkovat svému školiteli **Milanu Štechovi**, za všeobecnou podporu, četné rady, přátelký přístup, za cennou literaturu a pomoc při shánění kontaktů na ty pravé lidi. Za vstřícnost, toleranci, povzbuzování, řadu podnětných připomínek, za nakreslení ilustrativních obrázků a za pomoc při dohledávání lokalizací z herbářových položek děkuji především **Ester Hofhanzlové**. K pochopení a ujasnění studované problematiky mi velmi pomohli zahraniční konzultanti **Dipl.-Biol. Helga Rasbach** (Glottental, Německo), **Stefan Jessen** (Chemnitz, Německo) a **Karsten Horn** (Uttenreuth, Německo), kterým tímto děkuji za přínosné metodické připomínky, řadu cenné literatury a především prvním dvěma za determinaci některých problematických rostlin. Dále musím poděkovat **Emilii Hofhanzlové** za sponzorské dary a za sehnání potřebných chemikalií. **Janu Sudovi** patří velké díky za obětavou pomoc při analyzování a interpretaci vzorků metodou průtokové cytometrie v Botanickém ústavu AV ČR v Průhonicích. Za určení nemálo vzorků mechiorostů z fytocenologických snímků děkuji **Jiřímu Košnarovi** a **Janu Kučerovi**, za rady v oblasti snímkování a fytocenologie děkuji **Milanovi Chytrému**, za neocenitelné rady při obtížích se statistickým zpracováním bych chtěl poděkovat **Petrů Šmilauerovi** a **Janu Šuspovi Lepšovi**. Nemalé díky patří také kurátorům veřejných herbářových sbírek především **Milanu Markovi** a **Jiřímu Hadincovi** za hodnotné rady při luštění herbářových sched a velmi vstřícný přístup. Za vzorky ze Středního Povltaví, pravopisné korektury práce a anglicky psaných dopisů do zahraničí děkuji **Lindě Podlenové**, za přeložení stěžejního německého separátu **Janu Robovskému**, do zasvěcení programu **Dmap Markovi Bastlovi** a za další dílčí rady, připomínky, nálezy a pomoc si zaslouží mé díky **František Procházka**, **Karel Kubát**, **Aleš Hájek**, **Jan Mertlík**, **Jan Vondrák** a řada dalších.*

*Velké díky patří také všem knihovnicím společné knihovny AV a BF JU za ochotu vstřícnost, řadu potřebných informací a především obětavost, se kterou byly rozesílány žádanky o články do knihoven celé České republiky i do zahraničí. Nakonec nesmím také opomenout poděkovat osazenstvu studentské pracovny 105 na "botanické vile", které statečně trpělo moji okupaci počítače Water elemental v průběhu sepisování této práce. V poslední řadě bych chtěl zde ještě vzdát díky svým věrným pomocníkům Subaru Justy NAJ 28 – 17, mikroskop Olympus CH30 a laptopu Extensa 650 CDT, bez kterých by dokončení této práce nebylo možné. Tímto také děkuji vlastníkům za jejich zapůjčení.*

# **Obsah**

|   |           |
|---|-----------|
| <b>1 Úvod.....</b>  | <b>1</b>  |
| 1.1 Úvod do problematiky .....  | 1         |
| 1.2 Cíle práce .....  | 4         |
| 1.3 Přehled problematiky komplexu <i>Asplenium trichomanes</i> agg. v Evropě .....                                | 5         |
| 1.3.1 Objev rozdílných cytotypů, historické a nomenklatorické problémy .....                                      | 5         |
| 1.3.2 Diploidní taxony.....   | 5         |
| 1.3.3 Tetraploidní taxony .....   | 6         |
| 1.3.4 Hexaploidní cytotypy .....  | 8         |
| 1.3.5 Přehled udávaných charakteristik a znaků pro středoevropské taxony komplexu <i>A. trichomanes</i> agg. .... | 10        |
| 1.3.6 Přehled vnitrodruhové hybridizace komplexu <i>A. trichomanes</i> agg. v rámci střední Evropy.....           | 11        |
| 1.3.7 Přehled literatury studia problematiky komplexu .....   | 13        |
| <b>2 Metodika a materiál .....</b>  | <b>14</b> |
| 2.1 Sběr dat .....  | 14        |
| 2.2 Kultivace rostlin.....  | 16        |
| 2.3 Stanovení ploidního stupně.....   | 16        |
| 2.4 Morfometrie .....   | 17        |
| 2.4.1 Hodnocené znaky .....   | 17        |
| 2.4.2 Statistické zpracování.....   | 19        |
| 2.5 Rozšíření jednotlivých poddruhů v ČR .....  | 20        |
| 2.6 Zpracování fytocenologických snímků.....  | 21        |
| 2.7 Skenovací elektronový mikroskop (SEM).....  | 21        |
| 2.8 Nomenklatura a terminologie .....   | 22        |
| <b>3 Výsledky .....</b>   | <b>23</b> |
| 3.1 Stanovení ploidního stupně.....   | 23        |
| 3.2 Morfometrie .....   | 26        |
| 3.2.1 Vzájemné korelace mezi znaky.....   | 26        |
| 3.2.2 Analýza hlavních komponent (PCA) .....  | 26        |
| 3.2.3 Diskriminační analýza.....  | 31        |
| 3.2.4 Rozdíly hodnot jednotlivých znaků .....   | 35        |
| 3.2.5 Poznámky k některým významným determinačním znakům .....  | 36        |
| 3.2.5.1 Délka výtrusů.....  | 36        |
| 3.2.5.2 Délka a charakter prstence na výtrusnici .....  | 36        |
| 3.2.5.3 Délka oddenkových plevin a přítomnost přívěsků na plevinách.....  | 38        |
| 3.2.5.4 Vzdálenost mezi lístky na vřeteni v 7/8 délky čepele .....  | 39        |
| 3.2.5.5 Celkový charakter lístků.....   | 40        |
| 3.2.5.6 Délka lístků v 1/4 délky čepele .....   | 41        |
| 3.2.5.7 Přítomnost lemu na okrajích lístků.....   | 41        |
| 3.2.5.8 Charakter a barva vřetenové lišty .....   | 42        |
| 3.2.5.9 Žlázky na spodní straně lístků .....  | 43        |
| 3.3 Hybridní taxony .....   | 44        |
| 3.4 Revize rozšíření jednotlivých taxonů komplexu .....   | 45        |
| 3.5 Charakteristika poddruhů nalezených v ČR .....  | 46        |
| 3.6 Fytocenologie.....  | 54        |
| 3.6.1 Zpracování fytocenologických snímků .....   | 54        |

|  |           |
|--|-----------|
| 3.6.2 Syntaxonomický přehled a zařazení snímků do svazů..... | 59        |
| <b>4 Diskuse.....</b>  | <b>60</b> |
| 4.1 Průtoková cytometrie .....                               | 60        |
| 4.2 Vymezení taxonů komplexu <i>A. trichomanes</i> agg. .... | 60        |
| 4.3 Vhodnost taxonomické kategorie. ....                     | 61        |
| 4.4 Porovnání některých znaků s literaturou.....             | 62        |
| 4.5 Fytocenologická vazba taxonů komplexu.....               | 65        |
| <b>5 Závěr.....</b>  | <b>68</b> |
| <b>6 Použitá literatura.....</b>                             | <b>70</b> |
| Přílohy  |           |

# 1 Úvod

## 1.1 Úvod do problematiky

Polyploidizace a hybridizace jsou velmi důležitými mechanizmy diverzifikace a následné speciacie mnoha skupin cévnatých rostlin (BRIGGS et WALTERS 1997). Tyto procesy mohou vést k morfologické i ekologické diferenciaci populací s odlišnou ploidní úrovní či populací hybridních za vzniku nových unikátních taxonů.

U kapradorostů je jedním z nejvýznamnějších zdrojů genetické diverzity proces allopolyploidizace, který se může projevit i opakováně (WERTH et al. 1985). Dalšími zdroji variability může být proces autopolyploidizace nebo vzácněji může vzniknout nová polyplodní rostlina spontánní indukcí gametofytu při somatické regeneraci (LAWTON 1932). Zcela opačným procesem (doposud ne zcela prozkoumaný) je u kapradorostů indukovaná apogamie, kdy nový jedinec vzniká přímo z gametofytu bez pohlavního procesu. Rostliny takto vzniklé obsahují pouze poloviční počet obvyklých chromosomových sad – z původně tetraploidních rostlin vzniknou pouze diploidní (MANTON et WALKER 1954). Odhaduje se (KLEKOWSKI et BAKER 1966; WALKER 1979), že 96 % existujících leptosporangiálních druhů kapradin je polyplodního původu (základní chromozomové číslo je větší než 27). Hypotéza zdůvodňující vysoký ploidní stupeň předpokládá, že tyto vysoké ploidní počty byly vyselektovány s cílem zvýšení genetické variability u leptosporangiálních kapradin. Oboupohlavná gametofytní stádia těchto rostlin jsou často samooplozena a vzniklé generace se mohou rychle stát vysoce homozygotní a ztráct kapacitu na uchování a zvyšování genetické variability nezbytné k tomu, aby zůstaly evolučně aktivní. Jednotlivé linie rostlin se proto stávají polyplodními jako adaptace na škodlivé účinky inbreedingu (KLEKOWSKI 1973). Proces polyploidizace tedy jistě hraje velmi důležitou roli v evoluci a následné speciaci kapradin.

Čeleď *Aspleniaceae* FRANK (sleziníkovité) v Evropě reprezentuje poměrně dobře prostudovanou a zdokumentovanou skupinu leptosporangiálních kapradin, která se v současné době nachází v intenzivním speciačním vývoji. V České republice se čeleď člení do tří rodů – *Asplenium*, *Ceterach* a *Phyllitis* (KUBÁT et al. 2002). Podle širokého západoevropského pojetí (JERMY et VIANE 1992; VALENTINE et MOORE 1993; WISSKIRCHEN et HAEUPLER 1998) je čeleď v Evropě uváděna jako monotypická. Jediný rod *Asplenium* L. se dále člení do pěti podrodů. Tři podrody korespondují s dřívějšími rody *Asplenium* L., *Ceterach* DUCH. a *Pleurosorus* FÉE a další dva podrody *Phyllitis* (HILL) JERMY et VIANE a *Phyllitopsis* (REICHSTEIN) JERMY et VIANE jsou odvozeny z druhů v rámci bývalého rodu *Phyllitis* HILL.

Podrod *Asplenium* je charakterizován jednoduchými nebo složenými listy s olysalou čepelí a s volnými žilkami na lístcích, výtrusnicové kupky (sori) jsou jednoduché a ostěra (indusium) je přítomna (VALENTINE et MOORE 1993). Jedná se o skupinu drobných skalních kapradin téměř kosmopolitně rozšířených po celém světě, včetně výskytu několika taxonů v tropech (KRAMER et VIANE 1990). V širokém

pojetí rodu *Asplenium* je celosvětově známo více než 700 taxonů, což tvoří početně nejrozsáhlejší rod kapradin vůbec. V rámci ploidních úrovní jsou na světě běžně známy 2x, 4x, 6x, 8x a výjimečně lze na některých ostrovech (Cejon, Madeira) nalézt 12x případně (Jamajka) i 16x (LOVIS 1973).

V rámci rodu *Asplenium* je na území Evropy známo asi 50 taxonů, z nichž přibližně jedna polovina taxonů je diploidních a druhou polovinu tvoří polyploidní taxonomy odvozené od diploidů.

Oblasti, na které v Evropě v období pleistocénu zasahovalo zalednění (centrální část Evropy, Skandinávie, Britské ostrovy), jsou v současné době kolonizovány převážně polyploidními taxonomy. Diploidní taxonomy mají centrum rozšíření v oblasti Mediteránu (Iberský poloostrov, Itálie, Balkán) a v Makaronézii. V těchto oblastech pravděpodobně existovala v chladných obdobích pleistocénu řada refugii, kde přežily mnohé odolnější taxonomy (TREWICK et al. 2002).

Z oblasti centrální Evropy, Skandinávie a Britských ostrovů je známo pouze pět diploidních taxonů širokého rodu *Asplenium* (*Phyllitis scolopendrium*, *A. viride*<sup>1</sup>, *A. fontanum*, *A. cuneifolium*, *A. trichomanes* subsp. *trichomanes*), které pravděpodobně nemají přímou spojitost s refugii v Mediteránu a v době zalednění asi mohly přežít v refugiích centrální Evropy (VOGEL et al. 1999b).

Velký populační potenciál tetraploidních taxonů je dán rozdílnými reprodukčními schopnostmi vzhledem k taxonům diploidním. Tetraploidní taxonomy mohou kolonizovat nová území rychleji, protože jsou autogamické, a tedy schopné samooplození (intragametophytic selfing)<sup>2</sup>. Tímto způsobem jsou ale mnohdy téměř drasticky ochuzeny o potřebnou genetickou variabilitu a dochází zde k výraznému inbreedingu (SUTER, SCHNELLER et VOGEL 2000). Diploidní taxonomy naopak nejsou schopné samooplození a jsou zpravidla alogamické a sexuálně se rozmnožující. Tyto vlastnosti tedy neupřednostňují diploidy kolonizovat nová stanoviště, která jsou nyní „obsazena“ tetraploidy, jejichž velký rozmach nastal po posledním zalednění. Rozdílné rozšíření diploidů a od nich odvozených polyploidů spolu v kombinaci s rozdílným reprodukčním systémem, homo- či heterozygotností jejich genomu a substrátové specifitě vytváří z rodu *Asplenium* modelové rostliny pro pokusy o lokalizaci glaciálních refugii a rekonstrukci postglaciálních migračních cest v Evropě (VOGEL et al. 1999b).

<sup>1</sup> Problematika správného a platného názvu *Asplenium viride* Huds. byla v Evropě v nedávné době zkoumána. V mnohých renomovaných poměrně nových zahraničních flórách a klíčích (FREY et al. 1995, JERMY et VIANE 1992, ROTHMALER et al. 2000) je název tohoto taxonu uváděn jako *A. trichomanes-ramosum* L. Faktem je, že název *Asplenium viride* Huds. se původně vztahoval na abnormální zahradní formu (JERMY et JARVIS 1992) a měl by být podle pravidel (GREUTER et al. 2000) neplatný. Původní název taxonu podle Linného *A. trichomanes-ramosum* L. byl však označen jako neplatný, vzhledem ke své druhové předponě *trichomanes-* (podle kódů bot. nomenklatury [GREUTER et al. 2000] se název mění na *A. ramosum* L., a to nebylo nikdy pro tento taxon použito). Dosud běžně používané jméno *Asplenium viride* Huds. bylo tedy nakonec navrhнуто na konzervaci (ZIMMER et GREUTER 1994).

<sup>2</sup> Intragametophytic selfing – v rámci jednoho gametofytu (prothalia) je archegonium oplozeno geneticky zcela identickým spermatozoidem ze stejného gametofytu. Vzniklá rostlina je 100 % homozygotní (KLEKOWSKI 1973).

Překrývající se ekologické požadavky jednotlivých cytotypů a výše zmíněná rozdílnost kolonizačního potenciálu vedou k vytvoření kontaktních hybridních zón mezi cytotypy (KENTNER et MESLER 2000; PETIT, BRETAGNOLLE et FELBER 1999). Tvorba auto- a allopolyploidních taxonů z populací diploidů se zdá být běžnou a opakující se skutečností. Tento fenomén lze nalézt v Evropě u polyploidních komplexů rodů *Asplenium*, *Cheilanthes* a *Dryopteris* (VOGEL et al. 1999b). Například polyploidní cytotypy *Ceterach officinarum* v Evropě vznikly nezávisle na sobě nejméně šestkrát (TREWICK et al. 2002).

Asi nejtypičtější vlastnosti sleziníků jsou jejich vysoké nároky na charakter a pH substrátu – tzv. substrátová specifita (BÜSCHER et KOEDAM 1983, REICHSTEIN 1984). Asi dvě třetiny evropských taxonů r. *Asplenium* je kalcifilních, jedna třetina taxonů je zpravidla striktně kalcifobních a tři taxonomy se omezují téměř výhradně na hadcové substráty (VOGEL et al. 1999b).

Jednu z taxonomicky problematických skupin podrodu *Asplenium* tvoří komplex *Asplenium trichomanes* agg. Tento komplex je všeobecně považován za kritický z hlediska velmi podobné morfologie trofosporofylu, plasticity, nedostatku vhodných determinačních znaků a určitému podílu hybridizace v oblastech kontaktu více taxonů. Determinace jednotlivých taxonů komplexu je často značně obtížná, jelikož většina používaných znaků jsou znaky kvantitativní a některé další znaky běžně uváděné v literatuře mnohdy neumožňují spolehlivé určení konkrétního taxonu. V poslední době byly popsány v rámci komplexu nové taxonomy, které tak vyjasňují mnohé nepřehledné vztahy uvnitř komplexu (JESSEN 1995).

V Evropě se komplex *Asplenium trichomanes* agg. vyskytuje poměrně běžně s pravidelným rozšířením po celém kontinentu. Výjimku v tomto souvislém a relativně bohatém výskytu tvoří nejsevernější část Evropy, kde se projevují nepříznivé klimatické podmínky. Ve východní Evropě, kde je prozkoumanost flóry v porovnání se zbývající částí Evropy menší, není problematika komplexu dosud uspokojivě vyřešena (BENNERT et FISCHER 1993).

Na území střední Evropy bylo dosud zaznamenáno pět cytologicky, morfologicky a ekologicky (substrátová specifita) zřetelných taxonů komplexu *Asplenium trichomanes* agg., které jsou zpravidla odlišovány na úrovni poddruhů. Jsou známy cytotypy diploidní, triploidní, tetraploidní a vzácně i hexaploidní (BENNERT et FISCHER 1993; LOVIS 1964, MANTON 1950).

Ve flóře České republiky nebyly donedávna jednotlivé taxonomy v rámci komplexu *Asplenium trichomanes* agg. dostatečně rozlišovány (KŘÍSA 1988). V české literatuře první, avšak v dnešní době neúplný přehled problematiky podal Dostál (DOSTÁL 1989), který použil téměř doslovní překlad z německé flóry „Illustrierte flora von Mitteleuropa“ (REICHSTEIN 1984). Novější, ale velmi stručné poznatky a poznámky, předkládá nově vydaný Klíč ke květeně ČR (KUBÁT et al. 2002).

Problematikou skupiny *Asplenium trichomanes* agg. se na našem území doposud nikdo souborně nezabýval<sup>3</sup>, a proto ucelené údaje z oblasti České republiky zcela chybí.

## 1.2 Cíle práce

Cíle práce lze stručně shrnout do následujících bodů:

- 1) Vypracovat přehled problematiky komplexu *Asplenium trichomanes* agg. v rámci střední Evropy. *jsem po R*
- 2) Pokusit se o kultivaci taxonů v umělých podmínkách.
- 3) Stanovit ploidní úrovně vybraných vzorků.
- 4) Provést morfometrickou analýzu znaků používaných v literatuře a znaků nových u jednotlivých taxonů a stanovit jejich použitelnost k praktické determinaci taxonů.
- 5) Zjistit podíl hybridizace mezi jednotlivými poddruhy.
- 6) Provézt předběžnou revizi výskytu jednotlivých poddruhů v ČR na základě vlastních sběrů a největších veřejných herbářových sbírek.
- 7) Zhodnotit charakter rostlinných společenstev, ve kterých se jednotlivé taxony komplexu vyskytují.

---

<sup>3</sup> V minulosti se problematikou variability druhu *Asplenium trichomanes* v ČSR zabýval I. Klášterský, avšak pátrání po jeho údajném rukopisu z roku 1963 (KŘÍSA 1988 – p. 242, poznámka\*\*) bylo neúspěšné. Rukopis z tohoto roku není ani v soupisech rukopisů evidován a zřejmě již zmizel kdesi v propadlišti dějin. Další, kdo se danou problematikou částečně zabýval byla na Slovensku D. Fišerová (FIŠEROVÁ 1972), jejíž studium se zaměřovalo na *A. trichomanes* subsp. *inexpectans*. Její výsledky a determinace položek v herbářích jsou však velmi zavádějící. Novější poznámky o výskytu poddruhů (také z ČR) *A. trichomanes* a vnitrodruhových kříženců podává Jessen (JESSEN 1995).

## 1.3 Přehled problematiky komplexu *Asplenium trichomanes* agg. v Evropě

### 1.3.1 Objev rozdílných cytotypů, historické nomenklatorické problémy

Existence rozdílných cytotypů komplexu *Asplenium trichomanes*, stejně jako u řady dalších taxonů v rámci kapradorostů, byla známa od vydání souborné publikace „Cytologické a evoluční problémy kapradorostů“ (MANTON 1950), která znamenala průlom v bádání uvnitř jednotlivých kritických skupin kapradorostů. Zde byl poprvé objeven a popsán diploidní ( $2n = 72$ ) a tetraploidní ( $2n = 144$ ) počet chromozómů u evropského druhu *Asplenium trichomanes*. V roce 1962 byly popsány (MEYER 1962) dva evropské cytotypy *Asplenium trichomanes* jako samostatné taxony<sup>4</sup> – diploidní subsp. *bivalens* D. E. MEYER a tetraploidní subsp. *quadrivalens* D. E. MEYER.

Po popisu dvou odlišných cytotypů jako poddruhů vyvstal problém s typifikací *Asplenium trichomanes* L. (LOVIS 1964). Jelikož při popisu diploidního taxonu bylo pro nominální poddruh použito (MEYER 1962) jméno subsp. *bivalens* D. E. MEYER, což je v rozporu s Článkem 26 Mezinárodního kódu botanické nomenklatury (GREUTER et al. 2000, LANJOUW 1961), připravoval Rothmaler platnou typifikaci diploidního taxonu. Platná typifikace bohužel provedena nebyla, jelikož autor předčasně zesnul. Z jeho zpracování však vyplývá, že diploidní taxon má být nominálním poddruhem *Asplenium trichomanes* (ROTHMALER 1963).

Následně bylo chybě publikováno (FUCHS 1963) nové jméno pro diploidní taxon *A. trichomaniforme* H. P. FUCHS pouze s konstatováním „(*A. trichomanes* auct. p. p. non L. herb.)“. Toto jméno však bylo publikováno neoprávněně, jelikož už dříve existovalo starší homonymum *A. × trichomaniforme* WOYNAR pro hybridní taxon *A. trichomanes* × *A. adulterinum*.

Problematika ohledně typifikace druhu *Asplenium trichomanes* není dosud uspokojivě vyřešena a zdá se, že typ druhu není doposud stanoven.

### 1.3.2 Diploidní taxonomy

Na diploidním stupni jsou v rámci studovaného komplexu známy dva taxony – *A. trichomanes* subsp. *trichomanes* a subsp. *inexpectans*. V kontrastu se striktně kalcifobní subsp. *trichomanes* je subsp. *inexpectans* ekologicky naopak výhradně vázaná na vápenec (tzv. ekologický vikariant) a taxony zpravidla nikdy nerostou spolu. *A. trichomanes* subsp. *trichomanes* roste výhradně na slunných až polostinných kyselých (silikátových) substrátech (pH 4,8 – 6,8) (BÜSCHER et KOEDAM 1983) a na hadci. Naopak subsp. *inexpectans* LOVIS preferuje na stinné vápencové až dolomitické skalní biotopy (REICHSTEIN 1984). Mezi těmito poddruhy není znám žádný přirozený hybrid, ale v experimentálních podmínkách bylo zjištěno

<sup>4</sup> Při klasifikaci taxonů v rámci polyploidních komplexů kapradorostů se běžně používá úroveň poddruhu, jako vhodné řešení hierarchické úrovně, které tak může odrážet odlišnou ploidní úroveň taxonů (BROWNSEY 1976; HERRERO, PAJARÓN et PRADA 2001; TREWICK et al. 2002; VALENTINE et MOORE 1994).

(REICHSTEIN 1981), že po zkřížení obou taxonů vznikne plodné potomstvo (zcela bezproblémové párování v meióze s 0 – 2 univalenty). Zdá se tedy, že tyto dva taxony mají homologní genomy a v průběhu času došlo v minulosti k izolaci a ekologické diferenciaci populací (JESSEN 1995).

Objev diploidního taxonu na vápencích střední a jihovýchodní Evropy, který byl pojmenován (LOVIS 1964) jako *A. trichomanes* subsp. *inexpectans* LOVIS byl poměrně velkým překvapením, jak ostatně jméno taxonu napovídá. Z morfologického hlediska je (na rozdíl od subsp. *trichomanes*) subsp. *inexpectans* více variabilní. Existují zřetelné morfologické odlišnosti mezi zmiňovanými diploidními taxonomy. Jedná se o celkový tvar čepele, tvar lístků, velikost a tvar koncového lístku (viz tab. 1). Dle celkového charakteru rostliny se zdá jistě jednodušší odlišení subsp. *inexpectans* od subsp. *trichomanes*, než jejich rozlišení od některých forem tetraploidních taxonů (LOVIS 1964). V rámci Evropy se subsp. *inexpectans* vyskytuje poměrně vzácně na vápencích, a proto je zajímavostí, že ve Švédsku je subsp. *inexpectans* na vápencích stejně hojná jako subsp. *quadrivalens* (viz dále) (TIGERSCHIÖLD 1980).

### 1.3.3 Tetraploidní taxonomy

Tetraploidní cytotyp je na území Evropy zastoupen čtyřmi taxonomy. Asi nejběžnější a nejpolymorfnější je subsp. *quadrivalens* D. E. MEYER. Tento poddruh, který není edaficky specializovaný a roste na přirozených bazických, i na kyselých substrátech (pH 6,3 – 7,6) (BÜSCHER et KOEDAM 1983). Nevyhýbá se ovšem ani synantropním stanovištím jako jsou zdi či staré kamenné navážky. Morfologicky je tento taxon velmi podobný s diploidní subsp. *trichomanes*. Tato velká morfologická podobnost obou taxonů vychází z podobnosti genetické, jelikož tetraploidní subsp. *quadrivalens* vznikla autopolyploidizací z diploidní subsp. *trichomanes*. Potvrzení autotetraploidního původu subsp. *quadrivalens* bylo experimentálně prokázáno (BOUHARMONT 1972) indukovaným zdvojením chromosomové sádky. Autotetraploidní původ je také patrný při hybridizaci subsp. *quadrivalens* s dalšími příbuznými taxonomy, kdy v meioze dochází k tvorbě bivalentů autosyndesí<sup>5</sup> (RASBACH et al. 1991). Mohou být také pozorovány trivalenty, a to v případě vnitrodruhového triploidního ( $2n = 108$ ) křížence *A. trichomanes* nothosubsp. *lusaticum* (D. E. MEYER) LAWALRÉE (= subsp. *quadrivalens* × subsp. *trichomanes*), které také indikují blízký genomický vztah obou taxonů (BENNERT et FISCHER 1993; RASBACH et al. 1991).

Jelikož si jsou subsp. *trichomanes* a subsp. *quadrivalens* navzájem morfologicky velmi podobné (morfologicky asi nejobtížněji determinovatelné v rámci komplexu *A. trichomanes* agg.), není jejich determinace v řadě případů možná bez vhodných mikroznaků (viz tab. 1), jako je délka spor, délka oddenkových plevin aj. Délka oddenkových plevin je znak, který je nutný zohledňovat s jistou opatrností. U obou

<sup>5</sup> V průběhu meioze diploidního taxonu se každý jednotlivý chromozóm z jedné chromozómové sady spáruje se svým homologním ekvivalentem z druhé sady a vytvoří se chromozomový pár (bivalent). Tento proces párování chromozómů ve stejném rodičovském genomu se nazývá autosyndese (autosyndesis) (RASBACH et al. 1991).

poddruhů pleviny vykazují velkou variabilitu a porovnání je úspěšné pouze za předpokladu, jestliže jsou nejdelší pleviny ignorovány (LOVIS 1964).

Z makroskopických znaků je vhodným znakem tvar, velikost a celkový charakter lístečků (JERMY et VIANE 1992; LOVIS 1964; NYHUS 1987). U diploidního poddruhu se jedná o lístky jemné, tenké, malé, okrouhlé, na okrajích výrazně zubaté a na vřeteni od sebe zřetelně oddálené. Proto je tento poddruh také více citlivý na vyschnutí. Naopak subsp. *quadrivalens* se honosí výrazně většími, masivnějšími obdélníkovitými lístky na vřeteni relativně hustě nahloučenými, díky nimž může poddruh přežívat na suchých stanovištích. Netypické formy lístků mohou u subsp. *quadrivalens* vznikat na výrazně stinných stanovištích, kde mohou být tvary a velikosti lístků odlišné.

Bezesporu nejvzácnějším taxonem komplexu je subsp. *pachyrachis* (CHRIST) LOVIS et REICHST., která velmi vzácně osidluje stinné kolmé svislé stěny nebo převisy na vápencových a dolomitových skalách (LOVIS et REICHSTEIN 1980, 1985). Rostliny na skalách rostou ve spárách a v převisech s listy v přízemní růžici hvězdicovité přitisklými k podkladu a vytvářejí tak velmi charakteristickou životní formu. Jelikož rostliny rostou na extrémních stanovištích, kde je zoufalý nedostatek vody (jsou chráněny od přímých dešťových srážek), jsou prostřednictvím listů přitisknutých k podkladu adaptovány na redukci transpirace a přijímají vodu z pórů ve skále (VOGEL et al. 1999a).

Charakterem výskytu připomíná subsp. *pachyrachis* starý relikt přežívající v ekologicky specifickém prostředí na izolovaných neměnných biotopech, kde je ochráněn před konkurencí dalších rostlin (VOGEL et al. 1999a).

Z populačně-genetického hlediska je zajímavé, že nebyla nalezena žádná allozymová variabilita uvnitř jednotlivých populací *A. trichomanes* subsp. *pachyrachis* na rozdíl od značné allozymové variability mezi jednotlivými populacemi (VOGEL et al. 1999a). Obdobnou situaci ohledně genetické variability můžeme nalézt také u populací gametofytu *Trichomanes speciosum* v kontinentální části Evropy (RUMSEY et al. 1998).

V Evropě se subsp. *pachyrachis* vyskytuje roztroušeně na často izolovaných lokalitách od Španělska až po Řecko. Na Britských ostrovech byl *A. trichomanes* subsp. *pachyrachis* nalezen na řadě lokalit – ojediněle dokonce na starých zdech<sup>6</sup> normanských hradů (VOGEL et al. 1997), kde často roste v mnoha různých formách (popsány četné variety), které nejsou jednoznačně taxonomicky dořešeny (RICKARD 1989).

Z území ČR byla subsp. *pachyrachis* pravděpodobně dosud známa pouze z vápencových skal u Punkevní jeskyně v Moravském krasu (LOVIS et REICHSTEIN 1985), a proto byla zařazena v Červeném seznamu cévnatých rostlin ČR<sup>7</sup> v kategorii (C1) – kriticky ohrožené taxony (HOLUB et PROCHÁZKA 2000).

<sup>6</sup> Na rozdíl od kontinentální části Evropy, kde je taxon vázán pouze na přírodní vápence a dolomity, nikoliv na antropogenní stanoviště.

<sup>7</sup> V Červeném seznamu ohrožených taxonů ČR (HOLUB et PROCHÁZKA 2000) je uveden v kategorii C1 taxon *Asplenium trichomanes* subsp. *pachyrhachis*. Jedná se o chybnou ortografií jména stejně jako v případě chybné ortografie v Nové Květeně ČSSR (DOSTÁL 1989).

V poslední době byl nově popsán (JESSEN 1995) další tetraploidní taxon komplexu *A. trichomanes* subsp. *hastatum* (CHRIST) S. JESSEN. Jedná se o poměrně běžně se vyskytující taxon v rámci střední Evropy, který je z morfologického hlediska nejvíce podobný subsp. *quadrivalens*. Roste zpravidla ve spárách a převisech na vápencích, dolomitech a také na zdech. Kromě široké palety morfologických determinačních znaků (viz tab. 1) jsou pro tento taxon charakteristická výrazná ouška na lístcích v dolní části čepele, od kterých je odvozeno i jméno taxonu.

Spolu s popisem subsp. *hastatum* byly nově popsány (JESSEN 1995) čtyři vnitrodruhové hybridní taxony (viz kap. 1.3.6). Typová lokalita jednoho z nich (nothosubsp. *moravicum* S. JESSEN) pochází dokonce z Moravy od Punkevní jeskyně v Moravském krasu.

Pokud má být přehled taxonů evropského kontinentu úplný, je třeba ještě zmínit existenci dalšího tetraploidního vnitrodruhového taxonu *A. trichomanes* subsp. *coriaceifolium*, který se vyskytuje pouze na Baleárských ostrovech a v jižním Španělsku (RASBACH et al. 1990, 1991). Je zajímavostí, že živé rostliny mají na rozdíl od ostatních známých poddruhů lístky výrazně tuhé, kožovité, tmavě zelené, s nepravidelně zvlněnými okraji, které jsou dospodu podvinuté.

### 1.3.4 Hexaploidní cytotypy

Významným objevem v rámci komplexu *Asplenium trichomanes* agg. byl nález hexaploidního cytotypu ( $2n = 216$ ) nejdříve na Novém Zélandu (v r. 1956 LOVIS in BROWNSEY 1977) a pak v Austrálii. Tento cytotyp není dosud formálně popsán. Na Novém Zélandu je hexaploidní cytotyp hojně rozšířen především na Jižním ostrově a roste na kyselých i na bázických substrátech. Od jiných cytotypů se kromě rozdílné ploidie dá dobře rozpoznat specifickou strukturou oddenkových plevin a v průměru výrazně většími sporami (39–47 µm). Tetraploidní cytotyp (pravděpodobně subsp. *quadrivalens*), se zde vyskytuje poměrně vzácně (v kontrastu se situací v kontinentální Evropě, kde se jedná o nejčastější cytotyp) na roztroušených lokalitách po Severním ostrově. Jeho spory jsou v průměru 34–39 µm velké (BROWNSEY 1977).

Dalším hexaploidním taxonem je *A. trichomanes* subsp. *maderense* GIBBY et LOVIS, který byl nalezen v Makaronézii na ostrově Madeira (MANTON et al. 1986) a je taxonem pro tento ostrov endemickým.

Původ tohoto allohexaploidního taxonu byl zprvu odvozen (GIBBY et LOVIS 1989) od triploida (duplicace genomu) vzniklého hybridizací taxonů diploidního *Asplenium anceps* a *A. trichomanes* subsp. *quadrivalens*. Nejen celkovým habitem se tento taxon zdál nejvíce podobný druhému z rodičů. Velikost spor (35–40 µm) a plevin < 4,5 mm se zřetelně neliší od tetraploidních cytotypů (GIBBY et LOVIS 1989).

Studie Bennerta a Fischera (BENNERT et FISCHER 1993) však výše popsaný původ taxonu zpochybňuje. Zdůvodňují své pochyby tím, že sice uvedený předpoklad vzniku triploida (*A. anceps* × *A. trichomanes* subsp. *quadrivalens*) je logickým závěrem z palety taxonů, které jsou známy z ostrova Madeira, ale autoři uvažují možnost, že místo *A. anceps* by mohl být potenciálním rodičovským taxonem

také *A. trichomanes* subsp. *trichomanes*. Z území Madeiry není zatím subsp. *trichomanes* sice známa, ale jeho nalezení by nebylo žádným překvapením, jelikož existuje intenzivní přenos spor z Ameriky (převažující větrné proudění v části roku). V Severní Americe je na rozdíl od Evropy subsp. *trichomanes* nejběžnějším taxonem komplexu (MORAN 1982).

V kontinentální Evropě se hexaploidní cytotyp nachází velmi vzácně, a to vždy jen lokálně. První existence hexaploidní formy byla vzácně objevena v Belgii a ve Francii (BOUHARMONT 1968). Autor předpokládá, že objevený hexaploid je odvozen od triploida *A. trichomanes* nothosubsp. *lusaticum* (= subsp. *quadrivalens* × subsp. *trichomanes*), ale zveřejněná data o cytologii jsou bohužel nedostačující (RASBACH et al. 1991).

Nový objev další hexaploidní formy *A. trichomanes* (formálně dosud nepopsané) avšak pravděpodobně jiného původu než předchozí cytotyp, byl objeven v jižním Španělsku (BENNERT et al. 1989). Původ tohoto hexaploidního taxonu je odvozen na základě spontánního zdvojení chromosomů od triploida *A. trichomanes* nothosubsp. *malacitense* (= subsp. *coriaceifolium* × subsp. *inexpectans*) (RASBACH et al. 1991), který roste na téže lokalitě, kde byl výše uvedený hexaploid sebrán. Experimentálně byl původ hexaploidní ~~formy~~<sup>taxony</sup> potvrzen až výzkumem izozymů. U obou rodičovských taxonů a u zkoumaného hexaploidního cytotypu existovaly shodné unikátní genové lokusy, jejichž přítomnost nebyla u dalších taxonů komplexu potvrzena (BENNERT et FISCHER 1993).

### 1.3.5 Přehled udávaných charakteristik a znaků pro středoevropské taxony komplexu *A. trichomanes* agg.

Tab. 1: Přehled udávaných determinačních znaků a dalších charakteristik u pěti středoevropských poddruhů komplexu *Asplenium trichomanes* agg. Upraveno<sup>\*</sup> podle Jessena (JESSEN 1997).

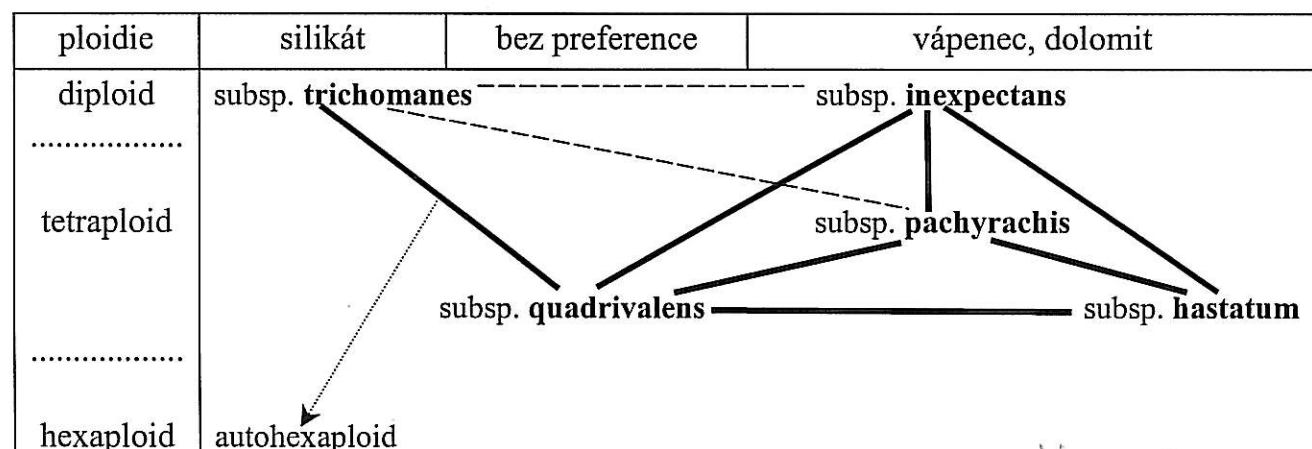
| Parametr                                | subsp.<br><i>trichomanes</i>   | subsp.<br><i>quadrivalens</i>  | subsp.<br><i>inexpectans</i>   | subsp.<br><i>pachyrachis</i>  | subsp.<br><i>hastatum</i>  |
|---|--|--|--|---|--|
| Počet chromozomů<br>Ploidie             | 2n = 72<br>diploid   | 2n = 144<br>tetraploid   | 2n = 72<br>diploid   | 2n = 144<br>tetraploid  | 2n = 144<br>tetraploid   |
| Růstová forma                           | listy vzpřímené  | listy vzpřímené  | listy vzpřímené  | listy hvězdicovitě uspořádané, přitisknuté k podkladu   | listy nálevkovitě vzpřímené nebo hvězdicovitě přitisknuté k podkladu   |
| Délka čepele [cm]                       | 6 – 20 (– 25)  | 6 – 25 (– 35)  | 4 – 12 (– 20)  | 1,5 – 12 (– 18)   | 2,5 – 15 (– 22)  |
| Celkový tvar čepele                     | dložitá a úzká k vrcholu zřetelně se zužující                          | dložitá a úzká k vrcholu se zužující                                   | relativně krátká a široká, k vrcholu zpravidla nezužená                                      | relativně krátká a široká, k vrcholu mírně se zužující  | relativně široká, k vrcholu zpravidla nezužená   |
| Počet lístkových párů na čepeli         | 14 – 29 (– 34)   | 16 – 32 (– 48)   | 10 – 20 (– 25)   | 10 – 24 (– 30)  | 10 – 22 (– 32)   |
| Uspořádání lístků                       | zřetelně oddálené, nejvýrazněji u vrcholu čepele                       | oddálené, někdy však relativně husté na vřetenu nahloučené             | oddálené až navzájem se dotýkající   | většinou hustě nahloučené, navzájem se dotýkající až střechovitě se překrývající                                | zpravidla hustě nahloučené, navzájem se dotýkající až překrývající, vzácně oddálené  |
| Charakteristika lístků ve středu čepele | okrouhlé až vejčité, na bázi většinou nesymetrické                     | obdélníkovité, vejčité až okrouhlé, na bázi větš. nesymetrické         | obdélníkovité, na bázi větš. nesymetrické, slabě ouškaté; slabý a jemný lem většinou zvlněný | obdélníkovité,; často až hrálovité, dvojitě ouškaté; na bázi ± symetrické; s nápadným světlým lemem             | obdélníkovité, téměř trojúhelníkovité, podlouhle oválné zpravidla hrálovité, dvojitě ouškaté; na bázi ± symetrické, někdy se svět. lemem |
| Okraj lístků                            | s četnými malými oblými zuby   | s četnými malými oblými zuby   | s četnými malými oblými zuby až téměř celokrajný   | s relativně malými, nápadnými, hluboce vykrojenými zuby, k lístkovému vrcholu směřujícími                       | většinou s četnými malými oblými zuby; někdy také jen se zvlněným okrajem; okraj mnohdy naspod lístku podvinutý                          |
| Koncový vrcholový lístek                | relativně malý a jednoduše členěný                                     | relativně malý a jednoduchý, větš. jednoduše členěný                   | často relativně široký, 3 – 5 dílný  | často relativně velký a široký; 3 – 5 (– 6) dílný   | často relativně velký a široký; 3 – 5 (– 6) dílný  |
| Žlázky na spodní straně lístků          | pouze nahnědlé, tvarem podobné degenerovaným šupinám, nebo listky lysé | pouze nahnědlé, tvarem podobné degenerovaným šupinám, nebo listky lysé | někdy s malými, světlými žlázkami ukončenými oranžovou koncovou buňkou                       | světlé žlázky ukončené oranžovou koncovou kulovitou nebo válcovitou buňkou; početné zejména v blízkosti vřetena | světlé žlázky ukončené oranžovou koncovou kulovitou nebo válcovitou buňkou; početné zejména v blízkosti vřetena                          |
| Vřeteno                                 | většinou slabé; vzpřímené nebo slabě zahnuté                           | silné až relativně slabé; vzpřímené nebo slabě zahnuté                 | slabé; vzpřímené nebo slabě zahnuté  | často nápadně ztlustlé; křehké, srpovitě až esovitě zaštítněné;   | ztlustlé a relativně křehké  |
| Pleviny                                 | dložité asi do 3,5 mm, s červenohnědým středním žebrem                 | dložité asi do 5 mm s tmavohnědým středním žebrem                      | dložité asi do 3,5 mm, s tmavě červenohnědým středním žebrem                                 | dložité asi do 5 mm s tmavě červenohnědým středním žebrem   | dložité asi do 5 mm s tmavě červenohnědým středním žebrem  |
| Délka spor [μm]                         | (23 –) 29 – 35 (– 42)  | (32 –) 34 – 42 (– 50)  | (23 –) 29 – 36 (– 42)  | (25 –) 31 – 42 (– 50)   | (32 –) 36 – 42 (– 50)  |

### 1.3.6 Přehled vnitrodruhové hybridizace komplexu *A. trichomanes* agg. v rámci střední Evropy

V této kapitole je uveden přehled vnitrodruhových hybridů vzniklých hybridizací taxonů v rámci komplexu *Asplenium trichomanes* agg. V této skupině může docházet jednak ke vzniku tetraploidních hybridů při křížení tetraploidních poddruhů a jednak ke vzniku triploidních hybridů při křížení diploidních a tetraploidních poddruhů. Hybridní jsou zpravidla morfologicky intermediární mezi rodičovskými taxonomy a mají vždy abortované spory (CUBAS, ROSELLÓ et PANGUA 1989; JESSEN 1995; LOVIS, RASBACH et REICHSTEIN 1989; LOVIS et REICHSTEIN 1985).

Kromě níže uvedených vnitrodruhových kříženců jsou známy další potenciální kříženci z experimentálních podmínek jako subsp. *inexpectans* × subsp. *trichomanes* (REICHSTEIN 1981, 1982, 1984) a subsp. *pachyrachis* × subsp. *trichomanes* (VOGEL et al. 1998b) (viz tab. 2). Hybridizační potenciál nedávno popsaného poddruhu subsp. *hastatum* není dosud zcela prozkoumán, ale experimentálně byly získány hybridní taxonomy s dalšími druhy rodu *Asplenium* (JESSEN 1995).

Tab. 2: Hybridizační a ekologické vztahy známých taxonů komplexu *Asplenium trichomanes* ve střední Evropě. Taxony se samovolně přirozeně kříží (—); taxony byly úspěšně zkříženy experimentálně (---); polyploidizace triploidních taxonů (…); (sestaveno podle materiálů BENNET et FISCHER 1993; CUBAS, ROSSELLO et PANGUA 1989; JESSEN 1995; LOVIS et REICHSTEIN 1985; REICHSTEIN 1981, 1984; VOGEL et al. 1998b).



*Asplenium trichomanes* subsp. *quadrivalens* × subsp. *trichomanes* = *A. trichomanes* nothosubsp. *lusaticum* D. E. MEYER, Ber. Deutsch. Bot. Ges. 74: 456 (1961). – Syn.: *A. lovisii* × *trichomanes* = *A. ×saxonicum* ROTHM., Exkurs.- Fl. Ergänz. Band 5 (1963) nom. nud.

Taxon více podobný subsp. *quadrivalens*, listy 18 – 20 cm dlouhé; výtrusy abortované; triploidní  $2n = 108$ ; roste zpravidla na silikátu na lokalitách spolu s rodičovskými poddruhy; znám běžně z mnoha evropských zemí (NYHUS 1987; REICHSTEIN 1981, 1984).

*Asplenium trichomanes* subsp. *inexpectans* × subsp. *quadrivalens* = *A. trichomanes* nothosubsp. *lucanum* CUBAS, ROSELLÓ et PANGUA, Candollea 44 (1): 181–190 (1989). – Syn.: *A. trichomanes* nothosubsp. *melzeri* LOVIS, RASBACH et REICHST., Candollea 44(2): 543–553 (1989).

Taxon více podobný subsp. *inexpectans*; apikální lístek je trojúhelníkovitý a zřetelně, ale méně hluboce dělený než u subsp. *inexpectans*. Subsp. *quadrivalens* má užší terminální lístek než hybrid. Hybrid je špatně rozlišitelný podle morfologických znaků, podobně jako oba rodičovské poddruhy. Dle celkového habitu je hybrid také podobný nothosubsp. *lusaticum*, která však roste výhradně na silikátu. Výtrusy abortované;  $2n = 108$  (triploid); roste na vápenci a dolomitu, pokud je přítomma subsp. *inexpectans*. Dosud znám z Baleárských ostrovů, Rakouska a jižního Španělska (CUBAS, ROSELLO et PANGUA 1989; LOVIS, RASBACH et REICHSTEIN 1989; RASBACH et al. 1991).

*Asplenium trichomanes* subsp. *hastatum* × subsp. *quadrivalens* = *Asplenium trichomanes* nothosubsp. *lovorianum* JESSEN Ber. Bayer. Bot. Ges. 65: 133–135, 1995. Rostliny intermediární mezi rodičovskými poddruhy, listy 10–20(–30) cm dlouhé; lístky vejčité až klínovité; výtrusy převážně abortované.  $2n = 144$  (tetraploid). Jedná se o nejrozšířenější hybrid, jehož rodičovským poddruhem je subsp. *hastatum*. Roste rozptýleně nebo často i osamoceně. Celkové rozšíření není dosud spolehlivě známo, pravděpodobně se nachází často na stanovištích, kde jsou přítomny oba rodičovské poddruhy. Potvrzený výskyt je z Německa, Rakouska, Itálie, Švýcarska, Čech, Slovenska a Maďarska (JESSEN 1995).

*Asplenium trichomanes* subsp. *hastatum* × subsp. *pachyrachis* = *Asplenium trichomanes* nothosubsp. *moravicum* JESSEN Ber. Bayer. Bot. Ges. 65: 133–135, 1995. Rostliny intermediární mezi rodičovskými poddruhy, listy 5–10(–18) cm dlouhé; vřeteno a řapík ztloustlé, pevné a křehké, výtrusy převážně abortované. Hybrid byl poprvé nalezen a popsán S. Jessenem z Moravského krasu z okolí Punkevní jeskyně (JESSEN 1995).

$2n = 144$  (tetraploid). Celkové rozšíření není dosud spolehlivě známo, pravděpodobně se nachází vzácněji často na stanovištích spolu se subsp. *pachyrachis*. Potvrzený výskyt je z Německa, Rakouska, Švýcarska a Čech (JESSEN 1995).

*Asplenium trichomanes* subsp. *hastatum* × subsp. *inexpectans* = *Asplenium trichomanes* nothosubsp. *melzerianum* JESSEN Ber. Bayer. Bot. Ges. 65: 133–135, 1995.

Rostliny intermediární mezi rodičovskými poddruhy, trochu více podobné subsp. *hastatum*; listy 5–20(–25) cm dlouhé; lístky obdelníkovité; výtrusy abortované;  $2n = 108$  (triploid). Hybrid poměrně snadno vzniká a roste buď osamoceně nebo roztroušeně mezi rodičovskými poddruhy, které převyšuje svou velikostí. Celkové rozšíření není dosud spolehlivě známo. Pravděpodobně se nachází vzácně na stanovištích spolu s rodičovskými poddruhy. Potvrzený výskyt je z Rakouska a Francie (JESSEN 1995).

*Asplenium trichomanes* subsp. *inexpectans* × subsp. *pachyrachis* = *Asplenium trichomanes* nothosubsp. *tadei-reichsteinii* JESSEN Ber. Bayer. Bot. Ges. 65: 133–135, 1995.

Rostliny intermediární mezi rodičovskými poddruhy, trochu více podobný subsp. *pachyrachis*, listy však nejsou hvězdovitě přitisknuté k podkladu, ale vějířovitě vzpřímené, 5–15(–20) cm dlouhé; vřeteno a řapík pevné a křehké; lístky 1,5–3x delší než široké, obdelníkovité; výtrusy abortované;  $2n = 108$  (triploid). Hybrid poměrně snadno vzniká a převyšuje velikostí rodičovské rostliny. Celkové rozšíření není dosud známo, potvrzený výskyt je pouze z Rakouska (JESSEN 1995).

*Asplenium trichomanes* subsp. *pachyrachis* × subsp. *quadrivalens* = nothosubsp. *staufferi* LOVIS et REICHST., Willdenowia 15(1): 187–201 (1985).

Rostliny velmi mohutné s poměrně vzpřímenými listy, zřetelně intermediární mezi rodičovskými poddruhy; listy 15–30 cm dlouhé a 1,5–2 cm široké, tmavě zelené, s několika drobnými trojúhelníkovitými lístky, přiloženými ke střednímu žebřu středem lístku jako u subsp. *pachyrachis*. Výtrusy abortované;  $2n = 144$  (tetraploid). Hybrid se vyskytuje na lokalitách spolu se subsp. *pachyrachis*, roste v mělkých jeskyňkách asi 2 m širokých na vápencových skalách. V terénu je snadno poznatelný. Celkové rozšíření není dostatečně známo, dosud nalezen v Německu, Čechách (Moravský kras, u Punkevní jeskyně), Francii, Švýcarsku Španělsku a Velké Británii (LOVIS et REICHSTEIN 1985; PEREZ CARRO et al. 1990; RASBACH et al. 1991; REICHSTEIN 1981; RICKARD 1989).

### 1.3.7 Přehled literatury týkající se problematiky komplexu

Taxonomická problematika a rozšíření jednotlivých taxonů komplexu *Asplenium trichomanes* agg. byly poměrně nedávno studovány zejména v Evropě, a to především v Německu (BENNERT et FISCHER 1993; DIEKJOBST 1997; GERKEN 1999; HAFFNER et WACHTER 1994; HILMER 2002; JESSEN 1995, 1999; LOVIS, RASBACH et REICHSTEIN 1989; RASBACH et al. 1990, 1991, SCHULZE 1990; STARK 2002) a ve Španělsku (CUBAS, ROSELLÓ et PANGUA 1989; HERRERO et al. 1993, PANGUA et al. 1989; PEREZ CARRO et al. 1990a; 1990b; PEREZ RAYA et al. 1986). Další výzkumy jsou známy z Francie (BOUDRIE 1988; PARENT, JEROME et THORN 1996), Skandinávie (NYHUS 1987, TIGERSCHIÖLD 1980, 1981), Portugalska (QUEIRÓS et ORMONDE 1990), Itálie (MARCHETTI et SOSTER 1992; MUCCIFORA et GORI 1995), Velké Británie (HACKNEY 1985; JERMY et PAGE 1980; RICKARD 1989; VOGEL et al. 1997), Makaronézie (LOVIS et al. 1977), Ameriky (MORAN 1982). Nové poznatky o této problematice pocházejí překvapivě z oblasti Číny (HOU et WANG 2000) a Ruska, kde byl nedávno popsán nový taxon *Asplenium trichomanes* subsp. *kulumyssense* STEPANOV z oblasti sibiřského Západního Sajanu (STEPANOV 1994).

Chl. n. odkaz?

## 2 Metodika a materiál

### 2.1 Sběr dat

Pro potřeby studia byly sebrány vzorky rostlin ze 42 lokalit (viz tab. 3). Lokality byly vybrány tak, aby jejich zastoupení pokrývalo různé biotopy (silikátové horniny, hadce, vápence, bazické substráty, zdi) a aby byly postihnutý všechny eventuálně možné taxonomy komplexu na území ČR. Výrazný důraz byl kladen na lokality na vápencích (Český kras, Moravský kras, Pálava, Horažovické vápence aj.).

Rostliny byly na lokalitách sbírány pokud možno náhodně, a to v počtu asi 15–20 jedinců<sup>1</sup> v rámci jedné lokality. Na lokalitách s malým zastoupením druhu *Asplenium trichomanes* musel být počet rostlin nižší, aby nebyla výrazně ovlivněna další existence populace; obzvlášť v případech vzácnějších taxonů.

Terénní průzkum probíhal ve vegetačních sezónách v letech 2001 a 2002. Dokladové sběry sebraných vzorků rostlin ze všech lokalit jsou uloženy v herbáři autora.

Tab. 3. Lokalizace studovaných lokalit.

$$1'' = \approx 10 \times 30 \text{ m}!$$

| Číslo lokality | Fytochorion (kvadrant středoevropské mapovací sítě): obec nebo orient. bod, přesná lokalizace, nadm. výška, zeměpisné souřadnice, datum.   |
|----------------|--|
| 1              | 37l. Českokrumlovské Předšumaví (7052d): Boršov nad Vltavou, silikátové skalní výchozy nad levém břehu Vltavy asi 1 km JZ od kostela v obci Boršov n./Vlt., asi 410 m n. m., 17. 11. 2001.                                       |
| 2              | 37b. Sušicko-horažďovické vápence (6648c): Horažďovice, žulové skalní výchozy místy obohacené bázemi asi 50 m V od zříceniny hradu Prácheň (NPR Prácheň), asi 1,5 km JV od centra obce Horažďovice, asi 500 m n. m., 9. 3. 2002. |
| 3              | 37b. Sušicko-horažďovické vápence (6748a): Hejná, rez. Pučanka, vápencové výchozy v severní části PR Pučanka asi 300 m JZ od centra obce, asi 530 m n. m., 9. 3. 2002.   |
| 4              | 37b. Sušicko-horažďovické vápence (6747b): Rábí, vápencový výchoz na JV úpatí vrchu Chanovec asi 1,5 km JZ od centra obce, 10. 3. 2002.  |
| 5              | 17b. Pavlovské kopce (7165d): Bavory vápencové výchozy v rez. Kočičí skála asi 1,2 km JV od kostela v obci, asi 345 m n. m., 48°49'579"N, 16°38'506"E, 5. 4. 2002.   |
| 6              | 17b. Pavlovské kopce (7165b) <sup>1</sup> : Klentnice, vápencové skály pod zříceninou Sirotčího hrádku asi 0,4 km SZ od kostela v obci, asi 430 m n. m., 48°50'714"N, 16°38'415"E, 5. 4. 2002.                                   |
| 7              | 17b. Pavlovské kopce (7165b): Horní Věstonice, vápencové skály, Martinské stěny asi 1,2 km JV od kostela v obci, asi 370 m n. m., 5. 4. 2002.  |
| 8              | 17b. Pavlovské kopce (7165b): Děvin, vápencové výchozy v údolí Soutěška asi 0,75 km JZ od vrcholu kopce Děvin, asi 370 m n. m., 48°51'821"N, 16°38'602"E, 5. 4. 2002.  |
| 9              | 58b. Polická kotlina (5463c): Maršov, Maršovské údolí, opukové skalní výchozy u Poradní skály asi 1,5 km JV od centra obce, asi 430 m n. m., 27. 4. 2002.  |
| 11             | 58b. Polická kotlina (5563b): Machov, pod Borem, opukový skalní výchoz v květnaté bučině asi 1,5 km J od kostela v obci, asi 580 m n. m., 25. 4. 2002.   |
| 12             | 37k. Křemžské hadce (7151b): Holubov, rezervace Bořinka, hadcové výchozy asi 1 km ZSZ od železn. stanice Holubov, asi 490 m n. m., 13. 5. 2002.  |
| 13             | 37k. Křemžské hadce (7152a): zřícenina hradu Dívčí kámen, hadcové výchozy u Křemžského potoka v rez. Holubovské hadce asi 1 km ZSZ od zříc. hradu, asi 470 m n. m., 13. 5. 2002.   |
| 15             | 70. Moravský kras (6666a): Pustý žleb, vápencové skály nad cestou asi 250 m SSV od rozcestí turistických cest Pod Salmovkou, asi 420 m n. m., 49°22'33.34"N, 16°43'23.66"E, 22. 7. 2002.   |
| 16             | 70. Moravský kras (6666a): Pustý žleb, vápencové skály nad cestou asi 500 m SSV od rozcestí turistických cest Pod Salmovkou, asi 440 m n. m., 22. 7. 2002.   |

<sup>1</sup> Pojem jedinec je zde myšlena skupina rostlin stejného genetického základu, která vytváří oddenek z něhož vyrůstá více rostlin (trofosporofylů) najednou.

Tab. 3. Lokalizace studovaných lokalit. (pokračování)

| Číslo lokality | Fytochorion (kvadrant středoevropské mapovací sítě): obec nebo orient. bod, přesná lokalizace, nadm. výška, zeměpisné souřadnice, datum.  |
|----------------|---|
| 17             | 70. Moravský kras (6666c): Býčí skála, vápencové výchozy nad vstupem do jeskyně Býčí skála, asi 350 m n. m., 22. 7. 2002.   |
| 18             | 77c. Chřiby (6869d): Buchlovice, obvodová zed' zámku Buchlov asi 6,5 km SSZ od kostela v obci, asi 500 m n. m., 49°6'27.74"N, 17°18'40.33"E, 23. 7. 2002.   |
| 19             | 68. Moravské podhůří Vysočiny (7161a): Hardegg, rulové výchozy asi 200 m JZ od Hardeggské vyhlídky, asi 320 m n. m., 48°51'23.11"N, 15°51'35.43"E, 24.7. 2002.  |
| 20             | 68. Moravské podhůří Vysočiny (7161a): Čižov, suťový svah asi 1,5 km Z od centra obce, asi 415 m n. m., 48°52'55.50"N, 15°51'6.21"E, 24. 10. 2002.  |
| 21             | 70. Moravský kras (6566c): Sloup, vápencové výchozy u vstupu do Sloupsko-Šošůvské jeskyně, asi 465 m n. m., 49°24'37.91"N, 16°44'18.93"E, 22. 7. 2002.  |
| 22             | 70. Moravský kras (6666c): Adamov, jeskyně Jáchymka v Josefovském údolí asi 2 km JZ od železn. stanice Adamov, asi 300 m n. m., 5. 5. 2001.   |
| 25             | 28e. Žlutická pahorkatina (6045b): Manětín, výchozy kyselé břidlice nad Manětínským potokem asi 1,1 km J od centra obce Brdo, asi 375 m n. m., 49°59'28.12"N, 13°15'37.18"E, 4. 9. 2002.  |
| 26             | 28e. Žlutická pahorkatina (5945b): Kotaneč, údolí Střely, kyselé břidlicové výchozy lokálně obohacené bázemi nad říčkou Střela asi 1,6 km V od centra obce, 410 m n. m., 50°0'58.65"N, 13°18'32.24"E, 4. 9. 2002.               |
| 27             | 28e. Žlutická pahorkatina (5945b): Rabštejn, kyselé výchozy břidlice asi 0,7 km JV od zříceniny hradu Rabštejn ve stejnojmenné obci, 375 m n. m., 50°1'45.21"N, 13°17'54.81"E, 4. 9. 2002.                                      |
| 28             | 63a. Žambersko (5964a): Litice n. Orlicí, obvodová zed' zříceniny hradu Litice u obce, asi 445 m n. m., 50°5'7.42"N, 16°21'5.84"E, 22. 9. 2002.   |
| 30             | 55d. Trosecká pahorkatina (5457c): Tachov, pískovcové skalní stěny ovlivněné bázemi asi 1 km Z od zříceniny hradu Trosky, asi 280 m n. m., 9.8. 2002.   |
| 31             | 59. Orlické podhůří (5663d): Šediviny, svorové skalní výchozy, skalní sruby asi 1,2 km JZ od osady, 29. 9. 2002. 31A. 570 m n. m., 50°17'57.76"N, 16°17'28.88"E, 31B, C. asi 550 m n. m., 50°17'56.72"N, 16°17'32.21"E.         |
| 32             | 59. Orlické podhůří (5763b): Skuhrov nad Bělou, obvodová hradiště zed' zříceniny Nového hradu (Klečkov), asi 3,5 km SV od centra obce, asi 480 m n. m., 50°15'10.99"N, 16°19'19.63"E, 29.9. 2002.                               |
| 33             | 15b. Hradecké Polabí (5662b): Nové Město nad Metují, bázické skalní výchozy v údolí Metuje asi 0,3 km JJV od železniční stanice, asi 280 m n. m., 50°21'1.24"N, 16°08'29.82"E, 29.9. 2002.                                      |
| 34             | 8. Český kras (6050d): Srbsko, vápencový suťový svah nad potůčkem v západní části rez. Koda, asi 700 m JZ od železniční zast. Srbsko, asi 320 m n. m., 49°55'57.85"N, 14°07'7.84"E, 6.10. 2002.                                 |
| 35             | 8. Český kras (6050d): Srbsko, bázické výchozy u ústí Císařské rokle v rez. Koda, asi 0,5 km JJV od železniční zast. Srbsko, asi 230 m n. m., 49°55'53.35"N, 14°7'59.54"E, 6.10. 2002.  |
| 36             | 8. Český kras (6051c): Karlštejn, vápencové výchozy nad silnicí z Karlštejna do Srbsko, asi 1,5 km V od mostu přes Berounsku v obci, asi 210 m n. m., 6.10. 2002.   |
| 37             | 8. Český kras (6050b): Hostim, vápencové výchozy nad silnicí asi 400 m S od centra obce, asi 210 m n. m., 49°57'49.54"N, 14°7'51.48"E, 6.10. 2002.  |
| 38             | 8. Český kras (6050b): Svatý Jan pod Skalou, vápencové skály asi 250 m JZ od obce, asi 200 m n. m., 49°57'56,2"N, 14°747,3"E, 7.8. 2002.  |
| 39             | 32. Křivoklátsko (5949d): Žloukovice, bázické výchozy v rez. Kabečnice asi 200 m SV od železniční zast. Žloukovice, asi 230 m, 50°1'0"N, 13°57'32"E, 7. 10. 2002.   |
| 40             | 32. Křivoklátsko (5949c): Křivoklát, kyselé výchozy v západní části rez. Brdatka, asi 2 km SV od hradu Křivoklát, asi 405 m n. m., 50°2'54,1"E, 14°747,3", 7.10. 2002.  |
| 41             | 32. Křivoklátsko (5949c): Křivoklát, kyselé skalní výchozy v západním okraji rez. Nezabudické skály, asi 2,5 km JZ od obce , asi 250 m n. m., 50°1'20,9"N, 13°50'8,6"E, 7.10. 2002.   |
| 42             | 32. Křivoklátsko (6048b): Hracholusky, bazické skalní výchozy v rez. Čertova skála asi 1,5 km JV od obce, asi 250 m n. m., 49°59'50"N, 13°47'29,9"E, 7.10. 2002.  |
| 43             | 32. Křivoklátsko (6048c): Skryje, kyselé výchozy v rez. Jezírka asi 2 km JJZ od obce, asi 280 m n. m., 49°56'51,7"N, 13°45'0,6"E, 7.10. 2002.   |
| 44             | 88a. Královský hvozd (6744d): Hamry, vrchol Ostrý, kyselé skalní výchozy s lokálním bazickým obohacením, pod chatou Gr. Osser v rez. Ostrý, asi 3 km VJV od osady Hamry, 1 276 m n. m., 49°12'12,3"N, 13°6'37,7"E, 14.10. 2002. |
| 45             | 37a. Horní Pootaví (6847c): Rejštejn, kyselé skalní výchozy nad silnicí mezi Rejštejnem a Anninem asi 1,5 km S od centra obce, asi 560 m n. m., 49°9'21,1"N, 13°30'50,6"E, 14.10. 2002.   |
| 46             | 37a. Horní Pootaví (6846d): Čeňkova pila, kyselé výchozy v rez. Paštecké skály nad Pašteckým mostem, asi 2 km S od Čeňkovy pily, asi 600 m n. m., 49°732"N, 13°29'35,3"E, 14. 10. 2002.   |
| 47             | 88b. Šumavské pláně (7148b): Stožecká kaple, žulové místy bázemi obohacené výchozy v rez. Stožecká skála, asi 100 m JZ od Stožecké kaple, asi 960 m n. m., 48°52'25,8"N, 13°49'17,8"E, 15. 10. 2002.                            |

## 2.2 Kultivace rostlin

Část rostlin odebraných ze studovaných lokalit byla kultivována ve skleníku AV ČR „Na Sádkách“ v Českých Budějovicích a část rostlin byla pěstována na soukromé zahradě autora (Hronov). Celkem bylo úspěšně kultivováno asi 200 rostlin. Rostliny byly přesazeny do substrátu dovezeného ze studované lokality nebo případně do obdobného náhradního substrátu. Kultivace rostlin byla provedena především pro následné zjištění ploidního stupně rostlin.

## 2.3 Stanovení ploidního stupně

Pro stanovení ploidního stupně zkoumaných rostlin byla použita poměrně elegantní metoda průtokové cytometrie (*flow-cytometry*). Celkově bylo analyzováno 119 rostlin z většiny studovaných lokalit. Jednalo se především o kultivované rostliny ze sběru v terénu a také o nekultivované rostliny dovezené „čerstvě“ z terénu. Měření bylo provedeno autorem na přístroji Partec PA II v Botanickém ústavu AV ČR v Průhonicích.

Pro kalibraci přístroje byly jako standardní vzorky použity diploidní druhy *Asplenium viride* (lok. 9), *A. cuneifolium* (lok. 13) a *A. fontanum* (Francie – Jura) a pro srovnání také *A. hemionitis* (Kanárské ostrovy – Gomera). Všechny uvedené druhy mají stejný počet chromozomů jako diploidní taxony komplexu *Asplenium trichomanes*.

Příprava vzorků pro vlastní měření byla provedena podle upravené metodiky prací (DOLEŽEL et GÖHDE 1995; OTTO 1990, <http://www.ueb.cas.cz/Olomouc1/lcgcm/index.htm>). Pro větší časovou efektivitu byla na doporučení J. Sudy níže uvedená metodika upravena (zkrácena) vypuštěním kroků 3–6, 8 bez snížení kvality provedené analýzy.

Metodika:

1. Rozsekání ca 20 mg listu (několik párů lístků *A. trichomanes*) ostrou žiletkou v 1 ml hypotonického roztoku Otto I<sup>2</sup>
2. Přefiltrování suspense přes 42 µm nylonový filtr (odstranění hrubých nečistot)
3. Centrifugace filtrátu (150g/5 min)
4. Odsátí supernatantu tak, aby ve zkumavce zbylo na spodu asi 100 µl
5. Rozmíchání usazeniny na dně zkumavky, přidání 100 µl roztoku Otto I
6. Inkubace asi 15 minut s občasným jemným protřepáním vzorku
7. Přidání 1 ml roztoku Otto II<sup>3</sup>
8. Přidání fluorochromu (DAPI, 4 µg/ml), barvení asi 15 minut
9. Měření

<sup>2</sup> Chemické složení roztoku Otto I: monohydrt kyseliny citronové (4,2 g) a 0,5% Tween 20 (1 ml), celkový objem roztoku 200 ml.

<sup>3</sup> Chemické složení roztoku Otto II: Na<sub>2</sub>HPO<sub>4</sub>.12H<sub>2</sub>O (0,4M; 28,65g), celkový objem roztoku 200 ml.

## 2.4 Morfometrie

### 2.4.1 Hodnocené znaky

Vzorky rostlin pro morfometrickou analýzu byly sebrány z 434 plodných rostlin, které byly po odebrání na lokalitě vylisovány a vysušeny. Hodnocení jednotlivých znaků bylo provedeno na herbářových položkách. Měření jednotlivých znaků na živých rostlinách nebylo možné jednak z časových důvodů, a jednak proto, že k měření některých znaků byl potřeba mikroskop s měřícím okulárem. Vzhledem ke skutečnosti, že měření znaků *sporlen*, *sporwid*, *annulen*, *annusmcl*, *scalen* (viz tab. 4, 5) bylo velmi časově náročné, nemohlo být studováno více rostlin.

Na každé studované rostlině bylo sledováno 44 znaků, které jsou v taxonomii rodu *Asplenium* považovány za významné. Byly zkoumány i další znaky, které se v průběhu zpracování zdaly být použitelné k rozlišení studovaných taxonů (viz tab 4, 5, obr. 1). Na postihnutí vztahu délky a šířky lístků bylo odvozeno dalších 5 znaků – poměrů (*pi7/8l/w*, *pi3/4l/w*, *pi1/2l/wb*, *pi1/4l/wb*, *enpil/w*). Ve výjimečných případech se stalo, že nemohl být příslušný znak naměřen, a tak byl chybějící údaj nahrazen průměrem z příslušného souboru dat. *— kde? —*

Při počátečním výběru znaků byl zvolen záměrně větší počet znaků měřených na rostlinách, a to především v celkové morfologii listu a lístků. V průběhu měření se některé z těchto znaků ukázaly jako zcela nesmyslné, a proto nejsou dále ve statistických analýzách použity (PCA a diskriminační analýza). Zároveň vyšší hodnoty korelačních koeficientů u hodnot měřených na lístcích (viz Příloha 1) přispěly ke snížení počtu sledovaných znaků. Redukce znaků byla provedena také na základě skutečnosti, že při použití PCA by se měl počet objektů blížit druhé mocnině analyzovaných znaků (souvisí s počtem stupňů volnosti) (MARHOLD et SUDA 2002). Znaky, které byly z analýz PCA a diskriminační analýzy vypuštěny, jsou tyto: *pet*, *int1*, *int1/2*, *int1/4*, *enpiwid*, *pi7/8wce*, *pi3/4wce*, *pi1/2wce*, *pi1/2l/w*, *pi1/4l/w*, *annusmcl*, *ind7/8pi*, *enpisum*. Žláznatost spodní strany lístků (znak *hairpin*) byla také zcela vyloučena ze zpracování, protože se ukázalo, že je tento znak u všech taxonů konstantní.

Hodnoty znaků na výtrusech *sporlen* a *sporwid* byly uvedeny jako průměr za 30 náhodně vybraných výtrusů na rostlinu. Znaky na prstenci výtrusnic *annulen*, *annusmcl*, na plevinách *scalen* a na šířce vřetena *rhowid* byly uvedeny jako průměr za 5 objektů na rostlinu.

Tab. 4: Kvalitativní znaky hodnocené na studovaných rostlinách

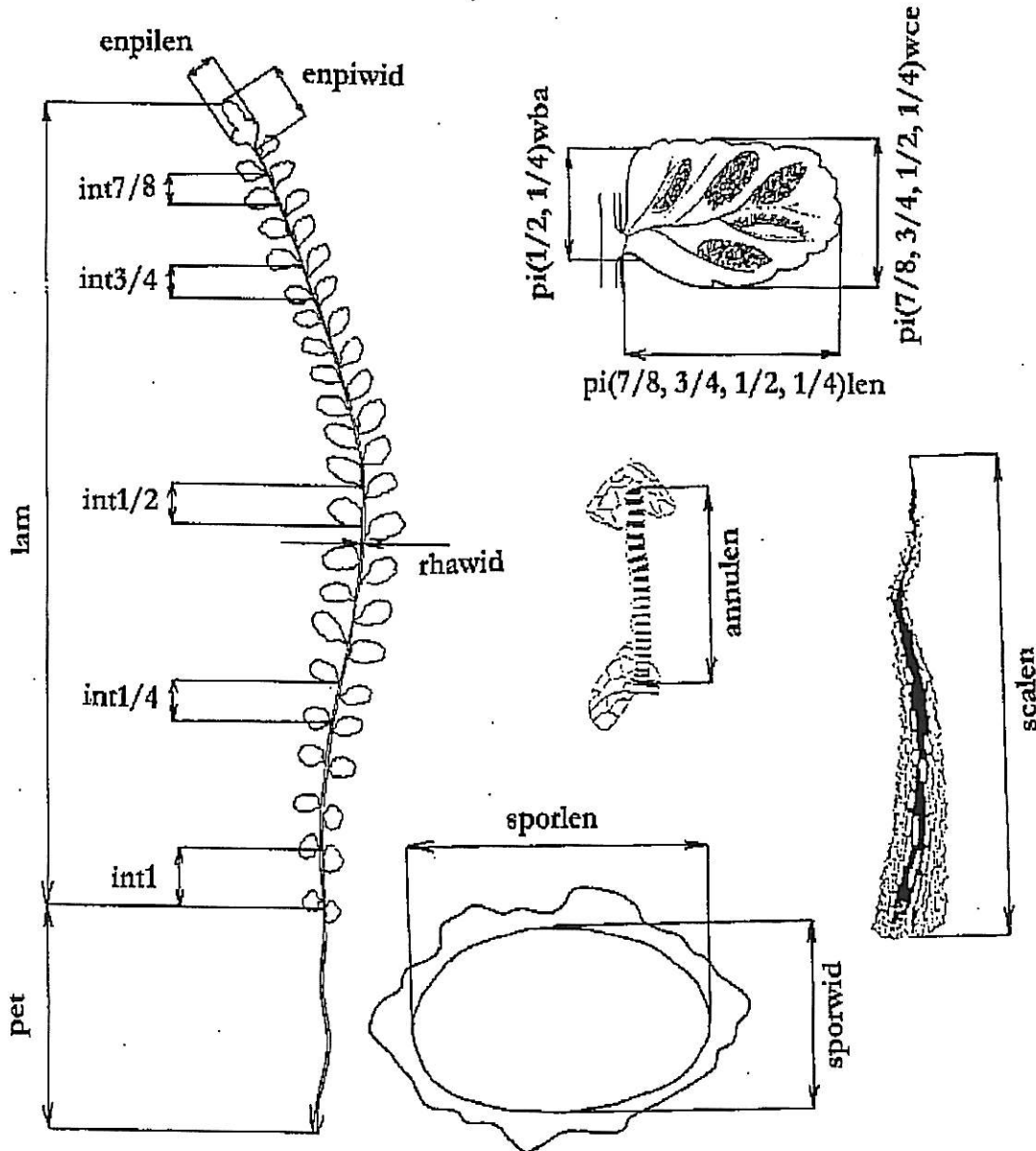
| Znak    | Kódování znaku | Charakteristika znaku                                       |
|---------|----------------|---|
| picover | 0              | Lístky na čepeli se vzájemně nepřekrývají                   |
|         | 1              | Lístky na čepeli se vzájemně překrývají                     |
| monoaur | 0              | Lístky zcela bez oušek (obr. 17)                            |
|         | 1              | Alespoň část lístků s jedním ouškem                         |
| diaur   | 0              | Lístky zcela bez oušek                                      |
|         | 1              | Alespoň část lístků s dvěma oušky (obr. 17)                 |
| endlzuz | 0              | Čepel je náhle ukončena koncovým lístkem                    |
|         | 1              | Čepel je pozvolna zužována, až je ukončena koncovým lístkem |

Tab. 4: (pokračování)

| Znak     | Kódování znaku | Charakteristika znaku  |
|----------|----------------|--|
| edge     | 0              | Okraj lístků bez výrazného světlého lemu                                 |
|          | 1              | Okraj lístků s výrazným světlým lemem                                    |
| scaaur   | 0              | Pleviny bez přívěsků   |
|          | 1              | Pleviny alespoň z části s přívěsky                                       |
| clspor   | 0              | Výtrusnice převážně uzavřené a prstencem obepnuté (i po dozrání)         |
|          | 1              | Výtrusnice převážně otevřené s prstencem napřímeným                      |
| rhaled   | 0              | Nepřítomnost lišty s ostnitými až zaoblenými papilkami                   |
|          | 1              | Přítomnost lišty s ostnitými až zaoblenými papilkami                     |
| yellcel  | 0              | Ostnité až zaoblené papilky na liště vřetene nejsou nebo jsou bezbarvé   |
|          | 1              | Žluté zbarvení ostnitých až zaoblených papilek na liště vřetene          |
| orancel  | 0              | Ostnité až zaoblené papilky na liště vřetene nejsou nebo jsou bezbarvé   |
|          | 1              | Oranžové zbarvení ostnitých až zaoblených papilek na liště vřetene       |
| hairpinn | 0              | Nepřítomnost žlázek na spodních stranách lístků                          |
|          | 1              | Přítomnost žlázek na spodních stranách lístků                            |
| livefor  | 0              | Rostliny poléhavé, s listy zpravidla růžicovitě přitisknutými k podkladu |
|          | 1              | Rostliny vzpřímené   |

Tab. 5: Kvantitativní znaky měřené na studovaných rostlinách

| Znak     | Charakteristika znaku [jednotka]                                   |
|----------|--|
| pet      | Délka řapíku listu od oddenku po první páru listků [mm]            |
| lam      | Délka čepele listu od prvního páru listků po koncový lístek [mm]   |
| piparsum | Počet párů listků na čepeli  |
| ind1pi   | Počet ostér na spodní straně prvního lístku                        |
| ind1/4pi | Počet ostér na spodní straně lístku v 1/4 délky čepele             |
| ind1/2pi | Počet ostér na spodní straně lístku v 1/2 délky čepele             |
| ind3/4pi | Počet ostér na spodní straně lístku v 3/4 délky čepele             |
| ind7/8pi | Počet ostér na spodní straně lístku v 7/8 délky čepele             |
| int1     | Vzdálenost mezi prvním a druhým párem listků na vřetenu [mm]       |
| int1/4   | Vzdálenost mezi páry listků v 1/4 vřetena [mm]                     |
| int1/2   | Vzdálenost mezi páry listků v 1/2 vřetena [mm]                     |
| int3/4   | Vzdálenost mezi páry listků v 3/4 vřetena [mm]                     |
| int7/8   | Vzdálenost mezi páry listků v 7/8 vřetena [mm]                     |
| enpilen  | Délka koncového lístku na čepeli listu [mm]                        |
| enpiwid  | Šířka koncového lístku na čepeli [mm]                              |
| enpisum  | Počet dílů ze kterých je složen koncový lístek                     |
| pi7/8len | Délka lístku v 7/8 listu [mm]                                      |
| pi7/8wce | Šířka lístku v polovině v 7/8 listu [mm]                           |
| pi3/4len | Délka lístku v 3/4 listu [mm]                                      |
| pi3/4wce | Šířka lístku v polovině v 3/4 listu [mm]                           |
| pi1/2len | Délka lístku v 1/2 listu [mm]                                      |
| pi1/2wce | Šířka lístku v polovině v 1/2 listu [mm]                           |
| pi1/2wba | Šířka lístku u báze v 1/2 listu [mm]                               |
| pi1/4len | Délka lístku v 1/4 listu [mm]                                      |
| pi1/4wce | Šířka lístku v polovině v 1/4 listu [mm]                           |
| pi1/4wba | Šířka lístku u báze v 1/4 listu [mm]                               |
| scalen   | Délka oddenkových plevin [mm]                                      |
| annulen  | Délka prstence na výtrusnici [ $\mu\text{m}$ ]                     |
| annusmcl | Počet ztlustlých prstencových buněk na výtrusnici                  |
| rhwid    | Tloušťka listového vřetena v polovině délky listu [mm]             |
| sporlen  | Délka výtrusů [ $\mu\text{m}$ ]                                    |
| sporwid  | Šířka výtrusů [ $\mu\text{m}$ ]                                    |
| enpil/w  | Poměr délky ku šířce koncového lístku čepele                       |
| pi7/81/w | Poměr délky ku šířce (ve středu) lístku v 7/8 celkové délky čepele |
| pi3/41/w | Poměr délky ku šířce (ve středu) lístku v 3/4 celkové délky čepele |
| pi1/21/w | Poměr délky ku šířce (na bázi) lístku v 1/2 celkové délky čepele   |
| pi1/41/w | Poměr délky ku šířce (na bázi) lístku v 1/4 celkové délky čepele   |



Obr. 1: Přehled měřených znaků na studovaných rostlinách.

#### 2.4.2 Statistické zpracování

Jednotlivé kvantitativní, kvalitativní znaky a poměry byly transformovány **logaritmickou transformací**  $\log(x + 1)$ , jelikož bylo zjištěno, že distribuce hodnot studovaných znaků se odchyluje od normálního rozdělení. Některé kvalitativní znaky (*picover*, *monoaur*, *diaur*, *endlzuz*, *edge*, *scaaaur*, *rhaled*, *clspor*, *yellcel*, *orancel*, *livefor*) byly převedeny do soustavy umělých binárních proměnných (*dummy variables*) (MARHOLD et SUDA 2002).

Rozdíly v jednotlivých znacích mezi studovanými taxony byly testovány **analýzou variance** (ANOVA). V případě průkazného výsledku ( $p < 0,05$ ) analýzy variance bylo provedeno mnohonásobné porovnání **Tukey testem** (HSD) – *honest significant difference test*. Hodnocení kvalitativních binárních znaků bylo hodnoceno pomocí **kontingenčních tabulek** (*contingency tables*) (LEPŠ 1996). Pro přehled vztahů mezi jednotlivými hodnocenými znaky byly použity **Pearsonovy výběrové korelační koeficienty**, které popisují sílu lineární závislosti mezi znaky (MARHOLD et SUDA 2002).

Základní statistické charakteristiky a korelační koeficienty byly zpracovány s využitím programu STATISTICA 5.5 (ANONYMUS 1998).

Na matici znaků byla provedena **analýza hlavních komponent** – PCA (MARHOLD et SUDA 2002, SNEATH et SOKAL 1973). Uvedená metoda apriori nepředpokládá žádné seskupení objektů a je tedy vhodná k detekci skupin uvnitř zkoumaného souboru dat. Jelikož byla data v primární matici měřena v různých měřítkách, byla provedena **standardizace centrováním** (standardizace na průměr rovný nule) (MARHOLD et SUDA 2002). PCA byla provedena s využitím programu CANOCO for Windows 4.0 (TER BRAAK et ŠMILAUER 1998) a graficky zpracována programem CanoDraw for Windows 4.0 (TER BRAAK et ŠMILAUER 2002).

Metody **diskriminační analýzy** umožňují studovat rozdíly mezi dvěma nebo více skupinami objektů charakterizovaných více znaky. K interpretaci rozdílů mezi předem stanovenými skupinami objektů byla použita **kanonická diskriminační analýza** (CDA – *canonical discriminant analysis*), která umožňuje odpovědět na otázky: (1) zda a do jaké míry je možné odlišit stanovené skupiny objektů na základě znaků, které máme k dispozici a (2) které z těchto znaků k tomuto odlišení přispívají největší měrou (KLECKA 1980; MARHOLD et SUDA 2002).

Pro pokus o stanovení kombinace znaků, které společně umožňují co nejlepší oddělení stanovených skupin, byla použita **kroková diskriminační analýza** (*stepwise discriminant analysis*), která postupným výběrem (*forward selection*) hodnotí nejlepší kombinace znaků, které ještě přispívají k rozdělení rostlin do jednotlivých skupin.

Metody klasifikační diskriminační analýzy, které mají za cíl odvození jedné či více rovnic za účelem identifikace objektů, nebyly použity z důvodu menšího počtu vzorků třech vzácnějších poddruhů (subsp. *trichomanes*, subsp. *hastatum* a především subsp. *pachyrachis*). Pro klasifikaci objektů v souboru dat je vhodné před vlastní analýzou vyloučit některé lokality či populace, případně jedince předem z analýzy. Po vytvoření klasifikační funkce z hlavního souboru dat se pak tyto vyloučené vzorky zpětně klasifikují, a hodnotí se procento dobře zařazených rostlin do takto předem vytvořených kategorií. Vyloučení několika vzorků z těchto početně slabších kategorií by zcela zákonitě ovlivnilo celkový výsledek analýzy.

## 2.5 Rozšíření jednotlivých poddruhů v ČR

Zhodnocení rozšíření jednotlivých poddruhů na území České republiky bylo provedeno na základě vlastních sběrů a revizí herbářových položek veřejných

herbářových sbírek CB, PR, PRC, BRNU, BRNM. Celkem bylo revidováno přes 800 herbářových položek. Mapky rozšíření jednotlivých poddruhů byly sestaveny s pomocí programu DMAP. Vzhledem ke skutečnosti, že jednotlivé poddruhy nebyly na území rozlišovány, neexistují věrohodné literární údaje ze kterých by bylo možné čerpat. Jedinou výjimku tvoří novější průlomová práce Jessena (JESSEN 1995), který při popisu nových hybridních interspecifických taxonů uvádí několik zajímavých údajů i z oblasti ČR.

## 2.6 Zpracování fytocenologických snímků

Při odběru rostlin pro morfometrické studie bylo na vybraných lokalitách pořízeno 45 fytocenologických snímků (viz Příloha 2). Pokryvnosti druhů ve snímcích byly zaznamenány sedmičlennou Braun-Blanquetovou stupnicí (MORAVEC 1994). Snímkovány byly téměř výhradně skalní biotopy. Velikost zaznamenávaných snímků se pohybovala od (min.  $2 \times 2$  m)–  $3 \times 3$  m ( $-5 \times 5$  m max.). Velikost  $3 \times 3$  m by měla být pro tento typ biotopů dostatečná (M. CHYTRÝ – doporučení), ale existují názory různé. Determinace mechorostů (*Bryophyta*) z fytocenologických snímků byla provedena J. Kučerou a J. Košnarem z katedry botaniky BF JU. Snímky z Národní fytocenologické databáze nebyly využity z důvodu dosavadního nerozlišování jednotlivých poddruhů v ČR.

Analýza fytocenologických dat byla zpracována programem CANOCO for Windows 4.0 (TER BRAAK et ŠMILAUER 1998). Pro přehled podobnosti druhového složení jednotlivých snímků byla použita nepřímá gradientová analýza. Jelikož snímkovaný materiál je vzhledem k širokému spektru lokalit poměrně heterogenní, byla pro celkový přehled použita unimodální metoda DCA (*detrended correspondence analysis*). Přímou gradientovou analýzou CCA (*canonical correspondence analysis*) byla testována závislost druhové skladby jednotlivých stanovišť na konkrétním charakteru substátu. Vysvětlujících proměnných v této analýze bylo pět: *vapenec* (= krystalický vápenec), *baze* (= další přirozeně bazické substráty), *zdivo* (= antropogenní stanoviště, zdi s vápenatou maltou), *hadec* (= hadcový substrát), *silikat* (= přirozená stanoviště všech kyselých substrátů, rula, žula, břidlice aj.). Stejnou metodou byly také testovány vztahy mezi přítomností poddruhů komplexu *A. trichomanes* agg. (vysvětlující proměnné) a ostatními druhy ve snímcích (druhová data). Pro testování ostatních druhů jako vysvětlujících proměnných byl proveden jejich postupný výběr (*forward selection*).

Fytocenologická data byla před vlastní analýzou podrobena korekci ( $x + 2$ ) (odstranění nečíselných konstant  $r$  a  $+$ ) a nebyla logaritmována. Grafický výstup ordinační analýzy byl vytvořen pomocí programu CanoDraw for Windows 4.0 (TER BRAAK et ŠMILAUER 2002).

## 2.7 Skenovací elektronový mikroskop (SEM)

Pro pro vizualizaci některých mikroskopických znaků bylo provedeno mikroskopování jedenácti vzorků na skenovacím elektronovém mikroskopu (SEM). Sledovány byly vždy dva vzorky z různých lokalit od každého poddruhu a jeden vzorek od hybridních taxonů. Bylo vyzkoušeno, že pro úspěšné pozorování v SEM postačí dobře vysušené (vylisované) vzorky z herbářu nalepit přímo na terčík a nechat pozlatit bez nadbytečné procedury odvodňování vzorku (vlhký vzorek by se ve vakuu mikroskopu deformoval). Mikroskopování bylo provedeno autorem v Laboratoři elektronové mikroskopie na Parazitologickém ústavu AV ČR v Českých Budějovicích na přístroji JEOL 6300.

## 2.8 Nomenklatura a terminologie

Nomenklatura jednotlivých taxonů je uvedena podle Klíče ke květeně ČR (KUBÁT et al. 2002). U taxonů, které nejsou v Klíči uvedeny, byla použita nomenklatura podle Flora Europaea (TUTIN et al. 1993). V případě nově popsaných taxonů komplexu *Asplenium trichomanes* (nothosubsp. *lovisianum*, nothosubsp. *moravicum*, nothosubsp. *melzeranum*, nothosubsp. *tadei-reichsteinii*) je uvedena nomenklatura podle Jessena (JESSEN 1995). Ve výjimečných případech, kdy jsou v práci uvedena jména taxonů jiná, než ve výše uvedených dílech, jsou taxony uvedeny se jmény autorů. Jednotlivé taxony komplexu *Asplenium trichomanes* jsou v textu zpravidla uvedeny zkráceně, tedy pouze názvem konkretního poddruhu (subsp.) případně křížencem poddruhů (nothosubsp.). V úvodní kapitole (kap. 1) jsou uvedena jména taxonů s citacemi autorů tam, kde se v textu objevují poprvé a případně tam, kde se to zdá být podstatné.

Nomenklatura mechorostů (*Bryophyta*) je uvedena podle Váni (VÁŇA 1997). Jména syntaxonů jsou použity podle Muciny (MUCINA 1993). Pro srovnání se situací v České republice byly použity syntaxonomické jednotky podle Moravce (MORAVEC 1995) (uvedeno jmenovitě v textu). Ve výjimečných případech, kdy jsou používány fytocenologické jednotky zde neuvedené bylo použito práce PÉREZ CARRO et al. (1990a).

Členění fytogeografických okrsků (fytochorionů) na území České republiky je použito podle Skalického (SKALICKÝ 1988), použití a kombinace zkratek v přehledu revidovaných herbářových položek je použito podle Hendrycha a Jiráska (HENDRYCH et JIRÁSEK 2002).

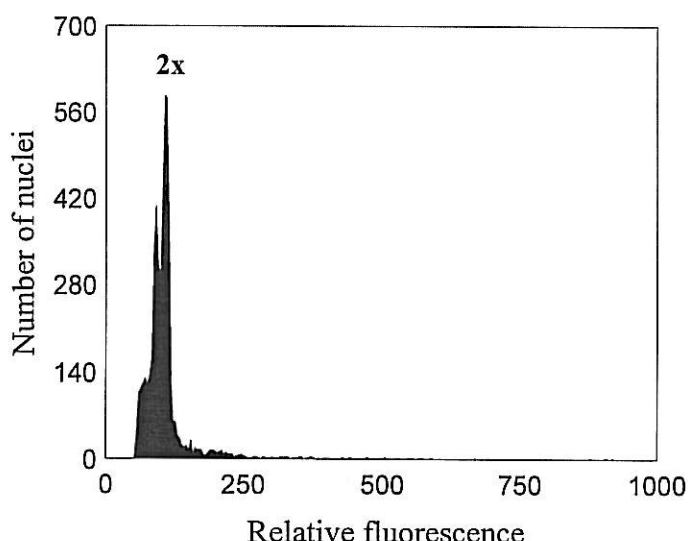
# 3 Výsledky

## 3.1 Stanovení ploidního stupně

Pro potřeby dalšího studia jednotlivých taxonů komplexu *A. trichomanes* agg. bylo nezbytné stanovit počet chromozomů anebo alespoň příslušný stupeň ploidie jednotlivých rostlin.

Jelikož studované taxony mají vysoký počet chromozomů ( $2n = 72$ ,  $4n = 144$ ), které se obtížně barví a počítají, nepodařilo se spočítat počet chromozomů u jednotlivých taxonů. Metodou průtokové cytometrie (*flow cytometry*) byl pouze stanoven ploidní stupeň. Tato metoda je velmi vhodná pro taxonomické práce především pro svou menší časovou náročnost přípravy vzorků a rychlosť, s jakou mohou být vzorky analyzovány.

Pro kalibraci přístroje na průtokovou cytometrii se jako standardy ukázaly vhodné tři diploidní středoevropské druhy – *Asplenium viride*, *A. cuneifolium*, *A. fontanum*, které, jak ukazuje obr. 2, mají shodnou velikost genomu s diploidním *A. trichomanes* subsp. *trichomanes*. Naopak testovaný vzorek z druhu *A. hemionitis* případem-



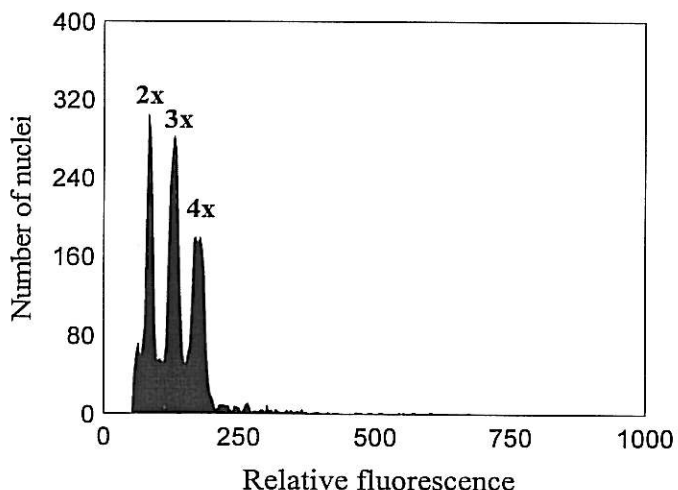
Obr. 2: Histogram z průtokové cytometrie relativního množství DNA ve směsném vzorku standardů *Asplenium viride*, *A. fontanum*, *A. cuneifolium* a *A. trichomanes* subsp. *trichomanes* (45-6). Koeficient variance (CV) je 15 %.

z Kanárských ostrovů (ostrov Gomera) se jako standard neosvědčil.

Z celkového počtu 119 analyzovaných rostlin komplexu *A. trichomanes* agg. (viz tab. 6) bylo zjištěno 18 diploidních rostlin ze 6ti lokalit, 100 tetraploidů ze 33 lokalit a 1 triploidní taxon.

Všechny analyzované diploidní rostliny byly determinovány jako *A. trichomanes* subsp. *trichomanes*. Jediný ověřený triploidní taxon byl determinován jako kříženec *A. trichomanes* nothosubsp. *lusaticum* (subsp. *quadrivalens* × subsp. *trichomanes*) (viz

obr. 3). Ověřené tetraploidní rostliny byly determinovány jako subsp. *quadrivalens*, subsp. *hastatum*, nothosubsp. *lovisianum* (subsp. *hastatum* × subsp. *quadrivalens*) a subsp. *pachyrachis*. Velikost genomu všech tetraploidních analyzovaných taxonů komplexu se zdá být podobně velká. Kultivace a následná analýza průtokovou cytometrií více vzorků subsp. *pachyrachis* byly neúspěšné. Opakovaně dovezené „čerstvé“ vzorky tohoto poddruhu nemohly být analyzovány z důvodu poruchy měřícího přístroje.



Obr. 3: Histogram z průtokové cytometrie relativního množství DNA ve směsném vzorku *Asplenium trichomanes* subsp. *trichomanes* (45-11) – 2x, subsp. *quadrivalens* – 4x (39-13) a nothosubsp. *lusaticum* – 3x (25-5). Koeficient variance (CV) je pro první vrchol je 6,34 %, pro druhý vrchol je 7,16 % a pro třetí vrchol je 9,31 %.

Koeficienty variance (CV%)<sup>1</sup> uvedené v každém popisu histogramu (obr. 2, 3) jsou poměrně vysoké. Je to pravděpodobně dán dvěma faktory. Rostliny musely být analyzovány teprve až v únoru z důvodu půlroční poruchy průtokového cytometru v BÚ AV ČR v Průhonicích. Druhým nepříznivým faktorem mohla být skutečnost, že cytometr byl dosud ve zkušební době. Přesto však získané diagramy dají názorný obraz ploidních vztahů analyzovaných vzorků.

<sup>1</sup> Koeficient variance (*Coefficient of variation* – CV) odráží odchylky a nepřesnosti v jaderné izolaci, barvení a měření. Čím je menší hodnota CV, tím je analýza obsahu DNA přesnější. Optimální hodnoty CV se pro analýzy udávají kolem 1 – 3 %. Matematicky je  $CV = (\text{směrodatná odchylka/průměr}) * 100 [\%]$ . Na rozdíl od směrodatné odchylky koeficient variance nezávisí na pozici vrcholu v diagramu (DOLEŽEL – <http://www.ueb.cas.cz/Olomouc1/lcgcm/index.htm>).

Tab. 6: Přehled lokalit a vzorků analyzovaných metodou průtokové cytometrie. Přehled analyzovaných vzorků je členěn podle výsledné determinace jednotlivých rostlin. Tučně vytisklé číslo udává číslo lokality a čísla za pomlčkou udávají pořadová čísla rostlin. Detailní lokalizace jednotlivých lokalit viz Metodika 2.1 tab. 3.

| Diploidní vzorky (subsp. <i>trichomanes</i> )          | Tetraploidní vzorky (subsp. <i>hastatum</i> )              |  |
|--|--|--|
| 25 – 6            28e. Žlut. pah., Manětín             | 6 – 14, 15, 17      17b. Pavl. kop., Klentnice             |  |
| 27 – 1-4, 6       28e. Žlut. pah., Rabštejn            | 16 – 2, 4, 6, 7, 12    70. Mor. kras, Pustý žleb           |  |
| 31 – A1, A2      59. Orl. podh., Šediviny              | 17 – 8                70. Mor. kras, Býčí skála,           |  |
| 45 – 4, 6-9, 11   37a. Hor. Poot., Rejštejn            | 18 – 1, 5             77c. Chřiby, Buchlovice              |  |
| 46 – 1, 2, 5      37a. Hor. Poot., Čeňkova pila        | 21 – 5                70. Mor. kras, Sloup                 |  |
| 47 – 4             88b. Šum. pláně, Stož. kaple        |  |  |
| Triploidní vzorek (nothosubsp. <i>lusaticum</i> )      | Tetraploidní vzorky (nothosubsp. <i>lovisianum</i> )       |  |
| 25 – 5             28e. Žlut. pah., Manětín            | 6 – 5                17b. Pavl. kop., Klentnice            |  |
| Tetraploidní vzorky (subsp. <i>pachyrachis</i> )       |  |  |
| 16 – 8             70. Mor. kras, Pustý žleb           | 15 – 1, 9, 10        70. Mor. kras, Pustý žleb             |  |
|  | 16 – 10, 11        70. Mor. kras, Pustý žleb               |  |
|  | 18 – 2, 7           77c. Chřiby, Buchlovice                |  |
| Tetraploidní vzorky (subsp. <i>quadrivalens</i> )      |  |  |
| 2 – 1, 3           37b. Suš.-horaž. váp., Horažďovice  | 31 – B1, 2; C1, 2    59. Orl. podh., Šediviny              |  |
| 3 – 3, 8, 14       37b. Suš.-horaž. váp., Hejná        | 32 – 1, 2, 5        59. Orl. podh., Skuhrov nad Bělou      |  |
| 4 – 12, 13, 16, 17    37b. Suš.-horaž. váp., Rábí      | 33 – 5                15b. Hrad. Pol., Nové Město n. Met.  |  |
| 5 – 4-7             17b. Pavl. kop., Kočičí skála      | 34 – 4, 6            8. Čes. kras, Srbsko                  |  |
| 9 – 7, 9, 10, 14    58b. Polic. kotl., Maršov          | 35 – 1, 2            8. Čes. kras, Srbsko, Císař. rokle    |  |
| 13 – 12             37k. Křem. had., rez. Holub. hadce | 36 – 5, 10           8. Čes. kras, Karlštejn,              |  |
| 15 – 6, 8           70. Mor. kras, Pustý žleb          | 37 – 10              8. Čes. kras, Hostim                  |  |
| 16 – 15             70. Mor. kras, Pustý žleb          | 38 – 6, 7            8. Čes. kras, Svatý Jan p. Skal.      |  |
| 19 – 1, 3, 5, 8, 12, 14, 15                            | 68. Mor. podh. Vysoč., Hardegg                             | 39 – 9, 13, 16        32. Křivokl., Žloukovice |
| 20 – 1, 2           68. Mor. podh. Vysoč., Čížov       | 40 – 8, 9            32. Křivokl., Křivoklát, rez. Brdatka |  |
| 21 – 2, 8           70. Mor. kras, Sloup               | 41 – 1, 2, 5, 6, 9, 10, 12, 14, 15, skály                  | 32. Křivokl., Křivoklát, rez. Nezabud.         |
|  | 17, 19   |  |
| 25 – 3, 4           28e. Žlut. pah., Manětín           | 42 – 10, 11          32. Křivokl., Hracholusky,            |  |
| 26 – 1-3,           28e. Žlut. pah., Kotaneč           | 43 – 7, 8            32. Křivokl., Skryje                  |  |
| 28 – 7, 8           63a. Žamb., Litice n.. Orlicí,     | 44 – 3, 6,            88a. Král. hvozd, Hamry              |  |
| 30 – 1              55d. Tros. pah., Tachov            |  |  |

## 3.2 Morfometrie

### 3.2.1 Vzájemné korelace mezi znaky

Popis jednotlivých vztahů mezi hodnocenými znaky byl vyjádřen parametrickými Pearsonovými výběrovými korelačními koeficienty popisujícími sílu lineární závislosti mezi znaky. Po provedení korelační analýzy (viz Příloha 1) bylo zjištěno, že žádná z dvojic hodnocených znaků není silně korelovaná ( $r < 0,95$ ), a proto mohly být z tohoto ohledu použity všechny znaky pro statistické analýzy.

Nejčastější výskyt vyšších korelací je vidět u znaků postihující celkovou morfologii lístků v různých pozicích délky čepele. Z některých těchto znaků byly vytvořeny poměry délky k šířce lístků v různých pozicích délky čepele. Část původních znaků byla vypuštěna (vždy minimálně jeden ze znaků, ze kterých byl vytvořen poměr). Po předběžných analýzách se ukázaly tři tyto odvozené znaky (*enpil/w*, *pi7/8l/w*, *pi3/4l/w*) vhodnější než znaky původní.

### 3.2.2 Analýza hlavních komponent (PCA)

Analýza hlavních komponent (PCA) je metodou, která je vhodná k detekci hypotetických skupin v rámci zkoumaného souboru dat. Tato metoda nezohledňuje příslušnost jednotlivých objektů do předem definovaných skupin. PCA byla provedena na 35 hodnocených znacích.

Výsledné ordinační diagramy analýzy hlavních komponent všech analyzovaných vzorků (s vyloučením hybridních taxonů) jsou uvedeny na obr. 4a, 4b, 5a, 5b. První tři osy vysvětlují 45,4 % variability, z toho první osa 20,7 %, druhá 14,1 % a třetí 10,6 %.

V ordinačním prostoru prvních tří os PCA vytváří studovaný materiál tři výrazné shluky. Výrazně se od sebe oddělil shluk diploidních rostlin hodnocených jako subsp. *trichomanes*, dále shluk tetraploidních rostlin hodnocených jako subsp. *quadrivalens* a v posledním shluku se od výše uvedených skupin oddělily dohromady tetraploidní rostliny hodnocené jako subsp. *hastatum* a subsp. *pachyrachis*. Je tedy zřejmé, že si jsou tyto taxonomy ve studovaných znacích velmi podobné.

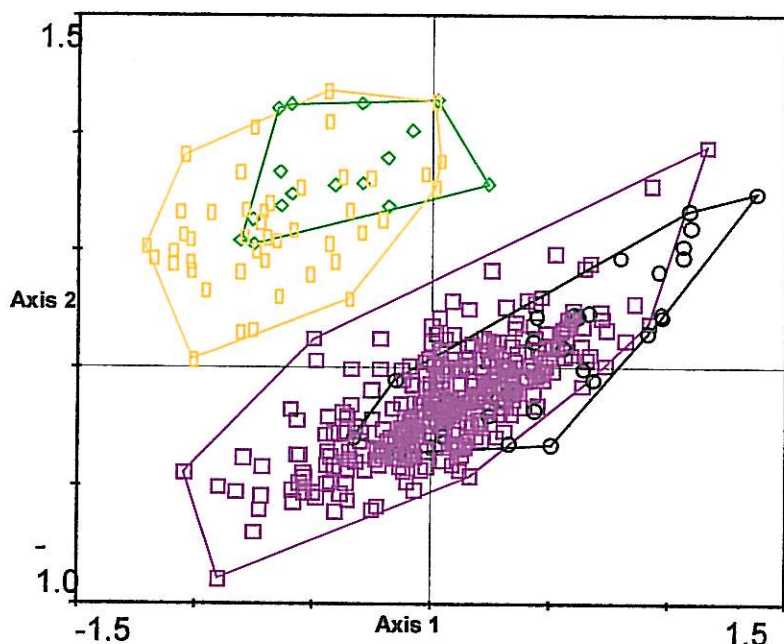
V ordinačním diagramu závislosti první a druhé ordinační osy PCA (viz obr. 4a) se od sebe výrazně odlišily dva shluky. V jednom shluku se oddělily dohromady tetraploidní vzorky hodnocené subsp. *hastatum* a subsp. *pachyrachis* a v dalším, mnohem početnějším shluku, se dohromady odlišily tetraploidní rostliny hodnocené jako subsp. *quadrivalens* a diploidní rostliny subsp. *trichomanes*. Teprve až po vynesení závislosti první a třetí ordinační osy (viz obr. 5a) se velmi zřetelně od sebe oddělily vzorky z diploidní subsp. *trichomanes* od velkého shluku všech ostatních tetraploidních taxonů.

Výsledky společné analýzy dat dvou odlišných ploidních skupin mohou vyvolat jisté zkreslení, protože část vysvětlené variability se může týkat rozdělení skupin do přirozených ploidních skupin, takže vztahy mezi taxonomy jedné ploidie mohou být tímto vlivem překryty.

Při pokusu o další rozdělení shluků tetraploidních skupin byla data pro diploidy subsp. *trichomanes* eliminována a tetraploidní rostliny byly následně analyzovány nezávisle. Výsledek analýzy ukazuje obr. 6a, 6b a 7a, 7b. První tři osy vysvětlují 44,2 % variability, z toho první osa 20,9 %, druhá 15,2 % a třetí 8,1 %. Jak vyplývá z obrázků 6a, 7a, i přes vyřazení diploidních rostlin z analýzy nedošlo k lepšímu oddělení tetraploidních taxonů. Při vynesení prvních dvou ordinačních os došlo stejně jako v obr. 4a k vylišení dvou shluků. Jeden je velmi početný se subsp. *quadrivalens* a druhý, obsahuje jednak rostliny determinované jako subsp. *pachyrachis* a jednak jako subsp. *hastatum*. Vynesení závislosti první a třetí osy (viz obr. 7a) tetraploidních vzorků ukazuje plynulý přechod a prolínání jednotlivých taxonů a žádné nové skupiny se nevylišují.

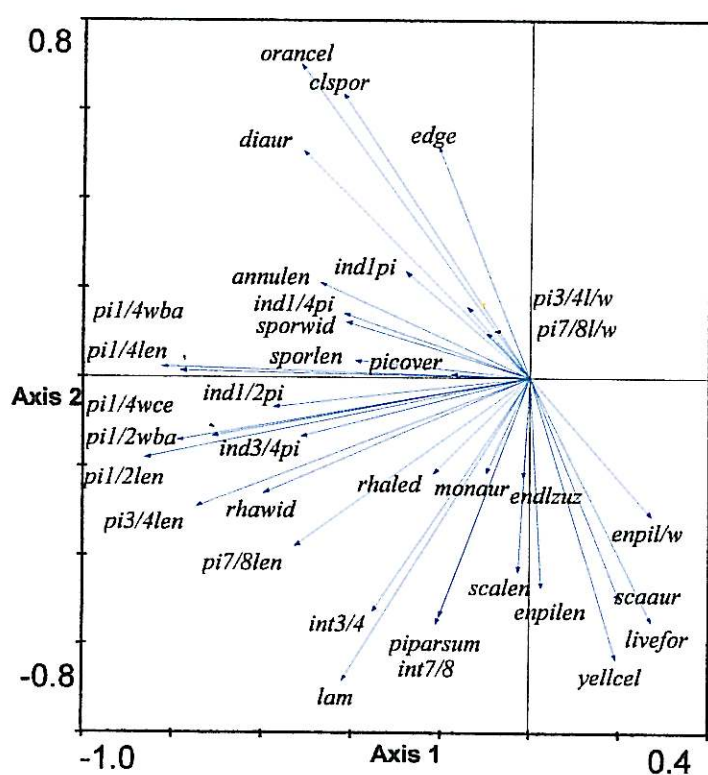
Ze znaků, které nejlépe odlišují diploidní subsp. *trichomanes* od zbylých tetraploidních taxonů (viz obr. 5b), jsou znaky, které jsou v tomto případě nejvíce negativně korelovány se shlukem diploidních rostlin. Jedná se o znaky: velikost spor (*sporlen*, *sporwid*), délka prstence na výtrusnici (*annulen*), přítomnost křídel na vřeteni s papilkami (*rhaled*), velké rozestupy mezi lístky v horní části čepele (*int3/4*, *int7/8*), přítomnost lemu na okrajích lístků (*edge*). V menší míře také jde o délku koncového lístku (*enpilen*), případně poměr délky k šířce koncového lístku (*enpil/w*) a o délku plevin (*scalen*).

Znaky, kterými se nejlépe odlišují tetraploidní poddruhy (obr. 6a, 6b; 7a, 7b) subsp. *quadrivalens* od dvojice poddruhů subsp. *hastatum* a subsp. *pachyrachis* jsou následující: barva papilek na vřetenovém křidle (*yellcel*, *orancel*), uzavřený typ výtrusnic (*scaaur*), lemu (*edge*), dvououškaté lístky (*diaur*), životní forma (*livefor*) a řada dalších již méně významných znaků.

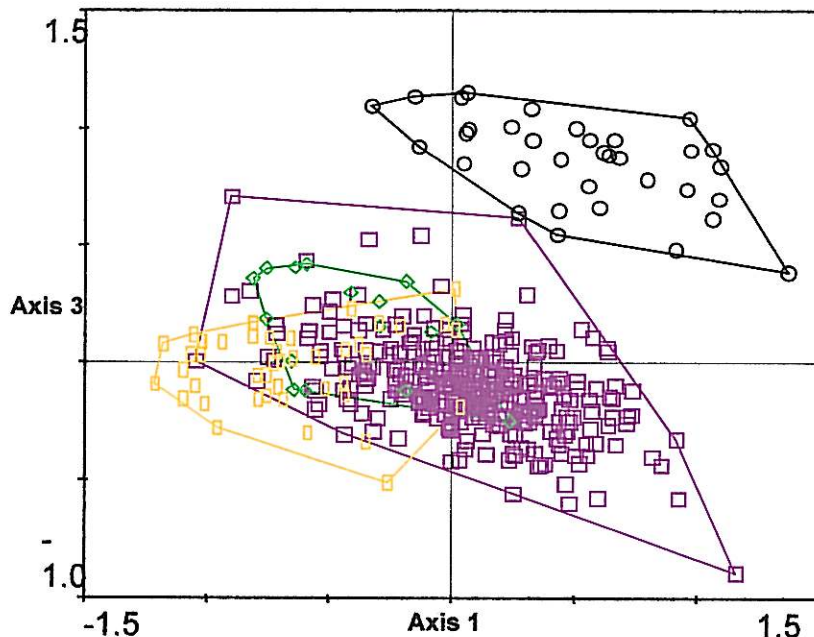


Obr. 4a: Ordinační diagram analýzy PCA všech analyzovaných rostlin, zobrazující první a druhou ordinační osu. První ordinační osa vysvětluje 20,7 % a druhá osa 14,1 % variability.

**Legenda:**



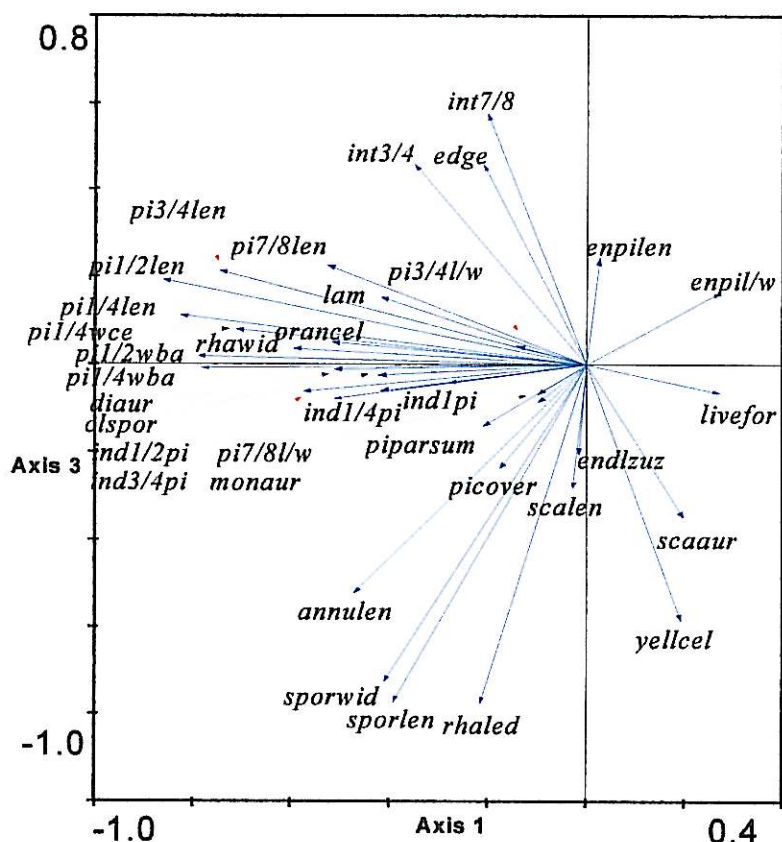
Obr. 4b: Ordinační diagram analýzy znaků PCA zobrazující první a druhou ordinační osu. První osa vysvětluje 20,7 % a druhá osa 14,1 % variability.



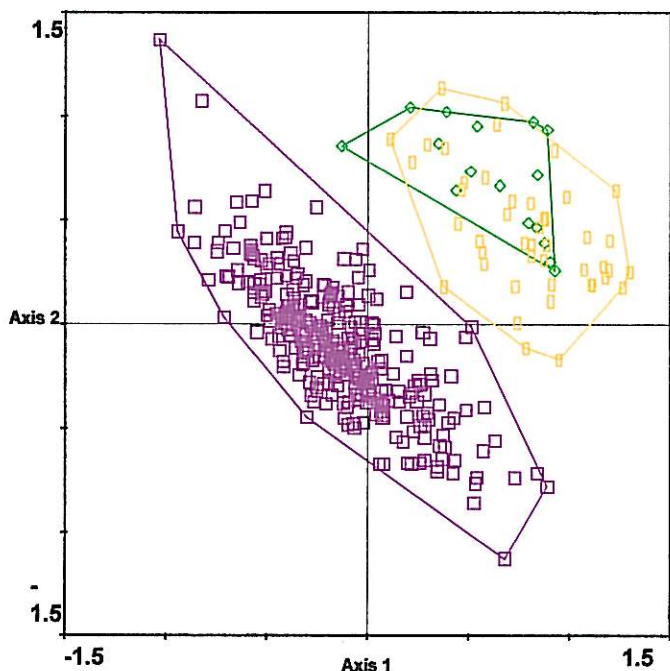
Obr. 5a: Ordinační diagram analýzy PCA všech analyzovaných rostlin, zobrazující první a třetí ordinační osu. První ordinační osa vysvětluje 20,7 % a třetí osa 10,6 % variability.

**legenda:**

- — subsp. *trichomanes*
- — subsp. *quadrivalens*
- ◆ — subsp. *pachyrachis*
- — subsp. *hastatum*



Obr. 5b: Ordinační diagram analýzy znaků PCA zobrazující první a třetí ordinační osu. První osa vysvětluje 20,7 % a třetí osa 10,6 % variability.



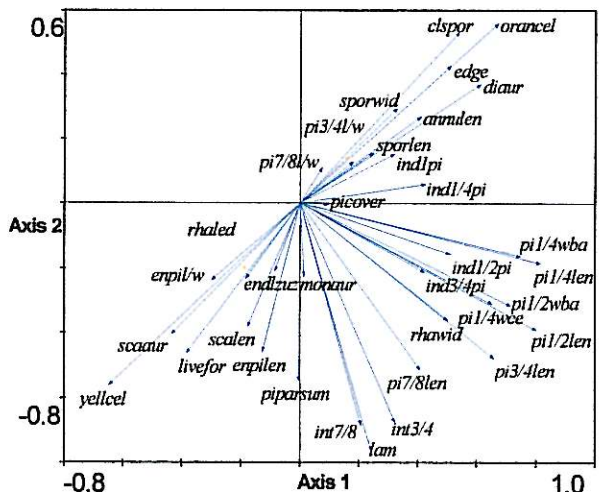
Obr. 6a: Ordinační diagram analýzy PCA tetraploidních taxonů zobrazující první a druhou ordinační osu. První ordinační osa vysvětluje 20,9 % a druhá osa 15,2 % variability.

### **legenda:**

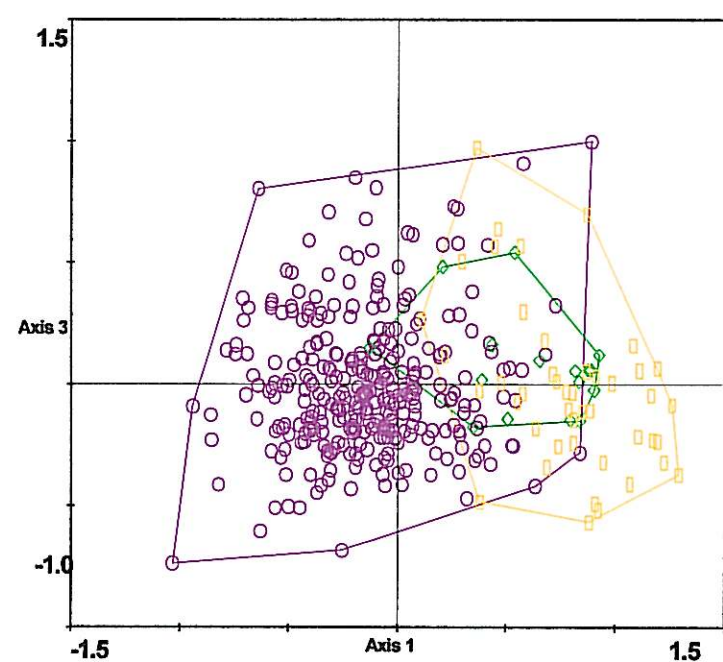
– subsp. *quadrivalens*

◇ – subsp. *pachyrachis*

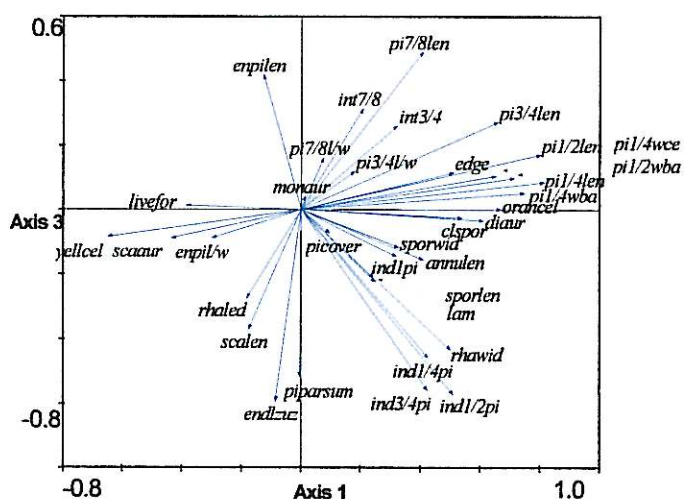
□ – subsp. *hastatum*



Obr. 6b: Ordinační diagram analýzy PCA znaků, analyzované vzorky pocházejí pouze z tetraploidních taxonů, zobrazena je první a druhá ordinační osa. První ordinační osa vysvětluje 20,9 % a druhá osa 15,2 % variability.



Obr. 7a: Ordinační diagram analýzy PCA tetraploidních taxonů zobrazující první a třetí ordinační osu. První ordinační osa vysvětluje 20,9 % a třetí osa 8,1 % variability.



Obr. 7b: Ordinační diagram analýzy PCA znaků, analyzované vzorky pocházejí pouze z tetraploidních taxonů, zobrazena je první a třetí ordinační osa. První ordinační osa vysvětluje 20,9 % a třetí osa 8,1 % variability.

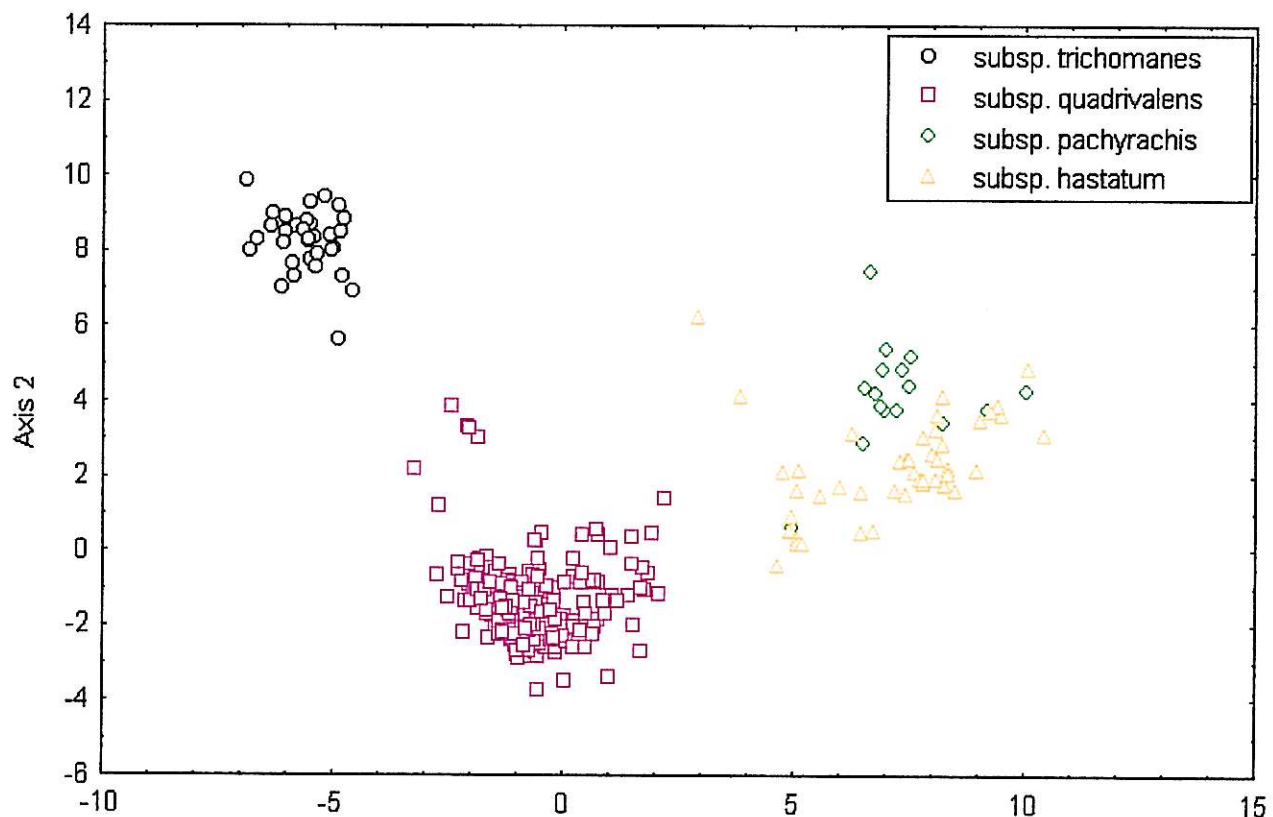
### 3.2.3 Diskriminační analýza

Pro studium podílu hodnocených znaků na odlišení jednotlivých poddruhů komplexu *Asplenium trichomanes* agg. byla použita kanonická diskriminační analýza (CDA). Počet vzorků v jednotlivých skupinách taxonů byl následující: subsp. *trichomanes* 37, subsp. *quadrivalens* 312, subsp. *pachyrachis* 16, subsp. *hastatum* 43.

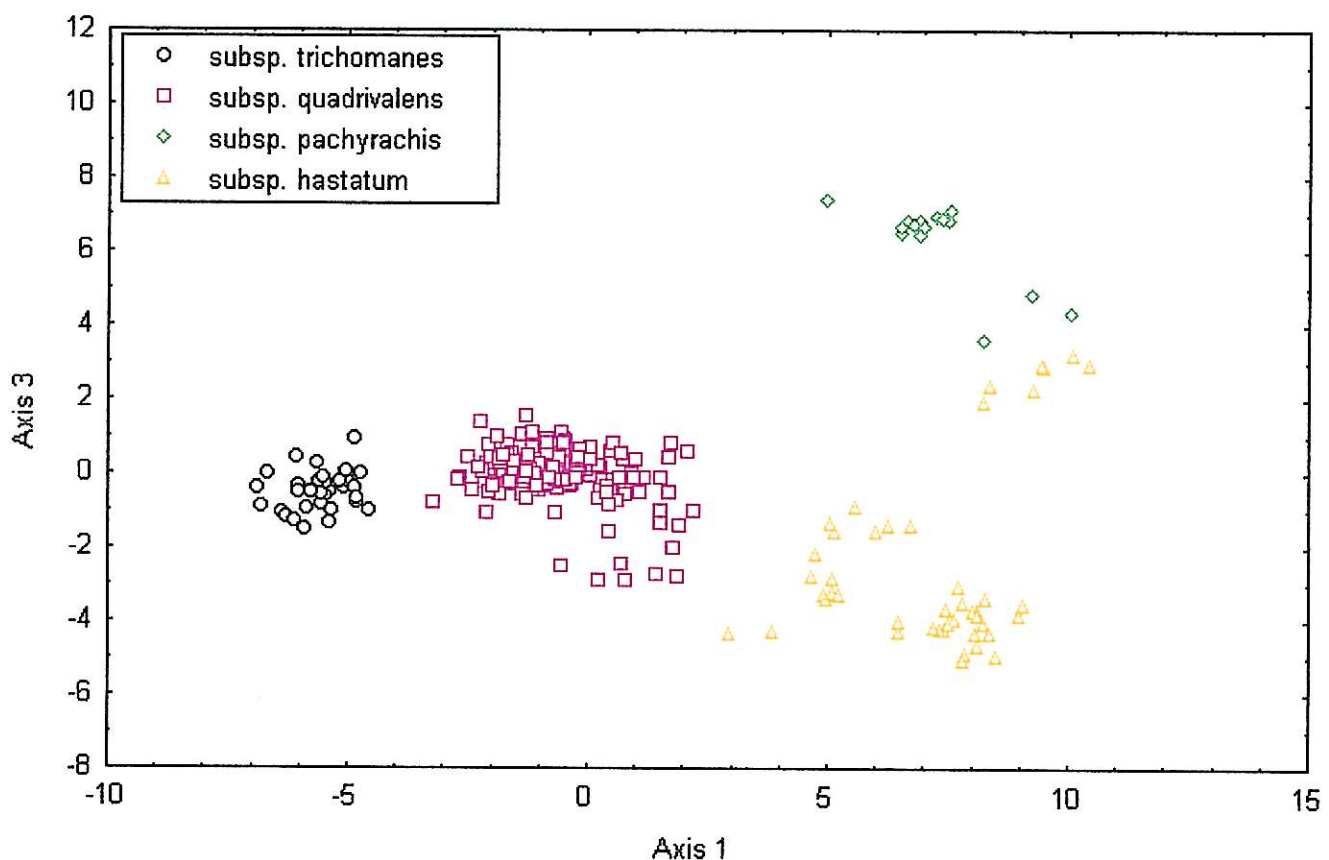
Na obrázcích 8 a 9 je znázorněn výsledek rozdělení jednotlivých poddruhů podél kanonických diskriminačních os na základě hodnocených znaků. Na obrázcích jsou patrné čtyři shluky reprezentující všechny čtyři studované poddruhy. První diskriminační osa nejvýrazněji odděluje subsp. *trichomanes*, subsp. *quadrivalens* a subsp. *hastatum*, druhá osa odlišuje diploidní subsp. *trichomanes* od ostatních tetraploidních poddruhů a na třetí diskriminační ose se odlišila subsp. *pachyrachis* uspokojivě od dalších taxonů. Na obr. 9 v pravé horní části v blízkosti shluku subsp. *pachyrachis* se vytvořil shluk jedinců skládajících se ze subsp. *pachyrachis* a subsp. *hastatum*. Po analýze byly jednotlivé vzorky zpětně revidovány a zdá se, že se jedná ve všech případech o správnou determinaci. Vzorky subsp. *hastatum* pocházejí v tomto shluku ze tří různých lokalit (nejedná se tedy o abnormální fenotypickou odchylku jedné lokality) a jedná se o jedince s některými netypickými znaky. Studium většího množství vzorků by jistě vedlo k upřesnění analýzy především u vzácné subsp. *pachyrachis*, u které není splněna teoretický optimální počet vzorků pro diskriminační analýzu.

Skutečnost, že se jednotlivé skupiny shluků nepřekrývají, svědčí o tom, že taxony se od sebe odlišily v analýze velmi dobře, což dokládají i relativně vysoké hodnoty kanonických korelačních koeficientů. Tyto korelační koeficienty interpretující důležitost kanonických os vyjadřují míru závislosti mezi diskriminační funkcí a rozdělením objektů do skupin. Pro první diskriminační osu mají hodnotu 0,957, pro druhou 0,946 a pro třetí diskriminační osu 0,836. Druhá mocnina tohoto koeficientu (1. osa = 0,916; 2. osa = 0,946; 3. osa = 0,699) je někdy považována za podíl variability hodnot diskriminační funkce vysvětlené rozdělením vzorků do skupin (KLEČKA 1980).

Vztahy mezi kanonickými osami, znaky a rozdělením objektů do skupin popisují různé koeficienty diskriminační funkce. Standardizované koeficienty (*standardized coefficients*) udávají jedinečný příspěvek jednotlivých standardizovaných znaků k rozdělení objektů do skupin podle dané osy (viz tab. 7). Pokud jsou však původní znaky vzájemně korelované (opakují tutéž informaci), je vyšší hodnota standardizovaného kanonického koeficientu přiřazena pouze jednomu z dvojice nebo ze skupiny korelovaných znaků. Je vhodné proto znát všechny znaky významné pro odlišení studované skupiny. Druhým významným koeficientem je faktorový (celkový) strukturní koeficient (*total structure coefficients*), který vyjadřuje míru korelace mezi znaky a jednotlivými kanonickými osami (viz tab. 7). Čím vyšší je absolutní hodnota tohoto koeficientu, tím více znak přispívá k oddělení objektů podél dané kanonické osy. Faktorové strukturní koeficienty se významně liší od standardizovaných koeficientů jednou důležitou vlastností: hodnoty faktorových strukturních



Obr. 8: Kanonická diskriminační analýza vzorků komplexu *Asplenium trichomanes* agg., vynesena je první a druhá diskriminační osa.



Obr. 9: Kanonická diskriminační analýza vzorků komplexu *Asplenium trichomanes* agg., vynesena je první a třetí diskriminační osa.

koeficientů pro příslušný znak se počítají bez ohledu na vliv ostatních znaků na danou kanonickou osu. Standardizované koeficienty u nekorelovaných znaků odpovídají faktorovým koeficientům, zatímco u korelovaných znaků je jejich hodnota nižší o podíl informace, která je oběma korelovaným znakům společná (MARHOLD et SUDA 2002).

Jak vyplývá z tab. 7, neexistuje jednotlivý znak, který by optimálně odlišoval studované taxony, protože hodnoty faktorových strukturních koeficientů jsou u všech sledovaných znaků velmi nízké. K úspěšné determinaci je vždy nutné použít kombinaci více znaků zároveň. Znaky nejvíce korelované s kanonickými osami a znaky s největším příspěvkem k rozdělení do definovaných skupin jsou uvedeny v tab. 7 tučně. Největší korelace pro konkrétní kanonické osy zde vykazují znaky jako je přítomnost oušek na lístcích (*monoaur*, *diaur*), životní forma (*livefor*), dále

Tab 7: Faktorové strukturní koeficienty a standardizované koeficienty zjištěné v kanonické diskriminační analýze taxonů komplexu *Asplenium trichomanes* agg. U faktorových strukturních koeficientů jsou tučně vyznačeny na jednotlivých osách nejvíce korelované znaky  $|x| > 0,15$  a u standardizovaných koeficientů jsou tučně vyznačeny znaky s největším příspěvkem k rozdělením do definovaných skupin  $|x| > 0,2$ .

| Znak     | Faktorové strukturní koeficienty. |                 |                 | Standardizované koeficienty |                 |                 |
|----------|-----------------------------------|-----------------|-----------------|-----------------------------|-----------------|-----------------|
|          | Axis 1                            | Axis 2          | Axis 3          | Axis 1                      | Axis 2          | Axis 3          |
| LAM      | -0,06662                          | -0,05079        | -0,04572        | <b>-0,29505</b>             | 0,100885        | <b>0,422229</b> |
| INT3/4   | -0,06925                          | 0,01164         | -0,08207        | <b>-0,20981</b>             | -0,12513        | -0,04776        |
| INT7/8   | -0,1073                           | 0,054251        | -0,07389        | -0,08567                    | <b>0,215638</b> | -0,03955        |
| ENPILEN  | -0,09395                          | -0,05333        | 0,025693        | -0,12194                    | -0,12461        | 0,042627        |
| PI7/8LEN | 0,042095                          | -0,05873        | -0,00431        | <b>0,230315</b>             | <b>-0,29052</b> | 0,024355        |
| PI3/4LEN | 0,085312                          | -0,0231         | -0,04966        | 0,061821                    | 0,109739        | -0,09118        |
| PI1/2LEN | 0,126868                          | -0,00467        | -0,03838        | 0,182817                    | -0,01508        | 0,14019         |
| PI1/2WBA | 0,129531                          | -0,04133        | -0,00723        | <b>0,226156</b>             | -0,06681        | -0,02231        |
| PI1/4LEN | <b>0,151003</b>                   | 0,013051        | -0,11193        | -0,06524                    | -0,06337        | -0,1958         |
| PI1/4WCE | 0,077076                          | -0,01373        | -0,06738        | -0,18331                    | -0,04536        | -0,07232        |
| PI1/4WBA | 0,148687                          | -0,00976        | -0,07338        | 0,144211                    | 0,163496        | 0,080208        |
| ANNULEN  | 0,121993                          | -0,06839        | -0,00877        | <b>0,24381</b>              | -0,06644        | 0,002611        |
| SCALEN   | -0,05306                          | -0,11424        | 0,030659        | -0,05458                    | -0,13389        | 0,005399        |
| RHAWID   | 0,055702                          | 0,001882        | -0,00281        | 0,019454                    | 0,103178        | -0,03613        |
| SPORLEN  | <b>0,279287</b>                   | <b>-0,41649</b> | -0,10484        | 0,009152                    | <b>-0,27667</b> | -0,06544        |
| SPORWID  | <b>0,34478</b>                    | <b>-0,40327</b> | -0,04084        | <b>0,346704</b>             | <b>-0,36812</b> | 0,062152        |
| IND1PI   | 0,09319                           | 0,042698        | -0,03197        | 0,075613                    | 0,154945        | 0,138817        |
| IND1/4PI | 0,080283                          | 0,040556        | -0,02641        | -0,05958                    | 0,193361        | 0,054671        |
| IND1/2PI | 0,075008                          | 0,002338        | -0,02782        | 0,080287                    | -0,03008        | -0,10638        |
| IND3/4PI | 0,054292                          | -0,01132        | -0,02283        | 0,024516                    | -0,05974        | -0,12914        |
| PIPARSUM | -0,04634                          | -0,08213        | -0,01099        | -0,00283                    | -0,10211        | -0,23928        |
| ENPIL/W  | -0,14506                          | 0,017886        | -0,06359        | -0,1609                     | 0,101755        | -0,06822        |
| PI7/8L/W | 0,060641                          | -0,02321        | -0,0598         | 0,127108                    | -0,02505        | -0,12761        |
| PI3/4L/W | 0,06822                           | 0,024792        | -0,01303        | 0,095223                    | -0,01014        | 0,008164        |
| PICOVER  | 0,057524                          | -0,05241        | -0,00164        | 0,096186                    | -0,0423         | 0,098895        |
| MONOaur  | 0,005092                          | -0,04651        | 0,014694        | 0,179813                    | 0,009887        | -0,08222        |
| DIAUR    | <b>0,341335</b>                   | 0,129931        | <b>-0,4258</b>  | <b>0,41493</b>              | 0,159245        | <b>-0,61431</b> |
| ENDLZUZ  | -0,03772                          | -0,03986        | 0,043406        | -0,0064                     | 0,006722        | 0,088958        |
| EDGE     | 0,139095                          | <b>0,26454</b>  | 0,081642        | 0,079101                    | 0,189256        | 0,195471        |
| RHIAUR   | -0,10423                          | <b>-0,19138</b> | 0,035959        | -0,05084                    | -0,14077        | -0,0224         |
| CLSPOR   | <b>0,331717</b>                   | 0,125712        | -0,06655        | <b>0,449039</b>             | 0,076296        | -0,12149        |
| RHALED   | <b>0,177924</b>                   | <b>-0,47073</b> | 0,069524        | 0,018955                    | <b>-0,29783</b> | -0,00639        |
| YELLCEL  | <b>-0,21965</b>                   | <b>-0,59931</b> | 0,082208        | <b>0,2751</b>               | <b>-0,69227</b> | <b>0,247738</b> |
| ORANCEL  | <b>0,497642</b>                   | <b>0,241533</b> | 0,033657        | <b>0,724897</b>             | -0,15023        | 0,034538        |
| LIVEFOR  | <b>-0,31168</b>                   | <b>-0,19717</b> | <b>-0,74086</b> | -0,19212                    | -0,18151        | <b>-0,89598</b> |

přítomnost a barva papilek na vřetenovém křídle (*yellcel*, *orancel*, *rhaled*), délka a šířka spor (*sporlen*, *sporwid*). Ta je ale významně korelovaná, jak vyplývá ze standardizovaných koeficientů. Nejvíce přispívají k rozdělení do skupin podél jednotlivých diskriminačních os (standardní koeficienty) znaky: délka čepele (*lam*), šířka spor (*sporwid*), dvououškaté lístky (*diaur*), zavřený typ výtrusnic (*clspor*), oranžové papilky na křídle vřetena (*orancel*) a životní forma (*livefor*).

Pro pokus o stanovení kombinace znaků, které společně umožňují co nejlepší oddělení stanovených skupin, byla použita kroková diskriminační analýza, která postupným výběrem (*forward selection*) vyhodnotila nejlepší kombinace znaků (viz tab. 8). Hodnoty F-remove (*statistics for removal*) udávají statistickou významnost vybraných znaků v každém kroku diskriminační analýzy.

Z celkového počtu 35 analyzovaných znaků bylo postupným výběrem krokovou diskriminační analýzou vybráno 28 znaků, které ještě přispívají k rozdělení rostlin do jednotlivých skupin. Tento postup je vhodný k vyloučení nadbytečných znaků, kdy dvě nebo více proměnných nesou stejnou informaci. Omezené použití této metody však vyplývá ze vzájemných korelací jednotlivých znaků, kdy nemusí být některý důležitý znak vybrán, neboť jeho jedinečný diskriminační příspěvek je nižší než-li příspěvek jiných znaků již funkcí vybraných. Často je však třeba znát všechny znaky, které jsou důležité pro rozlišení skupin. Jejich jedinečná informace může být malá, ale lze ji vyjádřit pomocí kombinací znaků jiných. Proto nebylo sedm vyřazených znaků touto analýzou (viz znaky v dolní části tab. 8) z předchozí kanonické diskriminační analýzy vypuštěno.

Výsledky poměrně podobné předchozí kanonické analýze dává porovnání hodnot F-remove zjištěných zařazením pouze jediného znaku do diskriminační analýzy s hodnotami F-remove zjištěnými pro jednotlivé znaky krokovou diskriminační analýzou metodou *forward stepwise selection*, které uvádí tabulka 8.

Tab. 8: Hodnoty F-remove zjištěné v krokové diskriminační analýze znaků a pro jednotlivě zařazené znaky do diskriminační analýzy u poddruhu komplexu *Asplenium trichomanes* agg.

| Znak     | F-remove        |                            |
|----------|-----------------|----------------------------|
|          | jednotlivý znak | forward stepwise selection |
| YELLCEL  | 485,96          | 26,55                      |
| ORANCEL  | 430,75          | 24,76                      |
| LIVEFOR  | 357,85          | 138,43                     |
| DIAUR    | 246,7           | 73,71                      |
| SPORWID  | 361,94          | 21,49                      |
| CLSPOR   | 180,98          | 27,69                      |
| SPORLEN  | 317,34          | 5,4                        |
| EDGE     | 110,94          | 8,09                       |
| RHALED   | 302,79          | 6,34                       |
| PI7/8LEN | 6,57            | 5,88                       |
| INT7/8   | 21,97           | 2,2                        |
| IND1PI   | 15,15           | 4,19                       |
| ANNULEN  | 27,24           | 6,58                       |
| ENPIL/W  | 32,5            | 4,26                       |
| IND1/4PI | 11,56           | 3,06                       |
| MONOaur  | 2,59            | 4,22                       |
| PI7/8L/W | 7,13            | 3,51                       |
| PI1/2WBA | 26,59           | 2,27                       |
| LAM      | 10,12           | 4,06                       |
| IND1/2PI | 8,5             | 2,22                       |
| ENPILEN  | 16,43           | 2,51                       |
| RHIAUR   | 58,36           | 2,08                       |
| INT3/4   | 9,28            | 2,21                       |
| SCALEN   | 19,43           | 1,83                       |
| PICOVER  | 8,01            | 1,27                       |
| PI1/4WBA | 34,22           | 1,9                        |
| PI1/4WCE | 10,34           | 2,05                       |
| PI1/2LEN | 24,1            | 1,3                        |
| PI3/4LEN | 12,06           | –                          |
| PI1/4LEN | 37,54           | –                          |
| RHAWID   | 4,56            | –                          |
| IND3/4PI | 4,63            | –                          |
| PIPARSUM | 10,94           | –                          |
| PI3/4L/W | 7,59            | –                          |
| ENDLZUZ  | 4,5             | –                          |

Velmi vysoké hodnoty F-remove u znaků barvy papilek na křídle vřetene liště (*yellcel, orancel*) při analýze jednotlivých znaků nápadně klesají při krokové analýze. Je to způsobeno duplikací informace mezi těmito znaky. K obdobné duplikaci informace dochází také u znaků šířka a délka spor (*sporwid, sporlen*). Naopak zřejmě v kombinaci s délkou prstence u výtrusnice (*annulen*) se udržuje relativně vysoká hodnota F-remove, nezanedbatelně stoupá u délky čepele (*lam*). Znaky, u kterých výrazněji stoupá hodnota F-remove, značně zkvalitňují informaci získanou předchozími znaky. Nejméně významnými znaky pro rozdělení do skupin či duplikujícími se znaky, které byly při krokové diskriminační analýze zcela vyřazeny, jsou: délky lístků v 1/4 a 3/4 čepele (*pi3/4len, pi1/4len, pi3/4l/w*), celkový počet lístků na čepeli (*piparsum*), koncové zúžení čepele (*endlzuz*), šířka vřetena (*rhwid*) a počet ostér v 3/4 lístku (*ind3/4pi*).

Důležité znaky, které z krokové diskriminační analýzy (tab. 8) vyplývají, se v podstatné míře shodují s představou získanou o vzájemných vztazích znaků v předchozích analýzách.

### 3.2.4 Rozdíly hodnot jednotlivých znaků

Rozdíly mezi hodnotami jednotlivých kvantitativních znaků mezi taxony byly analyzovány jednocestnou analýzou variance (ANOVA). Znaky, u kterých nebyly zjištěny průkazné rozdíly ( $p > 0.05$ ) mezi taxony, nejsou dále uvedeny v přehledu hodnot znaků (viz Příloha 1). Jedná se o tyto znaky: *int1, int1/2, pi7/8wce, annusmcl, ind7/8pi, enpisum*. Přehled základních charakteristik pro jednotlivé znaky (minimum, maximum, průměr, směrodatná odchylka) a výsledky analýzy variance a mnohonásobného porovnání (Tukey test) znaků mezi jednotlivými taxony jsou uvedeny v Příloze 1.

U binárních znaků byla zjištěna frekvence výskytu (kontingenční tabulky) jednotlivých stavů (0, 1) u všech těchto znaků pro jednotlivé taxony (viz tab. 9).

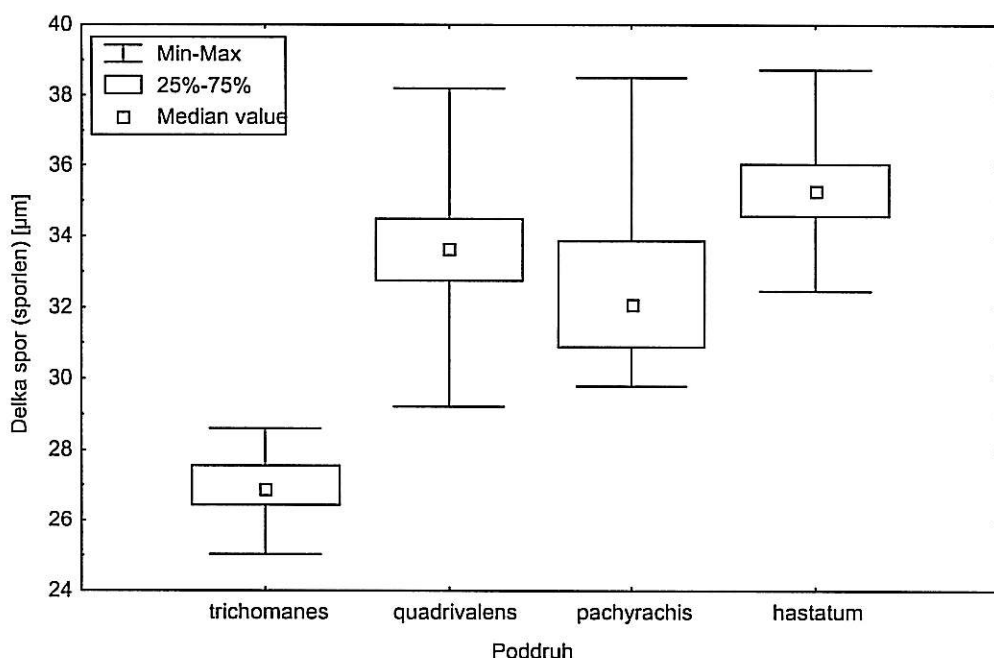
Tab 9: Frekvence výskytu stavu 1 u kvalitativních binárních znaků (0, 1) pro jednotlivé poddruhy komplexu. Tučně jsou vyznačeny nejvíce vysvětlující hodnoty  $x < 0,2$  nebo  $x > 0,8$ .

| Znak    | <i>trichomanes</i> | <i>quadrivalens</i> | <i>pachyrachis</i> | <i>hastatum</i> |
|---------|--------------------|---------------------|--------------------|-----------------|
| PICOVER | <b>0</b>           | 0,37                | 0,4                | 0,49            |
| MONOaur | <b>0</b>           | <b>0,17</b>         | 0,07               | <b>0,12</b>     |
| DIAUR   | <b>0</b>           | <b>0,03</b>         | 0,2                | <b>0,86</b>     |
| ENDLZUZ | 0,63               | 0,72                | 0,64               | 0,47            |
| EDGE    | 0,6                | <b>0,07</b>         | <b>1</b>           | 0,6             |
| RHIAUR  | <b>0,18</b>        | 0,72                | <b>0</b>           | <b>0</b>        |
| CLSPOR  | <b>0</b>           | <b>0,1</b>          | <b>0,87</b>        | <b>0,95</b>     |
| RHALED  | <b>0,03</b>        | <b>0,97</b>         | 0,8                | <b>0,91</b>     |
| YELLCEL | <b>0,06</b>        | <b>0,97</b>         | <b>0</b>           | <b>0,14</b>     |
| ORANCEL | <b>0</b>           | <b>0,01</b>         | <b>1</b>           | <b>0,84</b>     |
| LIVEFOR | <b>1</b>           | <b>0,99</b>         | <b>0</b>           | <b>0,84</b>     |

### 3.2.5 Poznámky k některým významným determinačním znakům

#### 3.2.5.1 Délka výtrusů (*sporlen*)

Délka výtrusů (*sporlen*) je znakem velmi výrazně korelovaným se stupněm ploidie taxonů a významně se statisticky liší mezi jednotlivými poddruhy ( $F = 317,3$ ;  $p < 10^{-5}$ ; mnohonásobné porovnání viz Příloha 1). Hodnota pro délku spor byla zjištěna měřením 20–30 spor na rostlinu, což je standardní metoda v pteridologii při hodnocení délky spor. Celkově muselo být změřeno více než 9 000 spor.



Obr. 10: Rozdíly v délkách výtrusů (*sporlen*) u jednotlivých poddruhů komplexu *A. trichomanes* agg. (skutečné hodnoty).

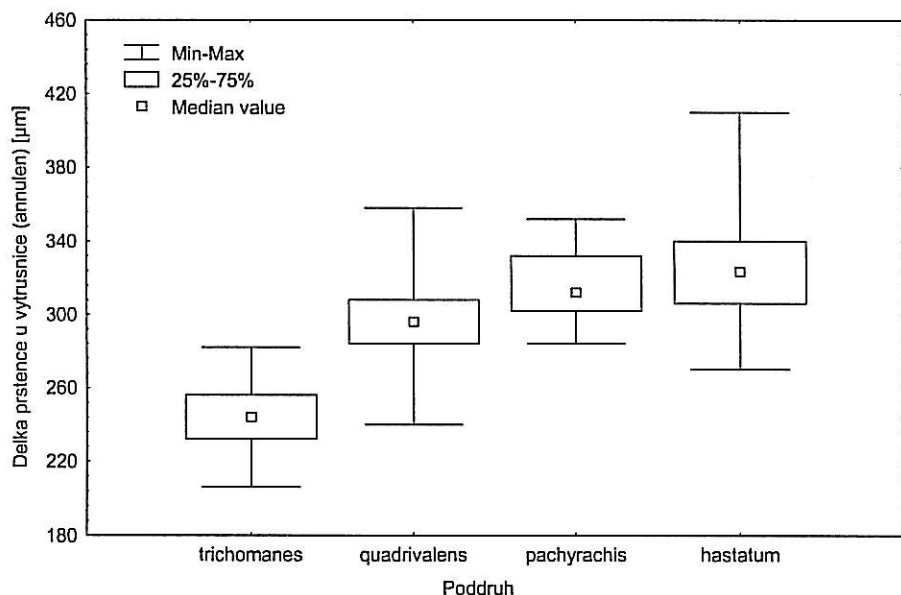
U diploidní subsp. *trichomanes* se průměrné rozmezí délek výtrusů pohybuje okolo 25–29 μm, zatímco u tetraploidních poddruhů se průměrné rozmezí délek výtrusů pohybuje okolo 29–39 μm (viz obr. 10). Jistý, již však méně patrný rozdíl v průměrných délkách výtrusů lze pozorovat i v rámci tetraploidních taxonů viz obr. 10.

Jednotlivé poddruhy se mohou odlišovat také celkovou ornamentací na povrchu výtrusů. Tato charakteristika je však obtížněji postihnutevná (viz Příloha 4).

#### 3.2.5.2 Délka a charakter prstence na výtrusnici (*annulen, clspor*)

Délka prstence na výtrusnici (*annulen*) je opět znakem významně korelovaným se stupněm ploidie taxonů a významně se mezi některými taxony statisticky liší ( $F = 126,11$ ;  $p < 10^{-5}$ ; mnohonásobné porovnání viz Příloha 1). Hodnoty pro diploidní

subsp. *trichomanes* jsou opět výrazně nižší, než u hodnot pro tetraploidní taxony (viz obr. 11).

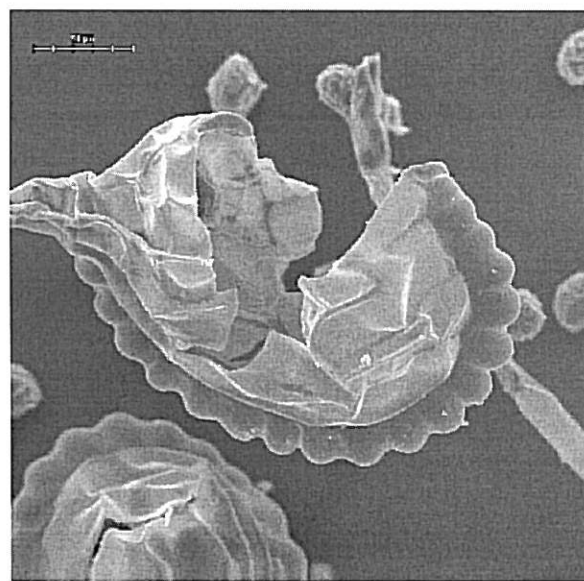


Obr. 11: Rozdíly v délkách prstence na výtrusnici (*annulen*) u jednotlivých poddruhů komplexu *A. trichomanes* agg. (skutečné hodnoty).

U poddruhů komplexu *A. trichomanes* agg. lze nalézt rozdílný charakter prstence resp. celé výtrusnice. Prvním typem je tzv. otevřený typ, kdy výtrusnice po dozrání spor pukne, roztrhne se a prstenec se téměř zcela napřímí (obr. 12). Naopak druhým typem je tzv. typ uzavřený, kdy výtrusnice po dozrání pukne, ale neroztrhne se a prstenec zůstane ohnutý (viz obr. 13).



Obr. 12: Otevřený typ výtrusnice  
(délka měřítka je 50 μm)

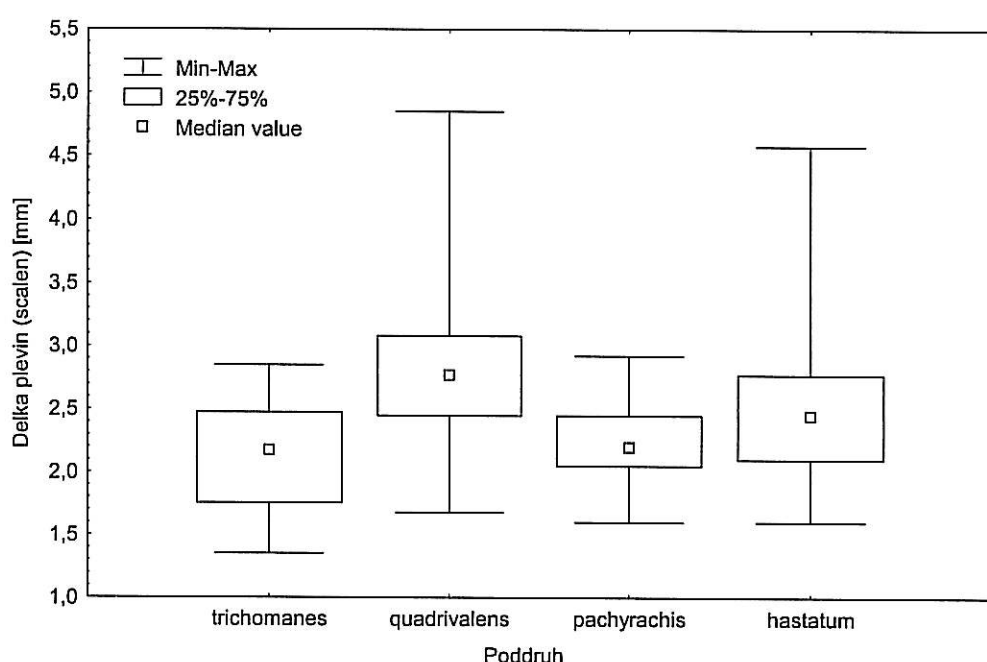


Obr. 13: Zavřený typ výtrusnice  
(délka měřítka je 50 μm)

Podle charakteru prstence na výtrusnici (*clspor*) lze taxony komplexu rozdělit do dvou skupin. U taxonů subsp. *trichomanes* a subsp. *quadrivalens* se vyskytuje výhradně otevřený typ výtrusnic (napřímený prstenec) a u subsp. *pachyrachis* a subsp. *hastatum* lze nalézt téměř výhradně zavřený typ výtrusnic (ohnutý prstenec). Frekvence výskytu typu prstence u jednotlivých poddruhů viz tab. 9, kap. 3.2.4.

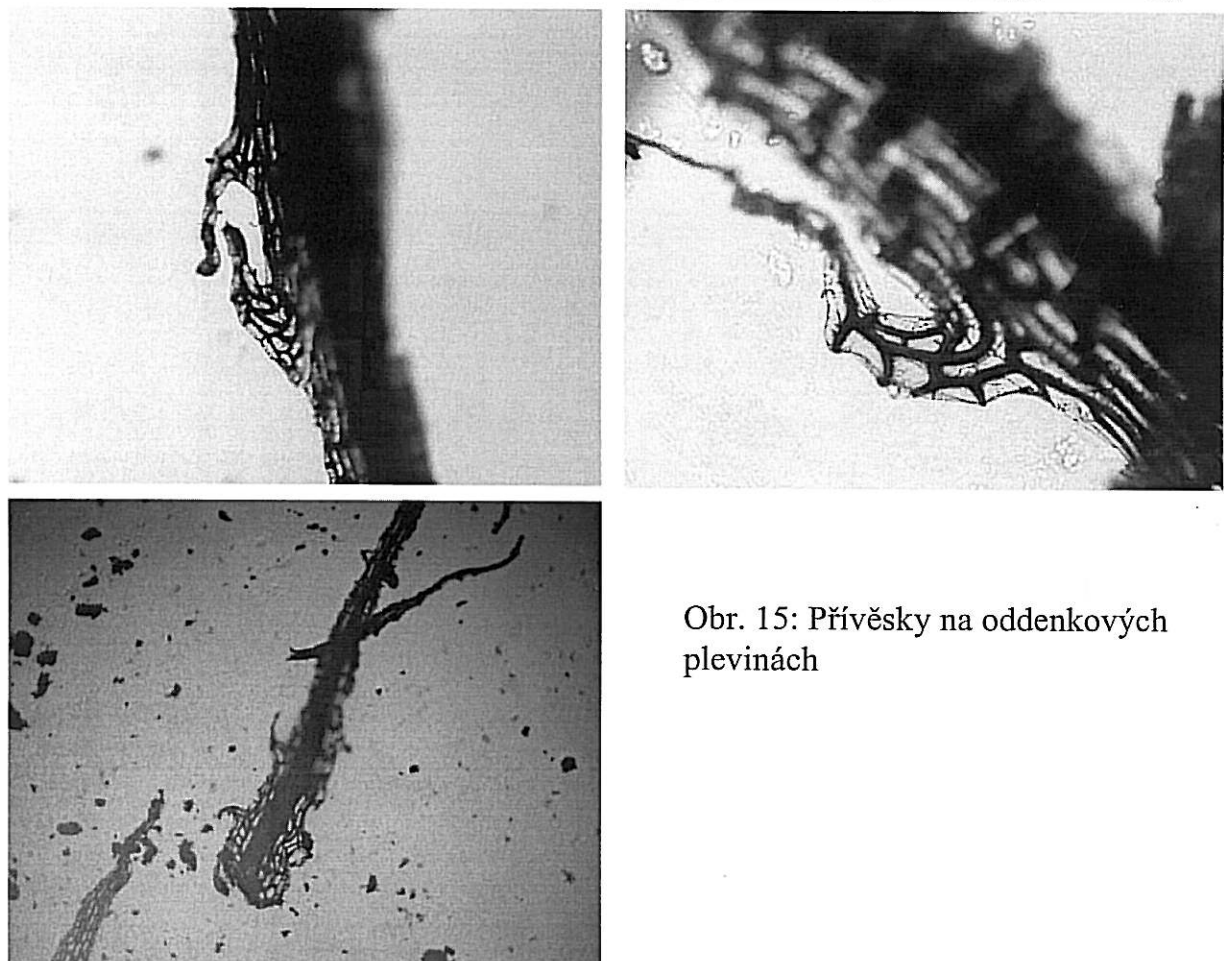
### 3.2.5.3 Délka oddenkových plevin (*scalen*) a přítomnost přívěsků na plevinách (*scaaur*)

Délka oddenkových plevin (*scalen*) je jedním z nejdůležitějších znaků používaných běžně k determinaci v botanických klíčích. Tento znak se významně mezi některými taxony statisticky liší ( $F = 19,43$ ;  $p < 10^{-5}$ ; mnohonásobné porovnání viz Příloha 1). Ze získaných výsledků vyplývá, že délka plevin je vhodným znakem k odlišení pouze mezi subsp. *trichomanes* a subsp. *quadrivalens* (viz obr. 14).



Obr. 14: Rozdíly v délkách oddenkových plevin (*scalen*) u jednotlivých poddruhů komplexu *A. trichomanes* agg. (skutečné hodnoty).

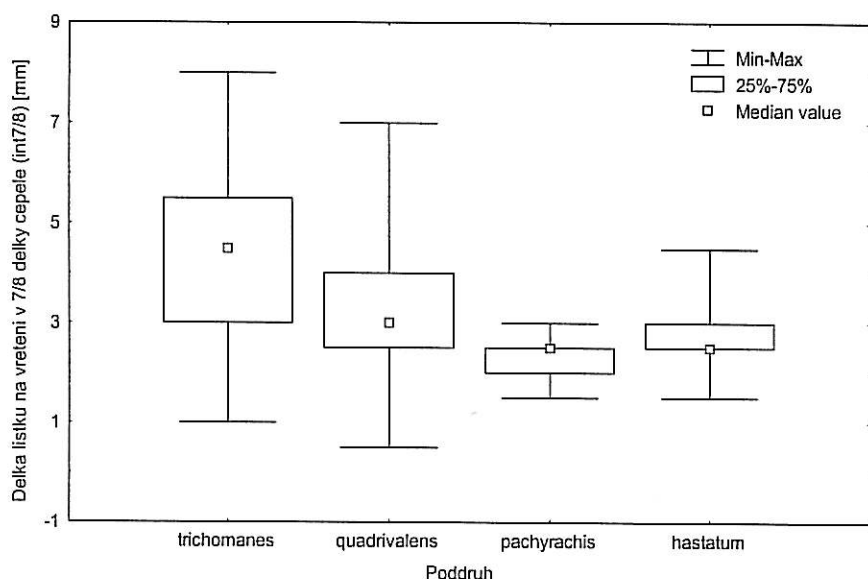
Na oddenkových plevinách u subsp. *quadrivalens* byly na bazální části nalezeny mnohobuněčné přívěsky (viz obr. 15). U dalších taxonů se tento znak zpravidla nevyskytuje. Frekvence výskytu přívěsků na plevinách u jednotlivých poddruhů viz tab. 9, kap. 3.2.4.



Obr. 15: Přívěsky na oddenkových plevinách

### 3.2.5.4 Vzdálenost mezi lístky na vřeteni v 7/8 délky čepele (*int7/8*)

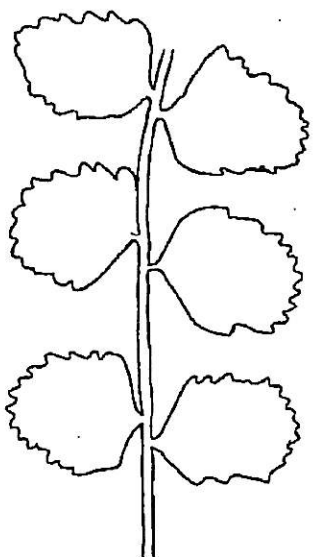
Vzdálenost mezi lístky na vřeteni v koncové (7/8) části délky čepele (*int7/8*) se významně statisticky liší mezi některými taxony ( $F = 21,97$ ;  $p < 10^{-5}$ ; mnohonásobné porovnání viz Příloha 1). Ze získaných výsledků vyplývá, že subsp. *trichomanes* má zřetelně delší rozestupy v 7/8 délky čepele než ostatní taxony (viz obr. 16).



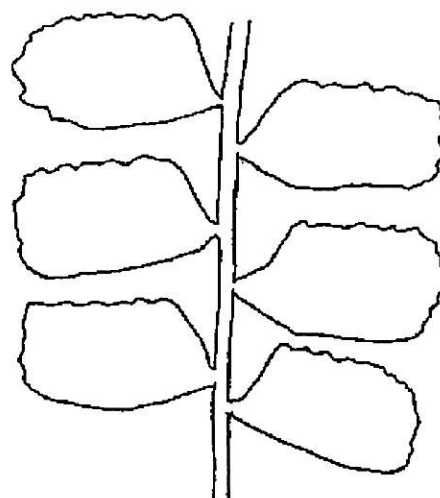
Obr. 16: Rozdíly ve vzdálenostech mezi lístky v 7/8 délky čepele (*int7/8*) u jednotlivých poddruhů komplexu *A. trichomanes* agg. (skutečné hodnoty).

### 3.2.5.5 Celkový charakter lístků

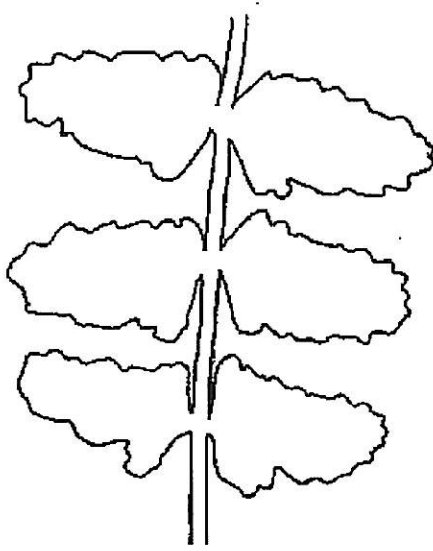
Jednotlivé taxony komplexu *A. trichomanes* agg. se dají odlišit charakteristickým tvarem lístů. Charakteristický tvar těchto lístků u jednotlivých poddruhů ilustrují obr. 17.



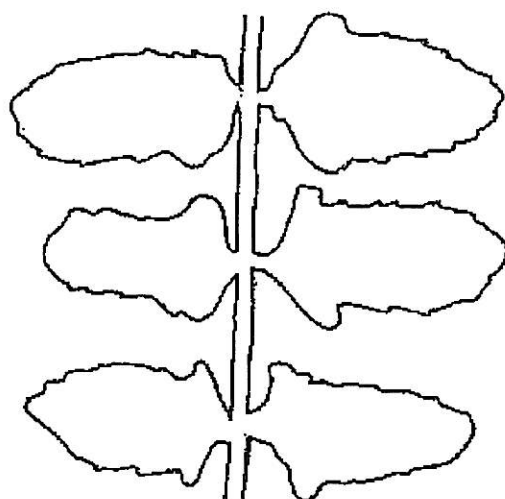
subsp. *trichomanes*



subsp. *quadrivalens*



subsp. *pachyrachis*

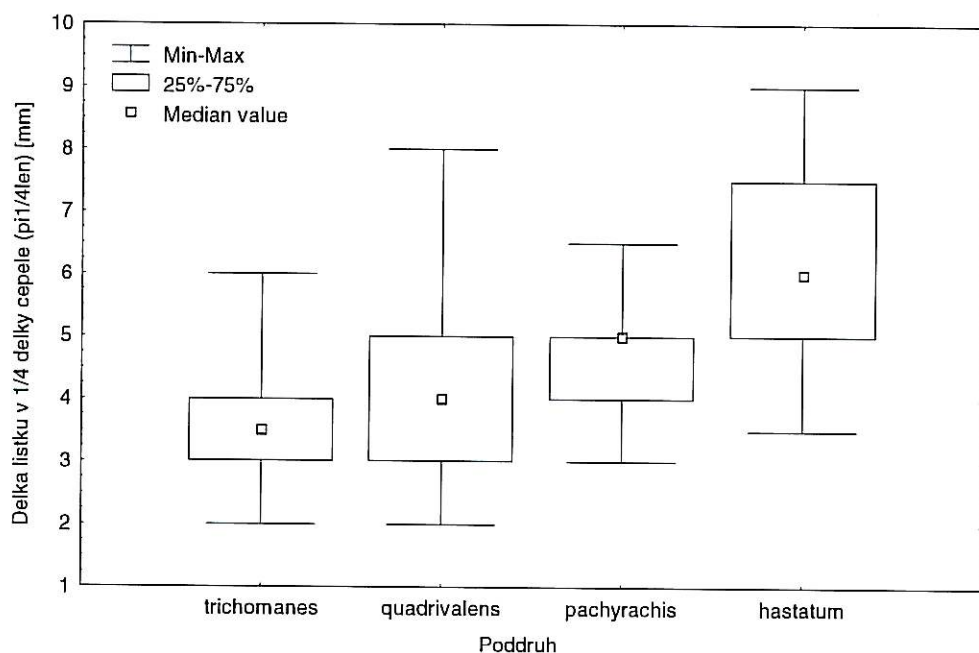


subsp. *hastatum*

Obr. 17: Nákresy tvarů lístů u jednotlivých taxonů komplexu *Asplenium trichomanes* agg. asi v 1/3 délky čepele (orig. Hofhanzlová).

### 3.2.5.6 Délka lístků v 1/4 délky čepele (*pi1/4len*)

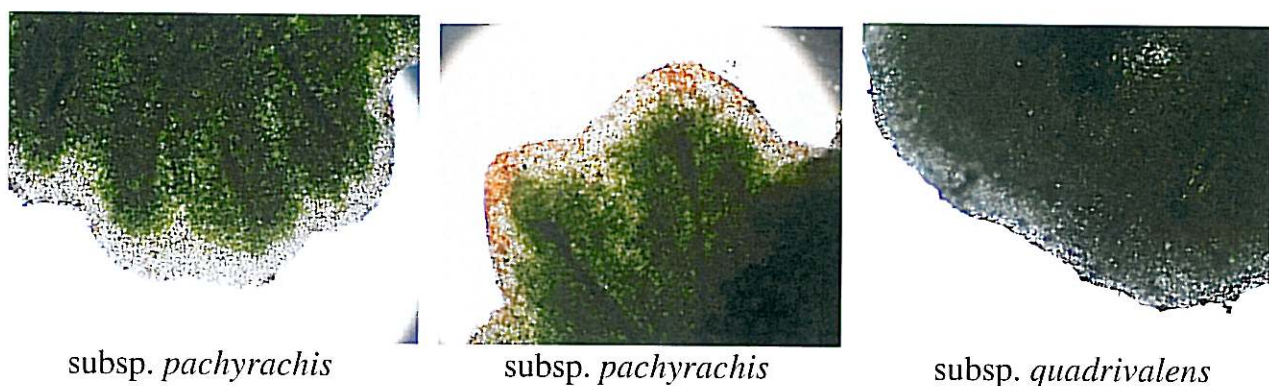
Délka lístků v 1/4 délky čepele (*pi1/4len*) se významně statisticky liší mezi některými taxony ( $F = 37,54$ ;  $p < 10^{-5}$ ; mnohonásobné porovnání viz Příloha 1). Subspecie *hastatum* se zřetelně liší nejdelšími lístky v 1/4 délky čepele od ostatních taxonů komplexu (viz obr. 18).



Obr. 18: Rozdíly v délkách lístků v 1/4 délky čepele (*pi1/4len*) u jednotlivých poddruhů komplexu *A. trichomanes* agg. (skutečné hodnoty).

### 3.2.5.7 Přítomnost lemu při okrajích lístků (*edge*)

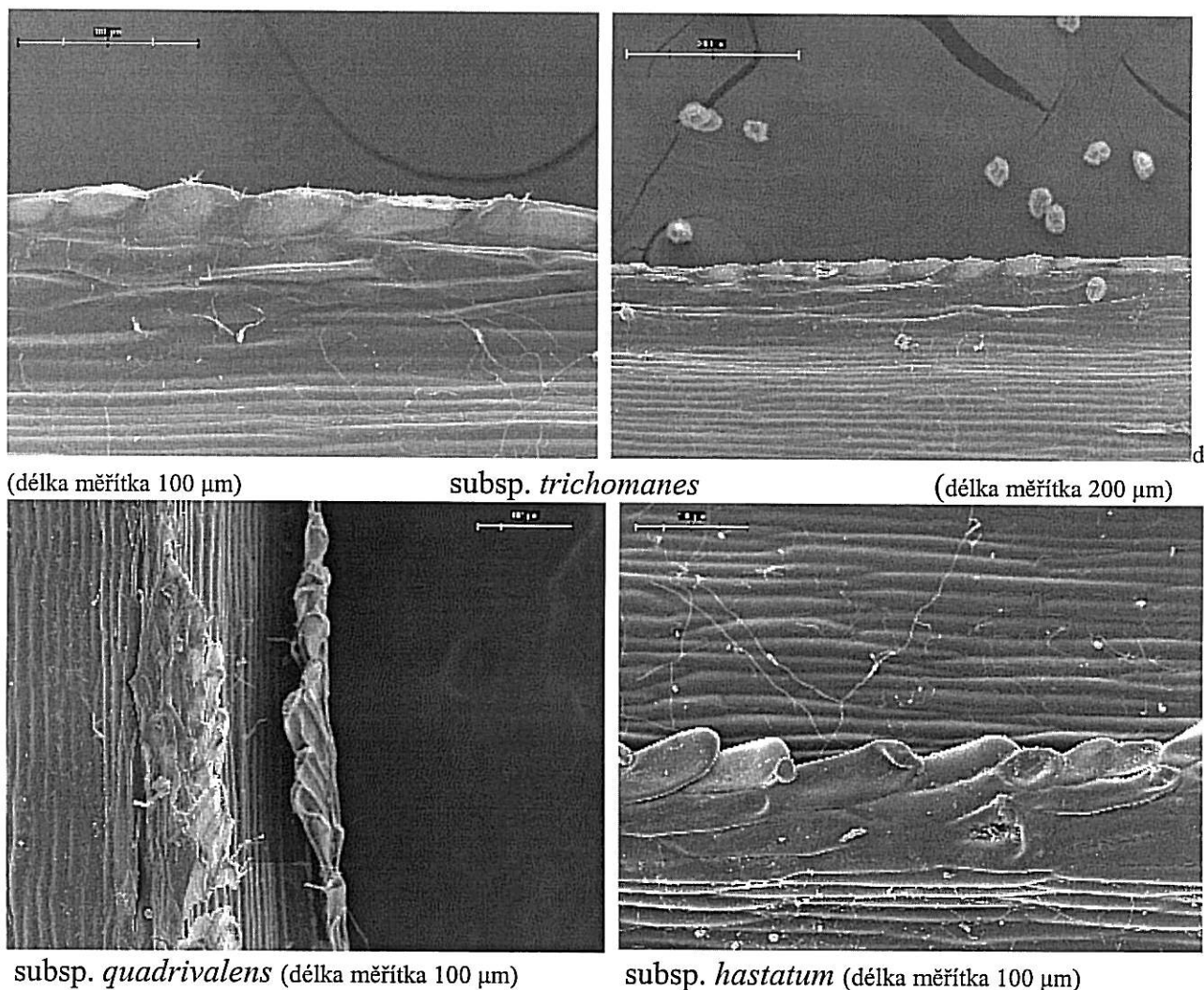
Na okrajích lístků u subsp. *pachyrachis* se nachází výrazný světlý lem (viz obr. 19). U dalších taxonů se tento znak zpravidla nevyskytuje. Frekvence výskytu lemu na okrajích lístků u jednotlivých poddruhů viz tab. 9, kap. 3.2.4.



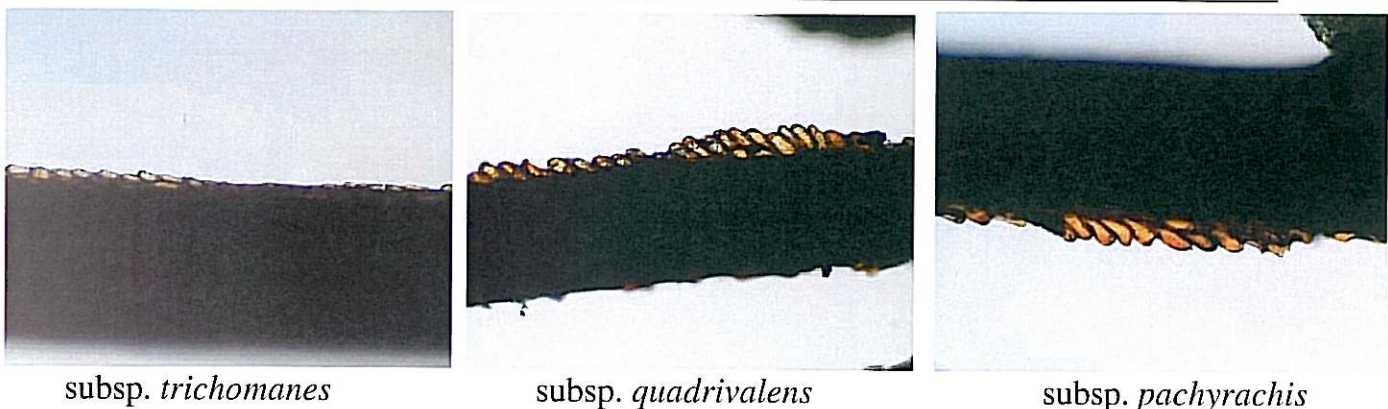
Obr. 19: Přítomnost lemu na okrajích lístků u subsp. *pachyrachis* v porovnání lístek bez lemu u subsp. *quadrivalens*.

### 3.2.5.8 Charakter a barva vřetenové lišty (*rhaled*, *yellcel*, *orancel*)

Po celé délce listového vřetena se nachází žlábek, na jehož okrajích se vždy vyskytují více či méně výrazné lišty s papilkami (*rhaled*). U subsp. *trichomanes* jsou papilky na těchto lištách velmi nevýrazné a zaoblené, zatímco u ostatních taxonů papilky na lištách tvoří výrazné až vícebuněčné shluky mnohdy s ostře zakončenými jednotlivými vystouplými papilkami (viz obr. 20). Také barva těchto papilek je charakteristická pro některé taxony komplexu *A. trichomanes* agg. U subsp. *trichomanes* jsou nevýrazné papilky světlé až mírně nažloutlé, u subsp. *quadrivalens* jsou výrazně žluté, subsp. *hastatum* je charakteristická oranžovou barvou těchto papilek podobně jako u subsp. *pachyrachis*, kde zpravidla oranžově zbarvené papilky mají až načervenalý nádech (obr. 21). Frekvence výskytu papilek na vřetenové liště a jejich barvy u jednotlivých poddruhů je uvedena v tab. 9, kap. 3.2.4.



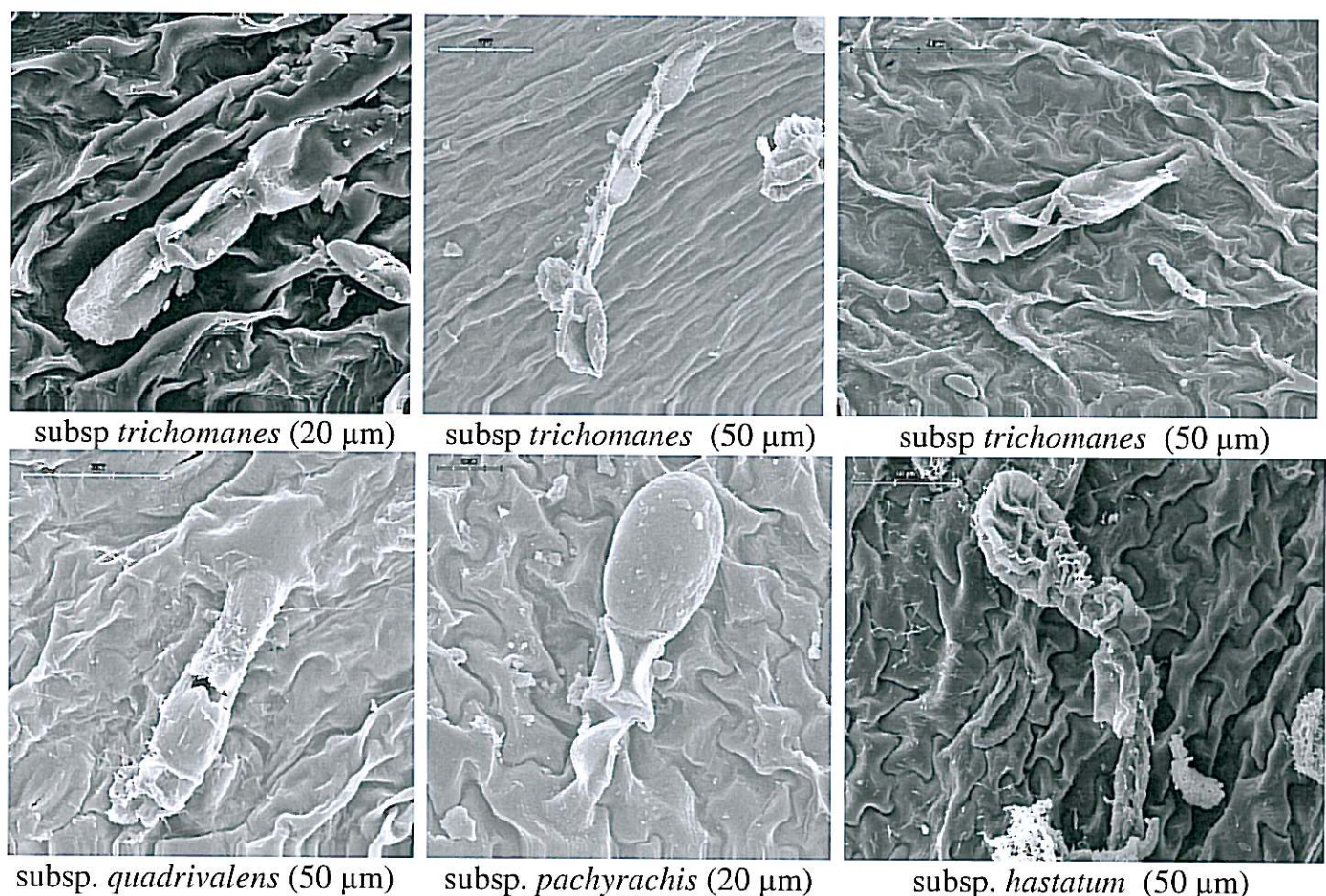
Obr. 20: Rozdíly v charakteru vřetenové lišty (*rhaled*).



Obr. 21: Rozdíly v charakteru a barvě vřetenové lišty (*rhaled*, *yellcel*, *orancel*) mezi poddruhy komplexu *A. trichomanes* agg.

### 3.2.5.9 Žlázky na spodní straně lístků (*hairpin*)

Na spodních stranách lístků byly překvapivě u všech poddruhů komplexu *A. trichomanes* agg. nalezeny zcela vyvinuté žlázky (viz obr. 22).



Obr. 22: Žlázky na spodní straně lístků (*hairpin*) u jednotlivých poddruhů komplexu *A. trichomanes* agg. Hodnoty za názvy taxonů udávají délky měřítka.

### 3.3 Hybridní taxonomy

Z celkového počtu 434 analyzovaných rostlin bylo nalezeno 26 rostlin hybridních (= 6 % z celkového počtu analyzovaných rostlin). Podíl hybridních rostlin v revidovaném herbářovém materiálu činil asi 7 % (viz Příloha 3). Většina kříženců se zpravidla vyznačuje intermediárními morfologickými znaky mezi rodičovskými taxonomy (viz Příloha 4), abortovanými výtrusy (viz obr 23; srovnej s obrázky vyvinutých výtrusů Příloha 4) a často velkým podílem abortovaných výtrusnic (viz obr. 24; srovnej s obrázky vyvinutých výtrusnic obr. 12, 13 v kap. 3.2.5.2).

V průběhu studia byly nalezeny tyto 4 hybridní taxonomy:

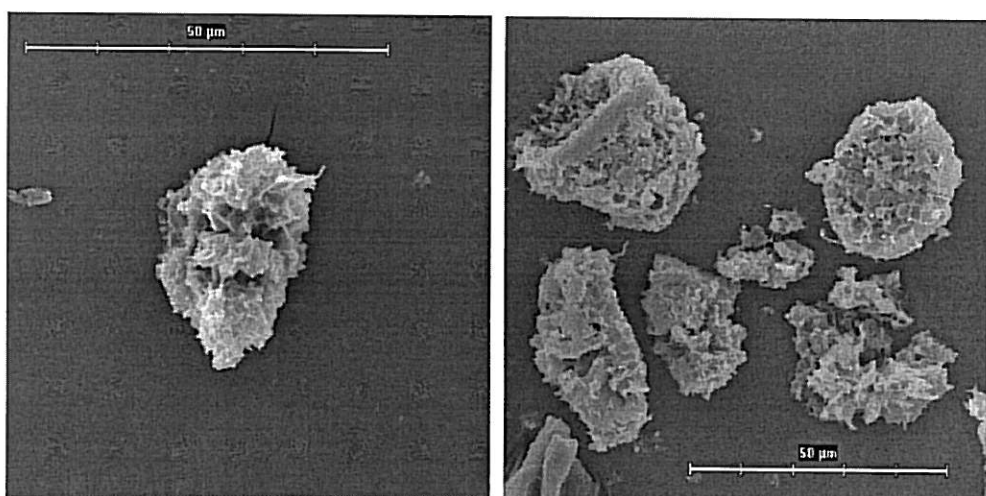
*A. trichomanes* nothosubsp. *lusaticum* (subsp. *quadrivalens* × subsp. *trichomanes*)  
3 rostliny

*A. trichomanes* nothosubsp. *lovisianum* (subsp. *hastatum* × subsp. *quadrivalens*)  
17 rostlin

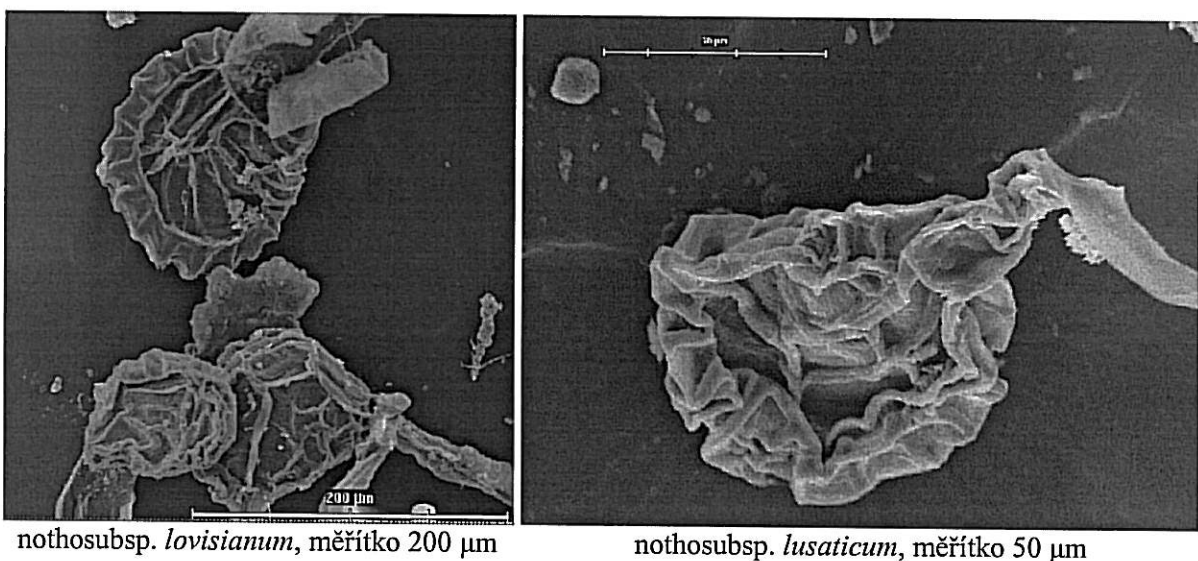
*A. trichomanes* nothosubsp. *moravicum* (subsp. *hastatum* × subsp. *pachyrachis*)  
5 rostlin

*A. trichomanes* nothosubsp. *staufferi* (subsp. *pachyrachis* × subsp. *quadrivalens*)  
1 rostlina

Pomocí metody průtokové cytometrie byla ověřena triploidní nothosubsp. *lusaticum*. Některé vzorky od všech ostatních hybridních taxonů revidoval také zahraniční specialist S. Jessen.



Obr. 23: Abortované výtrusy u hybridních taxonů (nothosubsp. *lovisianum* 6-13). Délka měřítka je 50 µm.



Obr. 24: Abortované výtrusnice u hybridních taxonů.

### 3.4 Revize rozšíření jednotlivých taxonů komplexu

Revize rozšíření jednotlivých taxonů komplexu *A. trichomanes* agg. byla provedena na základě vlastních sběrů, které převyšují rámec studovaných lokalit a na základě revize herbářových položek z největších veřejných herbářových sbírek CB, PR, PRC, BRNU, BRNM. Celkem bylo revidováno více než 800 herbářových položek (viz Příloha 3). Zatím se jedná o předběžnou revizi rozšíření, jelikož z časových důvodů nebylo možné v rámci této práce dokončit kompletní revizi rozšíření jednotlivých taxonů na území ČR. Detailní rozbor rozšíření jednotlivých poddruhů je uveden v rámci zpracování jednotlivých poddruhů v kapitole 3.5 (viz obr. 25–28).

### 3.5 Charakteristika poddruhů nalezených v ČR

V následujícím přehledu je uvedena charakteristika poddruhů komplexu *Asplenium trichomanes* na základě studovaných rostlin z České republiky a excerpte údajů ze zahraniční literatury (především z materiálů Jessena [JESSEN 1997, 1999]). Celkový popis jednotlivých taxonů je pojat stejnou formou, jako jsou zpracovány taxony pro Květenu ČR (CHRTEK, SLAVÍK et TOMŠOVIC 1982).

#### *Asplenium trichomanes* L. – sleziník červený

*A. trichomanes* LINNAEUS, Sp. Pl. ed. 1: 1080, 1753. – Syn.: *Asplenium trichomanoides* LUMN. Fl. Poson. 462, 1791. – *Asplenium saxatile* SALISB. Prodr. Stirp. 403, 1796.

Vytrvalé hustě trsnaté bylinky s vodorovným nebo vystoupavým oddenkem hustě pokrytým červenohnědými až tmavohnědými plevinami; pleviny až 5 mm dl., kopinaté až čárkovitě kopinaté s tmavohnědým až červenohnědým středním žebrem, celokrajné n. na okrajích s drobnými mnohobuněčnými přívěsky. Listy stejnotvaré, vzpřímené, převislé, n. růžicovitě k podkladu přitisklé, jednoduše zpeřené, úzce čárkovitě kopinaté, nahloučené v hustém trsu, přezimující, (1,5)–6–20(–35) cm dl., a 1,5(–2) cm šir., čepel k vrcholu se zřetelně zužující n. nezúžená, přímá n. obloukovitě, zřídka až esovitě prohnutá; lístky vstřícné nebo střídavé v (9)–15–28(–48) párech, výrazně oddálené n. sblížené, dotýkající se až střechovitě se překrývající, tuhé n. jemné konzistence, s krátkým hnědým až zeleným řapíčkem 0,2–0,6 mm dl. n. přisedlé, okrouhlé až vejčité, obdélníkovité n. trojúhelníkovité až hrálovité, symetrické n. výrazně nesymetrické, na bázi uťaté n. k řapíčku klínovitě zúžené případně s jedním n. dvěma výraznými oušky, na okrajích hustě n. řídce zubaté, se zvlněným okrajem n. téměř celokrajné, vzác. s výrazným bílým lemem, (2)–4–7(–18) mm dl. a 2–4(–8) mm šir., tmavě n. žlutě zelené, na spodní straně řídce n. hustě žláznaté, žlázky jednoduché, světlé n. zakončené velkou kulovitou až válcovitou žlutou koncovou buňkou, koncový lístek jednoduchý n. členěný do 3(–6) dílů, (1,5)–3–7(–13) mm dl. a (1)–2–6(–10) mm šir.; průduchy (32)–35–47(–55)  $\mu\text{m}$  dl.; vřeteno tmavohnědé až červenohnědé, zpravidla lesklé, tuhé n. velmi křehké, ve středu čepele 0,2–0,6 mm šir., zřetelně křídlaté, křídla s výraznými žlutými až oranžovými papilkami n. téměř bez papilek; řapík se stejnou konzistencí jako vřeteno, výrazně kratší než čepel, 1–5 cm dl. Výtrusnicové kupky podlouhlé, kryjící výtrusnice do zralosti výtrusů, na nejspodnějších lístcích bez ostér, na lístcích ve středu čepele po 3–8 ostřárách na jednom lístku, ostěra bělavá, celokrajná nebo mělce vroubkovaná. Výtrusnice hnědé až načervenalé, po puknutí s napřímeným nebo srpovitě zahnutým prstencem 200–410  $\mu\text{m}$  dl. Výtrusy oválné zřídka kulovité, světle až tmavě hnědé, na povrchu s ostnitými lištami a jednotlivými drobnými ostny, (20)–25–38(–47)  $\mu\text{m}$  dl. a 20–28  $\mu\text{m}$  šir. VII–X. Hkf.

2n = 72, 144 (extra fines) (ČR: 2x a 4x rostliny zjištěny ve více případech z celého území)

**Variabilita:** Morfologicky velmi proměnlivý druh zvláště ve tvaru a členění čepele a lístků, velikostí spor, plevin, výtrusnic aj. Lze rozlišit několik taxonů různé ploidní úrovně se specifickou preferencí různých typů substrátů, které bývají hodnoceny nejčastěji na úrovni subspecie. V současnosti je ze střední Evropy udáváno pět subspecií. Na našem území se s jistotou vyskytuje čtyři. Jediná subspecie, která nebyla dosud z území České republiky potvrzena je *Asplenium trichomanes* subsp. *inexpectans* LOVIS. Tento diploidní poddruh je znám také z vápencových oblastí některých států střední Evropy (Rakousko, Slovensko). Vyznačuje se vzpřímenými listy, výrazně jemnými, čtvercovitými případně obdélníkovitými lístky, navzájem se dotýkajícími, s čepelí k vrcholu nezúženou pouze 7–12 cm dl., a s 4–7 mm širokým koncovým lístkem; spory (23)–29–36(–42)  $\mu\text{m}$  dl.; 2n = 72.

- 1a Listy vzpřímené n. převislé; čepel (3,5–) 6–25(–35) cm dl. a 6–10 mm šir., k vrcholu se zužující, lístky zpravidla nesymetrické, na vřeteni více či méně oddálené, vz. se navzájem dotýkající, okrouhlé, vejčité n. obdélníkovité, na bázi bez výrazných oušek n. vz. s jedním ouškem, okraj lístků bez výrazného bílého lemu, s četnými malými a oblými zuby, koncový vrcholový lístek asi  $1,5 \times$  delší než široký, na spodní straně lístků roztroušené žlázky n. jednoduché chlupy, ve spodní čtvrtině čepele zpravidla jen 0–3 výtrusných kupek; vřeteno tenké, vzpřímené n. mírně zahnuté, vřetenová křídla se světlými, žlutými n. téměř neznatelnými papilkami, pleviny často s třásnitými přívěsky; výtrusnice po puknutí s napřímeným prstencem..... 2
- b Listy růžicovitě uspořádané a zpravidla přitisknuté k podkladu, čepel (1,5–)6–14(–22) cm dl., 8–15 mm šir., k vrcholu zpravidla nezúžená, lístky zpravidla symetrické, na vřeteni většinou hustě nahloučené a vzájemně se dotýkající až střechovitě překrývající, podlouhle obdélníkovité až trojúhelníkovité hrálovité, často s dvěma oušky, okraj lístků někdy s výrazným bílým lemem, často s nápadně hluboce zoubkované n. pouze zvlněné, koncový vrcholový lístek stejně nebo nejvíce  $1,5 \times$  delší než široký; na spodní straně lístků jednotlivé až roztroušené žlázky (především u báze) ukončené velkou kulovitou až válcovitou buňkou; ve spodní čtvrtině čepele zpravidla 3–6 výtrusných kupek; vřeteno nápadně silné, křehké, srpovitě až esovitě zakřivené, vřetenová křídla s výraznými oranžovými až načervenalými papilkami; pleviny bez třásnitých přívěsků; výtrusnice po puknutí zpravidla se srpovitě zakřiveným prstencem..... 3
- 2a Lístky tenké, okrouhlé zřídka eliptické, čepel s výraznými rozestupy mezi lístky (3–6 mm) v hor. části čepele (vzdálenost mezi řapíčky); vřetenová křídla se světlými, téměř neznatelnými papilkami; pleviny převážně kratší než 3 mm, zpravidla bez třásnitých přívěsků; prstenec výtrusnice asi 200–280  $\mu\text{m}$  dl., výtrusy (20–)25–29(–35)  $\mu\text{m}$  dl., světle jantarově hnědé..... subsp. *trichomanes*
- b Lístky tlusté, obdélníkovité až vejčité, čepel s nevýraznými rozestupy mezi lístky (2,5–3,5 mm) v hor. části čepele (vzdálenost mezi řapíčky), až vzájemně se dotýkající; vřetenová křídla s výraznými žlutými papilkami; pleviny zpravidla delší než 3 mm často s několika třásnitými přívěsky; prstenec výtrusnice asi asi 240–360  $\mu\text{m}$  dl.; výtrusy (24–)29–38(–45)  $\mu\text{m}$  dl., tmavě až světle hnědé ..... subsp. *quadrivalens*
- 3a Listy nálevkovitě uspořádané, vzpřímené, někdy k podkladu přitisknuté; lístky obdélníkovité až trojúhelníkovité hrálovité, v dol. části čepele zpravidla se dvěmi výraznými oušky, okraj zvlněný n. vzác. s malými oblými zuby, bez přítomnosti výrazného bílého lemu, lístky navzájem se dotýkající někdy až překrývající n. mírně od sebe oddálené, svrchní strana čepele nažlutle zelená; vřeteno tuhé, zpravidla vzpřímené n. mírně zahnuté; výtrusy tmavě až světle hnědé, při pozorování zpravidla neprůsvitné..... subsp. *hastatum*
- b Listy k podkladu růžicovitě přitisknuté, lístky úzce obdélníkovité až podlouhle trojúhelníkovité, někdy se jedním až dvěma oušky; okraj s nápadnými hluboce vykrojenými, kupředu namířenými zuby n. pouze zvlněný zpravidla s výrazným úzkým světlým lemem, lístky hustě na vřeteni nahloučené, zpravidla střechovitě se překrývající, svrchní strana čepele namodrale zelená; vřeteno křehké, zpravidla obloukovitě až esovitě prohnuté; výtrusy světlé, jantarově hnědé a při pozorování zpravidla zřetelně průsvitné..... subsp. *pachyrachis*

(a) subsp. *trichomanes* – sleziník červený pravý

*Asplenium trichomanes* subsp. *trichomanes*. – Syn.: *A. trichomanes* subsp. *bivalens* D. E. MEY., Ber. Deutsch. Bot. Ges. 74:456, 1962. – *A. melanocaulon* WILLD. Enum. Pl. Hort. Berol. 1072, 1809. – *A. trichomaniforme* H. P. FUCHS Acta Bot. Acad. Sci. Hungar. 9:19, 1963, nom. inval. – *Asplenium linnaei* SOÓ, Symp. Syst.-Geob. Fl. Ver. Hungar. 1:531, 1964.

Exsikáty: Fl. Exs. Reipubl. Bohem. Slov., no 104 (et *A. t. nothosubsp. lusaticum*, *A. t. subsp. quadrivalens*), 401 (et *A. t. nothosubsp. lusaticum*, *A. t. subsp. quadrivalens*). – Extra fines: CALLIER Fl. Siles. Exs., no 1192. – Fl. Hung. Exs., no 331 (et *A. t. subsp. quadrivalens*).

Pleviny červenohnědé zpravidla do 3,5 mm dl., na okrajích celokrajné, vzácně s mnohobuněčnými přívěsky. Listy vzpřímené, (4)–8–16(–25) cm dl., čepel přímá, k vrcholu zřetelně se zužující, lístky v (9)–15–28(–40) párech, výrazně oddálené především v horní části čepele, téměř přisedlé, okrouhlé až vejčité u báze klínovitě zúžené, zpravidla nesymetrické, bez oušek, na okrajích výrazně zubaté n. téměř celokrajné, v 1/4 čepele (2)–3–4(–6) mm dl., na spodní straně řidce žláznaté n. chlupaté, koncový lístek jednoduchý, průduchy (32)–35–40(–45)  $\mu\text{m}$  dl.; vřeteno červenohnědé, tuhé, ve středu čepele (0,2)–0,3–0,4(–0,6) mm šir., zřetelně křídlaté, křídla téměř bez výrazných papilek. Výtrusnicové kupky na lístcích ve středu čepele po 3–5 na jednom lístku. Výtrusnice hnědé, po puknutí s napřímeným prstencem, 200–280  $\mu\text{m}$  dl. Výtrusy žlutavé až světle hnědé, v mikroskopu zřetelně průsvitné, (20)–25–29(–35)  $\mu\text{m}$  dl. VII–X. Hkf.

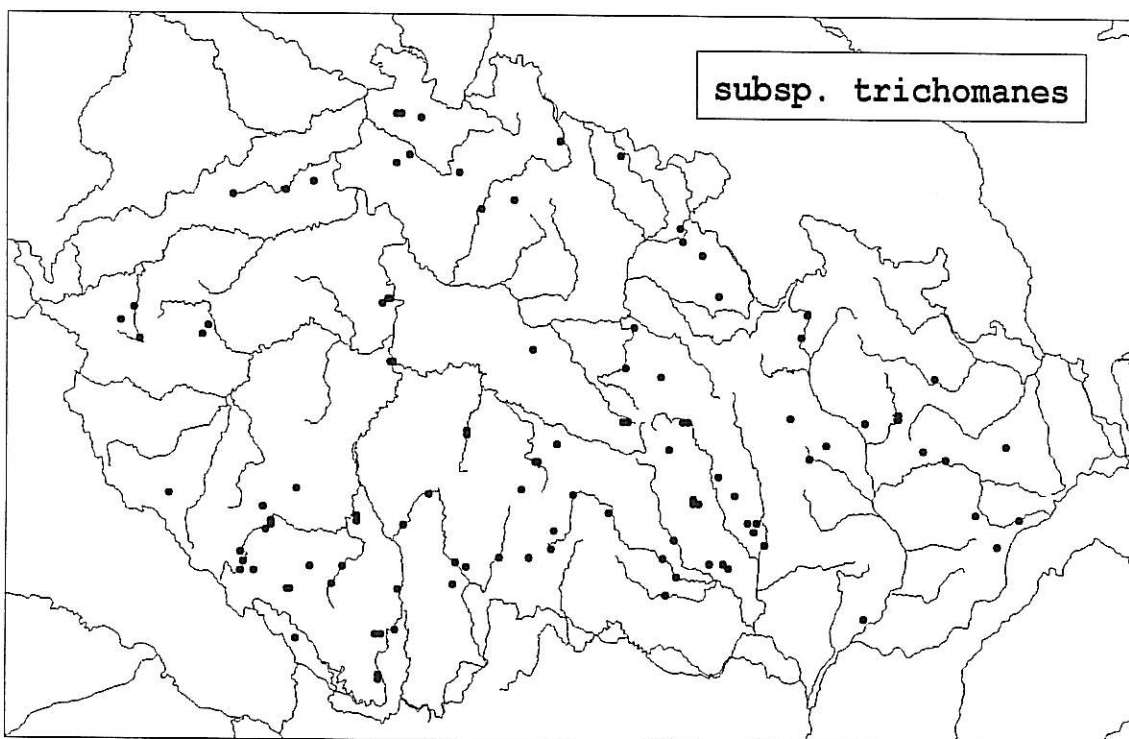
2n = 72 (extra fines) (ČR: diploidní stupeň rostlin zjištěn ve více případech z celého území)

**Ekologie a cenologie:** Vlhčí a stinnější skály, často porostlé mechem, skalní štěrbiny, sutě, zřídka zdi. Roste výhradně na kyselých silikátových horninách nebo na hadci, zřídka ve štěrbinách zdí a kamenných snosech bez bazické malty. Vyskytuje se především ve společenstvech rádu *Androsacetalia multiflorae* (diagnostický taxon).

**Rozšíření v ČR:** Těžištěm rozšíření je mezofytikum, vzácněji v termofytikum a oreofytikum. Roste roztroušeně po celém území od nížin do hor (max.: Krkonoše, Krausovy boudy 850 m; Šumava, Stožecká skála 960 m).

**T:** 3. Podkruš. pán. (Červený Hrádek u Jirkova), 4a. Loun. střed. (Bílina na vrchu Bořen), 9. Dol. Povlt. (Praha v údolí Šárky a na vrchu Podbaba), 11b. Poděb. Pol. (Kolín), 12. Dol. Pojiz. (Trenčín), 18b. Dolnomor. úv. (Bzenec). – **M:** 28b. Kaň. Teplé (Bečov nad Teplou), 28c. Mnich. had. (Mnichov), 28d. Touž. vrch. (Teplá u Mariánských Lázní), 28e. Žlut. pah. (Brdo, Rabštejn), 33. Branž. hv. (Domažlice pod hradem Herštejn), 36a. Blat. (Blatná), 36b. Horaž. (Velešice), 37a. Hor. Poot. (Nové Městečko, Rejštejn, Čeňkova pila, Kašperské Hory), 37b. Suš.-horaž. váp. (Horažďovice pod hradem Prácheň, Hejná, Týnec), 37e. Volyň. Předšum. (Černětice, Vimperk), 37h. Prach. Předšum. (Žichovec), 37k. Křem. had. (Holubov, Křemže), 37l. Českokr. Předšum. (Kamenný Újezd, Hašlovice), 37n. Kapl. mezih. (Slubice), 38. Bud. pán. (Vodňany), 39. Třeboň. pán. (Mezimostí n. N., Lomnice n. L.), 40a. Pís.-hlub. hřeb. (Písek, Hluboká), 41. Stř. Povlt. (Bechyně, Petrovice, Davle, Hněvkovice, Chlumec u Tábora), 42b. Táb.-vlaš. pah. (Březina, Louňovice), 44. Mileš. střed. (Milešov), 45a. Loveč. střed. (Kravaře), 45b. Českokam. kotl. (Jehla), 50. Luž. hory (Líska, Nový Bor), 52. Ral.-bez. tab. (Ralsko), 53a. Českolip. kotl. (Česká Lípa v údolí Pekla), 55d. Tros. pah. (Kost u Libošovic), 59. Orl. podh. (Náchod, údolí Pekla, Šediviny), 63a. Žamb. (Slatina n. Z.), 65. Kutnoh. pah. (Kutná hora), 67. Českomor. vrch., 68. Mor. podh. Vysoč., 69a. Železnoh. podh. (Strádov, Rychmburk), 70. Mor. kras (Brno), 71b. Drah. ploš. (Vranova Lhota), 71c. Drah. podh. (Strážisko, Náměšť n. H.), 73b. Hanuš. vrch. (Šumperk), 75. Jes. podh. (Odry, Smilov, Kružberg, Lipník n. Beč.), 76a. Mor. brána vl. (Štramberk, Teplice n. B.), 80a. Vset. kotl. (Vsetín), 82. Javorn. (Vsenín – Pulčínské skály, Nový Hrozenkov). – **O:** 88b. Šum. pláně (Stožec), 90. Jihl. vrchy (Lhotka u Telče, Rácov, Staré Ransko), 91. Žďár. vrchy (Ždírec n.

D., Telecí, Skelná), 93a. Krk. les (Krausovy boudy, Rokytnice n. Jiz.), 95b. Král. hor. (Hanušovice n. Mor.).



Obr. 25: Rozšíření *Asplenium trichomanes* subsp. *trichomanes* v České republice na základě vlastních sběrů a revidovaných položek z veřejných herbárových sbírek.

Celkové rozšíření: v celé Evropě kromě středomoří a nejsevernějších oblastí, chybí v Makaronésii, dále Asie, Japonsko, Severní Amerika, Austrálie, Nový Zéland, Nová Guinea.

#### (b) subsp. *quadrivalens* – sleziník červený tmavohnědý

*Asplenium trichomanes* L. subsp. *quadrivalens* D. E. MEYER, Ber. Deutsch. Bot. Ges. 74:456, 1962. – Syn.: *A. lovisii* ROTHM., Exkurs.-Fl. Deutschl., Krit. Bd.:5, 1963, nom. inval. (nom. nud.) – *A. trichomanes* subsp. *lovisii* ROTHM. Feddes Repert. Spec. Nov. Regni Veg. 67:11, 1963.

Exsikáty: Fl. Exs. Reipubl. Bohem. Slov., no 104 (et *A. t.* nothosubsp. *lusaticum*, *A. t.* subsp. *trichomanes*), 401 (et *A. t.* nothosubsp. *lusaticum*, *A. t.* subsp. *trichomanes*). – PETRAK Fl. Bohem. Morav. Exs., no 602. – Extra fines: Fl. Hung. Exs., no 331 (et *A. t.* subsp. *trichomanes*). – DÖRFLER Herb. Norm., no 3667. – Fl. Gal. Germ. exs., no 2986. – Fl. Olten. Exs., no 401. – CALLIER Plant. Herceg. Exs., no 249. –

Pleviny tmavohnědé zpravidla do 5 mm dl., na okrajích zpravidla s mnohobuněčnými přívěsky. Listy vzprímené n. převislé, (3,5–)9–16(–35) cm dl, čepel přímá, k vrcholu zřetelně se zužující, lístky v (9–)21–30(–48) párech, sblížené až navzájem se dotýkající, tuhé konzistence, s krátkým hnědým řapíčkem 0,2–0,4 mm dl., obdélníkovité až vejčité, vzác. okrouhlé, zpravidla na bázi nesymetrické, na bázi zpravidla bez oušek n. vzác. s jedním nevýrazným ouškem, na okrajích řídce zubaté n. téměř celokrajné, v 1/4 čepele (2–)3–8(–12) mm dl., na spodní straně řídce žláznaté, žlázky světlé, jednoduché, koncový lístek jednoduchý n. členěný až do 5 dílů, průduchy (37–)35–47(–55) µm dl.; vřeteno tmavohnědé až červenohnědé, tuhé, ve středu čepele (0,2–)0,3–0,4(–0,6) mm šir., zřetelně křídlaté, křídla s výraznými žlutými papilkami n. řídce chlupy; Výtrusnicové kupky na lístcích ve středu

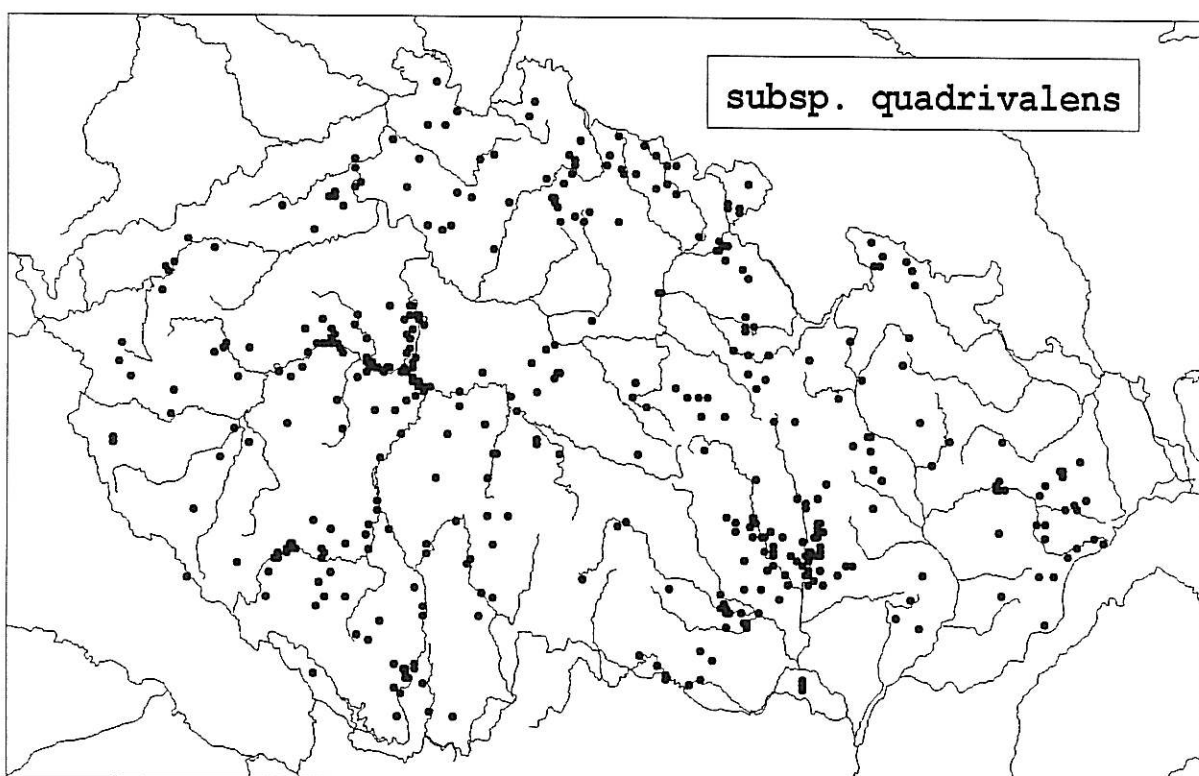
čepele po 3–5 na jednom lístku. Výtrusnice hnědé, po puknutí s napřímeným prstencem 240–360 µm dl. Výtrusy tmavě až černohnědé, v mikroskopu zpravidla neprůsvitné, (24–)29–38 (–45) µm dl. VII–X. Hkf.

$2n = 144$  (extra fines) (ČR: tetraploidní stupeň rostlin zjištěn ve více případech z celého území)

**Ekologie a cenologie:** Světlé až polostinné často mechovité skály, skalní štěrbiny, sutě, kamenité stráně, lomy a štěrbiny zdí. Roste na různých horninách bez specifické preference substrátu v různých společenstvech v rámci třídy *Asplenietea trichomanis* (diagnostický taxon).

**Rozšíření v ČR:** Roste velmi hojně téměř na celém území od planárního do supramontánního stupně (max.: Krkonoše, Červený vrch 950 m, Šumava, Ostrý 1 280 m, Jeseníky, Velká kotlina 1300 m).

**T:** téměř ve všech fytochorionech [údaje chybějí z fyt. 2. Stř. Poohří, 3. Podkruš. pán, 5. Terez. kotl., 6. Džbán, 10. Praž. ploš., 19. B. Karp. step.]. – **M:** téměř ve všech fytochorionech [údaje chybějí z fyt. 23. Smrč., 24. Hor. Poohří, 27. Tachov. bráz., 43. Votic. vrch., 48. Luž. kotl., 49. Frýdl. pah., 53. Podješ., 54. Ješ. hřb., 61. Dol. Poorl., 83. Ostr. pán.]. – **O:** [údaje chybějí z fyt. 85. Kruš. hory, 86. Slavk. les, 87. Brdy, 94. Tepl.-ad. sk., 95. Orl. hory, 96. Král. Sněž., 98. Níz. Jes.]



Obr. 26: Rozšíření *Asplenium trichomanes* subsp. *quadrivalens* v České republice na základě vlastních sběrů a revidovaných položek z veřejných herbářových sbírek.

**Celkové rozšíření:** v celé Evropě (chybí pouze na Špicberkách), Makaronésie, Asie, s. Afrika, Severní Amerika, Austrálie, Nový Zéland.

(c) subsp. *pachyrachis* (CHRIST) LOVIS et REICHST. – sleziník červený zakřivený

*A. trichomanes* L. subsp. *pachyrachis* (CHRIST) LOVIS et REICHSTEIN in Greuter Med. Check-list Notulae 1, Willdenowia 10:18, 1980. – Syn.: *A. trichomanes* sublusus *pachyrachis*

CHRIST Beitr. Kryptogamenfl. Schweiz 1(2):92, 1900. – *A. csikii* KÜMMERLE et ANDRASZOVSKY, Magyar Bot. Lapok 21:1–5, 1922.

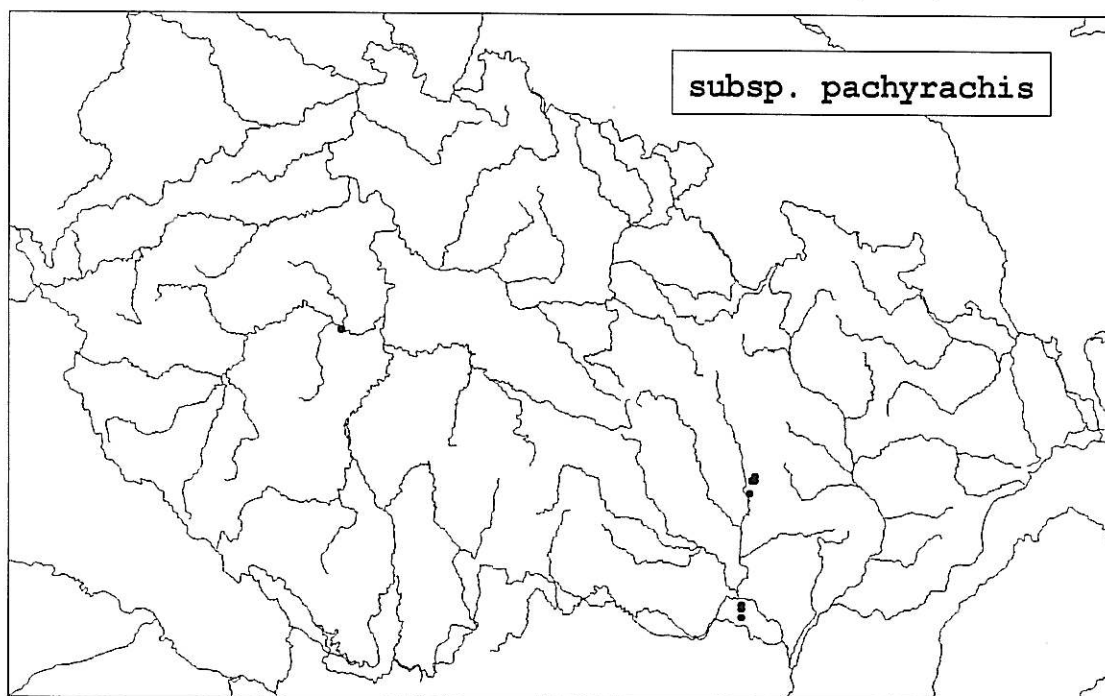
Pleviny tmavohnědé až do 5 mm dl., na okrajích celokrajné. Listy růžicovitě k podkladu přitisknuté, (1,5–)4–12(–18) cm dl., čepel obloukovitě až esovitě prohnutá, k vrcholu pozvolna se zužující, lístky v (10–)15–25(–48) párech, výrazně sblížené, dotýkající se až střechovitě se překrývající, tuhé konzistence, přisedlé n. s velmi krátkým zpravidla zeleným rápičkem, obdélníkovité až trojúhelníkovité, zpravidla symetrické, na bázi se dvěma výraznými oušky n. bez oušek, na okrajích zpravidla výrazně hustě zubaté n. případně se zvlněným okrajem, vždy s výrazným bílým lemem, (3–)5–8(–18) mm dl., namodrale zelené, na spodní straně hustě žláznaté, žlázky zakončené velkou kulovitou až válcovitou žlutou koncovou buňkou, koncový lístek jednoduchý n. členěný do 3(–6) dílů; průduchy (41–)44(–47)  $\mu\text{m}$  dl.; vřeteno tmavohnědé až červenohnědé, velmi křehké, ve středu čepele 0,4–0,6 mm šir., zřetelně křídlaté, křídla s výraznými žlutými, oranžovými až načervenalými papilkami; Výtrusnicové kupky na lístcích ve středu čepele po 5–7 na jednom lístku. Výtrusnice hnědé až načervenalé, po puknutí se srpovitě zahnutým prstencem 280–350  $\mu\text{m}$  dl. Výtrusy žlutavé až jantarově hnědé, v mikroskopu průsvitné, (24–)30–39(–40)  $\mu\text{m}$  dl. VII–X. Hkf.

$2n = 144$  (extra fines) (ČR: tetraploidní stupeň rostlin 70.)

**Ekologie a cenologie:** Stinné až polostinné holé skály, kolmé až převislé skalní stěny, převisy, dutiny, ústí jeskyní, skalní štěrbiny. Roste výhradně na vápencích, vzácně i na pískovci s vápenitým tmelem, nikdy neroste na antropogeně ovlivněných stanovištích. Především ve společenstvech svazu *Cystopteridion* nebo svazu *Cymbalaria-Asplenion*.

**Rozšíření v ČR:** Druh dosud znám pouze z několika lokalit v termofytiku a mezofytiku. Ověřené výskyty jsou z oblasti Moravského krasu a Pálavy, herbářové údaje se dále vztahují na vápencové skály v Českém krasu u obce Srbsko.

**T:** 8. Čes. kras (Srbsko v údolí Kačáku), 17b. Pavl. kop. (Bavory, Horní Věstonice, Klentnice). – **M:** 70. Mor. kras (Josefovské údolí, Pustý žleb, Suchý žleb).



Obr. 27: Rozšíření *Asplenium trichomanes* subsp. *pachyrachis* v České republice na základě vlastních sběrů a revidovaných položek z veřejných herbářových sbírek.

**Celkové rozšíření:** Dosud znám pouze v z. j. a stř. Evropě, od Velké Británie, přes Španělsko, Francii, Lucembursko, Německo, Švýcarsko, Rakousko, Itálii, Slovensko, Albánii až po bývalou Jugoslávii a Řecko. V dalších zemích lze výskyt pravděpodobně očekávat.

(e) subsp. *hastatum* (CHRIST) S. JESSEN – sleziník červený hrálovitý

*Asplenium trichomanes* subsp. *hastatum* (CHRIST) S. JESSEN, Ber. Bayer. Bot. Ges. 65:107– 132, 1995. – Syn.: *Asplenium trichomanes* var. *hastatum* CHRIST, Beitr. Kryptogamenfl. Schweiz 1(2): 92, 1900.

Pleviny tmavohnědé až do 5 mm dl., na okrajích celokrajiné. Listy vzpřímené n. růžicovité k podkladu přitisklé, (2,5–)8–14(–22) cm dl., čepel přímá až srpovitě zakřivená, k vrcholu zpravidla nezúžená, lístky v (10–)16–25(–32) párech, výrazně sblížené až dotýkající se, tuhé konzistence, se zřetelným hnědým řapíčkem 0,3–0,6 mm dl., obdélníkovité až trojúhelníkovité, výrazně hrálovité, symetrické, na bázi často s jedním n. dvěma výraznými oušky, na okraji řídce zubaté n. zvlněné, ojediněle s bílým lemem, 4–8 mm dl., žlutě zelené, na spodní straně hustě žláznaté, žlázky zakončené velkou kulovitou až válcovitou žlutou koncovou buňkou, koncový lísteck jednoduchý n. členěný do 3(– 6) dílů, průduchy (39–)44(–49) µm dl.; vřeteno hnědé až tmavohnědé, velmi křehké, ve středu čepele 0,3–0,6 mm šir., zřetelně křídlaté, křídla s výraznými žlutými až oranžovými papilkami. Výtrusnicové kupky na lístcích ve středu čepele po 5–7 na jednom lístku. Výtrusnice tmavohnědé, po puknutí se srpovitě zahnutým prstencem 270–410 µm dl. Výtrusy tmavě až světle hnědé, v mikroskopu trochu průsvitné, (25–)32–39(–47) µm dl. VII–X. Hkf.

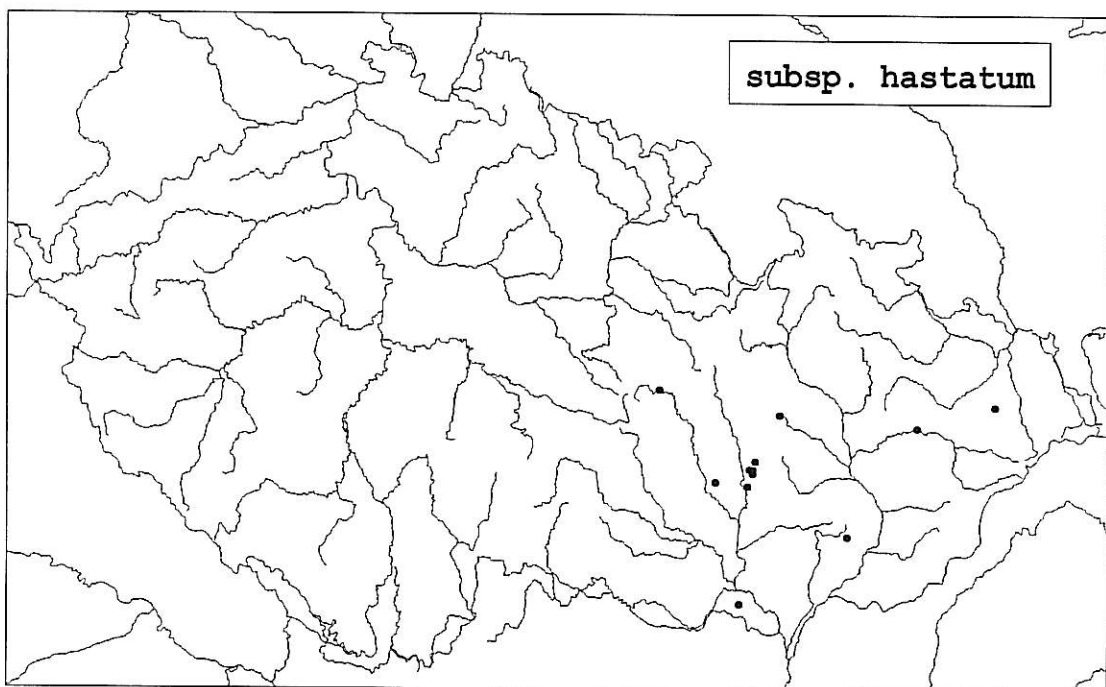
2n = 144 (extra fines) (ČR: tetraploidní stupeň rostlin 17b, 70, 77c)

**Ekologie a cenologie:** Světlé až polostinné skály, převisy, výklenky, ústí jeskyní, skalní štěrbiny, štěrbiny zdí. Roste výhradně na vápencích nebo na zdech, vzácně na pískovci s vápenatým tmelem. Především ve společenstvech řádu *Tortulo-Cymbalariae* a svazu *Cystopteridion*.

**Rozšíření v ČR:** Poměrně vzácně v termofytiku a mezofytiku, velmi vzácně v oreofytiku (max.: Žďárské vrchy, Světy, 560 m) od planárního do submontánního stupně. Dosud znám pouze z několika lokalit. Recentně ověřené výskytu jsou z oblasti Moravského krasu, Pálavy a Chřibů.

**T:** 16. Znoj.-brn. pah. (Malhostomice), 17b. Pavl. kop. (Klentnice). – **M:** 70. Mor. kras (Josefovské údolí, Pustý žleb, Sloup, Suchý žleb), 71b. Drah. ploš. (Konice), 76a. Mor. brána vl. (Teplice n. Beč.), 77c. Chřiby (Buchlovice), 84a. Besk. podh. (Příbor). – **O:** 91. Žďár. vrchy (Světy)

**Celkové rozšíření:** Celkové rozšíření není dostatečně známo. Dosud znám pouze v Evropě z těchto zemí: Irsko, Francie, Německo, Švýcarsko, Itálie, Rakousko, Polsko, Slovensko, Maďarsko, býv. Jugoslávie, Rumunsko a Bulharsko.



Obr. 28: Rozšíření *Asplenium trichomanes* subsp. *hastatum* v České republice na základě vlastních sběrů a revidovaných položek z veřejných herbářových sbírek.

## 3.6 Fytocenologie

### 3.6.1 Zpracování fytocenologických snímků

Pro ordinační analýzy bylo použito 45 fytocenologických snímků (viz Příloha 2), ve kterých bylo celkem zaznamenáno 93 taxonů cévnatých rostlin a 63 druhů mechovostí. K využití fytocenologických dat byly použity metody DCA (*detrended correspondence analysis*) a CCA (*canonical correspondence analysis*).

Výsledky analýzy DCA jsou zobrazeny na obr. 29, 30. Poloha jednotlivých snímků umístěných podle první kanonické osy (zleva doprava) v ordinačním diagramu (viz obr. 29) odpovídá jejich příslušnosti ke stanovišti s určitým pH substrátu od vápenců přes různé bázické substráty až po kyselé substráty a hadce.

Vegetaci kyselých substrátů lze zařadit do sv. *Asplenion septentrionalis*, sv. *Hypno-Polypodium vulgaris* a společenstva hadců do sv. *Asplenion serpentini*. Snímky z bazických substrátů do sv. *Cystopteridion* a sv. *Cymbalario-Asplenion*.

V ordinačním diagramu na obrázku 29 jsou zřetelné dva shluky snímků pocházejících z kyselých substrátů. Zcela vpravo uprostřed se jedná o snímky z výrazně kyselých substrátů s typickými acidofilními druhy. Ve druhém shluku snímků přibližně nahoře uprostřed diagramu se soustředily snímky, které byly zaznamenány na skalách kyselých substrátů (rula, žula břidlice aj.), ale lokálně byla tato stanoviště obohacena bázemi. Skladba druhů zákonitě tento vliv odrážela.

Tento trend se pochopitelně projevil i v pozicích jednotlivých druhů (obr. 30), kdy se zleva doprava zvyšuje zastoupení acidofytů. Pro snímky z bazických substrátů sv. *Cystopteridion* a sv. *Cymbalario-Asplenion* je charakteristické zastoupení druhů jako je *Asplenium ruta-muraria*, *Sesleria caerulea*, *Hepatica nobilis*, *Polypodium interjectum* a mechu *Anomodon viticulosus*. Na pravé straně ordinačního diagramu (obr. 29) se seskupily snímky z kyselých substrátů se striktně acidofilními druhy např. *Asplenium septentrionale*, *Calamagrostis villosa* a hojným zastoupením mechovostí *Hypnum cupressiforme*, *Bartramia pomiformis*, *Polytrichum formosum* aj. Snímky z hadců sice neobsahovaly žádné výrazné serpentinofyty, ale přesto by se vegetace na hadcích klasifikovala do sv. *Asplenion serpentini*.

Druhá ordinační osa (obr. 30) sleduje pravděpodobně mnohem méně znatelný trend. Zdá se, že by mohlo jít o gradient zástinu a vlhkosti. Snímky z vápencových oblastí a dalších výrazně bazických biotopů (např. východočeské opuky snímky 8 – 10, 29) se tak od sebe zčásti oddělily podle ekologických faktorů, které je ovlivňují. V horní levé části diagramu se nacházejí zpravidla snímky ze sušších biotopů (sv. *Cymbalario-Asplenion*) a v dolní části diagramu snímky ze stinnějších a vlhčích skalních biotopů (sv. *Cystopteridion*).

Jednotlivé poddruhy komplexu *Asplenium trichomanes* agg. se v ordinačním diagramu DCA (obr. 30) zřetelně oddělily podle svých specifických ekologických nároků, což vcelku věrně odpovídá i zkušenostem získaným v terénu. Poddruh *A. trichomanes* subsp. *trichomanes* se výrazně oddělil od dalších taxonů komplexu podle pH substrátu. Subsp. *trichomanes* je vázána na stinné, vlhké a výhradně kyselé substráty ř. *Androsacetalia multiflorae* spolu s výrazně acidofilními druhy jako je *Calamagrostis villosa*, *Polypodium vulgare*, *Bartramia pomiformis*, *Polytrichum formosum* a *Isothecium alopecuroides*.

Ekologické nároky subsp. *quadrivalens* nejsou vyhraněny a taxon zůstal ve středu ordinačního diagramu na pomezí bazických a kyselých hornin, kde zasahuje do všech uvedených rostlinných společenstev. Poddruh *Asplenium trichomanes* subsp. *pachyrachis* se v ordinačním diagramu zcela oddělil v levé horní „vápencové“ části ordinačního diagramu od ostatních druhů komplexu i od dalších druhů. Podobně i pozice subsp. *hastatum* s hybridem nothosubsp. *lovisianum* (*ATHxQ*) ukazuje na afinitu těchto taxonů k vápencovým substrátům. Zdá se, že umístění těchto taxonů v diagramu sice z části odráží skutečný stav výskytu v rostlinných společenstvech, ale je přesto nutné vzít na vědomí, že počet snímků s taxony subsp. *pachyrachis* a subsp. *hastatum* je poměrně malý (se subsp. *pachyrachis* 4 snímky a se subsp. *hastatum* 5 snímků), takže by bylo odvážné, z nich vyvozovat jednoznačné závěry.

Užší a podrobnější pohled na vztahy mezi druhy a typem substrátu ukazuje metoda přímé gradientové analýzy CCA (viz obr. 31). Jako druhová data zde bylo použito druhové složení snímků a jako vysvětlující proměnné jednotlivé typy substrátu.

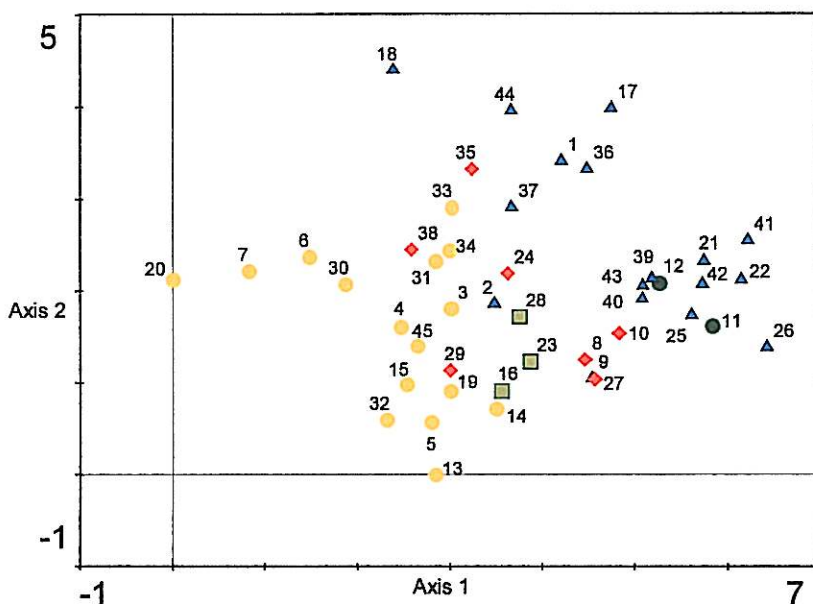
Podél první ordinační osy s proměnnou *vapenec* koreluje výskyt typicky kalciflních druhů, např. *Asplenium ruta-muraria*, *Polypodium interjectum*, *Hepatica nobilis* a mechy *Eurhynchium striatum*, *Anomodon viticulosus*, *Fissidens dubius*. S proměnnou *silikat* naopak koreluje výskyt druhů typicky acidofilních jako *Asplenium septentrionale*, *Polypodium vulgare*, *Calamagrostis villosa* a z mechů *Dicranum scoparium*, *Polytrichum formosum*, *Hypnum cupressiforme* a *Isothecium alopecuroides*. Druhá ordinační osa odlišila charakter bazických substrátů (*vapenec*, *baze*, *zdivo*).

U proměnných *hadec* a *zdivo* je nezbytné vzít na vědomí, že počet snímků z těchto substrátů není dostatečně velký (pro *zdivo* 3 snímky a pro *hadec* pouze 2 snímky), a proto ho nelze považovat za zcela reprezentativní. Pro detailnější přehled vztahů mezi jednotlivými typy substrátů by bylo nezbytné získat další fytocenologický materiál.

U proměnné *baze* je nutné vzít v úvahu relativní heterogenitu škály bazických substrátů (slínovce, bazické pískovce aj.) oproti lépe vymezeným ostatním skupinám proměnných. Vytvoření více kategorií bazických substrátů by však nebylo užitečné, protože není k dispozici větší soubor dat a celkový podíl variability bazických substrátů (zatím podle dosavadních pozorování a revize herbářových sběrů) by pravděpodobně neměl významnější vliv na celkový výsledek ordinace pro potřeby vysvětlení preference substrátů u komplexu *A. trichomanes* agg.

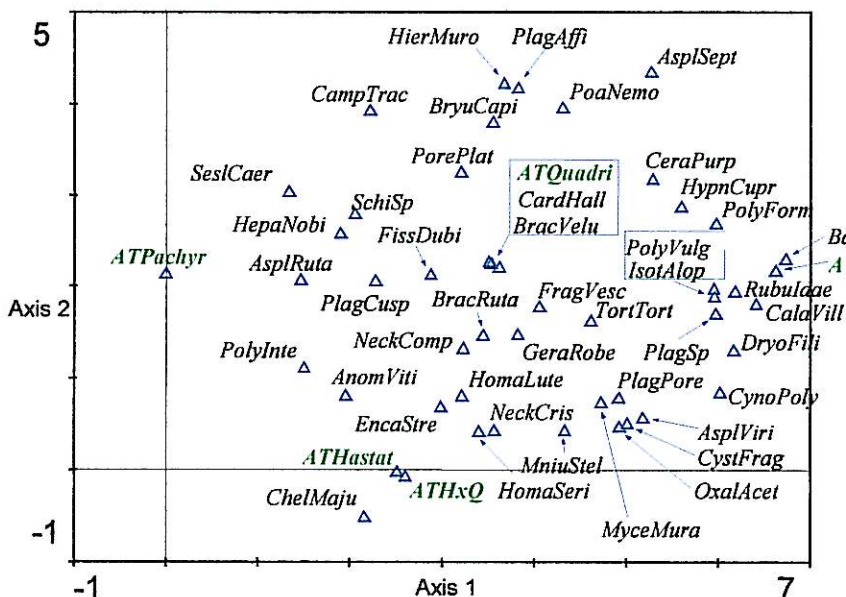
Závěrem je možné říci, že přímá gradientová analýza CCA (obr. 31) odráží vztahy mezi jednotlivými taxony komplexu a jednotlivými typy substrátu a zcela odpovídá i zkušenostem získaným v terénu podobně jako u analýzy DCA. U *A. trichomanes* subsp. *quadrivalens* je z pozice ve středu ordinačního diagramu zřejmé, že se jedná o taxon, který nemá vyhnaněnou ekologickou preferenci na žádný z uvedených typů substrátu. Subspecie *hastatum*, mnohdy zároveň s hybridní nothosubsp. *lovisianum* osidluje různé bazické substráty, především však vápence. Výhradně na vápencích se však vyskytuje subsp. *pachyrachis* a případně její hybrid s dalšími taxony komplexu.

Pro kyselé substráty a pro hadce jsou dle diagramu charakteristické subsp. *trichomanes* a nothosubsp. *lusaticum*, což velmi dobře odráží situaci z terénu.

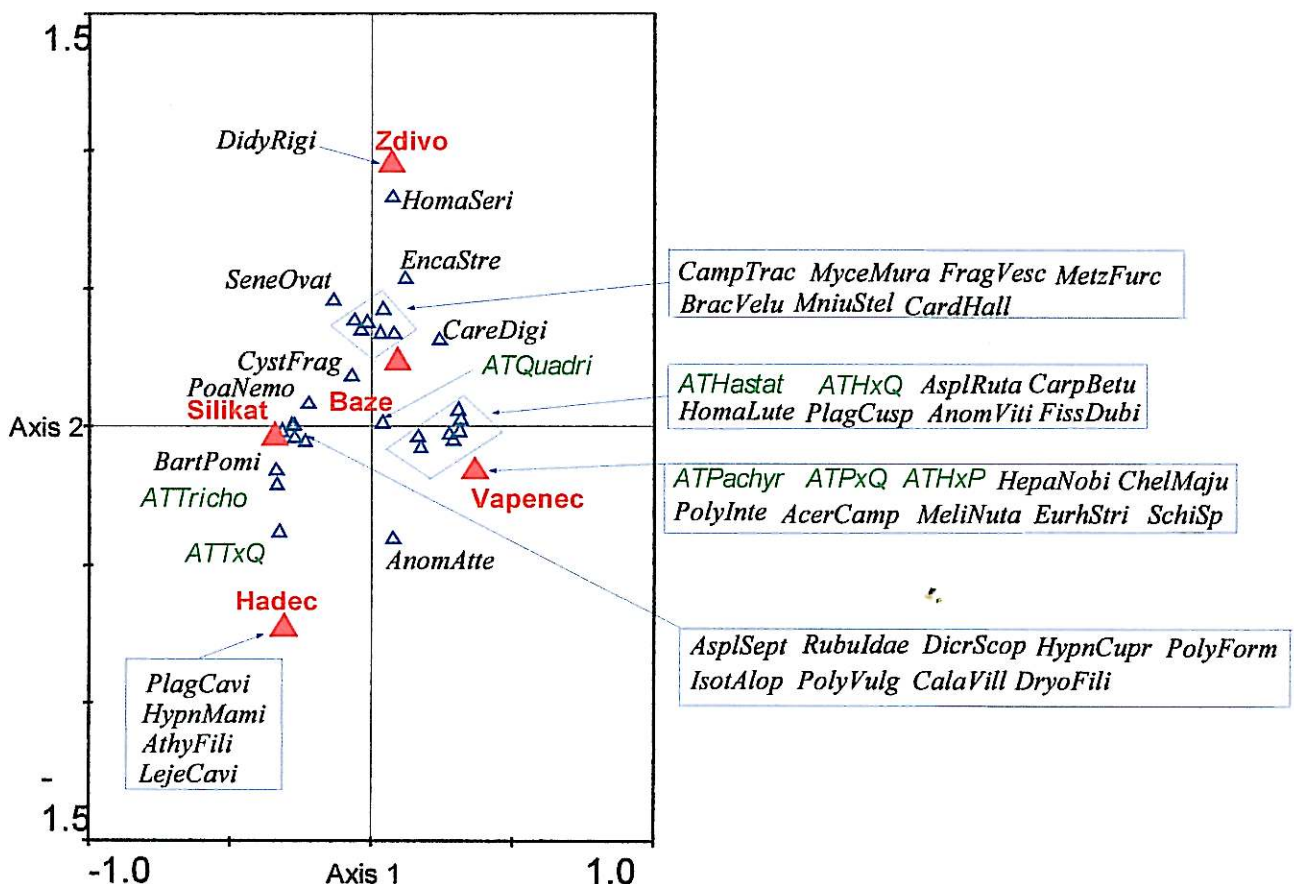


Obr. 29: Ordinační diagram DCA fytocenologických snímků, který zobrazuje příslušnost jednotlivých snímků k typům substrátů. První ordinační osa vysvětluje 5,7 % a druhá osa 4,7 % variability. legenda:

- = vápenec
- = zdivo
- ◆ = ostatní bazické substráty
- ▲ = kyselé substráty
- = hadec



Obr. 30: Ordinační diagram analýzy DCA druhového složení snímků, zobrazeno 49 nejlépe fitujících druhů, taxony komplexu *Asplenium trichomanes* agg. zeleně. První ordinační osa vysvětluje 5,7% a druhá osa 4,7% variability. Legenda ke druhům viz Box 1.



Obr. 31: Ordinační diagram analýzy CCA, vysvětlující proměnné jsou jednotlivé typy substrátu, zobrazeno 45 nejlépe fitujících druhů, druhy komplexu *A. trichomanes* agg. (zeleně) jsou zobrazeny všechny bez ohledu na jejich fit v analýze. První ordinační osa vysvětuje 4,1 % a druhá 3 % variability. Legenda ke druhům viz Box 1.

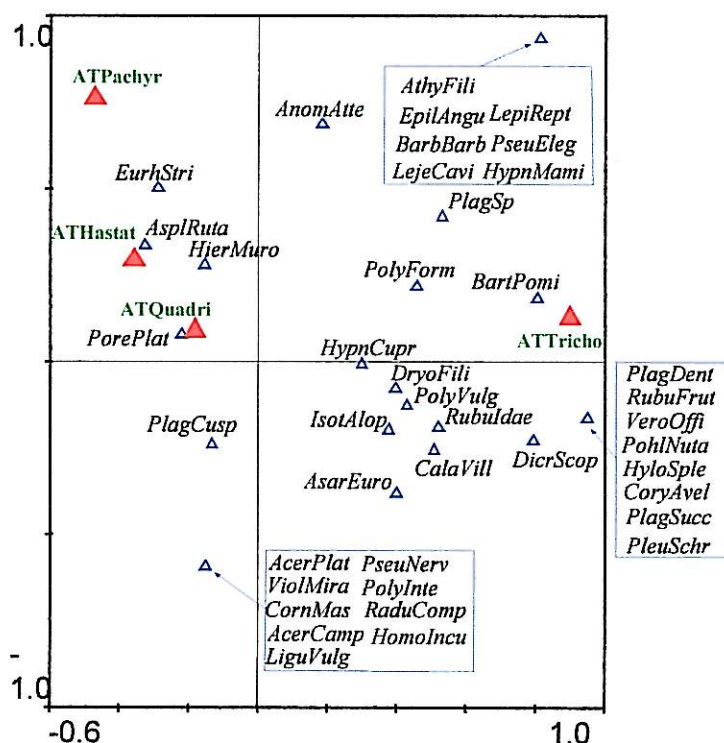
**Box 1:** Legenda ke druhům zobrazeným v ordinačních diagramech (obr. 29–31):

*AcerCamp* = *Acer campestre*, *AcerPlat* = *Acer platanoides*, *AnomAtte* = *Anomodon attenuatus*, *AnomViti* = *Anomodon viticulosus*, *AsarEuro* = *Asarum europaeum*, *AsplRuta* = *Asplenium ruta-muraria*, *AsplSept* = *Asplenium septentrionale*, *AsplViri* = *Asplenium viride*, *ATHast* = *Asplenium trichomanes* subsp. *hastatum*, *ATHxQ* = *Asplenium trichomanes* nothosubsp. *lovisianum*, *ATHxP* = *Asplenium trichomanes* nothosubsp. *moravicum*, *ATPachy* = *Asplenium trichomanes* subsp. *pachyrachis*, *ATPxQ* = *Asplenium trichomanes* nothosubsp. *staufferi*, *ATQuadri* = *Asplenium trichomanes* subsp. *quadrivalens*, *ATTRicho* = *Asplenium trichomanes* subsp. *trichomanes*, *ATTxQ* = *Asplenium trichomanes* nothosubsp. *lusaticum*, *AthyFili* = *Athyrium filix-femina*, *AuriSaxa* = *Aurinia saxatilis*, *AvenFlex* = *Avenella flexuosa*, *BarbBarb* = *Barbilophozia barbata*, *BariPomi* = *Bartramia pomiformis*, *BracRuta* = *Brachythecium rutabulum*, *BracVelu* = *Brachythecium velutinum*, *BryuCapi* = *Bryum capillare*, *BryuSube* = *Bryum subelegans*, *CalaVill* = *Calamagrostis villosa*, *CampTrac* = *Campanula trachelium*, *CareDigi* = *Carex digitata*, *CardHall* = *Cardaminopsis halleri*, *CarpBetu* = *Carpinus betulus*, *CeraPurp* = *Ceratodon purpureus*, *CornMas* = *Cornus mas*, *CoryAvel* = *Corylus avellana*, *CynoPoly* = *Cynodontium polycarpon*, *CystFrag* = *Cystopteris fragilis*, *DicrScop* = *Dicranum scoparium*, *DidyRigi* = *Didymodon rigidulus*, *DryoFili* = *Dryopteris filix-mas*, *EncaStre* = *Encalypta streptocarpa*, *EpilAngu* = *Epilobium angustifolium*, *EurhStri* = *Euryhynchium striatum*, *FissDubi* = *Fissidens dubius*, *FragVesc* = *Fragaria vesca*, *GaliGlau* = *Galium glaucum*, *GeraRobe* = *Geranium robertianum*, *HepaNobi* = *Hepatica nobilis*, *HierMuro* = *Hieracium murorum*, *HomaLute* = *Homalothecium lutescens*, *HomaSeri* = *Homalothecium sericeum*, *HomoIncu* = *Homomallium incurvatum*, *HyloMaxi* = *Hylotelephium maximum*, *HyloSple* = *Hylocomium splendens*, *HypnCupr* = *Hypnum cupressiforme* s. l., *HypnMami* = *Hypnum mammillatum*, *ChelMaju* = *Chelidonium majus*, *IsotAlop* = *Isothecium alopecuroides*, *LejeCavi* = *Lejeunea cavifolia*, *LepiRept* = *Lepidozia reptans*, *LiguVulg* = *Ligustrum vulgare*, *LoniXylo* = *Lonicera xylosteum*, *MeliNuta* = *Melica nutans*, *MercPere* = *Mercurialis perennis*, *MetzFurc* = *Metzgeria furcata*, *MniuStel* = *Mnium stellare*, *MyceMura* = *Mycelis muralis*, *NeckComp* = *Neckera complanata*, *NeckCris* = *Neckera crispa*, *OxalAcet* = *Oxalis acetosella*, *PlagAffi* = *Plagiomnium affine*, *PlagCavi* = *Plagiothecium cavifolium*, *PlagCusp* = *Plagiomnium cuspidatum*, *PlagDent* = *Plagiothecium denticulatum*, *PlagPore* = *Plagiochila porelloides*, *PlagSp* = *Plagiothecium* sp., *PlagSucc* = *Plagiothecium succulentum*, *PieuSchreberi* = *Pleurozium schreberi*, *PoaNemo* = *Poa nemoralis*, *Pohlnuta* = *Pohlia nutans*, *PolyForm* = *Polytrichum formosum* s. l., *PolyInte* = *Polypodium interjectum*, *PolyVulg* = *Polypodium vulgare*, *PorePlat* = *Porella platyphylla*, *PseuEleg* = *Pseudotaxiphyllum elegans*, *PseuNerv* = *Pseudeckera nervosa*, *RaduComp* = *Radula complanata*, *RubuFrut* = *Rubus fruticosus* agg., *RubuIdae* = *Rubus idaeus*, *SeneOvat* = *Senecio ovatus*, *SeslCaer* = *Sesleria caerulea*, *SchiSp* = *Schistidium* sp., *TortTort* = *Tortella tortuosa*, *VeroOffi* = *Veronica officinalis*, *ViolMira* = *Viola mirabilis*

Vztahy mezi jednotlivými (nehybridními) taxony komplexu (vysvětlující proměnné) a ostatními taxony ve snímcích (druhová data) byly opět hodnoceny metodou přímé gradientové analýzy CCA.

Z obr. 32 je patrné, že přítomnost některých taxonů komplexu je charakteristická pro některé další taxony přítomné ve společenstvech skalních štěrbin.

Zároveň spolu se subsp. *trichomanes* se vyskytují druhy, které jsou typické pro kyselé substráty např. *Bartramia pomiformis*, *Polytrichum formosum*, *Dicranum scoparium*, *Polypodium vulgare*, *Dryopteris filix-mas*, *Calamagrostis villosa* aj. I přes skutečnost, že subsp. *quadrivalens* specificky nepreferuje žádný typ substrátu, jsou patrné její zřetelné tendenze k výskytu na bazických substrátech. Druh, který je nejběžněji rozšířen spolu se subsp. *quadrivalens* je *Porella platyphylla* a u bazické subsp. *hastatum* to jsou druhy *Asplenium ruta-muraria* a *Hieracium murorum*. Zároveň spolu se subsp. *pachyrachis* se nevyskytuje žádné jiné další druhy, což koresponduje se specifickým biotopem tohoto taxonu.



Obr. 32: Ordinační diagram analýzy CCA. Jednotlivé poddruhy komplexu *A. trichomanes* agg. jsou použity jako vysvětlující proměnné a druhová data, jsou ostatní druhy ve snímcích. Zobrazeno je 24 nejlépe fitujících druhů. První ordinační osa vysvětuje 34,4 % a druhá 32,5 % variability. Legenda ke druhům viz Box 1.

### 3.6.2 Syntaxonomický přehled a zařazení snímků do svazů

V níže uvedeném syntaxonomickém přehledu jsou zobrazeny syntaxony v rámci třídy *Asplenietea trichomanis* (MUCINA 1993), do kterých byl zařazen studovaný fytocenologický materiál (viz Příloha 2).

tř. *Asplenietea trichomanis*

ř. *Potentilletalia caulescentis*

sv. *Cystopteridion*

fyt. snímky: 2, 3, 8, 9, 10, 13, 14, 20, 24, 29, 30, 31, 37, 45

ř. *Tortulo-Cymbalariaetalia*

sv. *Cymbalario-Asplenion*

fyt. snímky: 4, 5, 6, 7, 15, 16, 19, 23, 28, 32, 34, 35, 38

ř. *Androsacetalia multiflorae*

sv. *Asplenion septentrionalis*

fyt. snímky: 1, 17, 18, 44

sv. *Hypno-Polypodion vulgaris*

fyt. snímky: 21, 22, 25, 26, 27, 36, 37, 39, 40, 41, 42, 43

sv. *Asplenion serpentini*

fyt. snímky: 11, 12

# 4 Diskuse

## 4.1 Průtoková cytometrie

Pomocí metody průtokové cytometrie byly zjištěny ploidní úrovně taxonů komplexu *A. trichomanes* agg. (2x, 3x, 4x). Jako referenční vzorky byly použity tři diploidní středoevropské taxony (*Asplenium viride*, *A. cuneifolium*, *A. fontanum*). Tyto druhy se ukázaly jako vhodné standardy pro porovnání velikosti genomů. Ne však vždy může být pokus o porovnání velikosti genomu v rámci různých taxonů úspěšný. U řady studií, kde byla studována velikost genomu méně příbuzných taxonů, byl prokázán nestejně velký obsah genomu u taxonů stejné ploidie a se stejným počtem chromozómů (SCHMIDT 2002; ZONNEVELD 2001). Ke stejnemu zjištění vedly i studie u poměrně blízce příbuzných taxonů (SIJAK-YAKOVEV et al. 2003).

Při studiu vhodnosti jednotlivých diploidních taxonů jako standardů byla pro zajímavost stanovena také ploidní úroveň diploidního taxonu *Asplenium hemionitis* z Kanárských ostrovů. Bylo zjištěno, že genom tohoto diploidního taxonu je zřetelně větší i přesto, že počet chromozómů je stejný jako u všech ostatních testovaných taxonů (*Asplenium viride*, *A. cuneifolium*, *A. fontanum*, *A. t. subsp. *trichomanes**). Toto zjištění není zcela v souladu s výsledky studia velikostí genomu na stejných taxonech rostoucích na ostrovech (Makaronézie) a na evropském kontinentu (SUDA, KYNCL et FREIOVÁ 2003), kde bylo zjištěno, že rostliny rostoucí na ostrovech mají překvapivě genom menší. Rozdílná velikost genomu u druhu *A. hemionitis* a ostatních studovaných taxonů bude pravděpodobně souviset s rozdílnou evoluční příbuzností uvedených taxonů.

Velikost genomu tetraploidních taxonů v rámci komplexu *A. trichomanes* agg. se ukázala stejná. Tento fakt bezesporu vypovídá o značné genetické příbuznosti těchto taxonů. Pomocí metody průtokové cytometrie je možné odlišit nejen jednotlivé ploidní úrovně (2x, 4x), ale jsou známy případy, kdy také jednotlivé tetraploidní taxony nebo i různé hybridní kombinace mezi nimi mohou být průtokovou cytometrií odlišeny. Tato skutečnost byla zjištěna při studiu kritického polyploidního komplexu *Dryopteris carthusiana* agg. (J. SUDA, O. ŠÍDA – ústní sdělení). V Evropě se v rámci komplexu *D. carthusiana* agg. rozlišuje diploidní *D. expansa* a tetraploidní *D. carthusiana* a *D. dilatata*. Míra příbuznosti taxonů komplexu *Dryopteris carthusiana* agg. je tedy výrazně menší než mezi taxony komplexu *A. trichomanes* agg. Ve formální rovině se tato skutečnost odráží například tím, že v rámci komplexu *D. carthusiana* agg. jsou jednotlivé taxony hodnoceny na úrovni druhů a nikoliv poddruhů jako je tomu v případě *A. trichomanes* agg.

## 4.2 Vymezení taxonů komplexu *A. trichomanes* agg.

Na základě ordinačních analýz byly v ČR výrazně odlišeny tři zřetelně definovatelné skupiny (viz obr. 4a, 5a). V první se lze ztotožnit s diploidními rostlinami subsp.

*trichomanes*, druhá nejpočetnější skupina odpovídá morfologickými znaky i ploidii subsp. *quadrivalens* a ve třetí skupině se dohromady seskupily rostliny s morfologickými znaky shodnými se subsp. *hastatum* a subsp. *pachyrachis*. V této posledně zmiňované skupině je však rozlišení obou taxonů obtížné. K rozlišení subsp. *pachyrachis* a subsp. *hastatum* bylo navíc použito se ještě jiných znaků, které jsou však velmi obtížně kvatifikovatelné. Například zubatost a celkový charakter lístků je znakem velmi obtížně postihnutebným. Podobně komplikovanými znaky jsou třeba barva čepele, spor, prstence, zakřivení čepele.

Nevýrazné oddělení subsp. *hastatum* a subsp. *pachyrachis* v morfometrických analýzách je zřejmě do jisté míry také způsobeno poměrně nevyrovnaným počtem vzorků v každé z obou skupin taxonů a zejména malým počtem studovaných lokalit subsp. *pachyrachis*. Z uvedených výsledků může být tedy patrné, že se nepodařilo postihnout celý rozsah variability taxonu. Důvodem poměrně nízkého počtu vzorků u obou taxonů je především roztroušený až vzácný výskyt těchto rostlin na lokalitách a vzácnost jejich biotopů, kterými jsou především zastíněné vápencové skalní stěny na Moravě.

#### 4.3 Vhodnost taxonomické kategorie

V minulosti bylo rozeznáváno velké množství různých typů v rámci *A. trichomanes* agg. klasifikovaných do mnoha různých forem (f. *microphyllum* MILDE, f. *pulcherrimum* ZIMMERMANN, f. *lobatocrenatum* Lam. et DC., f. *incisum* MOORE, f. *umbrosum* MOORE aj.), jejichž existence je nyní více než pochybná (REICHSTEIN 1984). Zajisté není sporu o tom, že různé uváděné formy mohou jít napříč jednotlivými cytotypy. Na základě současných bádání, jsou jednotlivé typy na základě rozdílných stupňů ploidie, celkové morfologie i různé preference substrátů hodnoceny jako poddruhy (BENNERT et FISCHER 1993; DOSTÁL 1989; JESSEN 1995; KUBÁT et al. 2002; VALENTINE et MOORE 1993; WISSKIRCHEN et HAEUPLER 1998). Mezi jednotlivými taxonomy (všechny známí přirození kříženci jsou sterilní [JESSEN 1995]) existují navíc přirozené reprodukční bariéry.

Jednotlivé taxonomy komplexu *A. trichomanes* lze na základě cytologie, ekologie i morfologické variability oddělit do dvou výrazných skupin. První skupina zahrnuje diploidní taxonomy subsp. *trichomanes* a subsp. *inexpectans*. Hybridizační pokusy s diploidními taxonomy subsp. *inexpectans* a subsp. *trichomanes* v umělých podmínkách prokázaly velkou homologii genomů těchto taxonů za vzniku plodných hybridních rostlin (REICHSTEIN 1981). Do této první skupiny bezesporu náleží také tetraploidní subsp. *quadrivalens*, která vznikla autopolyploidizací z diploidní subsp. *trichomanes* (BOUHARMONT 1972). O velmi blízkých fylogenetických vztazích mezi těmito třemi taxonomy není pochyb, a proto jistě kategorie poddruhu splňují.

Do druhé skupiny taxonů by bylo možné zařadit tetraploidní subsp. *hastatum* a subsp. *pachyrachis*. Tyto dva taxonomy si jsou morfologicky podobné a jsou mezi nimi vytvořeny přirozené reprodukční bariéry (sterilní hybridy). Obě subspecie také spojují podobné ekologické nároky. Vzhledem k těmto odlišnostem by bylo možné uvažovat

nez. v. otypy

o oddělení subsp. *hastatum* a subsp. *pachyrachis* do jednoho druhu zahrnujícího obě současné subspecie. Před tímto rozdelením by však bylo nezbytné také molekulárně prokázat podobnost či rozdílnost obou taxonů a případně se pokusit nalézt jejich rodičovské diploidní taxonomy, pokud existují. Výše nastíněná problematika by však byla otázkou pro další především geneticko-molekulární studium tohoto komplexu.

#### 4.4 Porovnání některých znaků s literaturou

Studium ploidních úrovní a provedení morfometrické analýzy ukázalo, že je v České republice v rámci komplexu *A. trichomanes* agg. možné rozlišit celkem čtyři taxony, které jsou všechny v literatuře již udávány. Pro porovnání hodnot znaků udávaných v literatuře s některými hodnotami vlastními, byla vytvořena srovnávací tabulka (viz tab. 10). Pro srovnání byly vybrány tyto práce: Klíč ke květeně ČR (KUBÁT et al. 2002), Nová květena ČSSR 1 (DOSTÁL 1989), Flora Europaea (VALENTINE et MOORE 1993), Přehledová tabulka pro středoevropské taxonomy komplexu *A. trichomanes* podle Jessena (JESSEN 1997) a také poddruhová studie komplexu *A. trichomanes* z Číny (HOU et WANG 2000). Většina těchto prací bohužel neobsahuje údaje pro subsp. *hastatum*, která byla popsána relativně nedávno (JESSEN 1995). Hodnoty u literárních údajů, které nezahrnují subsp. *hastatum*, je proto nutné zohledňovat s jistou „rezervou“, a to především u hodnot subsp. *pachyrachis*, která je se subsp. *hastatum* nejsnáze zaměnitelná.

I přes hodnocení poměrně vysokého počtu znaků v rámci této práce není zpravidla možné většinu znaků porovnat z důvodu jejich malého počtu uváděného v literatuře. Druhý problém představují nepřesné „lokalizace“ některých znaků (např. ve které části čepele jsou hodnoty udávané).

Na základě srovnání některých vlastních hodnot znaků s literárními údaji vyplývá (viz tab. 10), že většina vlastních hodnocených znaků padla do rozmezí hodnot znaků v literatuře udávaných. U některých autorů nelze však v některých případech spolehlivě říci, jestli jimi udávané rozmezí hodnot zahrnuje i krajní (extrémní) hodnoty znaku. Vyskytly se však případy, kdy některé hodnoty sledovaných znaků jsou trochu odlišné s údaji v některých pracích. Rozmezí hodnot pro délku spor není u jednotlivých autorů zcela homogenní, ale trend korelace se stupněm ploidie zůstává stejný. Tyto rozdíly si je možné vysvětlit různou kalibrací měřících přístrojů nebo rozdílnou metodikou měření výtrusů.

Tab. 10: Srovnání některých hodnot znaků udávaných v literatuře s vlastními naměřenými hodnotami (Kub = KUBÁT et al. 2002, Dos = DOSTÁL 1989; Jes = JESSEN 1997, H&W = HOU et WANG 2000; W&M = VALENTINE et MOORE 1993; Ek = vlastní naměřené hodnoty<sup>1</sup>).

| Znak                                       | Zdroj | subsp. <i>trichomanes</i> | subsp. <i>quadrivalens</i> | subsp. <i>pachyrachis</i>       | subsp. <i>hastatum</i> |
|--|-------|---------------------------|----------------------------|---------------------------------|------------------------|
| Délka výtrusů [μm]                         | Kub   | (27–)29(–31)              | (32–)35(–38)               | (32–)34(–37)                    | (32–)36(–42)           |
|  | Dos   | —                         | —                          | —                               | nerozlišována          |
|  | Jes   | (23–)29–35(–42)           | (32–)34–42(–50)            | (25–)31–42(–50)                 | (32–)36–42(–50)        |
|  | H&W   | 34,9–39,2                 | 40,5–44                    | 40,7–44,1                       | nerozlišována          |
|  | W&M   | (23–)28–32(–34)           | (26–)32–38(–47)            | (26–)32–38(–50)                 | nerozlišována          |
|  | Ek    | (20–)25–29(–35)           | (24–)29–38(–45)            | (24–)30–39(–40)                 | (25–)32–39(–47)        |
| Délka plevin [mm]                          | Kub   | až 3,5                    | až 5                       | —                               | —                      |
|  | Dos   | až 3,5                    | až 5                       | —                               | nerozlišována          |
|  | Jes   | až 3,5                    | až 5                       | až 5                            | až 5                   |
|  | H&W   | 1,7–3,5                   | 3,4–5                      | 3,2–4,8                         | nerozlišována          |
|  | W&M   | až 3,5                    | až 5                       | —                               | nerozlišována          |
|  | Ek    | 1,4–2,9                   | 1,7–4,9                    | 1,6–2,9                         | 1,6–4,6                |
| Délka lístků [mm]                          | Kub   | 2,5–7                     | 4–12                       | —                               | 2,5–15                 |
|  | Dos   | 2,5–7,5                   | 4–12                       | —                               | nerozlišována          |
|  | Jes   | —                         | —                          | —                               | —                      |
|  | H&W   | 3–6                       | 4–12                       | 6–18                            | nerozlišována          |
|  | W&M   | 3–8                       | 4–12                       | —                               | nerozlišována          |
|  | Ek    | (2,5–)4–5(–7)             | (2,5–)4–6(–11)             | (5–)5,5–7(8,5)                  | (4–)6–8(–9)            |
| Rozestupy mezi lístky v horní části čepele | Kub   | ± sblížené                | oddálené                   | —                               | —                      |
|  | Dos   | oddálené                  | hustě nahloučené           | —                               | nerozlišována          |
|  | Jes   | výrazně oddálené          | oddálené až hustě          | hustě nahloučené až střechovité | ± hustě nahloučené     |
|  | H&W   | oddálené                  | nahloučené                 | nahloučené                      | nerozlišována          |
|  | W&M   | ± oddálené                | sblížené                   | —                               | nerozlišována          |
|  | Ek    | výrazně oddálené          | sblížené                   | výrazně nahloučené              | nahloučené             |
| Přívěsky na plevinách                      | Kub   | —                         | —                          | —                               | —                      |
|  | Dos   | přítomny                  | nepřítomny                 | —                               | nerozlišována          |
|  | Jes   | —                         | —                          | —                               | —                      |
|  | H&W   | —                         | —                          | —                               | —                      |
|  | W&M   | —                         | —                          | —                               | —                      |
|  | Ek    | ± nepřítomny              | ± přítomny                 | nepřítomny                      | nepřítomny             |
| Délka listu (řapík + čepel) [cm]           | Kub   | —                         | —                          | —                               | —                      |
|  | Dos   | 5–20                      | 10–20                      | 2–12(–15)                       | nerozlišována          |
|  | Jes   | 6–20(–25)                 | 6–25(–35)                  | 1,5–12(–18)                     | 2,5–15(–22)            |
|  | H&W   | 7–17                      | 9,5–26                     | 8–21,5                          | nerozlišována          |
|  | W&M   | —                         | —                          | —                               | —                      |
|  | Ek    | (5–)8–18(–28,5)           | (3,5–)11–16(–31,5)         | (4,5–)6–13(–16,5)               | (5–)9–14(–24)          |
| Počet jarem (párů lístků)                  | Kub   | —                         | —                          | —                               | —                      |
|  | Dos   | 10–25                     | 10–30                      | 10–30                           | nerozlišována          |
|  | Jes   | 14–29(–34)                | 16–32(–48)                 | 10–24(–30)                      | 10–22(–32)             |
|  | H&W   | 14–28                     | 17–34                      | 16–24                           | nerozlišována          |
|  | W&M   | —                         | —                          | —                               | —                      |
|  | Ek    | (9–)15–28(–40)            | (9–)21–28(–38)             | (11–)15–25(–26)                 | (10–)16–25(–30)        |

<sup>1</sup> U znaku délka lístků byl pro srovnání s literaturou použit znak délka lístku ve středu čepele *pi1/2len* u hodnocení rozestupů lístků v horní části čepele byly použity hodnoty znaku *int7/8*.

Tab. 10: Pokračování

| Znak                              | Zdroj. | subsp. <i>trichomanes</i>                        | subsp. <i>quadrivalens</i>                       | subsp. <i>pachyrachis</i>                     | subsp. <i>hastatum</i>                        |
|-----------------------------------|--------|--|--|---|---|
| Žlázky na spodní straně<br>listků | Kub    | —  | —  | —   | —   |
|                                   | Dos    | —  | —  | —   | —   |
|                                   | Jes    | degenerované nebo<br>nepřítomny                  | degenerované nebo<br>nepřítomny                  | hojně, ukončené<br>velkou kulovitou<br>buňkou | hojně, ukončené<br>velkou kulovitou<br>buňkou |
|                                   | H&W    | —  | —  | —   | —   |
|                                   | W&M    | —  | —  | —   | —   |
|                                   | Ek     | roztroušeně<br>přítomny, zpravidla<br>jednoduché | roztroušeně<br>přítomny, zpravidla<br>jednoduché | hojně, ukončené<br>velkou kulovitou<br>buňkou | hojně, ukončené<br>velkou kulovitou<br>buňkou |
| Členitost<br>koncového<br>listku  | Kub    | —  | —  | —   | —   |
|                                   | Dos    | —  | —  | —   | —   |
|                                   | Jes    | jednoduše členěný                                | jednoduše členěný                                | 3–5(–6) dílný                                 | 3–5(–6) dílný                                 |
|                                   | H&W    | —  | —  | —   | —   |
|                                   | W&M    | —  | —  | —   | —   |
|                                   | Ek     | 1(–2)  | 1–2(–5)  | 1–3   | 1–3(–5)                                       |

Při porovnání získaných hodnot s literárními údaji však došlo v několika případech ke zcela rozporné situaci. Je možné, že se v případě některých literárních údajů jedná o opačné uvedení protikladných hodnot pro určité znaky. Například v Klíči pro květenu ČR (KUBÁT et al. 2002) je u subsp. *trichomanes* a subsp. *quadrivalens* uveden opačný údaj u znaku oddálených či sblížených listků na koncové části čepele, než jak vyplývá z vlastních naměřených hodnot i z dalších literárních údajů. Další pravděpodobnou záměnou bude zřejmě údaj o přítomnosti přívěsků na plevinách podle Dostála (DOSTÁL 1989), který jinak není pro srovnání v žádné jiné dostupné literatuře uváděn. Z vlastních měření vyplývá, že u subsp. *quadrivalens* jsou přívěsky na plevinách zpravidla přítomny, zatímco u subsp. *trichomanes* a dalších taxonů se na plevinách nenacházejí. Je tomu tedy přesně naopak, než jak to uvádí DOSTÁL (1989). Jedná se o dobrý znak vhodný k určení subsp. *quadrivalens* od ostatních taxonů.

Dle mého názoru je s podivem, že se ve většině určovacích klíčů a flór udává délka plevin jako jeden z klíčových znaků pro determinaci diploidních taxonů od tetraploidních (FREY et al. 1995; VALENTINE et MOORE 1993; REICHSTEIN 1997 aj.). Z vlastních zkušeností i z literatury je znám velký překryv hodnot udávaných pro délky plevin. Pleviny do 3,5 mm dlouhé jsou udávány pro diploidní taxonomy a pleviny až do 5 mm dlouhé pro tetraploidní taxonomy. Jak je z výsledků této práce patrné (obr. 14), nejčastější délky plevin u subsp. *quadrivalens* (i u ostatních tetraploidních poddruhů) zpravidla nedosahují ani hodnot 4–5 mm. Již LOVIS (1964) uvádí, že k délce plevin je nutno přistupovat velmi opatrně, a také zdůrazňuje, že u subsp. *trichomanes* se nacházejí některé velmi dlouhé pleviny, které se nesmějí brát při determinaci v úvahu. I přes tyto obtíže však u jednotlivých ploidí existuje jistý trend v délce plevin, která by se však měla brát v úvahu jen jako doplňující znak k determinaci a ne jako jeden z klíčových znaků pro odlišení jednotlivých ploidí.

Některé velmi dobré znaky na odlišení určitých taxonů zůstaly téměř opomenuty.

Velmi dobrým znakem korelujícím se stupněm ploidie je délka prstence (*annulen*). U tohoto znaku sice dochází k mírnému překryvu okrajových hodnot, ale přesto je velmi vhodný pro odlišení diploidních a tetraploidních rostlin. Tohoto znaku si povšiml NYHUS (1987) na materiálu ze Skandinávie.

Na řadu vhodných znaků upozornil JESSEN (1997, 1999). Délka, ale také charakteristické zakřivení prstence mohou pomoci při určování skupiny taxonů subsp. *trichomanes* a subsp. *quadrivalens* od skupiny subsp. *hastatum* a subsp. *pachyrachis* (viz obr. 4b, 5b, 11). Z dalších znaků je to přítomnost výrazného lemu na okrajích lístků u subsp. *pachyrachis* (*edge*).

Dále byla studována přítomnost a charakter žlázek na spodní straně lístků. JESSEN (1997, 1999) uvádí, že u subsp. *trichomanes* a subsp. *quadrivalens* jsou přítomny pouze tzv. degenerované žlázky nebo žlázky zcela chybějí a u subsp. *hastatum* a subsp. *pachyrachis* se nacházejí výrazné vyvinuté žlázky s velkou koncovou kulovitou až válcovitou buňkou. Na základě studia materiálu z České republiky nelze tento znak použít. U subsp. *hastatum* a subsp. *pachyrachis* se výsledky hodnocení žlázek shodují, avšak u subsp. *trichomanes* a subsp. *quadrivalens* byly také nalezeny na spodní straně lístků nalezeny vyvinuté žlázky. V některých případech byly u subsp. *trichomanes* dokonce nalezeny velmi dlouhé žlázky s malou kulovitou buňkou na konci (viz obr. 22, srovnej s tab. 1).

Hodnocení členitosti koncového lístku se ukázalo rozdílné v porovnání z údaji Jessena (JESSEN 1997) (viz tab. 1). U tohoto znaku je pravděpodobně nutné brát na vědomí značnou subjektivitu volby hranice, kdy se lístek považuje už za členěný a kdy ještě ne. Metoda zvolená v této práci považovala jako samostatný díl fyzické oddělení části na bázi lístku. JESSEN (1997) uvádí, že u subsp. *trichomanes* a subsp. *quadrivalens* je koncový lístek členěný jednoduše a naopak u subsp. *pachyrachis* a subsp. *hastatum* se člení až do 5–6 částí. Na vlastním studovaném materiálu bylo zjištěno, že u subsp. *trichomanes* je koncový lístek členěný do 1–2 dílů, u subsp. *quadrivalens* také zpravidla do 1–2 dílů, ale nezřídka také téměř do pěti dílů. U subsp. *hastatum* a subsp. *pachyrachis* byl koncový lístek zpravidla členěn do 1–3 částí.

V neposlední řadě by bylo užitečné zmínit se o znaku, který byl nalezen jako nový vhodný znak korelující se stupněm ploidie. Je to přítomnost a případně i barva papilek na vřetenové liště (křídlu) (viz podrobně Výsledky 3.2.5.8).

## 4.5 Fytocenologická vazba taxonů komplexu

Jelikož nebyly jednotlivé taxony komplexu *A. trichomanes* agg. v České republice dostatečně rozlišovány, nejsou ani uvedeny v přehledu rostlinných společenstev ČR (MORAVEC 1995). Jednotlivé poddruhy se ze získaných výsledků zdají být velmi dobrými indikátory některých rostlinných společenstev skalních štěrbin a zdí třídy *Asplenietea trichomanis*. To je dáno především skutečností, že jednotlivé taxony komplexu jsou charakteristicky vázané na specifický typ a charakter substrátu (viz obr. 29–31).

V přehledu rostlinných společenstev ČR (MORAVEC 1995) je druh *Asplenium*

*trichomanes* uveden ve skupině diagnostických druhů pro druhově chudá společenstva skalních štěrbin silikátových substrátů sv. *Androsacion vandellii*<sup>2</sup> (tř. *Asplenietea trichomanis*) a pro společenstva zdí sv. *Centrantho-Parietarion*<sup>3</sup> (tř. *Parietariaetea*). Z pohledu členění sledovaného druhu na jednotlivé poddruhy je situace však mnohem složitější (viz obr. 30).

Jediná a zároveň nejběžněji rozšířená subsp. *quadrivalens* nepreferuje výrazně žádný typ substrátu (viz obr. 30), ale významněji je zastoupena na bazičtějších substátech (skály, lomy, zdi). Tento taxon je také zařazen mezi diagnostické taxony celé třídy *Asplenietea trichomanis* v přehledu rostlinných společenstev Rakouska (MUCINA 1993). Ostatní poddruhy se vyznačují poměrně úzkou vazbou na charakter a především pH substrátu.

Kyselé substráty, jako je rula, žula a břidlice jsou typické pro diploidní subsp. *trichomanes*, jak vyplývá z obr. 30. V rakouském přehledu vegetace je subsp. *trichomanes* použita v diagnostické kombinaci druhů pro společenstva skalních štěrbin silikátových substrátů ř. *Androsacetalia multiflorae* (MUCINA 1993). Výskyt subsp. *trichomanes* ve studovaných lokalitách by se dal v rámci ř. *Androsacetalia multiflorae*, kam zajisté studované lokality patří, zařadit do jednotek udávaných z kyselých substrátů sv. *Asplenion septentrionalis*, sv. *Hypno-Polypodion vulgaris* a hadcových substrátů *Asplenion serpentini*. V těchto společenstvech je však také možný v menší míře výskyt subsp. *quadrivalens* nebo i křížence subsp. *quadrivalens* a subsp. *trichomanes* nothosubsp. *lusaticum*, a to především na stanovištích s lokálním mírným obohacením bázemi. Zařazení subsp. *trichomanes* do diagnostické kombinace druhů ř. *Androsacetalia multiflorae* považuji jednoznačně za výstižné.

Taxonem v rámci komplexu *A. trichomanes* agg., který je udáván pro řád *Potentilletalia caulescentis* mezi diagnostickými druhy, je subsp. *inexpectans* (MUCINA 1993). Tento taxon však doposud nebyl na území České republiky prokazatelně nalezen. Na vápencích ve společenstvech ř. *Potentilletalia caulescentis* a ř. *Tortulo-Cymbalarietalia* se nacházejí na substrát specificky vázané poddruhy subsp. *hastatum* a subsp. *pachyrachis*. Rostlinná společenstva, ve kterých se nachází subsp. *hastatum*, by se na území ČR dala zařadit do společenstev stinných, polostinných vápencových skal sv. *Cystopteridion* nebo případně výskytu na na zdech by bylo možné zařadit do sv. *Cymbalario-Asplenion*.

U subsp. *pachyrachis* je situace ohledně fytoценologické vazby na další taxony poněkud komplikovanější, protože tento poddruh zpravidla roste na zcela extrémních stanovištích v převisech a dutinách vápencových skal, kde většinou neroste žádná další vegetace (viz obr. 30, 32). Tato vlastní terénní zkušenosť odpovídá i údajům v odborné literatuře, kde je uváděn výskyt subsp. *pachyrachis* na zdech jako vzácný nebo ojedinělý (JESSEN 1997; LOVIS et REICHSTEIN 1985; VOGEL et al. 1999a)

<sup>2</sup> Svaz *Androsacion vandellii* se v přehledu rostlinných společenstev Rakouska (MUCINA 1993) vztahuje pouze na kyselé substráty subalpinských až alpinských poloh, tedy v ČR se v podstatě nevyskytuje. Dále v přehledu společenstev se přidržuje nomenklatury podle Muciny (MUCINA 1993) viz Metodika 2.8.

<sup>3</sup> Svaz *Centrantho-Parietarion* (tř. *Parietariaetea*) se v přehledu rostlinných společenstev Rakouska (MUCINA 1993) řadí do ř. *Tortulo-Cymbalarietalia* v rámci tř. *Asplenietea trichomanis*. Dále v přehledu společenstev se přidržuje nomenklatury podle Muciny (MUCINA 1993) viz Metodika 2.8.

a zdůrazňován je vždy právě výskyt na extrémních biotopech vápencových skal, převisů a výklenků nebo na pískovci s vápnitým tmelem.

Naopak v rakouském přehledu vegetace (MUCINA 1993) je subsp. *pachyrachis* překvapivě uvedena mezi diagnostickými taxony často pionýrských společenstev zdí ř. *Tortulo-Cymbalarietalia* spolu s druhy *Antirrhinum majus*, *Asplenium ruta-muraria*, *Cymbalaria muralis*, *Encalypta streptocarpa*, *Parietaria judaica*, *Tortula muralis* aj. Pravděpodobně mohlo docházet k nepřesným determinacím taxonu se záměnou v té době ještě „neznámé“ subsp. *hastatum*, která se místy ve společenstvech zdí vyskytuje a morfologicky je podobná subsp. *pachyrachis*. V každém případě považuji zařazení subsp. *pachyrachis* do ř. *Tortulo-Cymbalarietalia* jako nepřesný. Bylo by jistě vhodnější uvažovat subsp. *pachyrachis* do diagnostické kombinace druhů pouze sv. *Cymbalario-Asplenion*.

Pro klimatické a vegetační poměry Portugalska byla na základě terénní studie popsána nová asociace *Asplenio pachyrachido-Sarcocapnetum enneaphyllae* (PÉREZ CARRO et al. 1990a) v rámci sv. *Asplenio celtibericae-Saxifragion cuneatae*, ř. *Potentilletalia caulescentis*, charakterizující specifický biotop subsp. *pachyrachis*.

Ne všechny novější fytocenologické práce však zohledňují specifické ekologické preference jednotlivých poddruhů v rámci *A. trichomanes* agg. I v detailnějších souborných pracích je používán pouze druh *Asplenium trichomanes* s. l. (CANO CARMONA et al. 1997).

Pro potřeby detailnějšího a výstižnějšího přehledu fytocenologických vazeb jednotlivých taxonů komplexu *A. trichomanes* agg. a dalších taxonů v rámci tř. *Asplenietea trichomanis* by bylo nezbytné shromáždit větší objem fytocenologických dat z celého území střední Evropy.

## 5 Závěr

Výsledky předkládané práce lze stručně shrnout do těchto bodů:

1. Stanovením ploidních úrovní studovaných rostlin (průtoková cytometrie), byly na území ČR zjištěny diploidní, triploidní a tetraploidní cytotypy. Na některých lokalitách byly zjištěny i všechny tři ploidní úrovně zároveň.
2. Na území ČR byly nalezeny čtyři taxony v rámci komplexu *Asplenium trichomanes* agg.: subsp. *trichomanes* (2x), subsp. *quadrivalens* (4x), subsp. *pachyrachis* (4x), subsp. *hastatum* (4x). Výskyt diploidní subsp. *inexpectans* se nepodařilo prokázat.
3. Byly ověřeny některé znaky používané k determinaci poddruhů v rámci komplexu *A. trichomanes* agg. a také byly nalezeny některé vhodné znaky neuváděné dosud v literatuře. K úspěšné determinaci jednotlivých taxonů je vždy nutné používat kombinaci několika znaků. Morfologické znaky, které se ukázaly jako významné pro rozlišování některých dvojic taxonů jsou: délka výtrusů, délka prstence na výtrusnici, délka oddenkových plevin, přítomnost mnohobuněčných přívěsků na plevinách, vzdálenost lístků v horní části čepele, délka lístků v 1/4 délky čepele, charakter lístků (zubatost, přítomnost oušek, konzistence), zavřený či otevřený typ výtrusnice, charakter a barva vřetenové lišty a světlý lem na okrajích lístků.
4. Celkový podíl hybridních rostlin v rostlinných společenstvech ČR je poměrně malý, avšak nezanedbatelný (6% hybridních rostlin ve studovaném materiálu, 7 % hybridních rostlin v revidovaném materiálu veřejných herbářových sbírek). Hybridní rostliny byly nalezeny jednak mezi diploidními a tetraploidními taxony a také mezi tetraploidními taxony. Na kontaktu více taxonů se vytvářejí zpravidla hybridní zóny. Hybridní rostliny se vyznačují zpravidla intermediárními znaky a vždy abortovanými výtrusy. Nejčastěji se vyskytující hybridní taxony, jsou nothosubsp. *lusaticum* a nothosubsp. *lovisianum*. Další hybridní taxony nothosubsp. *moravicum* a nothosubsp. *staufferi* se nacházejí zpravidla vzácně, zároveň s výskytem vzácnějšího rodičovského taxonu subsp. *pachyrachis*. Na území ČR byly ověřeny následující čtyři hybridní kombinace:  
 subsp. *quadrivalens* × subsp. *trichomanes* = nothosubsp. *lusaticum*  
 subsp. *hastatum* × subsp. *quadrivalens* = nothosubsp. *lovisianum*  
 subsp. *hastatum* × subsp. *pachyrachis* = nothosubsp. *moravicum*  
 subsp. *pachyrachis* × subsp. *quadrivalens* = nothosubsp. *staufferi*
5. Na základě vlastních údajů a revize herbářových položek z největších českých herbářových sbírek bylo sestaveno rozšíření poddruhů komplexu *A. trichomanes* agg. Subspecie *quadrivalens* je velmi hojně rozšířená po celém území ČR od nížin do hor. Diploidní subsp. *trichomanes* se vyskytuje roztroušeně až ojediněle po celém území ČR. Naopak velmi vzácným taxonom komplexu je především subsp. *pachyrachis*, která byla nalezena pouze ve vápencových oblastech

Moravského krasu a Pálavy. Ojedinělý historický údaj (1961, I. Klášterský, PR) ohledně výskytu subsp. *pachyrachis* byl zaznamenán z Českého krasu. Druhým vzácnějším taxonem je subsp. *hastatum*. Tato subspecie se vyskytuje roztroušeně až vzácně především v oblasti střední Moravy (fytochoriony 16, 17b, 70, 71b, 76a, 77c, 84a, 91).

6. Jednotlivé taxony jsou na území ČR rozšířeny podle svých preferencí na specifické typy substrátů. Ze studovaných taxonů je jediným ekologicky nevyhraněným taxonem subsp. *quadrivalens*, která roste jednak na různých typech přírodních skalních biotopů s výraznější preferencí na bázičtější substráty, ale často také na antropogenních stanovištích jako jsou lomy nebo zdi. Zahrnuje fytoценologicky všechny řády tř. *Asplenietea trichomanis*. Výhradně na stinných kyselých skalních biotopech sv. *Asplenion septentrionalis* a sv. *Hypno Polypodion vulgaris* a na hadcích sv. *Asplenion serpentini* roste diploidní subsp. *trichomanes*. Velmi vzácná subsp. *pachyrachis* roste zase výhradně na vápencových převisech a výklencích skal nebo vzácně na vápenitém pískovci vždy v rámci sv. *Cymbalario-Asplenion* podobně jako subsp. *hastatum*, která roste navíc jestě na starých zdech.

? Kalkovec (zde v meteore)

## 6 Použitá literatura

- ANONYMUS (1998): STATISTICA for Windows [Computer program manual]. – StatSoft, Inc., Tulsa.
- BENNERT H. W. et FISCHER G. (1993): Biosystematics and evolution of the *Asplenium trichomanes* complex. – *Webbia* 48: 743–760.
- BENNERT H. W., PICHI SERMOLLI R. E. G., RASBACH H., RASBACH K. et REICHSTEIN T. (1989): *Asplenium × helii* Lusina, the valid name for the hybrids between *A. petrarchae* (Guérin) D. C. and *A. trichomanes* L. (*Aspleniaceae, Pteridophyta*) II. Detailed description and illustrations. – *Webbia* 43 (2): 311–337.
- BOUDRIE M. (1988): *Asplenium trichomanes* L. subsp. *pachyrachis* (Christ) Lovis et Reichstein et *Asplenium trichomanes* L. nothosubsp. *staufferi* Lovis et Reichstein (*A. trichomanes* subsp. *pachyrachis* × *A. trichomanes* subsp. *quadrivalens*) sur les marges occidentales calcaires du Massif Central (France). – *Bull. Soc. Bot. Cent.-Ouest.* 19: 35–38.
- BOUHARMONT J. (1968): Les formes chromosomiques d'*Asplenium trichomanes* L. – *Bull. Jard. Bot. Nat. Belg.* 38: 103–114. [non vidi]
- BOUHARMONT J. (1972): Meiosis and fertility in apogamously produced diploid plants of *Asplenium trichomanes*. – *Chromosomes Today* 3: 253–258.
- BRIGGS D. et WALTERS S. M. (1997): Plant variation and evolution. – Cambridge University Press.
- BROWNSEY P. J. (1976): A biosystematic investigation of the *Asplenium lepidum* complex. – *Bot. J. Linn. Soc.* 72: 235–267.
- BROWNSEY P. J. (1977): A taxonomic revision of the New Zealand species of *Asplenium*. – *New Zealand J. Bot.* 15: 39–86.
- BÜSCHER P. et KOEDAM N. (1983): Soil preference of populations of genotypes of *Asplenium trichomanes* L. and *Polypodium vulgare* L. in Belgium as related to cation exchange capacity. – *Plant and Soil* 72 (2–3): 275–282.
- CANO CARMONA E., MELENDO LUQUE M. et VALLE TENDERO F. (1997): The plant communities of the *Asplenietea trichomanis* in the SW Iberian Peninsula. – *Folia Geobot. Phytotax.* 32: 361–376.
- CUBAS P., ROSSELLO J. A. et PANGUA E. (1989): A new triploid hybrid in the *Asplenium trichomanes* complex: *Asplenium trichomanes* nothosubsp. *lucanum* (*A. trichomanes* subsp. *inexpectans* × *A. trichomanes* subsp. *quadrivalens*). – *Candollea* 44 (1): 181–190.
- DIEKJOBST H. (1997): Zur Verbreitung der beiden Unterarten des Braunstielen Streinfarns (*Asplenium trichomanes* subsp. *trichomanes* und *A. trichomanes* subsp. *quadrivalens*) im Südwestfälischen Bergland. – *Natur u. Heimat* 57 (4): 121–127.
- DOLEŽEL J. et GÖHDE W. (1995): Sex determination in dioecious plants *Melandrium album* and *M. rubrum* using high-resolution flow cytometry. – *Cytometry* 19: 103–106.
- DOSTÁL J. (1989): Nová květena ČSSR 1. – Academia, Praha.
- FIŠEROVÁ D. (1972): Poznámky k rozšíření *Asplenium trichomanes* L. subsp. *inexpectans* Lovis na Slovensku. – *Zpr. Čes. Bot. Spol.* 7 (1): 36–43.
- FREY W., FRAHM J. P., FISCHER E. et LOBIN W. (1995): Kleine Kryptogamenflora, Band IV, Die Moß- und Farngewächse Europas. – Gustav Fischer Verlag, Stuttgart.

- FUCHS H. P. (1963): Nomenklatorische liste der Gefäßskryptogamen. – Acta Bot. Acad. Sci. Hungaricae 9: 19–20.
- GIBBY M. et LOVIS J. D. (1989): New ferns of Madeira. – Fern Gaz. 13 (5): 185–187.
- GERKEN R. (1999): *Asplenium trichomanes* subsp. *pachyrachis* (Christ) Lovis et Reichstein erstmals in Norddeutschland nachgewiesen. – Flor. Rundbr. 33 (1): 17–22.
- GREUTER W., MCNEILL J., BARRIE F. R., BURDET H. M., DEMOULIN V., FILGUEIRAS T. S., NICOLSON D. H., SILVA P. C., SKOG J. E., TREHANE P., TURLAND N. J., HAWKSWORTH D. L. (2000): Medzinárodný kód botanickej nomenklatúry (Saint Louis Code). – Zpr. Čes. Bot. Spol. 35, Příloha 2000/1.
- HACKNEY P. (1985): *Asplenium trichomanes* L. subsp. *trichomanes* in the Mourne Mountains (H38). – Irish Nat. J. 21 (9): 420–421.
- HAFFNER P. et WACHTER H. (1994): Die Unterarten und Hybriden des Braunen Streifenfarnes *Asplenium trichomanes* L. im Nordwestsaarland und angrenzenden Gebieten. – Delattinia 21: 59–106.
- HENDRYCH R. et JIRÁSEK V. (2002): Příručka pro práci s latinsky psanými herbářovými schedami. – Zpr. Čes. Bot. Spol., Příl. 2002/2.
- HERRERO A., PRADA C., PANGUA E., ESCUDERO A., RUBIO A. et PARAJÓN S. (1993): Gametophyte morphology of four subspecies of *Asplenium trichomanes* L. – Bot. Complut. 18: 67–77.
- HERRERO A., PARAJÓN S. et PRADA C. (2001): Isozyme variation and genetic relationship among taxa in the *Asplenium obovatum* group (*Aspleniaceae, Pteridophyta*). – Am. J. Bot. 88 (11): 2040–2050.
- HILMER O. (2002): Vier Unterarten des Braunstielen Streifenfarns *Asplenium trichomanes* L. (*Aspleniaceae, Pteridophyta*) in Südniedersachsen. – Mitt. Naturw. Ver. Goslar 7: 145–174.
- HOLUB J et PROCHÁZKA F. (2000): Red List of vascular plants of the Czech Republic 2000. – Preslia 72: 187–230.
- HOU X. et WANG Z. R. (2000): A subspecific taxonomic study on *Asplenium trichomanes* L. from China. – Acta Phytotax. Sin. 38 (3): 242–255.
- CHRTEK J., SLAVÍK B. et TOMŠOVIC P. (1982): Směrnice pro zpracování Květeny ČSR. – BÚ ČSAV, Průhonice.
- JERMY A. C. et JARVIS C. E. (1992): The lectotypification of *Asplenium trichomanes-ramosum* L., the correct name for *A. viride* Hudson. – Bot. J. Linn. Soc. 109 (3): 319–321.
- JERMY A. C. et PAGE C. N. (1980): Additional field characters separating the subspecies of *Asplenium trichomanes* in Britain. – Fern Gaz. 12 (2): 112–113.
- JERMY A. C. et VIANE R. (1992): New subgenera within *Asplenium* L., pp. 321–322. – In: Newton M. E. [ed.]: Flora Europaea: Notulae systematicae ad Floram Europaeam spectantes. Series 2. No. 5., Bot. Jour. Linn. Soc. 109: 319–328.
- JESSEN S. (1995): *Asplenium trichomanes* L. subsp. *hastatum*, stat. nov.: eine neue Unterart des Braunstielen-Streifenfarnes in Europa und vier neue intraspezifische Hybriden (*Aspleniaceae: Pteridophyta*). – Ber. Bayer. Bot. Ges. 65: 107–132.
- JESSEN S. (1997): Unterscheidungstabelle der 5 mitteleuropäischen Unterarten von *Asplenium trichomanes* L. – Ms. [unpubl.].
- JESSEN S. (1999): Zur Unterscheidung von *Asplenium trichomanes* subsp. *hastatum* von

- ähnlichen Farntaxa. – Das Prothalium 3: 3–4.
- KENTNER E. K. et MESLER M. R. (2000): Evidence for natural selection in a fern hybrid zone. – Am. J. Bot. 87: 1168–1174.
- KLEČKA W. R. (1980): Discriminant analysis, Sage University Papers, Series: Quantitative applications in the social sciences 19. – Bevery Hills, London: Sage Publications.
- KLEKOWSKI E. J. jun. (1973): Sexual and subsexual systems in homosporous pteridophytes: a new hypothesis. – Am. J. Bot. 60 (6): 535–544.
- KLEKOWSKI E. J. jun. et BAKER H. G. (1966): Evolutionary significance of polyploidy in the Pteridophyta. – Science 153: 305–307.
- KRAMER K. U. et VIANE R. (1990): *Aspleniaceae*, pp. 52–57. – In: Kramer K. U. et Green P. S.: The families and genera of vascular plants I, Pteridophytes and Gymnosperms, Springer-Verlag, Berlin.
- KŘÍSA B. (1988): *Asplenium* L. – sleziník, pp. 242–249. – In: Hejní S., Slavík B. [eds.]: Květena ČSR 1, Academia, Praha.
- KUBÁT K., HROUDA L., CHRTEK J. jun., KAPLAN Z., KIRSCHNER J. et ŠTĚPÁNEK J. [eds.] (2002): Klíč ke květeně České republiky. – Academia, Praha.
- LANJOUW J. [ed.] (1961): International Code of Botanical Nomenclature. – Utrecht. [non vidi]
- Lawton E. (1932): Regeneration and induced polyploidy in ferns. – Am. J. Bot. 19 (4): 303–333.
- LEPŠ J. (1996): Biostatistika. – Skriptum, Biologická fakulta Jihočeské univerzity, České Budějovice.
- LEPŠ J. et ŠMILAUER P. (2000): Mnohorozměrná analýza ekologických dat. – Skriptum [Biologická fakulta Jihočeské univerzity, České Budějovice; <http://regent.bf.jcu.cz/skripta.pdf> (7. 3. 2003)].
- LOVIS J. D. (1964): The taxonomy of *Asplenium trichomanes* in Europe. – Brit. Fern Gaz. 9 (5): 147–160.
- LOVIS J. D. (1973): A biosystematic approach to phylogenetic problems and its application to the *Aspleniaceae*. – Bot. J. Linn. Soc. 67: 211–228, Suppl. 1.
- LOVIS J. D., RASBACH H., RASBACH K. et REICHSTEIN T. (1977): *Asplenium azoricum* and other ferns of the *A. trichomanes* group from the Azores. – Am. Fern J. 67 (3): 81–93.
- LOVIS J. D. et REICHSTEIN T. (1980): *Asplenium trichomanes* subsp. *pachyrachis*, p. 18. – In: Greuter, Med-Checklist Notulae 1, Willdenowia 10: 18.
- LOVIS J. D. et REICHSTEIN T. (1985): *Asplenium trichomanes* subsp. *pachyrachis* (*Aspleniaceae*, *Pteridophyta*), and a note on the typification of *A. trichomanes*. – Willdenowia 15 (1): 187–201.
- LOVIS J. D., RASBACH H. et REICHSTEIN T. (1989): *Asplenium trichomanes* L. nothosubsp. *melzeri* nothosubsp. nov. The triploid hybrid between *A. trichomanes* subsp. *inexpectans* and subsp. *quadrivalens*. – Candollea 44 (2): 543–553.
- MANTON I. (1950): Problems of cytology and evolution in the *Pteridophyta*. – Cambridge.
- MANTON I., LOVIS J. D., VIDA G. et GIBBY M. (1986): Cytology of the fern of Madeira. – Bull. Br. Mus. nat. Hist. (Bot.) 15: 123–161. [non vidi]
- MANTON I. et WALKER S. (1954): Induced apogamy in *Dryopteris dilatata* (Hoffm.) A. Gray and *D. filix-mas* (L.) Schott emend. and its significance for the interpretation of the two species. – Ann. Bot. 18 (71): 377–383.

- MARHOLD K. et SUDA J. (2002): Statistické zpracování mnohorozměrných dat v taxonomii (Fenetické metody). – Karolinum, Praha.
- MARCHETTI D. et SOSTER M. (1992): Note su tre felci nuove per la Valsesia (Piemonte) e rare per l'Italia: *Asplenium trichomanes* L. subsp. *pachyrachis* (Christ) Lovis et Reichstein, *Asplenium adulterinum* Milde subsp. *adulterinum* e *Dryopteris remota* (A. Braun) Druce. – Boll. Mus. reg. Sci. nat. Torino 10 (1): 113–124.
- MEYER D. E. (1962): Zur Zytologie der Asplenien Mitteleuropas (XXIX, Abschluss). – Ber. Deutsch. Bot. Ges. 74: 449–461.
- MOKRY F., RASBACH H. et REICHSTEIN T. (1986): *Asplenium adulterinum* Milde subsp. *presolanense* subsp. nova (*Aspleniaceae, Pteridophyta*). – Bot. Helv. 96 (1): 7–18.
- MORAN R. C. (1982): The *Asplenium trichomanes* complex in the United States and adjacent Canada. – Amer. Fern J. 72 (1): 5–11.
- MORAVEC J. [ed.] (1994): Fytocenologie. – Academia, Praha.
- MORAVEC J. [ed.]. (1995): Rostlinná společenstva České republiky a jejich ohrožení, 2. ed. – Severočeskou přírodou, Litoměřice.
- MUCCIFORA S. et GORI P. (1995): *Asplenium trichomanes* subsp. *trichomanes* gametophyte. A light and electron microscope study. – Caryologia 48: (3–4) 265–274.
- MUCINA L. (1993): *Asplenietea trichomanis*, pp. 241–275. – In: Grabherr G. et Mucina L., Die Pflanzengesellschaften Österreichs II, Natürliche waldfreie Vegetation, Gustav Fischer Verlag Jena, Stuttgart.
- NYHUS G. C. (1987): Underartene av svartburkne (*Asplenium trichomanes*) i Norge. (The subspecies of *Asplenium trichomanes* in Norway). – Blyttia 45 (1): 12–24.
- OTTO F. (1990): DAPI staining of fixed cells for high-resolution flow cytometry of nuclear DNA, vol. 33: 105–110. – In: Crissman H. A., Darzynkiewicz Z. [eds.], Methods in Cell Biology, Academic Press, New York.
- PANGUA E., PRADA C. et MARQUINA A. (1989): Las subespecies de *Asplenium trichomanes* L. en la Península Ibérica e Islas Baleares. – Bot. Complutensis 14: 87–108.
- PARENT G. H., JEROME C. et THORN R. (1996): Données nouvelles sur la répartition d'*Asplenium trichomanes* L. subsp. *pachyrachis* (Christ) Lovis et Reichstein (*Aspleniaceae, Pteridophyta*) en Belgique, au Grande-Duché de Luxembourg, en Allemagne et dans le nord-est de la France. – Monde Pl. 91 (457): 29–30.
- PETIT C., BRETAGNOLLE F. et FELBER F. (1999): Evolutionary consequences of diploid – polyploid hybrid zones in wild species. – TREE 14 (8): 306–311.
- PÉREZ CARRO F. J., DIAZ GONZALEZ T. E. et FERNANDEZ ARECES M. P. (1990a): Datos geobotánicos, taxonómicos y corológicos sobre *Asplenium trichomanes* L. subsp. *pachyrachis* (Christ) Lovis et Reichstein. – Botánica pirenaico-cantábrica: 565–576.
- PÉREZ CARRO F. J., FERNANDEZ ARECES M. P. et DIAZ GONZALEZ T. E. (1990b): Sobre la presencia de *Asplenium trichomanes* nothosubsp. *staufferi* y *Asplenium × alternifolium* nothosubsp. *heuffleri* en el norte de la Península Ibérica. – An. Jard. Bot. Madrid 48 (1): 7–13.
- PÉREZ RAYA F., CASARES PORCEL M., MOLERO-MESA J. et GONZÁLEZ-TEJERO M. R. (1986): Estudio palinológico del género *Asplenium* L. en Sierra Nevada (Andalucía, España). – Candollea 41 (2): 369–380.
- QUEIROZ M. et ORMONDE J. (1990): *Asplenium trichomanes* L. subsp. *quadrivalens* D. E. Meyer, em Portugal. – An. Jard. Bot. Madrid 46 (2): 553–561.

- RASBACH H., RASBACH K., REICHSTEIN T. et BENNERT H. W. (1990): *Asplenium trichomanes* subsp. *coriaceifolium*, a new subspecies and two new intraspecific hybrids of the *A. trichomanes* complex (*Aspleniaceae*, *Pteridophyta*): 1. Nomenclature and typification. – *Willdenowia* 19 (2): 471–474.
- RASBACH H., RASBACH K., REICHSTEIN T. et BENNERT H. W. (1991): *Asplenium trichomanes* subsp. *coriaceifolium*, a new subspecies and two new intraspecific hybrids of the *A. trichomanes* complex (*Aspleniaceae*, *Pteridophyta*): 2. Description and illustrations. With an appendix on pairing behaviour of chromosomes in fern hybrids. – *Willdenowia* 21 (1–2): 239–261.
- REICHSTEIN T. (1981): Hybrids in European *Aspleniaceae* (*Pteridophyta*). – *Bot. Helv.* 91: 89–139.
- REICHSTEIN T. (1982): Hybrids in European *Aspleniaceae* (*Pteridophyta*). Addenda et corrigenda. – *Bot. Helv.* 92: 41–42.
- REICHSTEIN T. (1984): *Aspleniaceae* L., pp. 211–273. – In: Kramer K. U., Gustav Hegi, *Illustrierte Flora von Mitteleuropa I/1*, Verlag Paul Parey, Berlin, Hamburg.
- REICHSTEIN T. (1997): *Pteridophyta*, pp. 37–92. – In: Pignatti S., *Flora d'Italia*, Edagricole, Bologna.
- RICKARD M. H. (1989): Two spleenworts new to Britain: *Asplenium trichomanes* subsp. *pachyrachis* and *Asplenium trichomanes* nothosubsp. *staufferi*. – *Pteridologist* 1 (6): 244–248.
- ROTHMALER W. (1963): Kritischer Ergänzungsband zur Exkursionsflora für die Gebiete der DDR und BDR, Band IV. – Berlin.
- ROTHMALER W., ECKEHART J. J. et WERNER K. (2000): Exkursionsflora von Deutschland, Band 3, Gefäßpflanzen: Atlasband. – Spektrum Akademischer Verlag Heidelberg, Berlin.
- RUMSEY F. J., VOGEL J. C., RUSSELL S. J., BARRETT J. A. et GIBBY M. (1998): Climate, colonization and celibacy: population structure in central European *Trichomanes speciosum* (*Pteridophyta*). – *Bot. Acta* 111: 481–489.
- SCHMIDT R. (2002): Plant genome evolution: lessons from comparative genomics at the DNA level. – *Plant Mol. Biol.* 48: (1–2) 21–37.
- SCHULZE G. (1990): *Asplenium trichomanes* subsp. *pachyrachis* (Christ) Lovist et Reichstein in der Pfalz. – *Mitt. Pollichia* 77 (3): 215–221.
- SIJAK-YAKOVEV S., PECCENINI S., MURATOVIC E., ZOLDOS V., ROBIN O., VALLES J. (2003): Chromosomal differentiation and genome size in three European mountain *Lilium* species. – *Plant Syst. Evol.* 236: (3–4): 165–173.
- SKALICKÝ V. (1988): Regionálně fytogeografické členění, pp. 103–121. – In: Hejný S. et Slavík B. [eds.]: *Květena ČSR*. 1., Academia, Praha.
- SNEATH P. H. A. et SOKAL R. R. (1973): Numerical taxonomy. – W. H. Freeman et company, San Francisco.
- STARK C. (2002): Bestimmungsschlüssel für die Unterarten des Braunen Streifenfarns, *Asplenium trichomanes* L. (*Aspleniaceae*, *Pteridophyta*) und ihre Verbreitung in der Pfalz. – *Mitt. Pollichia* 87 (14): 49–70.
- STEPANOV N. V. (1994): Новый подвид *Asplenium trichomanes* (*Aspleniaceae*) из западного Саяна [Novyi podvid *Asplenium trichomanes* (*Aspleniaceae*), iz Zapadnogo Sayana]. (A new subspecies of *Asplenium trichomanes* (*Aspleniaceae*) from West Sayan.). – *Bot. Zhurn.* 79 (10): 91–98.

- SUDA J., KYNCL T. et FREIOVÁ R. (2003): Nuclear DNA Amounts in Macaronesian Angiosperms. – Ann. Bot. [in press]
- SUTER M., SCHNELLER J. J. et VOGEL J. C. (2000): Investigations into the genetic variation, population structure, and breeding systems of the fern *Asplenium trichomanes* subsp. *quadrivalens*. – Int. J. Plant Sci. 161: (2) 233–244.
- TER BRAAK C. J. F. et ŠMILAUER P. (1998): CANOCO reference manual and user's guide to CANOCO for Windows: Software for canonical community ordination. – Microcomputer Power, Ithaca.
- TER BRAAK C. J. F. et ŠMILAUER P. (2002): CANOCO reference manual and CanoDraw for Windows user's guide: Software for canonical community ordination. – Microcomputer Power, Ithaca.
- TIGERSCHIÖLD E. (1980): Tre underarter av *Asplenium trichomanes*, svartbräken, i Sverige. – Svensk Bot. Tidskr. 74(5): 353–360.
- TIGERSCHIÖLD E. (1981): The *Asplenium trichomanes* complex in East Central Sweden. – Nord. J. Bot. 1: 12–16.
- TREWICK S. A., MORGAN-RICHARDS M., RUSELL J., HENDERSON S., RUMSEY F. J., PINTÉR I., BARRETT J. A., GIBBY M. et VOGEL J. C. (2002): Polyploidy, phylogeography and Pleistocene refugia of the rockfern *Asplenium ceterach*: evidence from chloroplast DNA. – Molec. Ecol. 11: 2003–2012.
- TUTIN T. G., BURGES N. A., CHATER A. O., EDMONDSON J. R., HEYWOOD V. H., MOORE D. M., VALENTINE D. H., WALTERS S. M. et WEBB D. A. (1993): Flora Europaea, Vol. 1, Cambridge University Press.
- VALENTINE D. H., MOORE D. M. [eds.] (1993): *Aspleniaceae*, pp. 18–23. – In: Tutin T. G., Burges N. A., Chater A. O., Edmondson J. R., Heywood V. H., Moore D. M. Valentine D. H., Walters S. M. et Webb D. A.: Flora Europaea, Vol. 1, Cambridge University Press.
- VÁŇA J. (1997): Bryophytes of the Czech Republic – an annotated check-list of species (1). – Novit. Bot. Univ. Carol. 11: 39–89.
- VOGEL J. C., RUMSEY F. J., HOLMES J. S., RUSSELL S. J., BARRETT J. A. et GIBBY M. (1997): The status, distribution and genetic diversity of *Asplenium csikii* in the British Isles. – BSBI News 78: 92–93.
- VOGEL J. C., RUMSEY F. J., RUSSELL S. J., COX C. J., HOLMES J. S., BUJNOCH W., STARK Ch., BARRETT J. A. et GIBBY M. (1999a): Genetic structure, reproductive biology and ecology of isolated populations of *Asplenium csikii* (*Aspleniaceae*, *Pteridophyta*). – Heredity 83: 604–612.
- VOGEL J. C., RUMSEY F. J., SCHNELLER J. J., BARRETT J. A. et GIBBY M. (1999b): Where are the glacial refugia in Europe? Evidence from pteridophytes. – Biol. Journ. Linn. Soc. 66: (1) 23–37.
- VOGEL J. C., RUSSELL S. J., RUMSEY F. J., BARRETT J. A. et GIBBY M. (1998a): On hybrid formation in the rock fern *Asplenium ×alternifolium* (*Aspleniaceae*, *Pteridophyta*). – Bot. Acta 111: 241–246.
- VOGEL J. C., RUSSELL S. J., RUMSEY F. J., BARRETT J. A. et GIBBY M. (1998b): Evidence for maternal transmission of chloroplast DNA in the genus *Asplenium* (*Aspleniaceae*, *Pteridophyta*). – Bot. Acta 111: 247–249.
- WALKER T. G. (1979): The cytogenetics of ferns. – In: Dyer A. F. (ed.): Experimental biology of ferns, pp. 87–132, Academic Press, London, San Francisco, New York.

- WERTH C. R., GUTTMAN S. I. et ESHBAUGH W. H. (1985): Recurring origins of allopolyploid species in *Asplenium*. – Science 228: 731–733.
- WISSKIRCHEN R. et HAEUPLER H. [eds.] (1998): Standardliste der Farn- und Blütenpflanzen Deutschlands. – Verlag Eugen Ulmer, Stuttgart.
- ZIMMER B. et GREUTER W. (1994): Proposal to reject the name *Asplenium ramosum* L. (*Pteridophyta*). – Taxon 43: 303–304.
- ZONNEVELD B. J. M. (2001): Nuclear DNA contents of all species of *Helleborus* (*Ranunculaceae*) discriminate between species and sectional divisions. – Plant Syst. Evol. 229: (1–2) 125–130.

# Přílohy

## Příloha 1 – Morfometrie

Tabulka hodnot korelačních koeficientů mezi znaky  
Výsledky analýzy variance (ANOVA) a mnohonásobných  
porovnání (HSD-Tukey test) jednotlivých znaků

## Příloha 2 – Fytocenologické snímky

Lokalizace a další charakteristiky jednotlivých snímků  
Tabulka fytocenologických snímků

## Příloha 3 – Revize herbářových položek

Přehled revidovaných herbářových položek

## Příloha 4 – Dokumentační obrázky

Siluety některých analyzovaných rostlin  
Ornamentace povrchu výtrusů u jednotlivých poddruhů

# Příloha 1

## Morfometrie

Tabulka hodnot korelačních koeficientů mezi znaky

Výsledky analýzy variance (ANOVA) a mnohonásobných porovnání (HSD-Tukey test) jednotlivých znaků mezi jednotlivými taxony komplexu *A. trichomanes* agg.

Přehled Pearsonových korelačních koeficientů u všech hodnocených znaků. Šedým polem jsou vyznačeny nejvyšší korelace  $|r| = 0,6$ .

| Základní charakteristiky souboru dat pro znaky (skut. hodn.) |              |               |             |             |             | Analýza variance – Anova (log)    |                        |                        |        |   |  |
|--|--------------|---------------|-------------|-------------|-------------|-----------------------------------|------------------------|------------------------|--------|---|--|
| Znak   | Taxon        | Průměr        | Min.        | Max.        | S.D.        | p = 0,018                         | Tukey HSD – taxon      |                        |        |   |  |
| <b>pet</b><br>(mm)   | 1            | 20,08         | 6           | 51          | 10,9        | F = 3,36                          | 1                      | 2                      | 3      |   |  |
|  | 2            | 19,55         | 4           | 76          | 10,837      |                                   | 0,957                  | –                      | –      | 2 |  |
|  | 3            | 14            | 4           | 35          | 7,464       |                                   | 0,0477                 | <b>0,0348</b>          | –      | 3 |  |
|  | 4            | 16,47         | 4           | 46          | 8,838       |                                   | 0,404                  | 0,355                  | 0,449  | 4 |  |
| <b>Znak</b>  | <b>Taxon</b> | <b>Průměr</b> | <b>Min.</b> | <b>Max.</b> | <b>S.D.</b> | <b>p = 0,000002</b>               | Tukey HSD – taxon      |                        |        |   |  |
| <b>lam</b><br>(mm)   | 1            | 119,5         | 43          | 234         | 51,42       | F = 10,13                         | 1                      | 2                      | 3      |   |  |
|  | 2            | 118,56        | 32          | 248         | 37,89       |                                   | 0,8470                 | –                      | –      | 2 |  |
|  | 3            | 84,07         | 39          | 132         | 28,34       |                                   | <b>0,0083</b>          | <b>0,00009</b>         | –      | 3 |  |
|  | 4            | 96,42         | 44          | 192         | 29,34       |                                   | 0,1953                 | <b>0,001</b>           | 0,2954 | 4 |  |
| <b>Znak</b>  | <b>Taxon</b> | <b>Průměr</b> | <b>Min.</b> | <b>Max.</b> | <b>S.D.</b> | <b>p = 0,005784</b>               | Tukey HSD – taxon      |                        |        |   |  |
| <b>int1/4</b><br>(mm)  | 1            | 6,18          | 3           | 9           | 1,65        | F = 4,24                          | 1                      | 2                      | 3      |   |  |
|  | 2            | 5,69          | 2,5         | 12          | 1,703       |                                   | 0,3535                 | –                      | –      | 2 |  |
|  | 3            | 5,6           | 2,5         | 9           | 1,882       |                                   | 0,4712                 | 0,9464                 | –      | 3 |  |
|  | 4            | 6,61          | 3,5         | 12,5        | 2,089       |                                   | 0,7836                 | <b>0,0074</b>          | 0,1129 | 4 |  |
| <b>Znak</b>  | <b>Taxon</b> | <b>Průměr</b> | <b>Min.</b> | <b>Max.</b> | <b>S.D.</b> | <b>p = 0,000006</b>               | Tukey HSD – taxon      |                        |        |   |  |
| <b>int3/4</b><br>(mm)  | 1            | 4,14          | 2           | 6           | 0,996       | F = 9,28                          | 1                      | 2                      | 3      |   |  |
|  | 2            | 3,7           | 1,5         | 8           | 0,953       |                                   | <b>0,0340</b>          | –                      | –      | 2 |  |
|  | 3            | 2,91          | 2           | 4           | 0,67        |                                   | <b>0,00001</b>         | <b>0,0005</b>          | –      | 3 |  |
|  | 4            | 3,44          | 1,5         | 5,5         | 0,725       |                                   | <b>0,0030</b>          | 0,2485                 | 0,0699 | 4 |  |
| <b>Znak</b>  | <b>Taxon</b> | <b>Průměr</b> | <b>Min.</b> | <b>Max.</b> | <b>S.D.</b> | <b>p = p &lt; 10<sup>-5</sup></b> | Tukey HSD – taxon      |                        |        |   |  |
| <b>int7/8</b><br>(mm)  | 1            | 4,44          | 1           | 8           | 1,648       | F = 21,97                         | 1                      | 2                      | 3      |   |  |
|  | 2            | 3,16          | 0,5         | 7           | 0,93        |                                   | <b>10<sup>-5</sup></b> | –                      | –      | 2 |  |
|  | 3            | 2,27          | 1,5         | 3           | 0,53        |                                   | <b>10<sup>-5</sup></b> | <b>0,0004</b>          | –      | 3 |  |
|  | 4            | 2,7           | 1,5         | 4,5         | 0,674       |                                   | <b>10<sup>-5</sup></b> | <b>0,01926</b>         | 0,2198 | 4 |  |
| <b>Znak</b>  | <b>Taxon</b> | <b>Průměr</b> | <b>Min.</b> | <b>Max.</b> | <b>S.D.</b> | <b>p = p &lt; 10<sup>-5</sup></b> | Tukey HSD – taxon      |                        |        |   |  |
| <b>enpilen</b><br>(mm)                                       | 1            | 6,01          | 2           | 12,5        | 2,081       | F = 18,19                         | 1                      | 2                      | 3      |   |  |
|  | 2            | 6,28          | 2           | 13          | 1,797       |                                   | 0,9417                 | –                      | –      | 2 |  |
|  | 3            | 5,5           | 4           | 7,5         | 1,061       |                                   | <b>0,0275</b>          | <b>0,0012</b>          | –      | 3 |  |
|  | 4            | 4,45          | 1,5         | 9           | 1,788       |                                   | <b>0,0001</b>          | <b>10<sup>-5</sup></b> | 0,9787 | 4 |  |
| <b>Znak</b>  | <b>Taxon</b> | <b>Průměr</b> | <b>Min.</b> | <b>Max.</b> | <b>S.D.</b> | <b>p = 0,000589</b>               | Tukey HSD – taxon      |                        |        |   |  |
| <b>enpiwid</b><br>(mm)                                       | 1            | 2,67          | 1,5         | 5           | 0,831       | F = 5,91                          | 1                      | 2                      | 3      |   |  |
|  | 2            | 3,78          | 1           | 10          | 1,473       |                                   | <b>0,0013</b>          | –                      | –      | 2 |  |
|  | 3            | 4,69          | 2,5         | 7           | 1,507       |                                   | 0,2255                 | 0,9863                 | –      | 3 |  |
|  | 4            | 3,34          | 1           | 7           | 1,416       |                                   | 0,6195                 | 0,0690                 | 0,7263 | 4 |  |
| <b>Znak</b>  | <b>Taxon</b> | <b>Průměr</b> | <b>Min.</b> | <b>Max.</b> | <b>S.D.</b> | <b>p = 0,00024</b>                | Tukey HSD – taxon      |                        |        |   |  |
| <b>pi7/8len</b><br>(mm)                                      | 1            | 3,11          | 1           | 4,5         | 0,884       | F = 6,57                          | 1                      | 2                      | 3      |   |  |
|  | 2            | 3,83          | 1           | 8           | 1,04        |                                   | <b>0,0001</b>          | –                      | –      | 2 |  |
|  | 3            | 3,8           | 2,5         | 5           | 0,727       |                                   | 0,0645                 | 0,9998                 | –      | 3 |  |
|  | 4            | 3,92          | 1,5         | 6           | 0,906       |                                   | <b>0,0004</b>          | 0,8450                 | 0,9569 | 4 |  |
| <b>Znak</b>  | <b>Taxon</b> | <b>Průměr</b> | <b>Min.</b> | <b>Max.</b> | <b>S.D.</b> | <b>p = p &lt; 10<sup>-5</sup></b> | Tukey HSD – taxon      |                        |        |   |  |
| <b>pi3/4len</b><br>(mm)                                      | 1            | 4,11          | 2,5         | 7           | 1,057       | F = 12,06                         | 1                      | 2                      | 3      |   |  |
|  | 2            | 4,75          | 1,5         | 9           | 1,156       |                                   | <b>0,0047</b>          | –                      | –      | 2 |  |
|  | 3            | 5,07          | 4           | 7           | 1,083       |                                   | <b>0,0258</b>          | 0,7671                 | –      | 3 |  |
|  | 4            | 5,59          | 3           | 7           | 1,092       |                                   | <b>10<sup>-5</sup></b> | <b>0,00004</b>         | 0,3626 | 4 |  |
| <b>Znak</b>  | <b>Taxon</b> | <b>Průměr</b> | <b>Min.</b> | <b>Max.</b> | <b>S.D.</b> | <b>p = 0,01728</b>                | Tukey HSD – taxon      |                        |        |   |  |
| <b>pi3/4wce</b><br>(mm)                                      | 1            | 2,46          | 1           | 5           | 0,808       | F = 3,42                          | 1                      | 2                      | 3      |   |  |
|  | 2            | 2,79          | 1           | 7           | 0,792       |                                   | <b>0,0432</b>          | –                      | –      | 2 |  |
|  | 3            | 2,67          | 2           | 3,5         | 0,588       |                                   | 0,7825                 | 0,8828                 | –      | 3 |  |
|  | 4            | 2,91          | 1,5         | 4,5         | 0,639       |                                   | <b>0,01136</b>         | 0,4941                 | 0,4872 | 4 |  |
| <b>Znak</b>  | <b>Taxon</b> | <b>Průměr</b> | <b>Min.</b> | <b>Max.</b> | <b>S.D.</b> | <b>p = p &lt; 10<sup>-5</sup></b> | Tukey HSD – taxon      |                        |        |   |  |
| <b>pi1/2len</b><br>(mm)                                      | 1            | 4,5           | 2,5         | 7           | 1,098       | F = 24,1                          | 1                      | 2                      | 3      |   |  |
|  | 2            | 5,18          | 2,5         | 11          | 1,235       |                                   | <b>0,0028</b>          | –                      | –      | 2 |  |
|  | 3            | 6,23          | 5           | 8,5         | 0,961       |                                   | <b>0,00003</b>         | <b>,016503</b>         | –      | 3 |  |
|  | 4            | 6,63          | 4           | 9           | 1,211       |                                   | <b>10<sup>-5</sup></b> | <b>10<sup>-5</sup></b> | 0,6611 | 4 |  |

| Základní charakteristiky souboru dat pro znaky (skut. hodn.) |       |        |       |       |        | Analýza variance – Anova (log) |                |                   |                |   |  |
|--|-------|--------|-------|-------|--------|--------------------------------|----------------|-------------------|----------------|---|--|
| Znak   | Taxon | Průměr | Min.  | Max.  | S.D.   | $p = 0,000554$                 |                | Tukey HSD – taxon |                |   |  |
| pi1/2wce<br>(mm)   | 1     | 2,66   | 2     | 4,5   | 0,735  | F = 5,96                       | 1              | 2                 | 3              |   |  |
|  | 2     | 3,11   | 1     | 7     | 0,879  |                                | <b>0,0157</b>  | 7–                | –              | 2 |  |
|  | 3     | 3,4    | 2,5   | 5     | 0,632  |                                | <b>0,0205</b>  | 0,5511            | –              | 3 |  |
|  | 4     | 3,37   | 2     | 5     | 0,646  |                                | <b>0,0003</b>  | 0,0875            | 0,9993         | 4 |  |
| Znak   | Taxon | Průměr | Min.  | Max.  | S.D.   | $p = p < 10^{-5}$              |                | Tukey HSD – taxon |                |   |  |
| pi1/2wba<br>(mm)   | 1     | 2,09   | 1     | 4     | 0,827  | F = 26,59                      | 1              | 2                 | 3              |   |  |
|  | 2     | 2,82   | 1     | 6     | 0,874  |                                | <b>10^{-5}</b> | –                 | –              | 2 |  |
|  | 3     | 3,5    | 3     | 4,5   | 0,535  |                                | <b>10^{-5}</b> | <b>0,0146</b>     | –              | 3 |  |
|  | 4     | 3,62   | 2     | 5     | 0,83   |                                | <b>10^{-5}</b> | <b>10^{-5}</b>    | 0,9704         | 4 |  |
| Znak   | Taxon | Průměr | Min.  | Max.  | S.D.   | $p = p < 10^{-5}$              |                | Tukey HSD – taxon |                |   |  |
| pi1/4len<br>(mm)   | 1     | 3,6    | 2     | 6     | 0,999  | F = 37,54                      | 1              | 2                 | 3              |   |  |
|  | 2     | 2,99   | 1,5   | 7     | 0,901  |                                | <b>0,0173</b>  | –                 | –              | 2 |  |
|  | 3     | 4,8    | 3     | 6,5   | 0,902  |                                | <b>0,0012</b>  | ,095205           | –              | 3 |  |
|  | 4     | 6,19   | 3,5   | 9     | 1,389  |                                | <b>10^{-5}</b> | <b>10^{-5}</b>    | <b>0,0063</b>  | 4 |  |
| Znak   | Taxon | Průměr | Min.  | Max.  | S.D.   | $p = p < 10^{-5}$              |                | Tukey HSD – taxon |                |   |  |
| pi1/4wce<br>(mm)   | 1     | 2,59   | 1,5   | 4     | 0,712  | F = 10,34                      | 1              | 2                 | 3              |   |  |
|  | 2     | 2,99   | 1,5   | 7     | 0,9007 |                                | <b>0,0512</b>  | –                 | –              | 2 |  |
|  | 3     | 3,1    | 2,5   | 4     | 0,471  |                                | <b>0,2136</b>  | 0,9627            | –              | 3 |  |
|  | 4     | 3,65   | 2     | 6     | 0,87   |                                | <b>10^{-5}</b> | <b>0,00002</b>    | 0,151          | 4 |  |
| Znak   | Taxon | Průměr | Min.  | Max.  | S.D.   | $p = p < 10^{-5}$              |                | Tukey HSD – taxon |                |   |  |
| pi1/4wba<br>(mm)   | 1     | 2,44   | 1     | 5     | 0,889  | F = 34,22                      | 1              | 2                 | 3              |   |  |
|  | 2     | 3,18   | 1     | 9     | 1,119  |                                | <b>0,00014</b> | –                 | –              | 2 |  |
|  | 3     | 4,03   | 2     | 5     | 0,855  |                                | <b>0,00001</b> | <b>0,0371</b>     | –              | 3 |  |
|  | 4     | 4,85   | 2,5   | 8     | 1,421  |                                | <b>10^{-5}</b> | <b>10^{-5}</b>    | 0,1143         | 4 |  |
| Znak   | Taxon | Průměr | Min.  | Max.  | S.D.   | $p = p < 10^{-5}$              |                | Tukey HSD – taxon |                |   |  |
| annulen<br>( $\mu$ m)  | 1     | 244,46 | 206   | 282   | 17,102 | F = 126,11                     | 1              | 2                 | 3              |   |  |
|  | 2     | 295,57 | 240   | 358   | 20,07  |                                | <b>10^{-5}</b> | –                 | –              | 2 |  |
|  | 3     | 318    | 284   | 352   | 20,11  |                                | <b>10^{-5}</b> | <b>0,0003</b>     | –              | 3 |  |
|  | 4     | 327,98 | 270   | 410   | 28,33  |                                | <b>10^{-5}</b> | <b>10^{-5}</b>    | 0,4643         | 4 |  |
| Znak   | Taxon | Průměr | Min.  | Max.  | S.D.   | $p = p < 10^{-5}$              |                | Tukey HSD – taxon |                |   |  |
| scalen<br>(mm)   | 1     | 2,12   | 1,35  | 2,85  | 0,434  | F = 19,43                      | 1              | 2                 | 3              |   |  |
|  | 2     | 2,77   | 1,68  | 4,85  | 0,454  |                                | <b>0,00002</b> | –                 | –              | 2 |  |
|  | 3     | 2,22   | 1,6   | 2,93  | 0,391  |                                | 0,9999         | <b>0,0034</b>     | –              | 3 |  |
|  | 4     | 2,51   | 1,6   | 4,58  | 0,579  |                                | 0,9960         | <b>10^{-5}</b>    | 0,999          | 4 |  |
| Znak   | Taxon | Průměr | Min.  | Max.  | S.D.   | $p = p < 10^{-5}$              |                | Tukey HSD – taxon |                |   |  |
| rhawid<br>(mm)   | 1     | 0,38   | 0,22  | 0,61  | 0,092  | F = 19,43                      | 1              | 2                 | 3              |   |  |
|  | 2     | 0,4    | 0,15  | 0,6   | 0,071  |                                | <b>0,5232</b>  | –                 | –              | 2 |  |
|  | 3     | 0,44   | 0,34  | 0,55  | 0,069  |                                | <b>0,1048</b>  | 0,3102            | –              | 3 |  |
|  | 4     | 0,43   | 0,28  | 0,57  | 0,083  |                                | <b>0,0106</b>  | <b>0,0216</b>     | 0,9999         | 4 |  |
| Znak   | Taxon | Průměr | Min.  | Max.  | S.D.   | $p = p < 10^{-5}$              |                | Tukey HSD – taxon |                |   |  |
| sporlen<br>( $\mu$ m)  | 1     | 26,91  | 25,03 | 28,6  | 0,923  | F = 317,3                      | 1              | 2                 | 3              |   |  |
|  | 2     | 33,7   | 29,23 | 38,2  | 1,434  |                                | <b>10^{-5}</b> | –                 | –              | 2 |  |
|  | 3     | 32,68  | 29,8  | 38,5  | 2,347  |                                | <b>10^{-5}</b> | <b>0,0198</b>     | –              | 3 |  |
|  | 4     | 35,29  | 32,47 | 38,73 | 1,065  |                                | <b>10^{-5}</b> | <b>10^{-5}</b>    | <b>10^{-5}</b> | 4 |  |
| Znak   | Taxon | Průměr | Min.  | Max.  | S.D.   | $p = p < 10^{-5}$              |                | Tukey HSD – taxon |                |   |  |
| sporwid<br>( $\mu$ m)  | 1     | 20,69  | 19,4  | 22,17 | 0,592  | F = 361,9                      | 1              | 2                 | 3              |   |  |
|  | 2     | 26,06  | 20,8  | 29    | 1,074  |                                | <b>10^{-5}</b> | –                 | –              | 2 |  |
|  | 3     | 26,29  | 23,9  | 28,87 | 1,663  |                                | <b>10^{-5}</b> | 0,7409            | –              | 3 |  |
|  | 4     | 27,67  | 25,73 | 29,4  | 0,986  |                                | <b>10^{-5}</b> | <b>10^{-5}</b>    | <b>0,0008</b>  | 4 |  |
| Znak   | Taxon | Průměr | Min.  | Max.  | S.D.   | $p = p < 10^{-5}$              |                | Tukey HSD – taxon |                |   |  |
| ind1pi   | 1     | 0,06   | 0     | 2     | 0,359  | F = 15,15                      | 1              | 2                 | 3              |   |  |
|  | 2     | 0,075  | 0     | 3     | 0,371  |                                | 0,9998         | –                 | –              | 2 |  |
|  | 3     | 0,7    | 0     | 3     | 1,059  |                                | <b>0,0393</b>  | <b>0,0107</b>     | –              | 3 |  |
|  | 4     | 0,649  | 0     | 6     | 1,317  |                                | <b>0,00007</b> | <b>10^{-5}</b>    | 0,9169         | 4 |  |

| Základní charakteristiky souboru dat pro znaky (skut. hodn.) |       |        |      |      |       | Analýza variance – Anova (log) |                   |                  |        |   |  |
|--|-------|--------|------|------|-------|--------------------------------|-------------------|------------------|--------|---|--|
| Znak   | Taxon | Průměr | Min. | Max. | S.D.  | p = p < 10 <sup>-5</sup>       |                   |                  |        |   |  |
| <b>ind1/4pi</b>  | 1     | 2      | 0    | 5    | 1,455 | F = 11,56                      | 1                 | 2                | 3      |   |  |
|  | 2     | 2,15   | 0    | 9    | 1,899 |                                | 0,9991            | –                | –      | 2 |  |
|  | 3     | 3,53   | 0    | 6    | 1,598 |                                | 0,1063            | <b>0,0284</b>    | –      | 3 |  |
|  | 4     | 4,29   | 0    | 9    | 2,277 |                                | <b>0,0014</b>     | 10 <sup>-5</sup> | 0,9598 | 4 |  |
| Znak   | Taxon | Průměr | Min. | Max. | S.D.  | p = 0,000017                   | Tukey HSD – taxon |                  |        |   |  |
| <b>ind1/2pi</b>  | 1     | 4,03   | 0    | 7    | 1,636 | F = 8,5                        | 1                 | 2                | 3      |   |  |
|  | 2     | 4,4    | 0    | 8    | 1,391 |                                | 0,2881            | –                | –      | 2 |  |
|  | 3     | 5,33   | 2    | 8    | 1,447 |                                | 0,0567            | 0,3058           | –      | 3 |  |
|  | 4     | 5,79   | 1    | 9    | 1,859 |                                | <b>0,00007</b>    | <b>0,0001</b>    | 0,8551 | 4 |  |
| Znak   | Taxon | Průměr | Min. | Max. | S.D.  | p = 0,003369                   | Tukey HSD – taxon |                  |        |   |  |
| <b>ind3/4pi</b>  | 1     | 3,43   | 0    | 6    | 1,335 | F = 4,63                       | 1                 | 2                | 3      |   |  |
|  | 2     | 3,83   | 0    | 8    | 1,303 |                                | 0,1997            | –                | –      | 2 |  |
|  | 3     | 4,27   | 2    | 7    | 1,486 |                                | 0,2122            | 0,8025           | –      | 3 |  |
|  | 4     | 4,74   | 2    | 8    | 1,499 |                                | <b>0,0022</b>     | <b>0,0250</b>    | 0,8778 | 4 |  |
| Znak   | Taxon | Průměr | Min. | Max. | S.D.  | p = p < 10 <sup>-5</sup>       | Tukey HSD – taxon |                  |        |   |  |
| <b>piparsum</b>  | 1     | 22,03  | 9    | 40   | 7,648 | F = 10,94                      | 1                 | 2                | 3      |   |  |
|  | 2     | 24,3   | 9    | 38   | 5,444 |                                | <b>0,0092</b>     | –                | –      | 2 |  |
|  | 3     | 19,67  | 11   | 26   | 5,052 |                                | 0,6824            | <b>0,0023</b>    | –      | 3 |  |
|  | 4     | 20,53  | 10   | 30   | 4,511 |                                | 0,9881            | <b>0,0003</b>    | 0,8027 | 4 |  |
| Znak   | Taxon | Průměr | Min. | Max. | S.D.  | p = p < 10 <sup>-5</sup>       | Tukey HSD – taxon |                  |        |   |  |
| <b>enpil/w</b>   | 1     | 2,31   | 1,25 | 4    | ,0684 | F = 32,42                      | 1                 | 2                | 3      |   |  |
|  | 2     | 1,78   | 0,6  | 3,75 | 0,49  |                                | <b>0,00001</b>    | –                | –      | 2 |  |
|  | 3     | 1,26   | 0,79 | 2    | 0,37  |                                | 10 <sup>-5</sup>  | 10 <sup>-5</sup> | –      | 3 |  |
|  | 4     | 1,39   | 0,67 | 2    | 0,344 |                                | 10 <sup>-5</sup>  | 10 <sup>-5</sup> | 0,2436 | 4 |  |
| Znak   | Taxon | Průměr | Min. | Max. | S.D.  | p = 0,000113                   | Tukey HSD – taxon |                  |        |   |  |
| <b>pi7/8l/w</b>  | 1     | 1,59   | 1    | 2,33 | 0,367 | F = 7,13                       | 1                 | 2                | 3      |   |  |
|  | 2     | 1,75   | 1    | 3,5  | 0,373 |                                | <b>0,0394</b>     | –                | –      | 2 |  |
|  | 3     | 1,72   | 1,25 | 2,25 | 0,306 |                                | 0,4162            | 0,9999           | –      | 3 |  |
|  | 4     | 1,99   | 1    | 3    | 0,47  |                                | 10 <sup>-5</sup>  | <b>0,0030</b>    | 0,2088 | 4 |  |
| Znak   | Taxon | Průměr | Min. | Max. | S.D.  | p = 0,00006                    | Tukey HSD – taxon |                  |        |   |  |
| <b>pi3/4l/w</b>  | 1     | 1,74   | 0,8  | 2,75 | 0,372 | F = 7,59                       | 1                 | 2                | 3      |   |  |
|  | 2     | 1,74   | 0,71 | 3    | 0,3   |                                | 0,9726            | –                | –      | 2 |  |
|  | 3     | 1,91   | 1,67 | 2    | 0,137 |                                | 0,1062            | 0,0823           | –      | 3 |  |
|  | 4     | 1,97   | 1    | 2,8  | 0,385 |                                | <b>0,0057</b>     | <b>0,0001</b>    | 0,9971 | 4 |  |
| Znak   | Taxon | Průměr | Min. | Max. | S.D.  | p = p < 10 <sup>-5</sup>       | Tukey HSD – taxon |                  |        |   |  |
| <b>pi1/2l/w</b>  | 1     | 2,36   | 1,17 | 4    | 0,685 | F = 9,38                       | 1                 | 2                | 3      |   |  |
|  | 2     | 1,92   | 0,75 | 3,33 | 0,415 |                                | 10 <sup>-5</sup>  | –                | –      | 2 |  |
|  | 3     | 1,79   | 1,38 | 2,17 | 0,193 |                                | <b>0,0005</b>     | 0,6583           | –      | 3 |  |
|  | 4     | 1,88   | 1,3  | 2,8  | 0,351 |                                | <b>0,00007</b>    | 0,9259           | 0,907  | 4 |  |
| Znak   | Taxon | Průměr | Min. | Max. | S.D.  | p = ,01985                     | Tukey HSD – taxon |                  |        |   |  |
| <b>pi1/4l/w</b>  | 1     | 1,61   | 0,83 | 3,5  | 0,603 | F = 3,32                       | 1                 | 2                | 3      |   |  |
|  | 2     | 1,38   | 0,67 | 2,67 | 0,383 |                                | <b>0,0340</b>     | –                | –      | 2 |  |
|  | 3     | 1,23   | 0,75 | 2    | 0,293 |                                | 0,0688            | 0,7595           | –      | 3 |  |
|  | 4     | 1,33   | 0,9  | 2,33 | 0,294 |                                | <b>0,0281</b>     | 0,8117           | 0,9814 | 4 |  |

# Příloha 2

## Fytocenologické snímky

Lokalizace a další charakteristiky jednotlivých snímků

Tabulka fytocenologických snímků

Legenda ke zkratkám taxonů komplexu *Asplenium trichomanes* agg. ve fytocenologické tabulce snímků:

**ATsubsp. hastatum** = *Asplenium trichomanes* subsp *hastatum*

**ATsubsp. pachyrachis** = *Asplenium trichomanes* subsp. *pachyrachis*

**ATsubsp. quadrivalens** = *Asplenium trichomanes* subsp *quadrivalens*

**ATsubsp. trichomanes** = *Asplenium trichomanes* subsp *trichomanes*

**ATHxQ** = *Asplenium trichomanes* nothosubsp. *lovisianum* (subsp. *hastatum* x subsp. *quadrivalens*)

**ATHxP** = *Asplenium trichomanes* nothosubsp. *moravicum* (subsp. *hastatum* x subsp. *pachyrachis*)

**ATPxQ** = *Asplenium trichomanes* nothosubsp. *staufferi* (subsp. *pachyrachis* x subsp. *quadrivalens*)

**ATTxQ** = *Asplenium trichomanes* nothosubsp. *lusaticum*, (subsp. *trichomanes* x subsp. *quadrivalens*)

*zde nejsou všechny*

## Lokalizace a další údaje k jednotlivým fytocenologickým snímkům

| <b>Č. snímků<br/>(č. lokality)</b> | <b>Fytochorion (čtverec): lokalizace, nadm. výška, zeměpisné souřadnice, substrát, velikost snímků, expozice, sklon., datum, zapsal</b>  |
|------------------------------------|--|
| 1<br>(2)                           | 37b. Sušicko-horažďovické vápence (6648c): Horažďovice, asi 50 m V od zříceniny hradu Prácheň (NPR Prácheň), asi 1,5 km VJV od centra obce Horažďovice, asi 500 m n. m., žulové výchozy lokálně obohacené bázemi, 2 x 2 m, exp. Z, sklon 45°, 9.3. 2002, L. Ekrt |
| 2<br>(3)                           | 37b. Sušicko-horažďovické vápence (6748a): Hejná, rez. Pučanka, v severní části PR Pučanka asi 300 m JZ od centra obce, asi 530 m n. m., vápencové výchozy, 2 x 2 m, exp. S, sklon 80°, 9. 3. 2002, L. Ekrt  |
| 3<br>(4)                           | 37b. Sušicko-horažďovické vápence (6747b): Rábí, na JV úpatí vrchu Chanovec asi 1,5 km JZ od centra obce, vápencový výchoz, 3 x 2 m, exp. V, sklon 85°, 10. 3. 2002, L. Ekrt   |
| 4<br>(5)                           | 17b Pavlovské kopce (7165d): Bavory, v rez. Kočičí skála asi 1,2 km JV od kostela v obci, asi 345 m n. m., 48°49'579"N, 16°38'506"E, vápencové výchozy, 2 x 2 m, exp. S, sklon 85°, 5. 4. 2002, L. Ekrt.   |
| 5<br>(6)                           | 17b Pavlovské kopce (7165b): Klentnice, pod zříceninou Sirotčího hrádku asi 0,4 km SZ od kostela v obci, asi 430 m n. m., 48°50'714"N, 16°38'415"E, vápencové skály, 3 x 2 m, exp. Z, sklon 100°, 5. 4. 2002, L. Ekrt  |
| 6<br>(7)                           | 17b Pavlovské kopce (7165b): Horní Věstonice, Martinské stěny asi 1,2 km JV od kostela v obci, asi 370 m n. m., vápencové skály, 3 x 2 m, exp. JV, sklon 90°, 5. 4. 2002, L. Ekrt  |
| 7<br>(8)                           | 17b Pavlovské kopce (7165b): Děvín, v údolí Soutěska asi 0,75 km JZ od vrcholu kopce Děvín, asi 370 m n. m., 48°51'821"N, 16°38'602"E, vápencové výchozy, 3 x 2 m, exp. Z, sklon 115°, 5. 4. 2002, L. Ekrt   |
| 8<br>(9)                           | 58b. Polická kotlina (5463c): Maršov, Maršovské údolí, u Poradní skály asi 1,5 km JV od centra obce, asi 430 m n. m., slínovcové (opukové) výchozy, 3 x 3 m, exp. Z, sklon 75°, 27. 4. 2002, L. Ekrt   |
| 9                                  | 58b. Polická kotlina (5463c): Bezděkov, U Kozínsku, nad pohostinstvím Na Mýtě, asi 1,2 km ZJZ od kostela v obci Bezděkov nad Metují, asi 430 m n. m., slínovcové (opukové) výchozy, 3 x 2 m, exp. JV, sklon 85°, 27. 4. 2002, L. Ekrt                            |
| 10<br>(11)                         | 58b. Polická kotlina (5563b): Machov, pod Borem, v květnaté bučině asi 1,5 km J od kostela v obci, asi 580 m n. m., slínovcové (opukové) výchozy, 3 x 2 m, exp. SV, sklon 65°, 25. 4. 2002, L. Ekrt  |
| 11<br>(12)                         | 37k. Křemžské hadce (7151b): Holubov, rezervace Bořinka, asi 1 km ZSZ od železn. stanice Holubov, asi 490 m n. m., hadcové výchozy, 3 x 2 m, exp. S, sklon 80°, 13. 5. 2002, L. Ekrt   |
| 12<br>(13)                         | 37k. Křemžské hadce (7152a): u Křemžského potoka v rez. Holubovské hadce asi 1 km ZSZ od zříc. hradu Dívčí kámen, asi 470 m n. m., hadcové výchozy, 3 x 3 m, exp. SV, sklon 75°, 13. 5. 2002, L. Ekrt  |

| <b>Č. snímku<br/>(č. lokality)</b> | <b>Fytochorion (čtverec): lokalizace, nadm. výška, zeměpisné souřadnice, substrát, velikost snímku, expozice, sklon., datum, zapsal</b>  |
|------------------------------------|--|
| 13<br>(15)                         | 70. Moravský kras (6666a): Pustý žleb, nad cestou asi 250 m SSV od rozcestí turistických cest Pod Salmovkou, asi 420 m n. m., $49^{\circ}22'33.34''N$ , $16^{\circ}43'23.66''E$ , vápencové skály, 3 x 3 m, exp. SZ, sklon $70^{\circ}$ , 22. 7. 2002, L. Ekrt |
| 14<br>(16)                         | 70. Moravský kras (6666a): Pustý žleb, nad cestou asi 500 m SSV od rozcestí turistických cest Pod Salmovkou, asi 440 m n. m., vápencové skály, 3 x 3 m, exp. S, sklon $80^{\circ}$ , 22. 7. 2002, L. Ekrt  |
| 15<br>(17)                         | 70. Moravský kras (6666c): Býčí skála, nad vstupem do jeskyně Býčí skála, asi 350 m n. m., vápencové skály, 5 x 5 m, exp. J, sklon $100^{\circ}$ , 22. 7. 2002, L. Ekrt  |
| 16<br>(18)                         | 77c. Chřiby (6869d): Buchlovice, zámek Buchlov asi 6,5 km SSZ od kostela v obci, asi 500 m n. m., $49^{\circ}6'27.74''N$ , $17^{\circ}18'40.33''E$ , obvodová zed', 4 x 2 m, exp. SV, sklon $85^{\circ}$ , 23. 7. 2002, L. Ekrt                                |
| 17<br>(19)                         | 68. Moravské podhůří Vysočiny (7161a): Hardegg, asi 200 m JZ od Hardeggské vyhlídky, asi 320 m n. m., $48^{\circ}51'23.11''N$ , $15^{\circ}51'35.43''E$ , rulové výchozy, 3 x 2 m, exp. JV, sklon $80^{\circ}$ , 24.7. 2002, L. Ekrt                           |
| 18<br>(20)                         | 68. Moravské podhůří Vysočiny (7161a): Čížov, asi 1,5 km Z od centra obce, asi 415 m n. m., $48^{\circ}52'55.50''N$ , $15^{\circ}51'6.21''E$ , suťový rulový svah, 5 x 5 m, exp. J, sklon $30^{\circ}$ , 24. 10. 2002, L. Ekrt                                 |
| 19<br>(21)                         | 70. Moravský kras (6566c): Sloup, u vstupu do Sloupsko-Šošůvské jeskyně, asi 465 m n. m., $49^{\circ}24'37.91''N$ , $16^{\circ}44'18.93''E$ , vápencové skály, 4 x 4 m, exp. SZ, sklon $95S$ , 22. 7. 2002, L. Ekrt  |
| 20<br>(22)                         | 70. Moravský kras (6666c): Adamov, jeskyně Jáchymka v Josefovském údolí asi 2 km JZ od železn. stanice Adamov, asi 300 m n. m., vápencové skály, 3 x 3 m, exp. S, sklon $90^{\circ}$ , 5. 5. 2001, L. Ekrt   |
| 21<br>(25)                         | 28e. Žlutická pahorkatina (6045b): Manětín, nad Manětínským potokem asi 1,1 km J od centra obce Brdo, asi 375 m n. m., $49^{\circ}59'28.12''N$ , $13^{\circ}15'37.18''E$ , výchozy kyselé břidlice, 3 x 2 m, exp. JZ, sklon $70^{\circ}$ , 4. 9. 2002, L. Ekrt |
| 22<br>(27)                         | 28e. Žlutická pahorkatina (5945b): Rabštejn, asi 0,7 km JV od zříceniny hradu Rabštejn, 375 m n. m., $50^{\circ}1'45.21''N$ , $13^{\circ}17'54.81''E$ , kyselé výchozy břidlice, 3 x 2 m, exp. Z, sklon $100^{\circ}$ , 4. 9. 2002, L. Ekrt                    |
| 23<br>(28)                         | 63a. Žambersko (5964a): Litice n. Orlicí, zřícenina hradu Litice u obce, asi 445 m n. m., $50^{\circ}5'7.42''N$ , $16^{\circ}21'5.84''E$ , obvodová zed', 5 x 3 m, exp. SV, sklon $90^{\circ}$ , 22. 9. 2002, L. Ekrt  |
| 24<br>(30)                         | 55d. Trosecká pahorkatina (5457c): Tachov, asi 1 km Z od zříceniny hradu Trosky, asi 280 m n. m., bazický pískovec, 3 x 3 m, exp. SV, sklon $70^{\circ}$ , 9. 8. 2002, L. Ekrt   |
| 25<br>(31A)                        | 59. Orlické podhůří (5663d): Šediviny, skalní sruby asi 1,2 km JZ od osady, $50^{\circ}17'57.76''N$ , $16^{\circ}17'28.88''E$ , 570 m n. m., svorové výchozy, 3 x 2 m, exp. JV, sklon $60^{\circ}$ , 29. 9. 2002, L. Ekrt                                      |

| <b>Č. snímku<br/>(č. lokality)</b> | <b>Fytochorion (čtverec): lokalizace, nadm. výška, zeměpisné souřadnice, substrát, velikost snímku, expozice, sklon., datum, zapsal</b>   |
|------------------------------------|---|
| <b>26<br/>(31B)</b>                | 59. Orlické podhůří (5663d): Šediviny, skalní sruby asi 1,2 km JZ od osady, 50°17'56.72"N, 16°17'32.21"E, 550 m n. m., svorové výchozy, 3 x 2 m, exp. JV, sklon 60°, 29. 9. 2002, L. Ekrt   |
| <b>27<br/>(31C)</b>                | 59. Orlické podhůří (5663d): Šediviny, skalní sruby asi 1,2 km JZ od osady, 50°17'56.72"N, 16°17'32.21"E, 550 m n. m., svorové výchozy, 3 x 2 m, exp. JV, sklon 60°, 29. 9. 2002, L. Ekrt   |
| <b>28<br/>(32)</b>                 | 59. Orlické podhůří (5763b): Skuhrov nad Bělou, zřícenina Nového hradu (Klečkov), asi 3,5 km SV od centra obce, asi 480 m n. m., 50°15'10.99"N, 16°19'19.63"E, obvodová hradní zeď, 3 x 3 m, exp. V, sklon 80°, 29.9. 2002, L. Ekrt |
| <b>29<br/>(33)</b>                 | 15b. Hradecké Polabí (5662b): Nové Město nad Metují, v údolí Metuje asi 0,3 km JJV od železniční stanice, asi 280 m n. m., 50°21'1.24"N, 16°08'29.82"E, slínovcové výchozy, 3 x 2 m, exp. V, sklon 80°, 29. 9. 2002, L. Ekrt        |
| <b>30<br/>(34)</b>                 | 8. Český kras (6050d): Srbsko, nad potůčkem v západní části rez. Koda, asi 700 m JZ od železniční zast. Srbsko, asi 320 m n. m., 49°55'57.85"N, 14°07'7.84"E, vápencová sut', 3 x 3 m, exp. JZ, sklon 50°, 6.10. 2002, L. Ekrt      |
| <b>31<br/>(35)</b>                 | 8. Český kras (6050d): Srbsko, u ústí Císařské rokle v rez. Koda, asi 0,5 km JJV od železniční zast. Srbsko, asi 230 m n. m., 49°55'53.35"N, 14°7'59.54"E, báz. výchozy, 3 x 3 m, exp. JV, sklon 70°, 6.10. 2002, L. Ekrt           |
| <b>32<br/>(36)</b>                 | 8. Český kras (6051c): Karlštejn, nad silnicí z Karlštejna do Srbska, asi 1,5 km V od mostu přes Berounsku v obci, asi 210 m n. m., vápencové výchozy, 3 x 3 m, exp. JZ, sklon 65°, 6.10. 2002, L. Ekrt                             |
| <b>33<br/>(37)</b>                 | 8. Český kras (6050b): Hostim, nad silnicí asi 400 m S od centra obce, asi 210 m n. m., 49°57'49.54"N, 14°7'51.48"E, vápencové výchozy, 3 x 3 m, exp. SZ, sklon 80°, 6.10. 2002, L. Ekrt  |
| <b>34<br/>(38)</b>                 | 8. Český kras (6050b): Svatý Jan pod Skalou, asi 250 m JZ od obce, asi 200 m n. m., 49°57'56,2"N, 14°7'47,3"E, vápencové skály, 3 x 3 m, exp. S, sklon 75°, 7. 8. 2002, L. Ekrt   |
| <b>35<br/>(39)</b>                 | 32. Křivoklátsko (5949d): Žloukovice, v rez. Kabečnice asi 200 m SV od železniční zast. Žloukovice, asi 230 m, 50°1'0"N, 13°57'32"E, bazické výchozy, 3 x 2 m, exp. JZ, sklon 60°, 7. 10. 2002, L. Ekrt                             |
| <b>36<br/>(40)</b>                 | 32. Křivoklátsko (5949c): Křivoklát, v západní části rez. Brdatka, asi 2 km SV od zámku Křivoklát, asi 405 m n. m., 50°2'54,1"E, 14°7'47,3", kyselé výchozy, 2 x 2 m, exp. Z, sklon 80°, 7.10. 2002, L. Ekrt                        |
| <b>37<br/>(41)</b>                 | 32. Křivoklátsko (5949c): Křivoklát, v západním okraji rez. Nezabudické skály, asi 2,5 km JZ od obce, asi 250 m n. m., 50°1'20,9"N, 13°50'8,6"E, kyselé skalní výchozy, 3 x 2 m, exp. JZ, sklon 65°, 7.10. 2002, L. Ekrt            |
| <b>38<br/>(42)</b>                 | 32. Křivoklátsko (6048b): Hracholusky, v rez. Čertova skála asi 1,5 km JV od obce, asi 250 m n. m., 49°59'50"N, 13°47'29,9"E, bazické výchozy, 3 x 3 m, exp. JV, sklon 80°, 7.10. 2002, L. Ekrt                                     |

| <b>Č. snímku<br/>(č. lokality)</b> | <b>Fytochorion (čtverec): lokalizace, nadm. výška, zeměpisné souřadnice, substrát, velikost snímku, expozice, sklon., datum, zapsal</b>  |
|------------------------------------|--|
| <b>39<br/>(43)</b>                 | 32. Křivoklátsko (6048c): Skryje, v rez. Jezírka asi 2 km JJZ od obce, asi 280 m n. m., 49°56'51,7"N, 13°45'0,6"E, kyselé výchozy, 5 x 5 m, exp. SV, sklon 80°, 7.10. 2002, L. Ekrt  |
| <b>40<br/>(44)</b>                 | 88a. Královský hvozd (6744d): Hamry, vrchol Ostrý, pod chatou Gr. Osser v rez. Ostrý, asi 3 km VJV od osady Hamry, 1 276 m n. m., 49°12'12,3"N, 13°6'37,7"E, rulové skály s lokálním obohacením bazemi, 5 x 5 m, exp. JV, sklon 75°, 4.10. 2002, L. Ekrt |
| <b>41<br/>(45)</b>                 | 37a. Horní Pootaví (6847c): Rejštejn, nad silnicí mezi Rejštejnem a Annínem asi 1,5 km S od centra obce, asi 560 m n. m., 49°9'21,1"N, 13°30'50,6"E, rulové výchozy, 4 x 2 m, exp. SZ, sklon 90°, 14.10 2002, L. Ekrt                                    |
| <b>42<br/>(46)</b>                 | 37a. Horní Pootaví (6846d): Čeřkova pila, v rez. Paštecké skály nad Pašteckým mostem, asi 2 km S od Čeřkovy pily, asi 600 m n. m., 49°7'32"N, 13°29'35,3"E, rulová suť, 5 x 5 m, exp. JV, sklon 20°, 14. 10. 2002, L. Ekrt                               |
| <b>43<br/>(47)</b>                 | 88b. Šumavské pláně (7148b): Stožecká kaple, v rez. Stožecká skála, asi 100 m JZ od Stožecké kaple, asi 960 m n. m., 48°52'25,8"N, 13°49'17,8"E, rulové místy bázemi obohacené výchozy, 3 x 3 m, exp. J JV, 15. 10. 2002, L. Ekrt                        |
| <b>44</b>                          | 41. Střední Povltaví: Zduchovice, asi 2 km JJZ od obce v rez. Zduchovické skály, kyselé výchozy lokálně obohacené bazemi, 2 x 2 m, exp. JV, sklon 50°, 20. 7. 2002, L. Podlenová   |
| <b>45</b>                          | 8. Český kras (6050d): Srbsko, ve střední části Císařské rokle v rezervaci Koda, 1 km S od železniční zast. Srbsko, 390m n. m., 49°55'44.36"N, 14°7'51.51"E, vápencové skály, 3 x 3 m, exp. SV, sklon 50°, 6.10. 2002, L. Ekrt                           |

### Tabulka fytocenologických snímků







# Příloha 3

**Revize herbářových položek**

## Přehled revidovaných herbářových položek

### *Asplenium trichomanes* subsp. *trichomanes*

#### Termofytikum:

České termofytikum: **3. Podkrušnohorská pánev:** Červený Hrádek u Jirkova, (10/1844, A. Roth, PR). **4a. Lounské středohorí:** Bílina, vrch Bořen, (s. a., Čelakovský, PR). **9. Dolní Povltaví:** Šárky, (s. a., Ruda, PR). – [Praha Sedlec], skály na kopci Podbaba, (1845, I. Tausch, PR). – [Praha Sedlec], skály na kopci Podbaba, (1845, I. Tausch, PRC). **11b. Poděbradské Polabí:** Kolín, (1852, Weselský, PRC). **12. Dolní Pojizeří:** Trenčín, (8/1937, s. coll., PR).

Panonské termofytikum: **18b. Dolnomoravský úval:** Bzenec, remíz nad Hájem, (20. 9. 1881, J. Bubela, PRC).

#### Mezofytikum:

Českomoravské mezofytikum: **28b. Kaňon Teplé:** Bečov nad Teplou, v kaňonu Teplé, (3. 10. 1909, J. Jahn, PRC). **28c. Mnichovské hadce:** Mnichov u Mariánských Lázní, (1883, s. coll, PRC). – Mnichov, serpentinitové skály, (2. 9. 1904, J. Jahn, PRC). – Mnichov u Mariánských lázní, na serpentinitových skalách, (1. 3. 1879, L. Čelakovský, PR). **28d. Toužimská vrchovina:** Teplá u Mariánských Lázní, (1818, s. a., Konrad, PR). **28e. Žlutická pahorkatina:** Manětín, výchozy kyselé břidlice nad Manětínským potokem asi 1,1 km J centra obce Brdo, asi 375 m n. m., 49°59'28.12"N, 13°15'37.18"E, (4. 9. 2002, L. Ekrt, herb. L. Ekrt). – Rabštejn, kyselé výchozy břidlice asi 0,7 km JV obce, 375 m n. m., 50°1'45.21"N, 13°17'54.81"E, (4. 9. 2002, L. Ekrt, herb. L. Ekrt). **33. Branžovský hvozd:** Domažlice, na skalách ve zříceninách Herštýna, (13. 8. 1934, L. Kresl, PRC). **36a. Blatensko:** Blatná, kamenný plot podél Vitanova [rybníka], (9. 6. 1929, J. Mikeš, PRC). **36b. Horažďovicko:** Velešice, na žulovém kopci u obce, 540 m n. m., (20. 5. 1944, J. Švehla, PRC). **37a. Horní Pootaví:** Nové Městečko, rulové skály na levé straně Otavy 1 km S obce, exp. JV, 510 - 550 m n. m., 49°11'10"N, 13°29'30"E, (2002, J. Vondrák, herb. L. Ekrt). – Rejštejn, skály nad silnicí mezi Rejštejnem a Annínem asi 1,5 km S centra obce, asi 560 m n. m., 49°9'21,1"N, 13°30'50,6"E, (14.10.2002, L. Ekrt, herb. L. Ekrt). – Čeňkova pila, skály v rezervaci Paštěcké skály nad Paštěckým mostem, asi 2 km S Čeňkovy pily, asi 600 m n. m., 49°7'32"N, 13°29'35,3"E, (14. 10. 2002, L. Ekrt, herb. L. Ekrt). – Kašperské Hory, Amalino údolí, (1957, J. Oswald, CB). **37b. Sušicko-horažďovické vápence:** Horažďovice, na skalách pod hradem Prácheň, 430 m n. m., (8. 7. 1944, J. Dostál, PR). – Hejná, skály nad železniční tratí JZ obce, (11. 5. 1968, J. Vaněček, CB). – Hejná, Pučanka skály, (1. 9. 1968, J. Vaněček, CB). – Týnec, skály nad levým břehem Otavy, (18. 5. 1967, J. Vaněček, CB). – Horažďovice, na vrchu Prácheň, asi 500 m n. m., (9. 8. 1939, J. Veselý, PRC). **37e. Volynské Předšumaví:** Volyně, Černětice, jižní svah Na drnech u obce, 520 m n. m., (27. 7. 1937, J. Šimák, PR). – Vimperk, skalnaté návrší u obce, (8/1898, K. Domin, PRC). – Vimperk, (13. 11. 1857, C. Claudi, PR). **37h. Prachatické Předšumaví:** Vodňany, na kamenitém svahu nad řekou Blanicí JV obce Žichovec, 470 m n. m., (25. 7. 1959, J. Moravec, PR). **37k. Křemžské hadce:** Holubov, rezervace Bořinka, hadcové výchozy asi 1 km ZSZ od železniční stanice v obci, asi 490 m n. m., (13. 5. 2002, L. Ekrt, herb. L. Ekrt). – Holubov, hadcové výchozy u Křemžského potoka v rez. Holubovské hadce asi 1 km ZSZ od zříceniny hradu Dívčí kámen, 470 m n. m., (13. 5. 2002, L. Ekrt, herb. L. Ekrt). – Křemže, serpentínové skály u obce, (7. 7. 1870, Čelakovský, PR). **37l. Českokrumlovské Předšumaví:** Kamený Újezd, rulové skály pod ruinou Kotek na pravém břehu Vltavy, (23. 6. 1961, I. Klášterský, PR). – Český Krumlov, rulové a svorové skály těsně u silnice v údolí Vltavy, levý břeh u mostu pod Hašlovcemi (k Zálesu), (22. 6. 1961, I. Klášterský, PR). **37n. Kaplické mezihoří:** Čes. Krumlov, Údolí Sušského potoka (u Zátoně), rulové skály nad silnicí na levém břehu pod Slubicemi, (22. 6. 1961, I. Klášterský, PR). **38. Budějovická pánev:** Vodňany, na rulových skalách v údolí řeky Blanice u zastávky Svinětice, 440 m n. m., (27. 8. 1942, S. Hejný, PRC). **39. Třeboňská pánev:** Mezimostí n. N., na stráni u Krkavce, 409 m n. m., (7. 5. 1943, R. Kurka, CB). – Mezimostí n. N., v tarase u cesty pod Holenským rybníkem, 425 m n. m., (29. 4. 1943, R. Kurka, CB). – Mezimostí n. N., v tarase pod Holenským rybníkem, 450 m n. m., (18. 7. 1942, R. Kurka, CB). – [Mezimostí n. N.], v tarase u cesty pod hrází Holenského rybníka, 447 m n. m., (5. 10. 1942, R. Kurka, PRC). – Lomnice nad Lužnicí, Kolenická obora, (14. 4. 1892, A. Weidmann, PRC). – Mezimostí n. N., na stráni u Krkavce, 410 m n. m., (12. 7. 1941, R. Kurka, PRC). **40a. Písecko-hlubocký hřeben:** Písek, skalky ve smrkovém lese na svahu nad lesní pěšinou k živcovému lomu, (19. 7. 1924, I. Klášterský, PR). – Hluboká, (s. a., Stotzký, CB). – Písek, živcový lom Káča, ve smrkovém lese, (8/1919, I. Klášterský, PRC). **41. Střední Povltaví:** Bechyně, levá stáň u Lužnice, (14. 8. 1888, s. coll., PR). – Petrovice u Humpolce, zalesněné skály při Želivce J obce, 430 m n. m., (4. 7. 1941, R. Hendrych, PR). –

Davle, v bočním údolí Záhořanského potoka, 220 m n. m., (7. 6. 1945, M. Štolba, PR). – Hněvkovice, Valcha, na skalách v lese Horní Hradiště v blízkosti obce, 460 m n. m., (11. 6. 1940, J. Dostál, PR). – Davle, (18. 6. 1897, J. Wilhelm, PRC). – Tábor, žulové skály u Chlumce nad Benešovým mlýnem v Lužnickém údolí, asi 480 m n. m., (18. 8. 1936, A. Z. Hnizdo, PRC). **42b. Táborsko-vlašimská pahorkatina:** Vlašim, Březina, skála nad lomem, rula, 370 m n. m., (17. 9. 1954, K. Jirousek, PR). – Louňovice, Malý Blaník, (25. 7. 1903, K. Stejskal, PRC). – Vlašim, Březina, skála nad lomem, východní svah, (č. katastru 762), biotitická rula a aplitická orthorula, 370 m n. m., (15. 10. 1957, V. Zelený, PR). **44. Milešovské středohoří:** [Milešov], Milešovka na suťovitém svahu, asi 800 m n. m., (11. 7. 1960, I. Klášterský, PR). **45a. Lovečkovické středohoří:** Kravaře, údolí Bobřího potoka, (1930, K. Preis, PRC). – [Kravaře], údolí Bobřího potoka, (26. 7. 1934, K. Preis, PRC). **45b. Českokamenická kotlina:** Lužické hory, Jehla, (2. 8. 1957, I. Klášterský, Měsíček). **50. Lužické hory:** Luž. hory, V. Fischberg nad obcí Líska, basalt, (1. 8. 1957, I. Klášterský, Měsíček, PR). – [Nový Bor], na vrchu Klíč, (14. 6. 1897, J. v. Sterneck, PRC). **52. Ralsko-bezdězska tabule:** Ralsko, (s. a., G. Lorinser, BRNM). **53a. Českolipská kotlina:** Česká Lípa, údolí Pekla, (1879, V. Schiffner, PRC). **55d. Trosecká pahorkatina:** [Lubošovice], u Kosti, [Z obce], (1872, F. Sitenský, PR). **59. Orlické podhůří:** Šediviny, svorové skalní výchozy, skalní sruby asi 1,2 km JZ osady, 570 m n. m.,  $50^{\circ}17'57.76''N$ ,  $16^{\circ}17'28.88''E$ , (29. 9. 2002, L. Ekrt, herb. L. Ekrt). – Náchod, Peklo, (7/1928, J. Mikeš, PRC). – Peklo, údolí Metuje mezi Náchodem a Novým Městem, (22. 7. 1929, J. Mikeš, PRC). **63a. Žambersko:** Slatina nad Zdobnicí, na skalnatém pravém břehu u silnice za kostelíkem, (22. 4. 1956, A. Hynková, PR). **65. Kutnohorská pahorkatina:** Kutná hora, v kapsách rulových skal na zastíněných vlnkých místech u Spáleného mlýna, exp. S, 270 m n. m., (15. 7. 1955, J. Vepřek, PR). **67. Českomoravská vrchovina:** Tišnov, Vratislávka (7/1921, J. Šmarda, PR). – Tišnov, Vratislávka, ve skalách v údolí Libochůvky, (7/1921, J. Šmarda, PR). – Humpolecko, kamenitý úvoz z Nového Dvora na Kejžlicku, 530 m n. m., (25. 10. 1925, Čábera, PR). – Strmilov, silnice do Studené, v žulovém tarasu asi 500 m od Strmilova po levé straně silnice, 555 m n. m., (9. 5. 1955, A. Češka, PR). – Jihlava, na skalách Zaječí skok pod obcí Rantířov, 500 m n. m., (4. 7. 1942, J. Dostál, PR). – Přímělkov, na skalách pod zříceninou hradu Rokštejn v údolí říčky Brtnice, 450 m n. m., (5. 7. 1942, J. Dostál, PR). – Jindřichův Hradec, Rodvínov, v údolí řeky Nežárka, (2. 7. 1934, V. Rypáček, PRC). – Pelhřimov, skalnatá stráň nedaleko kamenného mostu u železnice 3 km obce směrem na Novou Cerekev, 590 m n. m., (11. 8. 1976, A. Irová, PRC). – Lačnov, kamenitý břeh řeky Svratky na Júpatí „Žákoviny“ SV obce, exp. J, 510 m n. m., (25. 4. 1943, V. Dolák, PRC). – Černovice u Kunštátu, Káčiny, 4,75 km SV obce Nedvědice, okolí skal, 550 - 600 m n. m.,  $49^{\circ}28'39''N$ ,  $16^{\circ}23'25''E$ , (10. 7. 2000, K. Sutorý, BRNM). – Tišnov, hadcové skály v údolí Libochovky u vsi Ostrova, 430 m n. m., (26. 5. 1956, F. Černoch, BRNM). – Tišnov, rulové skály v údolí Libochovky pod Brabcovým mlýnem nedaleko Ostrova, 430 m n. m., (21. 10. 1955, J. Dvořák, BRNM). **68. Moravské podhůří Vysociny:** Lelkovice, na skalnaté stráni 1 km S obce, 320 m n. m., křovinatá skalka granodiorit, exp. Z, (5. 10. 1975, J. Saul, BRNM). – Radostice u Brna, skály u nádraží, (24. 7. 1968, J. Horňanský, BRNM). – Tetčice u Brna, na svahu Bučínu v údolí, asi 280 m n. m., (18. 7. 1947, J. Horňanský, BRNM). – Adamov, cesta z obce do Vranova, (s. a., E. Formánek, BRNM). – Brno, Ořešín u Řečkovic, (s. a., E. Formánek, BRNM). – Přešovice, pravý břeh řeky Rokytné k J orient. strán asi 1 km JV obce nedaleko vtoku potoka, 350 - 400 m n. m., (8. 6. 1994, K. Sutorý, BRNM). – Ocmanice, stráně na pravém břehu řeky Oslavy, V a SV obce, 390 m n. m., (22. 8. 1975, K. Sutorý, BRNM). – [Slavětice], břehy řeky Jihlavky, okolí Skryjského mlýna, 1 km SSV obce, 280 m n. m., (16. 5. 1975, K. Sutorý, BRNM). – Kozlany, levý břeh Jihlavky v okolí Zarážkového mlýna, 1,2 km J obce, 360 m n. m., (26. 4. 1977, K. Sutorý, BRNM). – Zbýšov u Rosic, les Balinek, (s. a., E. Formánek, BRNM). – Tišnov, Jahodnička u Bukovice, (s. a., E. Formánek, BRNM). **69a. Železnohorské podhůří:** Železné hory, Nasavrky, na skále naproti obci Strádov, asi 380 m n. m., (24. 5. 1942, R. Hendrych, PR). – Rychmburk, na břidlicových skalách v údolí Rychmburského potoka pod obcí, 380 m n. m., (17. 7. 1941, M. Pulchart, PRC). **70. Moravský kras:** Hády u Brna, (s. a. E. Formánek, BRNM). **71b. Drahanská plošina:** Vranova Lhota, štěrbiny skal ve smíšeném lese, na vrchu Sušice u obce, exp. Z, 400 m n. m., (2. 9. 1943, A. Maťátko, PRC). **71c. Drahanské podhůří:** Konice, Strážisko, na skalách v údolí potoka Strážisko v blízkosti obce, 350 m n. m., (7/1965, J. Dostál, PR). – Náměšť na Hané, skalka na pravém břehu potoka Šumice, 1,5 km Z obce, asi 260 m n. m., (19. 7. 1979, M. Dosedělová, BRNU). **73b. Hanušovická vrchovina:** Šumperk, skály nad železniční stanicí u Rudy, (8. 7. 1920, J. Šmarda, PR). **75. Jesenické podhůří:** Odry, na okraji lesa na jižním svahu u kapličky, mezi obcemi Odry a Dobešov, 320 m n. m., (17. 8. 1955, Klášková, Novotná, Stolcová, Veselá, PR). – Smilov, ve štěrbinách skal u obce, (5. 9. 1926, J. Otruba [Fl. Exs. Reipubl. Boh. Slov., no. 104], PR, PRC). – Kružberg, břehy Moravice, ve štěrbinách skal, asi 400 m n. m., (7. 9. 1950, B. Horák, PRC). – Lipník nad Bečvou, osada Podhoří v údolí Jezernice, asi 1 km SSV osady, 350 m n. m., (27. 5. 1985, K. Sutorý, BRNM).

**Karpatské mezofytikum:** **76a. Moravská brána vlastní:** Nový Jičín, vápencové skály na Bílé hoře u Štramberka, 450 m n. m., (29. 11. 1929, F. Černoch, BRNM). – Teplice nad Bečvou, na drobových skalách V nad obcí, asi 260 m n. m., (2. 8. 1944, H. Zavřel, BRNM). **80a. Vsetínská kotlina:** Vsetín, (s. a., J. Úlehla, PRC). **82. Javorníky:** Vsetín, Pulčínské skály, asi 700 m n. m., (7/1927, G. Říčan [Fl. Exs. Reipubl. Boh. Slov.,

no. 401], PRC). – Nový Hrozenkov, údolí Vranča, pískovec, asi 550 m n. m., při potůčku ve smrkovém lese S od nové školy, (28. 5. 1941, V. Pospíšil, BRNM).

#### Oreofytikum:

České oreofytikum: **88b. Šumavské pláně:** Stožeč, Stožecká kaple, žulové skály v rezervaci Stožecká skála, asi 100 m JZ Stožecké kaple, asi 960 m n. m., 48°52'25,8"N, 13°49'17,8"E, (15. 10. 2002, L. Ekrt, herb. L. Ekrt). **90. Jihlavské vrchy:** Lhotka u Telče, pastvina SZ obce (u zříceniny hradu Šamberka) skupiny žulových balvanů na pastvině, sklon JV, 650 m n. m., (14. 7. 1941, J. Diener, PR, PRC). – Rácov, asi 2 km J obce, asi 1,5 km dlouhý žulový taras nad silnicí do Řidelova, exp. V, 710 m n. m., (3. 10. 1943, J. Diener, PRC). – Staré Ransko, na serpentinových skalách v lese nad cestou, 3,2 km ZJZ obce, 630 m n. m., (16. 6. 1990, P. Bureš, BRNM). **91. Žďárské vrchy:** [Ždírec nad Doubravou], hadcové skály v lese na V od [rybníku] Řeka, (2. 8. 1923, PRC). – Teletí, JZ obce, ve štěrbinách svorových útesů na dolním úbočí smíšeného lesnatého svahu u řeky Svratky, 525 m n. m., (18. 7. 1943, V. Dolák, PRC). – Nové Město na Moravě, Skelná, na serpentinitových skalách v lese asi 1 km SV obce, pod kopcem Brožova skála, asi 760 m n. m., (27. 7. 1976, M. Smejkal, BRNU). **93a. Krkonoše lesní:** Krausovy boudy, (9/1876, V. v. Cypers, PR). – Rokytnice [nad Jizerou], skály při silnici k nádraží v obci, (6. 9. 1919, F. A. Novák, PRC). **95b. Králická hornatina:** Hanušovice n. Mor., skalky v lese nad nádražím v obci, (1. 9. 1961, I. Klášterský, PR).

Nelokalizovatelné: Polná, rulové skály v okolí obce, (23. 9. 1929, J. Mikeš, PRC). – Náchod, údolí Metuje, (22. 8. 1929, J. Mikeš, PRC). – Inrvova stráň, (4. 9. 1879, F. Zavřel, PRC). – Třebíč, skály za Chmelencem, (1921, V. Krajina, PRC). – Blovice, údolí Borovenského potoka na skalách, 450 m n. m., (19. 7. 1939, J. Veselý, PRC). – Orlické hory, Řehačkova stráň, (3/1930, J. Mikeš, PRC).

### *Asplenium trichomanes* subsp. *quadrivalens*

#### Termofytikum:

České termofytikum: **1. Doupovská pahorkatina:** Kadaň, basaltové výchozy na východním svahu kopce Úhošť nad obcí Kadaňská Jeseň, (22. 5. 1949, I. Klášterský, PR). **4a. Lounské středohoří:** Chraberce, vrch Brník (také Prťák, dříve Buschberg) u obce, (21. 4. 1946, I. Klášterský, PR). – Most, (1852, G. Eichler, PRC). **4b. Labské středohoří:** Milešov, kamenná zed' v obci, (8/1954, V. Štěpánová, PR). – Litoměřice, nad [Dolními] Zálezly, Tříkřížová hora [Kostelní vrch], (1929, K. Preis, PRC). – Boreč, kamenná sutina na vrchu Boreč, exp. SV, (29. 6. 1953, Gregor, PRC). – [Ústí nad Labem], Střekov, (29. 8. 1929, J. Mikeš, PRC). **7d. Bělohorská tabule:** Okoř, na skalách pod zříceninou hradu v údolí Okořského potoka, 270 - 290 m n. m., (12. 6. 1940, s. coll., PRC). **8. Český kras:** Srbsko, vápencový suťový svah nad potůčkem v západní části rezervace Koda, asi 700 m JZ od železniční zastávky Srbsko, asi 320 m n. m., 49°55'57.85"N, 14°07'7.84"E, (6.10. 2002, L. Ekrt, herb. L. Ekrt). – Srbsko, bázické výchozy u ústí Cisařské rokle v rezervaci Koda, asi 0,5 km JJV železniční zastávky Srbsko, asi 230 m n. m., 49°55'53.35"N, 14°7'59.54"E, (6.10. 2002, L. Ekrt, herb. L. Ekrt). – Karlštejn, vápencové výchozy nad silnicí z Karlštejna do Srbska, asi 1,5 km V od mostu přes Berounsku v obci, asi 210 m n. m., (6.10. 2002, L. Ekrt, herb. L. Ekrt). – Hostim, vápencové výchozy nad silnicí asi 400 m S centra obce, asi 210 m n. m., 49°57'49.54"N, 14°7'51.48"E, (6.10. 2002, L. Ekrt, herb. L. Ekrt). – Svatý Jan pod Skalou, vápencové skály asi 250 m JZ obce, asi 200 m n. m., 49°57'56.2"N, 14°7'47.3"E, (7. 8. 2002, L. Ekrt, herb. L. Ekrt). – Hlásná Třebáň, pikritové skalky nad silnicí S obce, (12. 4. 2003, L. Ekrt, herb. L. Ekrt). – [Dobřichovice], Karlické údolí, diabasové skály, (23. 4. 1926, P. Sillinger, PR). – Koněprusy, na vápencových skalách na vrchu Zlatý kůň, 450 m n. m., (17. 4. 1932, J. Dostál, PR). – Svatý Jan pod Skalou, (1. 8. 1954, Knobloch, PR). – [Srbsko], údolí osady Koda, (8/1964, Herink, PR). – Svatý Jan pod Skalou, na vápencových skalách nad obcí, (3. 5. 1930, J. Dostál, PR). – [Dobřichovice], Karlické údolí, (9. 5. 1962, S. Trapl, PR). – Srbsko, vlhká a zastíněná vápencová skála v háji v údolí Kačáku, (25. 5. 1961, I. Klášterský, PR). – Srbsko, na vápencových skalách J svahu na začátku údolí Koda, (10. 5. 1940, M. Pulchart, PRC). – Srbsko, (4. 5. 1920, Mikeš, PRC). – [Praha], Hlubočepy, v Prokopském údolí, na bázických skalách, (25. 4. 1926, V. Krajina, PRC). – Koněprusy, na vápencových skalách Zlatý kůň, 450 m n. m., (17. 4. 1932, Dostál, PRC). – Praha, Radotín, (5/1914, K. Domin, PRC). – Srbsko, vápencové skály ve střední části Cisařské rokle v rezervaci Koda, 1 km S železniční zastávky Srbsko, 390 m n. m., 49°55'44.36"N, 14°7'51.51"E, (6. 10. 2002, L. Ekrt, herb. L. Ekrt). – Karlštejn, na skalách pod hradem, (9. 5. 1909, E. Baudyš, PR). – Srbsko, po levém břehu Kačáku nad obcí, (3. 5. 1930, s. coll., PRC). – Srbsko, háj po levém břehu Bubovického potoka obce k vodopádům, asi 300 m n. m., (s. a., Medlinová, S. Hejný, PRC). – Chuchle, (2. 4. 1854, Tempsky, PRC). – Praha, Prokopské údolí, (1922. A. Zlatník, BRNM). – Karlštejn, Velká Hora u obce, (6/1950, M. Deyl, PR). – Karlštejn, (s. a., J. Ruda, PR). **9. Dolní Povltaví:** Praha, Šárka, (22. 8. 1857, J. Kalmus, PR). – Praha, Prokopské údolí, (1856, O. Mickell, PR). – Praha, diabazové skaliny u Motol, (5/1914, F. Schustler, PR). – Roztoky u Prahy, (11. 3. 1854, Opiz, PR). – Praha, Bohnice, na skalách nad Vltavou v oblasti Kalvaria, asi 260 m n. m., (7/1921, J. Dostál, PR). – Šárka, (21. 4. 1850, Opiz, PR). – Smíchov, (s. a., Sigmund, PR). – Praha, Prokopské údolí, (4/1885, s. coll., PR). –

Praha, Bohnice, na skalách v údolí Draháň, 250 m n. m., (4/1918, J. Dostál, PR). – Roztoky u Prahy 230 m n. m., (10. 7. 1934, J. Hantschel, PR). – [Praha], Sv. Prokop, (s. a., Zbojník, PRC). – Praha, v bočním údolí Svatopetrského údolí, (s. a., J. Kovařík, PRC). – Praha [Sedlec], Podbaba, (4/1880, Polák, PRC). – [Praha], Podbaba, (14. 7. 1814, s. coll., PRC). – [Praha], Prokopské údolí, (1857, T. Petřina, PRC). – Praha, stromovka, (11. 3. 1817, s. coll., PRC). – [Praha], Žižkov, (s. a., K. Amerling, PR). **11b. Poděbradské Polabí:** Kolín, (1852, Weselský, PRC). **12. Dolní Pojizeří:** Mladá Boleslav, na skále v listnatém lese, J [Jezerního] Vtelna, (15. 5. 1930, Zelinka, PRC). **13a. Rožďalovická tabule:** Nový Bydžov, v obci Kundratice, (9/1943, M. Deyl, PR). **14a. Bydžovská pánev:** Jičín, čedičový lom v Z svahu kopce Zebína [2 km SV obce], 350 m n. m., (6. 7. 1955, E. Opatrný, PR). **15a. Jaroměřské Polabí:** Česká Skalice, na permickém skalisku nad hájovnou havlovickou u Babiččina údolí, 15. 7. 1938, Kapka, PR). **15b. Hradecké Polabí:** Nové Město nad Metují, bázické skalní výchozy v údolí Metuje asi 0,3 km JV železniční stanice, asi 280 m n. m., 50°21'1.24"N, 16°08'29.82"E, (29. 9. 2002, L. Ekrt, herb. L. Ekrt). – Hradec Králové, na zdech a hradbách, (6/1880, s. coll., PR). – Hradec Králové, (1898, V. Rohlena, PRC).

**Panonské termofytikum: 16. Znojemsko-brněnská pahorkatina:** Tišnov: Čebínka, (24. 4. 1928, J. Šmarda, PR). – Moravský Krumlov, serpentinitové skály u obce, (3/1904, K. Vandaz, PR). – Mohelno, údolí Jihlavky, (24. 7. 1920, J. Šmarda, PR). – Tišnov, na vápencových skalách V strany kopce Čebínka nad obcí Čebín, 380 m n. m., (12. 7. 1942, J. Dostál, PR). – Mohelno, na hadcových skalách nad tokem Jihlavky pod obcí, 300 - 350 m, (4. 8. 1937, J. Dostál, F. A. Novák, PR). – Obřany, na skalách v údolí řeky Svitavy v blízkosti obce, 250 m n. m., (6/1965, J. Dostál, PR). – Znojmo, (2/1873, A. Oborný, PRC). – Ivančice, skály podél železniční trati u obce, asi 230 m n. m., (2. 9. 1980, J. Wünschová, BRNU). – Moravský Krumlov, na skalnatých svazích nad tokem řeky Rokytná, pod Floriánkem, (12. 7. 1977, M. Smejkal, BRNU). – Hrubšice u Ivančic, na skalách v údolí Jihlavky, (24. 8. 1952, J. Horňanský, BRNM). – Moravský Krumlov, na Floriánku v příkrém svahu slepencovém pod kaplí, 250 m n. m., (12. 5. 1947, J. Horňanský, BRNM). – Tulešice, skály nad řekou v lese Koválov, (1. 11. 1944, J. Horňanský, BRNM). – Hrubšice u Ivančic, na skalách v údolí Jihlavky, (18. 5. 1952, J. Horňanský, BRNM). – Moravský Krumlov, v údolí řeky Rokytná u obce, (9. 5. 1955, J. Horňanský, BRNM). – Mohelno, v roklích nad řekou Jihlavkou, (1. 7. 1951, J. Horňanský, BRNM). – Rokytná, stinné slepencové skály v údolí Rokytné 750 m JV od kostela v obci, 245 m n. m., (14. 9. 1996, J. Čáp, BRNM). – Čebín, štěrbiny vápencových skalek na J straně Čebínky, 390 m n. m., (18. 8. 1961, J. Dvořák, BRNM). – Česká, devonský červený pískovec v lese Strážná, skalnatá stráň, dubový les 1 km V obce, 300 m n. m., (24. 9. 1975, J. Saul, BRNM). – Obřany, vlnká skalka nad 1 tunelem za obcí při směru na Bílovice [nad Svitavou], S strana, 280 m n. m., (20. 8. 1978, R. Řepka, BRNM). – Znojmo, skály na pravém břehu přehrady, asi 5 km JZ obce, 300 m n. m., (19. 5. 1982, K. Sutorý, BRNM). – Brno, Komín, les naproti a na pravém břehu Svatky, (17. 4. 1883, E. Formánek, BRNM). – Obřany, tunely u obce, (28. 4. 1883, E. Formánek, BRNM). – Brno, Lotrůvka u Střelic, (s. a., E. Formánek, BRNM). – [Čebín], Čebínka, (29. 6. 1910, K. Vosina, BRNM). – Tvoříhráz, údolí Jevišovky SZ obce, 215 m n. m., (2. 8. 1976, K. Sutorý, BRNM). **17b. Pavlovské kopce:** Mikulov, na kopci Tabulová, (10. 6. 1935, F. Weber, PR). – Bavory, vápencové výchozy v rezervaci Kočičí skála asi 1,2 km JV od kostela v obci, asi 345 m n. m., 48°49'579"N, 16°38'506"E, (5. 4. 2002, L. Ekrt, herb. L. Ekrt). – Klentnice, vápencové skály pod zříceninou Sirotčího hrádku asi 0,4 km SZ od kostela v obci, asi 430 m n. m., 48°50'714"N, 16°38'415"E, (5. 4. 2002, L. Ekrt, herb. L. Ekrt). – Mikulov, skaliska Katzstein [rezervace Kočičí skála] S obce, (9. 8. 1908, Čelakovský, PR). **18a. Dyjsko-svratecký úval:** Písary u Brna, (4/1913, V. Skřivánek, BRNM). **20b. Hustopečská pahorkatina:** Uherské Hradiště, Vranovské louky u obce Važany, nedaleko obce Polešovice, (11. 8. 1955, J. Soják, PR). – [Brno], Slatina, Stránská skála, (17. 5. 1913, E. Vítek, BRNM). – [Brno, Slatina], Stránská skála, (9. 6. 1978, J. Jokešová, BRNM). – Brno, [Slatina], Stránská skála, 307 m n. m., (3. 3. 1910, F. Skýva, BRNM). – Brno, Lišeň, slepencová skalka v zatáčce silnice na ul. Ondráčkova při cestě k Mariánskemu údolí, 300 m n. m., (19. 4. 1992, R. Řepka, BRNM). – Tvarožná, Tvaroženský kopec Santon, 296 m n. m. (3. 5. 1978, K. Sutorý, BRNM). **21a. Hanácká pahorkatina:** Slatinice, [rezervace Malý Kosíř], Kulmová skaliska nad obcí, 320 m n. m., (14. 8. 1940, J. Otruba, PRC). – Prostějov, skála v blízkosti střelnice v Mostkovicích Pod Gecovým, 340 m n. m., (13. 7. 1978, J. Jančík, BRNU).

#### Mezofytikum:

**Českomoravské mezofytikum: 22. Halštrovská vrchovina:** Zdounky, ve štěbinách pískovcové zídky u silnice, asi 230 m n. m., (10. 10. 1963, H. Zavřel, BRNM). – **25a. Krušnohorské podhůří vlastní:** Perštejn, (27. 10. 1912, Kohn, PR). **26. Český les:** Bor u Tachova, na vrcholu kopce Přimda, (28. 9. 1954, M. Deyl, PR). – Bor u Tachova, na vrcholu kopce Přimda, (28. 9. 1954, M. Deyl, PR). **28c. Mnichovské hadce:** Mariánské Lázně, Wolfstein, [rezervace Vlček], serpentinitové skály, 850 m n. m., (18. 10. 1929, R. Wihan, PRC). **28d. Toužimská vrchovina:** Mariánské Lázně, na skalách, 600 m n. m., (s. a., s. coll., PR). **28e. Žlutická pahorkatina:** Manětín, výchozy kyselé břidlice nad Manětínským potokem asi 1,1 km J centra obce Brdo, asi 375 m n. m., 49°59'28.12"N, 13°15'37.18"E, (4. 9. 2002, L. Ekrt, herb. L. Ekrt). – Kotaneč, údolí Střely, kyselé břidlicové výchozy lokálně obohacené bázemi nad říčkou Střela asi 1,6 km V centra obce, 410 m n. m.,

50°0'58,65"N, 13°18'32,24"E, (4. 9. 2002, L. Ekrt, herb. L. Ekrt). – Kálec, příkop [údolí Střely], (20. 7. 1927, R. Traxler, PRC). **28f. Svojšinská pahorkatina:** Stříbro, v údolí Útěreckého potoka nad chatou Šipín, (14. 5. 1950, M. Deyl, PR). – Chodová Planá, amfibolitové skály s hadcem na Lazurovém vrchu, (7. 9. 1920, J. Vilhelm, PRC). – Těchlovice, údolí Petrského potoka, (7/1906, Štorch, PRC). **29. Dourovské vrchy:** Karlovy Vary, Stengelberg u [Radošova], (26. 7. 1937, Sterneck, PR). – Karlovy Vary, skály u Pirkenhammer (?), (13. 8. 1936, Sterneck, PR). – Vojkovice, nad Ohří, balvanitá suť pod sokolskou boudou, kóta 532, (30. 4. 1955, F. Červený, PR). – Radošov na basaltové suti na vrcholu kopce Stengelberk nad vesnicí, asi 460 m n. m., (16. 6. 1951, I. Klášterský, PR). – [Andělská hora], na vrcholu Andělské hory, basalt, 664 m n. m., (14. 7. 1952, I. Klášterský, PR). **30a. Jesenická plošina:** Kralovice, na serpentinových skalách v údolí Sedleckého potoka SZ obce, asi 400 m n. m., (30. 5. 1963, Chrtek, Křísa, PRC). **31a. Plzeňská pahorkatina vlastní:** Kaznějov, břidlicové skály na pravém břehu údolí Kaznějov - Nebřežiny, 360 m n. m., (20. 9. 1942, J. Schneider, PRC). – Chlumčany, v lese Malý háj u obce, 380 m n. m., (27. 8. 1965, V. Vacek, PRC). – Plzeň, věznice u Radbůzy, (9. 3. 1884, P. Hora, PRC). – Plzeň, [Starý Plzenec], hrad Radyně, (3. 6. 1941, L. Kříšek, PRC). **32. Křivoklátsko:** Žloukovice, bázické výchozy v rezervaci Kabečnice asi 200 m SV železniční zastávky Žloukovice, asi 230 m, 50 1'0"N, 13 57'32"E, (7. 10. 2002, L. Ekrt, herb. L. Ekrt). – Křivoklát, kyselé výchozy v západní části rez. Brdatka, asi 2 km SV zámku Křivoklát, asi 405 m n. m., 50 2'54,1"E, 14 7'47,3", (7. 10. 2002, L. Ekrt, herb. L. Ekrt). – Křivoklát, kyselé skalní výchozy v západním okraji rezervace Nezabudické skály, asi 2,5 km JZ obce, asi 250 m n. m., 50 1'20,9"N, 13 50'8,6"E, (7. 10. 2002, L. Ekrt, herb. L. Ekrt). – Hracholusky, vápencové skály v rezervaci Čertova skála asi 1,5 km JV obce, asi 250 m n. m., 49 59'50"N, 13 47'29,9"E, (7. 10. 2002, L. Ekrt, herb. L. Ekrt). – Skryje, kyselé výchozy v rezervaci Jezírka asi 2 km JJZ obce, asi 280 m n. m., 49 56'51,7"N, 13 45'0,6"E, (7. 10. 2002, L. Ekrt, herb. L. Ekrt). – Zbečno, v údolí potoka Klíčava mezi loveckými chatami Klíčava a Sv. Markéta, (10. 8. 1947, I. Klášterský, J. Trakal, PR). – Rakovník, na skalách v lese v údolí Rakovnického potoka mezi obcemi Rakovník a Pustověty, (29. 7. 1938, I. Klášterský, PR). – Rakovník, na skalách nad tokem Berounky pod hradem Křivoklát, nad obcí Roztoky, 300 m n. m., (7/1952, J. Dostál, PR). – [Křivoklát], skalky mezi Zbečnem a Račicemi, (5. 5. 1846, s. coll., PR). – Křivoklát, na Z svazích mezi obcí Roztoky a svahu kopce Leontýn vrch, 350 m n. m., (6. 6. 1960, J. Dostál, PR). – Kladno, na skalách a v lese Horka nad obcí [Velká] Dobrá, 400 m n. m., (s. a., J. Šindelář, PR). – Křivoklát, skály při S břehu Berounky, JZ Sýkořice, 350 m n. m., (4. 5. 1942, R. Kurka, CB). – Pecínov, údolí Klíčavy od Myší díry 500 - 750 m k přehradě, úpatí zalesněné stráně, exp. SV, algonkické fylitové břidlice, 340 m n. m., (15. 8. 1960, M. Veselé, PRC). – Křivoklát, skály při S břehu Berounky, 100 m V Stříbrnáku, J Sýkořice, exp. J, 340 m n. m., (8. 6. 1941, J. Netušil, PRC). – Zbiroh, vápencové skály S Terešova, (15. 6. 1940, F. Jindra, PRC). – Nová Huť, na zdi pod Nižborem, (6. 5. 1934, s. coll., PRC). – Žloukovice, v údolí řeky Berounka na skalách u obce, (28. 7. 1939, I. Klášterský, PR). – [Velká] Dobrá, skalka na kopci v lese u obce, (5. 5. 1952, J. Švejda, PR). – Nižbor, Polesí, Čerchova skála na pravé straně silnice z Žloukovic do Nižboru, (20. 7. 1974, J. Havlíčková, PRC). – [Zbečno], skály při J břehu [vodní nádrže] Klíčava proti zřícenině hradu Jivno, 300 m n. m., (13. 9. 1942, J. Netušil, PRC). – Roztoky, (1851, Tempsky, PRC). **33. Branžovský hvozd:** [Poleň], amfibolitové skály, zřícenina hradu Pušperk, (20. 8. 1934, L. Kresl, PRC). **34. Plánický hřeben:** Sušice, ruina hradu Velhartice, (16. 7. 1935, E. Hejný, PRC). **35a. Holubovské Podhradsko:** Hůrky u Rokycan, skalnatá stráň, (9/1909, F. Schustler, PR). **35c. Přibamské Podhradsko:** Rejkovice, svah Ostrý, (8/1929, J. Veselý, PRC). – Brdy, Hůrky, (7. 8. 1938, Veselý, PRC). **35d. Březnické Podhradsko:** Brloh, rulové a vápencové skály v lese Hradec J obce, asi 405 - 486 m n. m., (4. 8. 1950, J. Moravec, J. Holub, PR). **36a. Blatensko:** Blatná, kolem [rybníka] Velkého Kuše a Hadího rybníka, (s. a., J. Mikeš, PRC). – Křídlo u Sedlice, v kamení, (8/1878, s. coll., PRC). **36b. Horažďovicko:** Horažďovice, (s. a., Celerin, PRC). **37a. Horní Pootaví:** Kašperské hory, spára v polní zdi SV obce, (9. 7. 1964, Čábera, CB). **37b. Sušicko-horažďovické vápence:** Horažďovice, žulové skalní výchozy místo obohacené bázemi asi 50 m V zříceniny hradu Prácheň (NPR Prácheň), asi 1,5 km VJV centra obce, asi 500 m n. m., (9. 3. 2002, L. Ekrt, herb. L. Ekrt). – Hejná, vápencové výchozy v S části PR Pučanka asi 300 m JZ centra obce, asi 530 m n. m., (9. 3. 2002, L. Ekrt, herb. L. Ekrt). – Rábí, vápencový výchoz na JV úpatí vrchu Chanovec asi 1,5 km JZ centra obce, (10. 3. 2002, L. Ekrt, herb. L. Ekrt). – Hejná, na skalách a zdech, (s. a., J. Vaněček, PR). – Hejná, Radvanka, vápencový, borovým lesem porostlý vrch S obce, 538 m n. m., (12. 6. 1943, J. Vaněček, PR). – Horažďovice, na skalách na hradě Rábí, 460 m n. m., (19. 4. 1962, B. Slavík, PR). – Hejná, skály v Radvance (11. 5. 1968, J. Vaněček, CB). – Boubín, lom ve Svitníku, (24. 9. 1967, J. Vaněček, CB). – Prácheň, (13. 9. 1958, J. Vaněček, CB). – Horažďovice, Hejná, rezervace Pučanka, (13. 5. 1967, V. Skalický, PRC). – Rábí, na kopci Lišná v lese a na vápencových skalách, (20. 8. 1951, M. Deyl, PR). – Horažďovice, na vrchu Sv. Anna u obce, (8/1941, M. Deyl, PR). – Zárečí, skály nad Otavou u obce, (9. 7. 1968, J. Vaněček, CB). **37e. Volyňské Předšumaví:** Malenice, na skalách na JV svahu na vrchu Pátek S obce, asi 470 - 550 m, (17. 9. 1948, J. Moravec, PR). – Nihošovice, na skalách u říčky Pektor v blízkosti obce, 500 m n. m., (18. 7. 1940, J. Šimák, PR). – Strakonice, roztroušeně na vápencových skalách na SZ svahu kopce Kání vrch V obce, asi 390 - 410 m n. m., (22. 7. 1947, J. Moravec, PR). – Podmokly, V svahy Štampachu J obce, (10. 7. 1964, R. Kurka, CB). – Čkyně, žulové skály na stráni v březovém háji, v Sedleckově nad tratí Čkyně - Lžovice, asi 530 m n. m., (1. 8. 1941, M. Protiva, PRC). – Bavorov, na zřícenině hradu Helfenborg, 650 m n. m., granit,

(24. 8. 1941, S. Hejný, PRC). – Čkyně, ve zdi polní cesty z obce do Hradčan, 760 m n. m., (2. 11. 1940, J. Čech, PRC). – [Koječín], Helfenborg, na severní straně, (23. 8. 1907, s. coll., CB). **37f. Strakonické vápence:** Krtý, opuštěný vápencový lom při SZ okraji lesa Tisovníku SV obce, (10. 7. 1955, V. Chán, PR). – Únice, na rulových skalách v lese na kopci Březový vrch JV obce, 500 - 570 m n. m., (22. 6. 1950, J. Moravec, PR). – Dražejov, na kamenitých místech mezi kopcem Kuřidlo a Oupeřová JV obce, cca 470 - 480 m, (17. 5. 1952, J. Moravec, PR). – Zlatá Koruna, na serpentinitových skalách na svahu pod obcí, (20. 6. 1925, F. A. Novák, PRC). – Droužetice, na zdi v obci, asi 460 m n. m., (8. 8. 1939, J. Veselý, PRC). **37h. Prachatické Předšumaví:** Prachatice, granitové skalky v Pobočí, asi 1,5 km od Nebahovy u Prachatic, 580 m n. m., (17. 7. 1943, S. Hejný, PRC). **37i. Chvalinské Předšumaví:** Lhenice, rulová skalka v borovém lesíku, (s. a., J. Krauskopf, PRC). **37k. Křemžské hadce:** Holubov, hadcové výchozy u Křemžského potoka v rezervaci Holubovské hadce asi 1 km ZSZ zříceniny hradu Dívčí kámen, 470 m n. m., (13. 5. 2002, L. Ekrt, herb. L. Ekrt). – Čes. Krumlov, tzv. Plešovická rokle (Stoka) na levém břehu Vltavy, první pod Zlatou Korunou, serpentin, (21. 6. 1961, I. Klášterský). – Adolfov, na serpentinitových skalách na svazích Křemžského potoka u obce, (20. 6. 1925, F. A. Novák, PRC). **37l. Českokrumlovské Předšumaví:** Vyšný, stráň s drobnými výchozy v rezervaci Vyšenské kopce u potoka Hučnice asi 0,5 km JV obce, 520 m n. m., (14. 3. 2001, L. Ekrt, herb. L. Ekrt). – Boršov nad Vltavou, rulové výchozy nad levém břehu Vltavy asi 1 km JZ od kostela v obci, asi 410 m n. m., (17. 11. 2001, L. Ekrt, herb. L. Ekrt). – Třísov, na rulových skalách pod zříceninou hradu Dívčí kámen, 460 m n. m., (21. 6. 1953, J. Dostál, PR). – Český Krumlov, Vyšenské kopce, zídky z vápencových kamenů v postranním údolíčku u Vyšenského potoka pod rezervací, (19. 6. 1961, I. Klášterský). – Kamenný Újezd, Rančická strouha, 0,5 km S od kapličky u kóty 448, skalky na pravém břehu potoka, (28. 7. 1960, Blažková, CB). – České Budějovice, Jamné, skály, na levém břehu Vltavy asi 2 km JZ osady, u kóty 495, (7. 6. 1968, M. Rivola, CB). – Kamenný újezd, rulové skály pod zříceninou hradu Maškovec, (9. 3. 2003, L. Ekrt, herb. L. Ekrt). – Zlatá Koruna, Adolfov, (14. 6. 1926, V. Krajina, PRC). – [Český] Krumlov, ve štěrbinách skal na svahu, (1902, F. A. Novák, PRC). **37n. Kaplické mezihoří:** Český Krumlov, na skalnatém jižním svahu v údolí Sušského potoka nad obcí Slubice, asi 520 m n. m., (14. 8. 1954, I. Klášterský, PR). – Kaplice, (1837, M. Winkler, PR). **37p. Novohradské podhůří:** Velešín, Malše, skalky na pravém břehu u potoka nedaleko Velešínského mlýna, (5. 8. 1969, J. Křížek, CB). **38. Budějovická pánev:** Netolice, skály, (1890, R. Hampel, PRC). **39. Třeboňská pánev:** Mezimostí n. N., na stráni u Krkavce, 410 m n. m., (12. 7. 1941, R. Kurka, CB). – [Mezimostí n. N.], v tarase u cesty pod hrází rybníka Holenský, 447 m n. m., (5. 10. 1942, R. Kurka, CB). – Soběslav, (1913, R. Veselý, PRC). – Lomnice nad Lužnicí, Kolenecká obora, asi 450 m n. m., (2. 7. 1950, R. Kurka, CB). – Soběslav, na tarase pod Vápenkou, (22. 6. 1935, R. Kurka, CB). **40a. Písecko-hlubocký hřeben:** Týn nad Vltavou na skalách vrchu Janoch nad chatou Býšov u obce Knín, 480 m n. m., (1943, J. Hora, PR). **40b. Purkarecký kaňon:** Hluboká, Nová Obora, (1957, J. Oswald, CB). – [České Budějovice], stará zed' zříceniny Karlův hrádek na levém břehu Vltavy, (8/1944, Medlinová, PRC). **41. Střední Povltaví:** Praha, Kazín na Berounce, (7/1939, A. Hejsek, PR). – Dobříš, na stropě jeskyňky v parku, asi 370 m n. m., (23. 8. 1934, J. Bubník, PR). – Příbram, na skalách a v lese nad tokem Vltavy mezi vrcholem kopce Dubový vrch a vesnicí Zvírotice, (5. 7. 1969, B. Alblová, PR). – Praha, u obce Jarov, (13. 9. 1951, A. Žertová, PR). – Zruč nad Sázavou, serpentinitové skalky mezi obcemi Borovsko a Sedlice, (16. 8. 1956, M. Deyl, PR). – Bechyně, v údolí řeky Lužnice, (9. 5. 1951, M. Deyl, PR). – Vráž, skály nad Otavou, (16. 8. 1921, I. Klášterský, PR). – Třebsín, lesní stezka u Sázavy S obce, (26. 6. 1949, V. Šimeček, PR). – Příbram, na skalách nad tokem Vltavy u obce Červená, nedaleko Zvíkovského Podhradí, 400 m n. m., (7/1960, J. Dostál, PR). – Skaliny u Vraného, (9/1910, F. Schustler, PR). – [Černošice], vlhké skály v lese za Jílovištěm, (18. 5. 1884, E. Binder, PR). – Píkovice, severní břidličnaté svahy na pravém břehu Sázavy, (6/1960, M. Lhotská, PR). – Vidláková Lhota, údolí Konopiště pod obcí, (29. 8. 1959, M. Lhotská, PR). – Všenory, na skále u Nových Dvorů, (13. 4. 1884, J. Rous, PR). – Tábor, v lese Pintovka u obce, (15. 7. 1961, M. Deyl, PR). – Skochovice, na skalách v údolí Vltavy mezi obcemi Skochovice a Jíloviště, 350 m n. m., (1. 8. 1943, J. Dostál, PR). – Písek, na granitových skalách nad tokem Vltavy pod obcí Varta pod zříceninou hradu Zvíkov, 400 m n. m., (8. 8. 1943, J. Dostál, PR). – Žampach, na skalách u Sázavy pod obcí, 220 m n. m., (8. 5. 1937, J. Dostál, PR). – Dolní Kralovice, údolí Sedlického potoka u Borovska, pravý břeh, serpentin, (10. 7. 1961, I. Klášterský, J. Měsíček, PR). – Dobříš, levý břeh Kocáby, pod kótou 386 u Podleského mlýna, blíže S. Knína, křemencové skály, (17. 5. 1961, I. Klášterský, PR). – Bechyně, zámecká zed' pod městem, (5. 6. 1959, Blažková, CB). – Solenický meandr, pod Orlickou přehradou, 1 km S od kóty 326, (14. 7. 1960, Blažková, CB). – Bechyně, na skalách u obce, (29. 5. 1949, R. Kurka, CB). – Davle, (18. 6. 1897, J. Wilhelm, PRC). – Hradiště, vrch Medník, (6. 4. 1878, P. Hora, PRC). – Písek, na rulových skalách nad říčkou Čertova strouha, u Otavy, 425 m n. m., (29. 7. 1942, V. Ambrož, PRC). – Rataje nad Sázavou, (5./1928, s. coll, PRC). – Praha, štěrbiny skal v Zahořanské rokli, (11. 4. 1920, F. A. Novák, PRC). – Praha, Medník, (21. 4. 1929, O. Schmeja, PRC). – Zduchovice, asi 2 km JJZ obce v rezervaci Zduchovické skály, kyselé výchozy lokálně obohacené bazemi, (20. 7. 2002, L. Podlenová, herb. L. Ekrt). – Tábor, stráň Pintovka na levém břehu řeky Lužnice, (14. 7. 1961, J. Měsíček, PR). – Vranice na Sázavě (Káčov), rulové skály nad Peliškovým mostem, (11. 7. 1961, I. Klášterský, J. Měsíček, PR). – Vranice na Sázavě (Káčov), serpentinová stráň nad Peliškovým mostem, pravý břeh řeky, (11. 7. 1961, I. Klášterský, J. Měsíček, PR). – Dolní Kralovice, údolí Želivky u obce, levý břeh, stráň a

serpentínové skalky, (10. 7. 1961, I. Klášterský, J. Měsíček, PRC). – Sázavská stezka pod Medníkem, (s. a., s. coll., PRC). – Dolní Břežany, skály v údolí od Zbraslavě k obci, (5. 6. 1937, J. Veselý, PRC). – Malá Lečice, suťový les v údolí Kocáby, asi 280 m n. m., (6. 7. 1974, M. Zíková, PRC). – Žulové skály nad Vltavou mezi Orlíkem a Zvíkovem, (8/1902, K. Domin, PRC). – [Praha], Záhořanská rokle, (5/1957, V. Krajina, PRC). – Medník, u Sázavy, (1929, J. Mikeš, PRC). – Písek, na skalách a tarasech, (1871, J. Velenovský, PRC). – Davle, vrch Medník, (4. 4. 1875, K. Polák, PRC). – Sázavská stezka pod Medníkem, (s. a., J. Mikeš, PRC). – Nespeky, vlnký stinný sráz asi 400 m SV obce, (10. 10. 1976, J. Grulichová, BRNU). – Štěchovice, (24. 4. 1873, s. coll., PRC). – Tábor, údolí Lužnice, okolí Bredova mlýna [u zříceniny hradu Přiběnice asi 6 km JZ obce], (s. a., A. Hnizdo, PRC). **42a. Sedlčansko-milevská pahorkatina:** Vlašim, hřbitovní zeď v obci Chotýšany, 450 m n. m., (26. 8. 1957, V. Zelený, PR). – Votice, ve zdi zahrady na S okraji obce Manělovice, mezi Maršovicemi a Vrchot. Janovicemi, asi 400 m n. m., (18. 7. 1956, M. Hostička, PR). – Jetřichovice (Sedlčany), zdi a terasy zahrad a polí, 480 - 550 m. n. m., (7/1940, s. coll., PRC). – Jetřichovice, Sedlčany, v hromadách žulového kamení, 550 - 650 m n. m., (9. 5. 1940, F. Milner, PRC). **42b. Táborsko-vlašimská pahorkatina:** Vlašim, SZ svah Velkého Blaníku, ortorula, 638 m n. m., (1. 9. 1956, V. Zelený, PR). – Vlašim-Březina, skála nad lomem, rula a ortorula, asi 370 m n. m., (2. 9. 1958, K. Jiroušek, CB). – Ml. Vožice, serpentín v boru na pravém břehu Blanice u Šelmberského mlýna S obce, (14. 7. 1961, I. Klášterský, J. Měsíček, PRC). – Chýnov, Močitka, (s. a., B. Bouček, PRC). **44. Milešovské středohoří:** [Milešov], na JV svahu kopce Milešovka, (15. 4. 1949, I. Klášterský, PR). – Milešov, Ostrý, (7. 6. 1936, A. Hilgert, PR). **45a. Lovečkovické středohoří:** [Kozly], Novina, (14. 10. 1902, E. Proschwitzer, PRC). – [Stříbrníky] Špimberg, na basaltové suti, (1881, J. Schubert, PR). – Sebuzín, skalka v údolí Rytiny SV obce, (8. 6. 1924, J. Polívka, PR). – Malá Veleň, zdi u obce, (26. 8. 1896, J. v. Sterneck, PRC). **46a. Děčínský Sněžník:** Nový Jičín, na vápencových skalách na vrchu Kotouč u obce Štramberk, 500 m n. m., (1. 9. 1959, J. Bednářová, PR). **47. Šluknovská pahorkatina:** Rumburk, skály na vrcholu kopce [Dymník JZ obce], asi 480 m n. m., (15. 5. 1953, E. Knobloch). **50. Lužické hory:** Nový Bor, kopec Klíč, (31. 7. 1957, I. Klášterský, Měsíček, PR). – Kamenický Šenov, Sonneberger Wald, (9/ 1884, s. coll., PR). – [Nový Bor], na vrchu Klíč, (s. a., s. coll. PRC). – Horní Světlá, pískovcové skály na okrajovém boru, asi 530 m n. m., (15. 8. 1956, S. Hejný, PR). **51. Polomené hory:** Úštěk, pískovcová skála v lese nad cestou směrem na Tetčiněves, asi 240 m n. m., (10. 4. 1955, V. Šimeček, PR). – Kokořín, (11. 5. 1924, V. Krajina, PRC). – Mšeno, pískovcové skály, (2. 7. 1940, V. Rudlář, PRC). – Tupadly, ve skalních štěrbinách u obce, (1906, E. Liboch, PR). – Doksy, ve skalních štěrbinách na pískovci u obce, (22. 8. 1914, C. Mell, PR). **52. Ralsko-bezdězska tabule:** Klášter Hradiště n. Jiz., skály křídového útvaru u Jizery, 230 m n. m., (27. 7. 1941, J. Milner, PRC). – Bělá pod Bezdězem, Velký Bezděz, (13. 6. 1920, J. Knor, PRC). – Ralsko u Mimoně, (s. a., Lorinser, PR). – Stráž pod Ralskem na kopci Děvín na zřícenině hradu, (s. a., Schitz, PRC). **55b. Střední Pojizeří:** Turnov, městské sady na svahu k Jizerě ve štěrbinách opukových a pískovcových skal, 260 m n. m., (15. 9. 1945, E. Folprecht, PRC). **55c. Rovenská pahorkatina:** Kozákov, opukové skály na Z straně kopce, 743 m n. m., (1. 11. 1945, E. Folprecht, PRC). **55d. Trosecká pahorkatina:** Turnov, v lesích na Hrubé skále, (30. 7. 1883, J. E. Kabát, PR). – Tachov, pískovcové skalní stěny ovlivněné bázemi asi 1 km Z zříceniny hradu Trosky, asi 280 m n. m., (9. 8. 2002, L. Ekrt, herb. L. Ekrt). – [Troskovice], čedičové zdivo a skály na Troskách, exp. S, 460 m, (24. 9. 1955, E. Opatrný, PR). – Hrubá Skála, (7/1922, F. Diviš, PR). – Brada u Jičína, (1875, F. Sitenský, PR). – Všeliby, pískovcová skála u školy v obci, 270 m n. m., (2. 8. 1942, E. Folprecht, PRC). **56a. Železnobrodské Podkrkonoší:** Držkov, na skále při železniční trati pod silničním mostem SZ nádraží Navarov, 365 m n. m., (9. 9. 1964, V. Jehlík, PR). – Navarov, na zbořeném kamenném mostě přes Kamenici pod nádražím, 360 m n. m., (9. 9. 1964, V. Jehlík, PR). – Jesenný, vzácně na nádraží na kamenném tarase, asi 320 m n. m., (10. 9. 1964, V. Jehlík, PR). – Držkov, na skalách u zříceniny hradu Navarov, 450 m n. m., (6/1952, J. Dostál, PR). – Želený Brod, Jiráskova stezka, po pravé straně nad Jizerou na stráni nad tratí do Semil, (11. 7. 1944, E. Folprecht, PRC). **56b. Jilemnické Podkrkonoší:** Jičín, na kopci Bradlec, (20. 6. 1940, M. Deyl, PR). – Vrchlabí, skály u obce Hořejší Vrchlabí, (13. 7. 1898, V. v. Cypers, PR). – [Lázně] Bělohrad, Uhlíře na skalách u silnice k Pace, 343 m n. m., (19. 7. 1940, E. Duchoň, PRC). – Vrchlabí, (s. a., J. Kablik, PRC). – Vrchlabí, Horní Lánov, bývalý lom na [Z úpatí kopce] Bíner, 660 m n. m., (18. 5. 1985, J. Čermák, BRNU). **56c. Trutnovské Podkrkonoší:** Mladé Buky u Trutnova, slepencový pískovec, (4. 8. 1906, V. v. Cypers, PR). – Trutnov, (18. 5. 1857, A. Pastor). – Hostinné, permánské slepencové skály, u Vlčic, asi 500 m n. m., Kamenná, Z obce, (8. 8. 1935, A. Z. Hnizdo, PRC). **58a. Zacléřsko:** Zacléř, (1838, s. coll., PR). **58b Polická kotlina:** Velké Petrovice, slínovcové výchozy nad řekou Metuje, asi 400 m SV železniční stanice Police nad Metují, (14. 5. 2001, L. Ekrt, herb. L. Ekrt). – Bezděkov nad Metují, slínovcové výchozy nad silnicí u pohostinství Na Mýtě asi 1 km JZ centra obce, (27. 4. 2002 L. Ekrt, herb. L. Ekrt). – Maršov, Maršovské údolí, opukové skalní výchozy u Poradní skály asi 1,5 km JV centra obce, asi 430 m n. m., (27. 4. 2002, L. Ekrt, herb. L. Ekrt). – Bezděkov nad Metují, u Kozínsku, opukové skalní výchozy nad pohostinstvím Na Mýtě, asi 1,2 km JJJ od kostela v obci, asi 430 m n. m., (27. 4. 2002, L. Ekrt, herb. L. Ekrt). – Machov, pod kopcem Bor, opukový skalní výchoz v květnaté bučině asi 1,5 km J od kostela v obci, asi 580 m n. m., (25. 4. 2002, L. Ekrt, herb. L. Ekrt). – Machov, stará zeď na hřbitově, 500 m n. m., (1943, B. Kašpar, PRC). **58c. Broumovská kotlina:** Broumov, (s. a., s. coll., PRC). **59. Orlické podhůří:** Šediviny, svorové skalní výchozy, skalní sruby asi 1,2 km JZ osady, asi 550 m n. m., 50°17'56.72"N,

16°17'32.21"E, (29. 9. 2002, L. Ekrt, herb. L. Ekrt). – Skuhrov nad Bělou, obvodová hradní zeď zříceniny Nového hradu (Klečkov), asi 3,5 km SV centra obce, asi 480 m n. m., 50°15'10.99"N, 16°19'19.63"E, (29. 9. 2002, L. Ekrt, herb. L. Ekrt). – Lipí, na skalce v údolí Metuje, 1 km JZ obce, (1. 3. 2003, L. Ekrt, herb. L. Ekrt). – Nové Město n. Met., Pekelské údolí při lesní cestě z Pekla do obce podél řeky Metuje, stinné fylitové skály, (8. 7. 1956, L. Mühlstein, PR). – Nové Město n. Met., na kamenné hrázi Metuje ve V části města, (1. 7. 1967, K. Kičan, PR). – Nové Město n. Met., v údolí Metuje mezi obcí a osadou Peklo, (25. 5. 1969, K. Krčan, PR). – Nové Město n. Met., osada Peklo, na skále Koníček, (5. 7. 1955, s. coll., PR). – Nové Město n. Met., ve zdi studně Z Sendraže, 500 m n. m., (6. 6. 1941, J. Šourek, PR). – Nové Město n. Met., na skále Koníčku v lese V Přibyslaví, 450 m n. m., (18. 8. 1941, J. Šourek, PR). – Náchod, na skále v údolí Pekla, (18. 9. 1908, E. Baudyš, PR). – [Skuhrov nad Bělou], hrad Klečkov na Bělé, (5. 7. 1929, J. Mikeš, PRC). – Kozlaře, pod Olešenkou (28. 6. 1929, J. Mikeš, PRC). **60. Orlické opuky:** Val, valské lesy pod obcí Zákraví, asi 350 m. n. m., (s. a., V. Krejcar, PR). – Kostelec n. Orl., v lese na vrchu Kaprad' pod Potštejnem u obce, asi 500 m n. m., (7/1966, J. Dostál, PR). – Vamberk, ve zdivu mostů u silnice směrem k Libětějnu, (1927, Knebllová, PR). – Val, lesy pod obcí Zákraví, na mokvavých stinných skalách, 350 m n. m., (8/1951, V. Krejcar, PRC). – Potštejn, v lesích u obce, (1882, F. Studnička, PR). **62. Litomyšlská pánev:** Litomyšl, na zdech v obci Sloupnice, (1896, B. Fleischer, PR). **63a. Žambersko:** Litice n. Orlicí, obvodová zeď zříceniny hradu Litice u obce, asi 445 m n. m., 50°5'7.42"N, 16°21'5.84"E, (22. 9. 2002, L. Ekrt, herb. L. Ekrt). – Hnátnice, údolí Tiché Orlice, 370 – 400 m n. m., (26. 9. 1941, K. Domin, PRC). **63c. Střední Poorličí:** Choceň, Peliny, (25. 8. 1943, P. O. Pechouš, PRC). – Ústí nad Orlicí, opuková skalka v lese u [osady] Bezpráví [asi 5 km SZ obce, v údolí Tiché Orlice], (15. 8. 1874, J. Reitmayer, PR). **63d. Kozlovská vrchovina:** Česká Třebová, bučiny na Jelenici, 559 m n. m., (30. 6. 1942, K. Domin, PR). – Česká Třebová, v lese na Jelenici, (19. 8. 1892, F. Maloch, PRC). – Strakov, v lese u obce, (10/1907, J. Obdržálek, PRC). **63g. Opatovské rozvodí:** Svitavy, (s. a., P. Schreiber, PRC). **63i. Hřebečovská vrchovina:** Kočlív, V svahy nad bývalými doly asi 2 km S osady Hřebeč, opuková sut', asi 600 m n. m., 49°45'48"N, 16°35'01"E, (3. 9. 2002, K. Sutorý, BRNM). **64b. Jevanská plošina:** Kostelní Střímělice, vrch Skalka, (29. 5. 1945, s. coll., PR). **65. Kutnohorská pahorkatina:** [Kutná hora], údolí Vrchlice, skalnatý břeh Velkého rybníka, (10. 7. 1943, s. coll., PR). – [Kutná hora], Malešov, hadcová skála u panské pily, (3. 5. 1943, J. Vepřek, PRC). – Štíty a Zibohlavy, vápencové skály v údolí Pekelského potoka mezi obcemi, (4/1920, V. Vlach, PRC). – Kolín, na serpentinitových skalách nad tokem Drahobudického potoka proti železniční zastávce Bečváry, 320 m n. m., (13. 7. 1978, J. Hadinec, P. Kovář, PRC). – Jenemark, rulové skály u údolí Vrchlice u obce, (26. 6. 1942, I. Vepřek, PRC). **66. Hornosázavská pahorkatina:** Česká Bělá, údolí potoka Bělé, na tarase pod velkostatkem, (12. 9. 1940, Fiedler, PRC). – Uhlířské Janovice, Sudějov, rulový taras na kraji obce, 470 m n. m., (13. 10. 1942, F. Hradec, PRC). – Česká Bělá, zídka parku, asi 530 m n. m., (28. 3. 1981, M. Augustová, BRNU). **67. Českomoravská vrchovina:** Chrbonín, vrch Choustník, na skalách a zdech hradu, 670 m n. m., (14. 4. 1956, J. Kaisler, PR). – Olešnice, (4/1883, F. Clupek, PRC). – Tišnov, pod obcí Husle, na zdech, asi 490 m n. m., (8/1942, J. Suza, PRC). – Litomyšl, na skalce u Lubné, 500 m n. m., (31. 8. 1980, I. Bulva, BRNU). – Obrataň u Tábora, na zdech v obci, 370 m s. m., (5. 8. 1963, J. Ujčík [Plantae Čechoslov. Exs., no 309], BRNU, BRNM). – Drahonín, J JV obce, na hadcových skalkách na levém břehu nepojmenovaného potůčku směrem na zříceninu hradu Košíkov, asi 430 m n. m., (s. a., J. Gill, BRNM). – Strážek, zřícenina hradu Mitrov, 2 km JV obce, na zdivu, asi 440 m n. m., (24. 5. 1991, K. Sutorý, BRNM). – Žďárec, Rojetín, na hadcové skalce v údolí Rojetinského potoka, jehličnatý les, asi 320 m n. m., (27. 8. 1977, J. Saul, BRNM). – Radoškov, údolí vedoucí směrem JV obce na skalách, asi 420 m n. m., 49°16'58"N, 16°18'25"E, (15. 6. 2001, K. Sutorý, BRNM). **68. Moravské podhůří Vysočiny:** Hardegg, rulové výchozy asi 200 m JZ Hardeggské vyhlídky, asi 320 m n. m., 48°51'23.11"N, 15°51'35.43"E, (24. 7. 2002, L. Ekrt, herb. L. Ekrt). – Čížov, sut'ový svah asi 1,5 km Z centra obce, asi 415 m n. m., 48°52'55.50"N, 15°51'6.21"E, (24. 10. 2002, L. Ekrt, herb. L. Ekrt). – Tišnov, Skalička u Drásova, (4/1928, J. Šmarda, PR). – [Tišnov], při potoce ze Železného do Jamného, (25. 4. 1928, J. Šmarda, PR). – Střední Morava, vyprahlé serpentinitové kameny na svahu u obce Mohelno, (16. 8. 1956, I. Klášterský, PR). – Tišnov, na svoru u Jamného, (25. 4. 1928, J. Šmarda, PR). – Mohelno, na serpentinitu, (8/1934, F. Weber, PR). – Mohelno, na serpentínových výchozech nad tokem Jihlavka mezi obcí a Dukovany, 450 m n. m., (11. 7. 1937, Šindelář, PR). – Adamov, (7/ 1874, C. Theimer, PRC). – Adamov, (7/ 1864, C. Theimer, PRC). – Třebíč, Slavice, (1918, V. Krajina, PRC). – Mohelno, (30. 9. 1924, V. Krajina, PRC). – Adamov, žulosienitové skály mezi mostem a Švýcárna v Josefovském údolí, (16. 9. 1931, F. Bílý, PRC). – Brno, vápencový ostrůvek u lodní zastávky „Na Skalách“ na S břehu Brněnské přehrady, (27. 7. 1987, J. Unar, BRNU). – Tišnov, Borač, Sokolí skála, (27. 3. 1977, V. Grulich, BRNU). – Brno, zastíněná skalka při lesní cestě z Brna Lesné do Bílovic [nad Svitavou], (20. 7. 1977, J. Unar, BRNU). – Tetčice, asi 50 m JV železniční stanice, asi 300 m n. m., (22. 6. 1978, A. Foralová, BRNU). – Vysoké Popovice, asi 2,2 km V obce, na skále nad potokem Habřina, 370 m n. m., (22. 9. 1978, Z. Schusterová, BRNU). – Vranově nad Dyjí, skalnaté výstupky v listnatém lese na JZ straně v Junáckém údolí, asi 440 m n. m., (8. 5. 1979, D. Mašková, BRNU). – Heroltice u Brna, vápencový ostrůvek, (3. 6. 1969, L. Vaněčková, BRNM). – Helenín, 1 km V Jihlavě, na Helenínské skále, (26. 8. 1965, I. Růžička, BRNM). – Lomnička u Tišnova, (7/1940, J. Novotný, BRNM). – [Vysočany], na hradě Bílovském, (1. 6. 1914, V. Skřivánek, BRNM). – Brno, údolí Svitavy nad Obřany

na skalce u řeky, asi 260 m n. m., (11. 4. 1953, L. Pokluda, BRNM). – Březník, na ostrožně v údolí řeky Oslavy v okolí zříceniny hradu Lamberk, 2,3 km JZ obce, asi 350 m n. m.,  $49^{\circ}09'57''N$ ,  $16^{\circ}10'12''E$ , (22. 7. 2000, K. Sutorý, BRNM). – Hvozdec, vlnká skalka na stráni v soutoku potoků asi 1,6 km VJV od kostela v obci, asi 290 m n. m., (28. 3. 1985, R. Řepka, BRNM). – Tišnov, skály u Doubravníku, 250 m n. m., (2. 10. 1952, F. Černoch, BRNM). – Moravský Krumlov, hadcová step u Mohelna, 300 m n. m., (28. 6. 1956, F. Černoch, BRNM). – Moravské Knínice, na permských skalách na Podhájí při silnici z obce na Chudčice, asi 320 m n. m., (30. 7. 1978, J. Saul, BRNM). – Mohelno, (5/1966, Olejníček, BRNM). – Mohelno, rezervace Mohelenská hadcová step, okolo modře značené turistické značky vedoucí dolů stepí, asi 300 m n. m., (10. 8. 1966, Businský, BRNM). – Babice nad Svitavou, skály v lese nad silnicí asi 500 m SV železniční zastávky, 360 m n. m., (29. 5. 1984, K. Sutorý, BRNM). – Tišnov, hadcové skály nad silnicí u obce Doubravníku, 300 m n. m., (5. 8. 1973, F. Černoch, BRNM). – Babice u Křtin, (s. a., E. Formánek, BRNM). – Mladkov u Boskovic, (s. a., E. Formánek, BRNM). – Brno, Ořešín u Řečkovic, (s. a., E. Formánek, BRNM). – Blansko, Olešná, nad [Svitavou], (s. a., E. Formánek, BRNM). – Adamov, (8. 6. 1991, s. coll, BRNM). – Tišnov, Dolní Loučky skály pod viaduktem železnice, (9. 11. 1953, J. Dvořák, BRNM). – Vevčice, svahy na P břehu v ohbí Jevišovky 700 m Z obce, asi 300 m n. m., (13. 6. 1978, K. Sutorý, BRNM). – Tišnov, Dřínová [2 km SZ obce] na JV svahu pod vrcholem jeskyně, asi 350 m n. m., (s. a., J. Gill, BRNM). **69a. Železnohorské podhůří:** Mezihoří J Chrasti, v zídce u dráhy, asi 300 m n. m., (31. 5. 1942, R. Hendrych, PR). – Rychmburk, zeď nad cestou u obce, 450 m n. m., (8. 9. 1940, M. Kroulík, PRC). – [Skuteč], Rychmburk, na skalách v údolí, (5. 8. 1913, Volc, PRC). – Skuteč, na žulových skalách u lomu pana Vamberského před lesem Horkami Z obce, asi 420 m n. m., (26. 7. 1939, M. Pulchart, PRC). – Dolany, na pískovci v Pivnické rokli mezi obcí a Zderazem, asi 400 m n. m., (19. 8. 1941, M. Pulchart, PRC). – Dolany, na pískovci v Pivnické rokli mezi obcí a Zderazem, asi 400 m n. m., (12. 8. 1941, M. Pulchart, PRC). **69b. Sečská vrchovina:** Železné hory, v lese mezi Cítkovem a Vápenným Podolem, asi 450 m n. m., (2. 5. 1942, R. Hendrych, PR). – Seč, na zdech ve zřícenině hradu Ohebu na Chrudimce, (9. 7. 1939, M. Pulchart, PRC). – Krouna, Vápenky na vápenatých skalách asi 1,8 km V obce, asi 550 m n. m. (17. 6. 1989, P. Bureš, BRNM). **70 Moravský kras:** Nové Dvory, vápencové skály na Salmově stezce v Pustém žlebu, asi 500 m ZSZ od horní vyhlídky do Macochy, 400 m n. m., (6. 5. 2001, L. Ekrt, herb. L. Ekrt). – Vilémovice, vápencové skály nad silnicí asi 1,5 km ZSZ centra obce, 340 m n. m., (6. 5. 2001, L. Ekrt, herb. L. Ekrt). – Blansko, Pustý žleb, (7/1921, J. Šmarda, PR). – Pustý žleb, vápencové skály nad cestou u ústí potůčku do Punkvy asi 0,7 km ZJZ vchodu do Punkevní jeskyně, asi 360 m n. m., (18. 5. 2002, L. Ekrt, herb. L. Ekrt). – Pustý žleb, vápencové skály nad cestou asi 250 m SSV od rozcestí turistických cest Pod Salmovkou, asi 420 m n. m.,  $49^{\circ}22'33.34''N$ ,  $16^{\circ}43'23.66''E$ , (22. 7. 2002, L. Ekrt, herb. L. Ekrt). – Pustý žleb, vápencové skály nad cestou asi 500 m SSV od rozcestí turistických cest Pod Salmovkou, asi 440 m n. m., (22. 7. 2002, L. Ekrt, herb. L. Ekrt). – Sloup, vápencové výchozy u vstupu do Sloupsko-Šošuvské jeskyně, asi 465 m n. m.,  $49^{\circ}24'37.91''N$ ,  $16^{\circ}44'18.93''E$ , (22. 7. 2002, L. Ekrt, herb. L. Ekrt). – Blansko, na vápencových skalách u vývěrů Punkvy, (19. 8. 1955, J. Soják, PR). – Sloup, vyprahlé údolí, (12. 7. 1909, W. Aurich, PR). – Vilémovice, na vápencových skalách v lese v údolí Suchý Žleb, 420 m n. m., (10. 7. 1943, J. Dostál, PR). – Brno, Maloměřice, na vápencovém skalnatém svahu Hády, 400 m n. m., (6/1965, J. Dostál, PR). – [Vilémovice], na vápencových skalách v Suchém Žlebu, u Kateřinské jeskyně, 450 m n. m., (14. 7. 1944, J. Dostál, PR). – Blansko, Pustý žleb, na vápencových skalách v lese na dně žlebu pod Punkevní jeskyní, 335 m n. m., (8. 7. 1942, J. Dostál, PR). – Blansko, na vápencových skalách v údolí Suchého Žlebu pod Skalním mlýnem, 330 m n. m., (8. 7. 1942, J. Dostál, PR). – [Adamov, Josefovské údolí], skály u Býčí skály, (7/1879, J. Bubela, PRC). – Křtiny, Josefovské údolí, (5. 1. 1936, F. Bílý, PRC). – Adamov, Josefovské údolí, u chodníku nad Evinovou jeskyní, (26. 7. 1935, F. Bílý, PRC). – Ostroh, na vápencových skalách u jeskyně Balcarka, (21. 7. 1973, V. Skalický, PRC). – Suchý žleb u Ostrova, vápencové skalky, (16. 8. 1936, F. Bílý, PRC). – Vilémovice, na stráni proti obci nad silnicí k Macoše, skalky v Suchém žlebu, (28. 9. 1936, F. Bílý, PRC). – Vilémovice, Suchý žleb, u skalky proti silnici Suchý žleb - Macocha na pokraji lesa, (19. 8. 1934, F. Bílý PRC). – Vilémovice, Suchý žleb, u skalky proti silnici Suchý žleb - Macocha na pokraji lesa, (7. 10. 1936, F. Bílý PRC). – Blansko, Pustý žleb, (27. 4. 1947, F. Slavoňovský, BRNU). – Blansko, dno Macochy, (27. 4. 1947, F. Slavoňovský, BRNU). – Moravský kras, Pustý žleb, (1961, J. Šmarda, BRNM). – [Vilémovice], u soutěsky v Suchém žlebě, 225 m n. m., (2. 4. 1950, D. Novák, BRNM). – Pustý žleb u Macochy, (29. 7. 1958, J. Horňanský, BRNM). – Blansko, [Pustý] žleb, (s. a., J. Vodička, BRNM). – Blansko, na vápencových skalách v Pustém žlebu u Macochy, (30. 8. 1947, F. Šmarda, BRNM). – Blansko, vápencové skály v Suchém žlebu u Macochy, 370 m n. m., (2. 4. 1950, F. Černoch, BRNM). – Křtiny, Josefovské údolí nedaleko obce, vápencová skála po pravé straně silnice z Křtin do Adamova, smíšený les, exp. J, 450 m n. m., (31. 8. 1976, I. Novotný, BRNM). – Blansko, skály u Ostrova, (s. a., E. Formánek, BRNM). – Blansko, na dně propasti Macocha, 137 m n. m., (2. 6. 1946, J. Šmarda, BRNM). – Adamov, okolí jeskyně Býčí skála, 3 km SV obce, 380 m n. m., (29. 5. 1990, K. Šindelářová, BRNM). – [Vilémovice], zarostlá suť na V svahu Suchého žlebu u Kateřinské jeskyně, asi 400 m n. m., (20. 8. 1987, J. Müller, BRNM). – Ostrov u Macochy, Pustý žleb, asi 1,5 km Z obce, asi 460 m n. m., (17. 8. 1978, K. Sutorý, BRNM). – Ochoz u Brna, Lysá hora, 1 km JJV obce, J svahy údolí Říčky, 380 m n. m., (8. 5. 1977, K. Sutorý, BRNM). – Brno, Klajdovka, (s. a., E. Formánek, BRNM).

**71a. Bouzovská pahorkatina:** Mladeč u Litovle, pod tzv. obeliskem pod [rezervací] Třesín, asi 260 m n. m., (6. 7. 1940, E. Hejný, PRC). – Litovel, skalní štěrbiny v opuštěných lomech na svahu Z obce Střemeničko, (3. 5. 1977, J. Unar, BRNU). – Litovel, vápencový lom SZ Mladče, asi 280 m n. m., (11. 6. 1978, M. Nováková, BRNU). – Mladeč, les Doubrava, 225 m n. m., (24. 5. 1982, I. Teterová, BRNM). **71b. Drahanská plošina:** Jedovnice, vápencové skály nad Propadáním, (28. 10. 1931, F. Bílý, PRC). – Boskovice, [Vratíkovice], Vratíkovský kras, vápencové skalky asi 200 m JZ Vratíkovské jeskyně, (22. 6. 1981, J. Unar, BRNU). – Rousínov, ve skalních štěrbinách ve Vítovickém žlebu, (18. 7. 1930, F. Weber, BRNM). – Vratíkov, vápencové skály v lese v údolí potoka asi 1 km JV obce, stinná místa, asi 450 m n. m., (11. 6. 1991, K. Sutorý, BRNM). – Újezd u Boskovic, na skále, (1888, E. Vlček, BRNM). – Kořenec, vápencové skalky u bývalé vápenky na úpatí Mojeticina v údolí Bělé pod hájovnou, (9. 6. 1955, V. Řehořek, BRNM). – Jedovnice, propadání u obce, zříceninka, (25. 7. 1917, E. Vítěk, BRNM). – Vratíkov, vápencové skály asi 300 m JV obce, 450 m n. m., (22. 6. 1977, K. Sutorý, BRNM). – Újezd u Boskovic, skály u silnice asi 700 m SZ obce, 450 m n. m., (12. 7. 1978, K. Sutorý, BRNM). **71c. Drahanské podhůří:** [Vítovice], Vítovický žleb, asi 290 m n. m., (9. 4. 1914, V. Skřivánek, PRC). – Nemojany, Nemojanské údolí, (1919, V. Skřivánek, BRNM). – [Křtiny], Křtinské údolí poblíž Býčí skály, (5/1970, L. Vaněcková, BRNM). – [Vítovice], Vítovický žleb, (4/1913, V. Skřivánek, BRNM). – Křtiny, na vápencových skalách, (3. 7. 1963, J. Horňanský, BRNM). – [Luleč], Luč u Vyškova, (s. a., E. Formánek, BRNM). – Olomouc, Náměšť [na Hané], hluboké [Terezské] údolí u obce, (1908, J. Otruba, BRNM). – Litovel, skály na Rampachu, (1. 6. 1905, F. Čouka, BRNU). **72. Zábřežsko-uničovský úval:** Šternberk, důl Niedergrund u obce, (7. 5. 1905, F. Čouka, BRNU). **73a. Rychlebská vrchovina:** Petrovice, na skalách pod obcí, 500 m n. m., (12. 7. 1954, L. Heřmanská, PR). – Rejvíz, na skalce 3 km SZ obce, asi 650 m n. m., (17. 7. 1953, L. Pokluda, BRNM). **73b. Hanušovická vrchovina:** Zábřeh, rulové skalky, pod hradem Brníčkem, exp. S, 400 m n. m., (4. 10. 1934, E. Hejný, PRC). – Lupěné, rulové skály mezi obcí a [Dolním] Bušinovem, asi 300 m n. m., (23. 9. 1934, E. Hejný, PRC). – Raškov, Nový hrad, skaliska, (11. 5. 1952, V. Jílek, BRNM). – Výprachtice, zalesněný skalnatý vrch Pláňava, 600 m n. m., JZ svahy, (1954, J. Tušla, PR). **74a. Vidnovsko-osoblažská pahorkatina:** Skorošice, na zdech v obci, 400 m n. m., (20. 7. 1954, Spudilová, PR). – Stará Červená Voda, v lese na vrchu Jelení u obce, 300 m n. m., (5. 7. 1958, J. Bednářová, PR). – Vlčice, na skalách v lese na hoře Kalkberg nad obcí, 770 m n. m., (5. 7. 1954, Heřmanská, PR). – Javorník, spáry zídky v údolí potoka Javorník, (4. 11. 1983, J. Unar, BRNU). – Písečná u Jeseníku, na skalách u jeskyně, asi 460 m n. m., (8. 8. 1956, L. Podluda, BRNM). **75. Jesenické podhůří:** Dobešov, údolí Dobešovského potoka, SSV exp. 440 m n. m., (26. 8. 1967, M. Sedláčková, PR). – Smilov, ve štěrbinách skal u obce, (5. 9. 1926, J. Otruba [Fl. Exs. Reipubl. Boh. Slov., no. 104], PR). – Smilov, na skalách u obce, (8/1929, H. Laus, PRC).

#### Karpatské mezofytikum:

**76a. Moravská brána vlastní:** Nový Jičín, na skalách u obce Štramberk, (11. 10. 1931, K. Krischke, PR). – Hranice, Macůška, vápencové skály, Velká Propast pod obcí Teplice, 300 m n. m. (s. a., J. Dostál, PR). – Štramberk, vrch Kotouč, (s. a., F. Matějíček, PRC). – Štramberg, na skalách na Kotouči, jeskyně Šipka, (28. 9. 1928, K. Krischke, PRC). – Nový Jičín, Štramberk, na vápencovém kopci Bílá hora u obce, (24. 7. 1973, V. Skalický, PRC). – Hranice, v Propasti na skalách ve smíšeném lese nad železniční tratí do Teplic, asi 280 m n. m., (3. 8. 1942, V. Pospíšil, PRC). – Teplice nad Bečvou, skály u obce, (6. 9. 1885, J. Bubela, PRC). – Hranice, spáry vápencových skalek při železniční trati z Hranice na Valašské Meziříčí asi 2 km V stanice Černotín, (17. 7. 1979, J. Unar, BRNU). – Hodslavice u Nového Jičína, (11. 10. 1958, V. Pospíšil, BRNM). – Teplice nad Bečvou, údolí potoka Krkavce, v lese asi 1 km JV obce, 270 m n. m., (7. 6. 1982, K. Sutorý, BRNM). – Štramberk, vrch Kotouč, v okolí jeskyně Šipky na J okraji obce, 540 m n. m., (21. 4. 1981, K. Sutorý, BRNM). – Hranice, (9/1909, F. Petrak, PR). – Hranice, lesy S Opatovic, (9/1911, F. Petrak [PETRAK Fl. Bohem. Morav. Exs., no 602], PR, PRC). – Hranice, na kopci u Sv. Jana, (7/1942, M. Deyl, PR). – Hranice, skalka, útes v lese, (27. 10. 1950, V. Pospíšil, BRNM). **76b. Tršická pahorkatina:** Velká Bystřice, (17. 4. 1904, F. Čouka, BRNU). **77c. Chřiby:** Zástrizly, ve skalnatém korytě potoka nad obcí, 400 m n. m., (27. 7. 1932, H. Zavřel, BRNM, PRC). – Moravany, štěrbiny v pískovci v lomu na Kameňáku u obce, (29. 9. 1933, s. coll., BRNM). **78. Bílé Karpaty lesní:** Svatý Štěpán, stěna železničního mostu, 300 m n. m., (1. 6. 1962, J. Tomášek, G. Zlín, BRNM). **79. Zlínské vrchy:** Provodov, u zříceniny Starý Světlov nedaleko obce, 610 m n. m., (14. 4. 1946, J. Tomášek, BRNM). – Pozděchov, údolí Trubiska, V obce, u cesty ve smrčině, 450 m n. m., (10. 8. 1944, J. Tomášek, BRNM). **80a. Vsetínská kotlina:** Rožnov pod Radhoštěm, v obci Dolní Bečva, (20. 8. 1940, M. Deyl, PR). – Vsetín, Valova skála, [S svah vrchu Snož, V obce], (s. a., J. Bubela, PRC). – Vsetín, Růžďka, kamenitý pískovcový hřeben, vrchu Klenov, asi 650 m n. m., (16. 5. 1943, V. Pospíšil, PRC). – Rožnov pod Radhoštěm, kamenná zídka u hráze přehrady Bystřička, exp. V-SV, 390 m n. m., (21. 9. 1980, P. Drápalová, BRNU). – Vsetín, Růžďka, kamenitý hřeben vrchu Klenov, pískovec, 650 m n. m., (16. 5. 1943, V. Pospíšil, BRNM). – Bystřička u Vsetína, (17. 8. 1903, J. Macháček, BRNM). **80b. Veřovické vrchy:** [Valašské Meziříčí], Jasenice, Valova skála, exp. J., 540 m n. m., (7. 7. 1991, J. Duda, BRNM). **81. Hostýnské vrchy:** [Tesák] na skalách na Smrduté, SZ obce, asi 650 m n. m., (14. 8. 1939, H. Zavřel, PRC). **82. Javorníky:** M. Karlovice, na skalách v lese v údolí Lopušánky v blízkosti obce, 600 m n. m., (7/1963, J. Dostál, PR). – Vsetín, Pulčínské

skály, asi 700 m n. m., (7/1927, G. Říčan [Fl. Exs. Reipubl. Boh. Slov. no. 401], PR). – Nový Hrozenkov, údolí Vranča, pískovcové skály při potůčku ve smrkovém lese S od nové školy, asi 550 m n. m., (28. 5. 1941, V. Pospíšil, PRC). – Velké Karlovice, (7/1941, J. Novotný, BRNM). – Vsetín, Pulčínské skály, (s. a., G. Říčan, BRNM). – Vsetín, Lidečko, Pulčínské skály, (27. 8. 1950, V. Pospíšil, BRNM). – [Halenkov], Čerňanská Kyčera, kamenitý svah u kóty 719 m, (16. 6. 1924, P. Švanda, BRNM). **84a. Beskydské podhůří:** Metylovice, pískovcové boky kopců, Hukvaldy, zřícenina a zdi obory, (27. 8. 1943, F. Talpa, PRC).

#### Oreofytikum:

České oreofytikum: **88a. Královský hvozd:** Hamry, vrchol Ostrý, skály, pod chatou Grosser Osser v rezervaci Ostrý, asi 3 km VJV osady Hamry, 1 276 m n. m., 49°12'12,3"N, 13°6'37,7"E, (14. 10. 2002, L. Ekrt, herb. L. Ekrt). **88b. Šumavské pláně:** Stožec, Stožecká kaple, žulové skály v rezervaci Stožecká skála, asi 100 m JZ Stožecké kaple, asi 960 m n. m., 48°52'25,8"N, 13°49'17,8"E, (15. 10. 2002, L. Ekrt, herb. L. Ekrt). **89. Novohradské hory:** Novohradské hory, Německý Benešov [Benešov nad Černou], (4. 7. 1938, J. Veselý, PRC). **90. Jihlavské vrchy:** Telč, Lhotka, rulové výchozy na zřícenině hradu Štamberk, (30. 7. 2002, L. Ekrt, herb. L. Ekrt). – Telč, [Lhotka] svah asi 30 m pod zříceninou hradu Štamberka, asi 600 m n. m., (24. 4. 1982, A. Dittrichová, BRNU). **91. Žďárské vrchy:** Samotín, na rozvalině pod vrchem Teplá v obci, Z obce Sněžné, 760 m n. m., (21. 6. 1981, J. Suchý, BRNU). **92a. Jizerské hory lesní:** Frýdlant, čedičové skály na Střížovém vrchu u obce, asi 350 m n. m., (26. 8. 1955, V. Jehlík, PR). – Mníšek u Liberce, vzácně kamenné terase na nádraží, 394 m n. m., (1. 8. 1964, V. Jehlík, PR). **93a. Krkonoše lesní:** Krkonoše, na skalách v Labském údolí, (29. 7. 1896, V. v. Cypers, PR). – Vítkovice u Jizerky, (6. 5. 1904, V. v. Cypers, PR). – Příchovice, fylitová skaliska na J svahu, 804 m n. m., (21. 7. 1950, J. Duška, PRC). – [Velká Úpa], Červený vrch [V obce], (30. 10. 1927, O. Leneček, PRC). **93b. Krkonoše subalpínské:** Obří důl v Krkonoších, (s. a., s. coll. PRC). **93c. Rýchory:** Horní Maršov, V obce, (4. 5. 1971, Kozlová, BRNM). – Horní Maršov, Rýchory, (10. 11. 1902, J. v. Sterneck, PRC). **97. Hrubý Jeseník:** Velká kotlina, v ledovcovém údolí, asi 1300 m n. m., (5. 8. 1949, M. Deyl, PR). – Rýmařov, na skalách u obce Janovice, 600 m n. m., (15. 8. 1886, A. Schierl, PR).

Karpatské oreofytikum: **99a. Radhošťské Beskydy:** Frenštát, mezi kameny v lese při cestě z obce k lanovce na Pustevny, (1961, R. Kurka, CB). – Rožnov pod Radhoštěm, balvany na pasece, při cestě z obce na Radhošť, (29. 7. 1943, M. Pulchart, PRC).

#### Nelokalizovatelné:

Čížkov, (1823, F. Fischer, PRC). – Krkonoše, (18. 6. 1855, A. Paster, PR). – Střenice, studánka na horním konci obce, (12. 8. 1898, F. Zörnig, PR). – Střenice, studánka na horním konci obce, (12. 8. 1898, B. Fleischer, PRC). – Údolí Kocáby, skalisko u kóty 286, (9. 7. 1952, s. coll., PR). – Rolín, na skále nad pekelským mlýnem, (18. 8. 1897, s. coll., PR). – Závist, skály nad obcí, (6/1882, K. Vandas, PR). – Mladá Boleslav, Hillerova stráň, (23. 10. 1896, J. Podpěra, PR). – Posázaví, Kamenice, údolí Cábnic, (8/1960, M. Lhotská, PR). – Radotín, (30. 3. 1915, s. coll., PR). – Bouč, (14. 4. 1888, V. Vlček, PR). – Hluboká, kamenité stráně u obce, (4. 7. 1886, s. coll., PR). – Radotín, (1887, Bauer, PRC). – Krkonoše, (s. a., L. Vinklář, PRC). – České středohoří, vrchol Ralská, (24. 8. 1929, J. Mikeš, PRC). – Jestřebí, (s. a., J. Mikeš, PRC). – Východní čechy pod zříceninou B. Rumburka, (20. 7. 1929, J. Mikeš, PRC). – Proseč, amfibolitový Pánův kopec, (20. 7. 1927, R. Cimprich, PRC). – Opuštěný lom Na Pomezí, (22. 5. 1967, Janáčková, PRC). – Třinec, ve vápencovém lomu, (20. 6. 1940, S. Trapl, PRC). – Brno, mez pod Mordovnou, (s. a., E. Formánek, BRNM). – Levín, v lesích, (23. 7. 1940, K. Hošic, PRC). – Orlické hory, u řeky Olešenky, (28. 6. 1929, J. Mikeš, PRC). – Náchod, údolí Metuje, (22. 8. 1929, J. Mikeš, PRC).

## *Asplenium trichomanes* subsp. *pachyrachis*

#### Termofytikum:

České termofytikum: **8. Český kras:** Srbsko, vlhká a zastíněná vápencová skála v háji v údolí Kačáku, (25. 5. 1961, I. Klášterský, PR).

Panonské termofytikum: **17b. Pavlovské kopce:** Bavory, vápencové výchozy v rezervaci Kočičí skála asi 1,2 km JV od kostela v obci, asi 345 m n. m., 48°49'579"N, 16°38'506"E, (5. 4. 2002, L. Ekrt, herb. L. Ekrt). – Horní Věstonice, vápencové skály, Martinské stěny asi 1,2 km JV od kostela v obci, asi 370 m n. m., (5. 4. 2002, L. Ekrt, herb. L. Ekrt). – Děvín, vápencové výchozy v údolí Soutěška asi 0,75 km JZ vrcholu kopce, asi 370 m n. m., 48°51'821"N, 16°38'602"E, (5. 4. 2002, L. Ekrt, herb. L. Ekrt). – Děvín, (5/1921, S. Trapl, PRC). – Horní Věstonice, [Martinské stěny], vápencové skály pod Špuntem, (8. 4. 1980, K. Sutorý, BRNM). – Kletnice, vápencové skály pod zříceninou Sirotčího hrádku asi 0,4 km SZ od kostela v obci, asi 430 m n. m., 48°50'714"N, 16°38'415"E, (5. 4. 2002, L. Ekrt, herb. L. Ekrt).

#### Mezofytikum:

Českomoravské mezofytikum: **70. Moravský kras:** Adamov, jeskyně Jáchymka v Josefovském údolí asi 2 km JZ železniční stanice Adamov, asi 300 m n. m., (5. 5. 2001, L. Ekrt, herb. L. Ekrt). – Pustý žleb, vápencové skály nad cestou asi 500 m SSV rozcestí turistických cest Pod Salmovkou, asi 440 m n. m., (22. 7. 2002, L. Ekrt, herb. L. Ekrt). – Adamov, Josefovské údolí, vápencové skály u Eviny jeskyně, (13. 7. 1935, F. Bílý, PRC). – [Vilémovice], Suchý žleb, (25. 9. 1943, J. Novotný, BRNM). – Blansko, na vápencové skále Hanák u Skalního mlýna, (2. 6. 1946, J. Šmarda, BRNM). –

### *Asplenium trichomanes* subsp. *hastatum*

#### Termofytikum:

Panonské termofytikum: **16. Znojemsko-brněnská pahorkatina:** Malhostovice, vápencový kopeček Pecka, 1 km JZ obce, 320 m n. m., (9. 9. 1981, K. Sutorý, BRNM). **17b Pavlovské kopce:** Klentnice, vápencové skály pod zříceninou Sirotčího hrádku asi 0,4 km SZ od kostela v obci, asi 430 m n. m.,  $48^{\circ}50'714''N$ ,  $16^{\circ}38'415''E$ , (5. 4. 2002, L. Ekrt, herb. L. Ekrt).

#### Mezofytikum:

Českomoravské mezofytikum: **70. Moravský kras:** Pustý žleb, vápencové skály nad cestou asi 500 m SSV od rozcestí turistických cest Pod Salmovkou, asi 440 m n. m., (22. 7. 2002, L. Ekrt, herb. L. Ekrt). – Býcí skála, vápencové výchozy nad vstupem do jeskyně Býcí skála, asi 350 m n. m., (22. 7. 2002, L. Ekrt, herb. L. Ekrt). – Sloup, vápencové výchozy u vstupu do Sloupsko-Šošůvské jeskyně, asi 465 m n. m.,  $49^{\circ}24'37.91''N$ ,  $16^{\circ}44'18.93''E$ , (22. 7. 2002, L. Ekrt, herb. L. Ekrt). – Blansko, Pustý žleb, (27. 4. 1947, F. Slavoňovský, BRNU). – Blansko, dno Macochy, (27. 4. 1947, F. Slavoňovský, BRNU). – Blansko, v Pustém žlebu u Macochy na vápencových skalách, (30. 8. 1947, F. Šmarda, BRNM). – Blansko, na dně propasti Macocha, 137 m n. m., (2. 6. 1946, J. Šmarda, BRNM). – [Vilémovice], holé štěrbiny, podklopené vápencové štěny Čertova mostu v Suchém žlebu, exp. SZ, asi 400 m n. m., (20. 8. 1987, J. Müller, BRNM). **71b. Drahanská plošina:** Konice, na zdi starého kamenného mostu od nádraží, 400 m n. m., (26. 7. 1944, J. Němec, PRC).

Karpatské mezofytikum: **76a. Moravská brána vlastní:** Teplice nad Bečvou, na skalách ve smíšeném lese, nad železniční tratí v Propasti, asi 280 m n. m., (3. 8. 1942, V. Pospíšil, BRNM). **77c. Chřiby:** Buchlovice, obvodová zed' zámku Buchlov asi 6,5 km SSZ od kostela v obci, asi 500 m n. m.,  $49^{\circ}6'27.74''N$ ,  $17^{\circ}18'40.33''E$ , (23. 7. 2002, L. Ekrt, herb. L. Ekrt). **84a. Beskydské podhůří:** Příbor, vzácně ve sklepění zříceniny hradu Hukvaldy, (28. 8. 1932, K. Krischke, PRC).

#### Oreofytikum:

České oreofytikum: **91. Žďárské vrchy:** Pustá Rybná, na zdi u cesty v S okraji obce Světy, asi 560 m n. m., (20. 5. 1989, P. Bureš, BRNM).

### *Asplenium trichomanes* nothosubsp. *lusaticum* (subsp. *trichomanes* × subsp. *quadrivalens*)

#### Termofytikum:

České termofytikum: **4b. Labské středohoří:** [Třebenice, Sutom], na čedičových skalách a na suti kopce Sutomský vrch, (7/1960, I. Klášterský, PR). **7c. Slánská tabule:** Ovčín v Českém Středohoří, droliny, exp. S, asi 300 m n. m., (28. 8. 1930, Šimr, PRC).

Panonské termofytikum: **16. Znojemsko-brněnská pahorkatina:** Čermákovice, na rulových skalách u splavu, 270 m n. m., (23. 8. 1941, J. Horňanský, BRNM, PRC).

#### Mezofytikum:

Českomoravské mezofytikum: **28e. Žlutická pahorkatina:** Manětín, výchozy kyselé břidlice nad Manětínským potokem asi 1,1 km J od centra obce Brdo, asi 375 m n. m.,  $49^{\circ}59'28.12''N$ ,  $13^{\circ}15'37.18''E$ , (4. 9. 2002, L. Ekrt, herb. L. Ekrt). **32. Křivoklátsko:** Rokycany, stinný porost na skále S od Kohoutova mlýna v údolí Zbirožského potoka, (24. 8. 1939, J. Veselý, PRC). **37b. Sušicko-horažďovické vápence:** Horažďovicko, skály na Práchni, (13. 9. 1968, J. Vaněček, CB). **37e. Volyňské Předšumaví:** Zálesí, kamenitá zed' mezi poli, 700m, u domu č. 68, (26. 2. 1976, J. Smažík, CB). **37k. Křemžské hadce:** Holubov, hadcové výchozy u Křemžského potoka v rezervaci Holubovské hadce asi 1 km ZSZ od zříceniny hradu Dívčí kámen, 470 m n. m., (13. 5. 2002, L. Ekrt, herb. L. Ekrt). – Křemže, serpentinové skály u obce, (7. 7. 1870, Čelakovský, PR). **37l. Českokrumlovské Předšumaví:** Boršov nad Vltavou, silikátové skalní výchozy nad levém břehu Vltavy asi 1 km JZ od kostela v obci, asi 410 m n. m., (17. 11. 2001, L. Ekrt, herb. L. Ekrt). – Čes. Krumlov, rulové

a svorové skály těsně u silnice v údolí Vltavy, levý břeh u mostu pod Hašlovicemi (k Zálesu), (22. 6. 1961, Klášterský, PR). **41. Střední Povltaví:** Dobříš, křemencové skály na levém břehu Kocáby, pod kótou 386 u Podleského mlýna, blíže S. Knína, (17. 5. 1961, I. Klášterský, PR). – Solenický meandr, ve skalních štěrbinách pod Orlickou přehradou, 1 km S od kóty 326, (14. 7. 1960, Blažková, CB). – Davle, (18. 6. 1897, J. Wilhelm, PRC). – Čerčany, Pyšely, (6. 6. 1887, Bauer, PRC). – Měchenice, na vltavských skalách, (8/1895, E. Binder, PRC). **42b. Táborsko-vlašimská pahorkatina:** Vlašim, skála po levé straně potoka Chotýšanka u lávky cesty z Onšovic do Chotýšan, 360 m n. m., (6. 10. 1957, V. Zelený, PR). **59. Orlické podhůří:** Peklo, údolí Metuje mezi Náchodem a Novým Městem, (22. 7. 1929, J. Mikeš, PRC). **63j. Lanškroun:** (28. 8. 1881, F. V. M. Klapálek, PR). **65. Kutnohorská pahorkatina:** [Kutná hora], Malešov, na rulových skalách „Na rudě“, (7. 7. 1944, J. Vepřek, PRC). **68. Moravské podhůří Vyšočiny:** Tišnov, skalnatá stráň mezi obcemi Újezd u Tišnova a Dolní Loučky, (3. 5. 1980, J. Horňanský, BRNU). – [Náměšť nad Oslavou], Sedlec, pravý břeh Oslavy 2 km V obce, asi 400 m n. m., (1. 7. 1976, K. Sutorý, BRNM). – Tišnov, [Újezd u Tišnova], V svahu lokality Mírová, nad silnicí, 295 m n. m., (13. 8. 1984, Kalousová, BRNU). **73b. Hanušovická vrchovina:** Šumperk, v lese při silnici mezi Komňátkami a Raškovem, (8. 7. 1920, J. Šmarda, PR). – Zábrěh, skály pod ruinou Brníčka, exp. V, 400 m n. m., (4. 10. 1934, Hejný, PRC). – Šumperk, Vikářovice, (9/1925, O. Leneček, PRC). – Václavov u Šumperka, (1910, F. Schenk, BRNM). **75. Jesnické podhůří:** Hradec nad Moravicí, na skalách Hanuša nad obcí Žimrovice, 400 m n. m., (7/1966, J. Dostál, PR). – Smilov, ve štěrbinách skal u obce, (5. 9. 1926, J. Otruba [Fl. Exs. Reipubl. Boh. Slov., no. 104], BRNM, PR, PRC).

Karpatské mezofytikum: **82. Javorníky:** Vsetín, Pulčínské skály, asi 700 m n. m., (7/1927, G. Říčan [Fl. Exs. Reipubl. Boh. Slov., no. 401], PRC).

Nelokalizovatelné: Konětopy, (s. a., Veber, PRC).

### ***Asplenium trichomanes* nothosubsp. *lovisianum* (subsp. *hastatum* × subsp. *quadrivalens*)**

Termofytikum:

České termofytikum: **8. Český kras:** Svatý Jan pod Skalou, vápencové skály asi 250 m JZ obce, asi 200 m n. m., 49°57'56,2"N, 14°7'47,3"E, (7. 8. 2002, L. Ekrt, herb. L. Ekrt).

Panonské termofytikum: **17b. Pavlovské kopce:** Klentnice, vápencové skály pod zříceninou Sirotčího hrádku asi 0,4 km SZ od kostela v obci, asi 430 m n. m., 48°50'714"N, 16°38'415"E, (5. 4. 2002, L. Ekrt, herb. L. Ekrt).

Mezofytikum:

Českomoravské mezofytikum: **70. Moravský kras:** Adamov, Josefovské údolí, (26. 9. 1922, J. Šmarda, PR). – Pustý žleb, vápencové skály nad cestou asi 250 m SSV od rozcestí turistických cest Pod Salmovkou, asi 420 m n. m., 49°22'33.34"N, 16°43'23.66"E, (22. 7. 2002, L. Ekrt, herb. L. Ekrt). – Pustý žleb, vápencové skály nad cestou asi 500 m SSV od rozcestí turistických cest Pod Salmovkou, asi 440 m n. m., (22. 7. 2002, L. Ekrt, herb. L. Ekrt). – Sloup, vápencové výchozy u vstupu do Sloupsko-Šošůvské jeskyně, asi 465 m n. m., 49°24'37.91"N, 16°44'18.93"E, (22. 7. 2002, L. Ekrt, herb. L. Ekrt). – Býčí skála, vápencové výchozy nad vstupem do jeskyně Býčí skála, asi 350 m n. m., (22. 7. 2002, L. Ekrt, herb. L. Ekrt). – Adamov, Josefovské údolí, vápencové skalky mezi Švýcárniou a Býčí skálou, (20. 10. 1933, F. Bílý, PRC). – Adamov, Josefovské údolí, vápencové skály u Eviny jeskyně, (26. 7. 1935, F. Bílý, PRC). – Macocha, (15. 7. 1947, H. Hlaváčková, PRC). – Blansko, Pustý žleb, (27. 4. 1947, F. Slavoňovský, BRNU). – Blansko, Ostrov u Macochy, dno propasti Macocha, 6,25 km ZSZ obce Blansko, asi 350 m n. m., (16. 5. 2001, K. Sutorý, BRNM). – Blansko, v Pustém žlebu u Macochy na vápencových skalách, (30. 8. 1947, F. Šmarda, BRNM).

Karpatské mezofytikum: **77c. Chřiby (6869d):** Buchlovice, obvodová zeď zámku Buchlov asi 6,5 km SSZ od kostela v obci, asi 500 m n. m., 49°6'27.74"N, 17°18'40.33"E, (23. 7. 2002, L. Ekrt, herb. L. Ekrt).

### ***Asplenium trichomanes* nothosubsp. *staufferi* (subsp. *pachyrachis* × subsp. *quadrivalens*)**

Termofytikum:

České termofytikum: **8. Český kras:** Srbsko, vlhká a zastíněná vápencová skála v háji v údolí Kačáku, (25. 5. 1961, I. Klášterský, PR).

Panonské termofytikum: **17b. Pavlovské kopce:** Bavory, vápencové výchozy v rezervaci Kočičí skála asi 1,2 km JV od kostela v obci, asi 345 m n. m., 48°49'579"N, 16°38'506"E, (5. 4. 2002, L. Ekrt, herb. L. Ekrt). –

***Asplenium trichomanes nothosubsp. moravicum (subsp. hastatum × subsp. pachyrachis)***

Termofytikum:

Panonské termofytikum: **17b Pavlovské kopce:** Klentnice, vápencové skály pod zříceninou Sirotčího hrádku asi 0,4 km SZ od kostela v obci, asi 430 m n. m., 48°50'714"N, 16°38'415"E, (5. 4. 2002, L. Ekrt, herb. L. Ekrt).

Mezofytikum:

Českomoravské mezofytikum: **70. Moravský kras:** Pustý žleb, vápencové skály nad cestou asi 500 m SSV od rozcestí turistických cest Pod Salmovkou, asi 440 m n. m., (22. 7. 2002, L. Ekrt, herb. L. Ekrt).

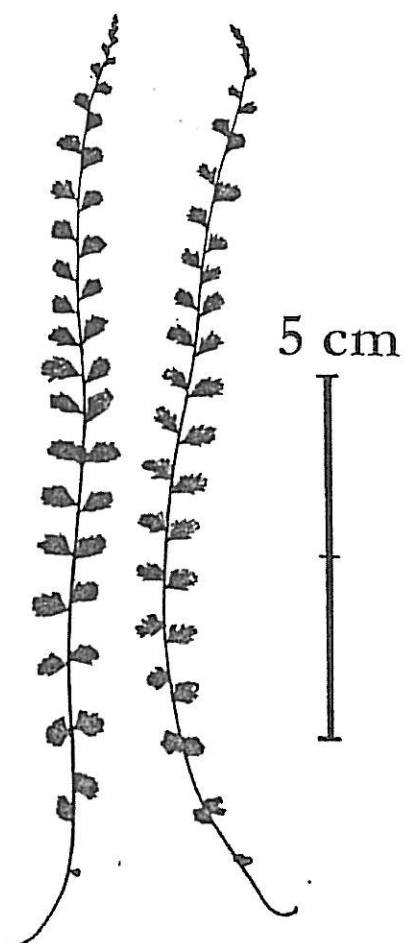
# Příloha 4

## Dokumentační obrázky

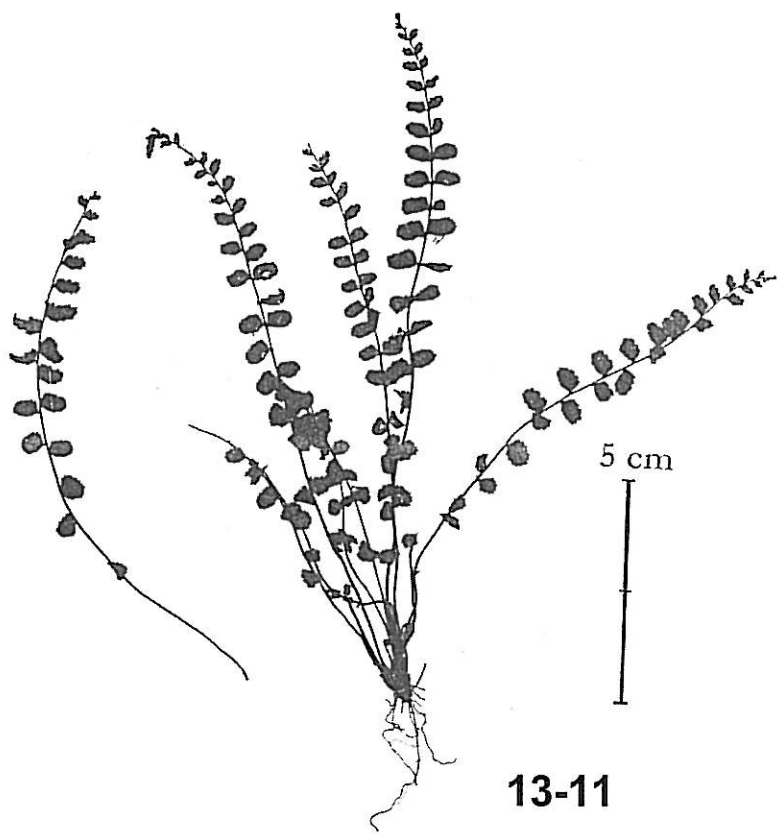
Siluety některých analyzovaných rostlin

Ornamentace povrchu výtrusů u jednotlivých poddruhů  
komplexu *A. trichomanes* agg.

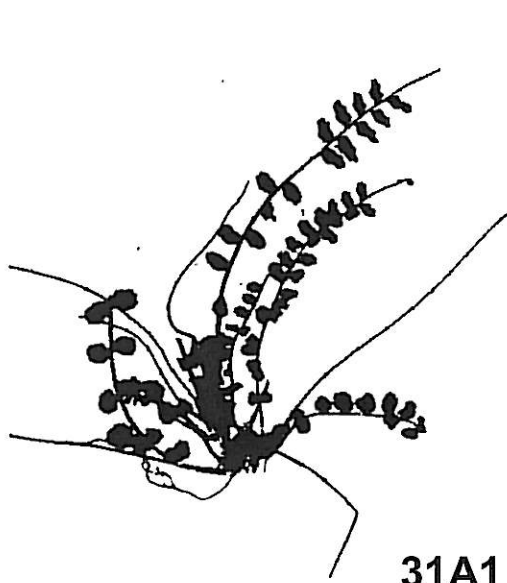
\* Čísla jednotlivých vyobrazených rostlin (lokalita-pořadové číslo rostliny) zobrazují příslušnost rostlin k lokalitám (detailní lokalizace viz Metodika 2.1)



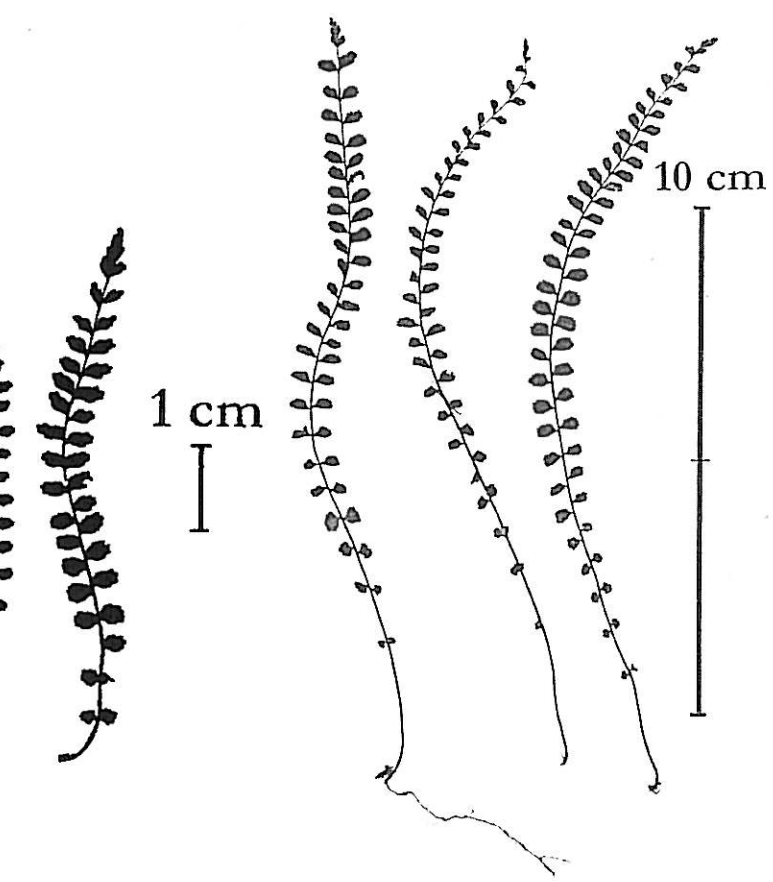
27-3



13-11

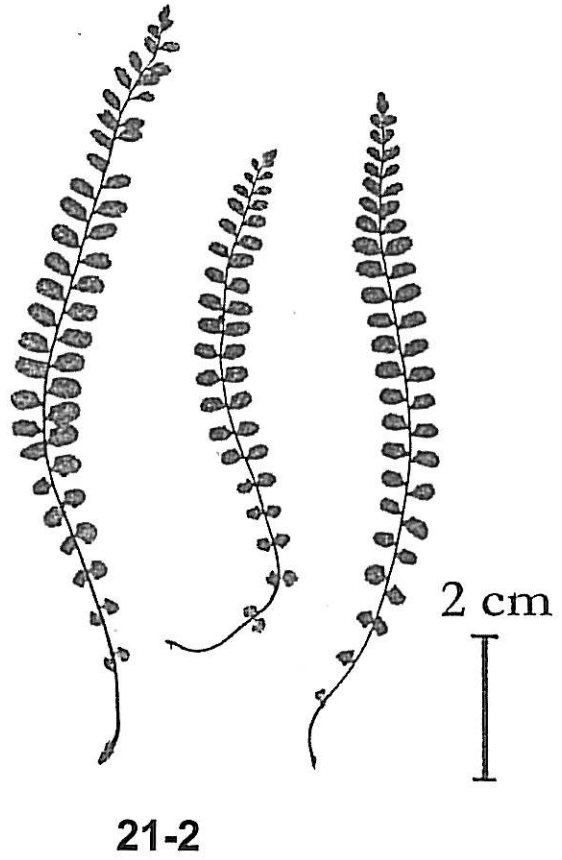


31A1

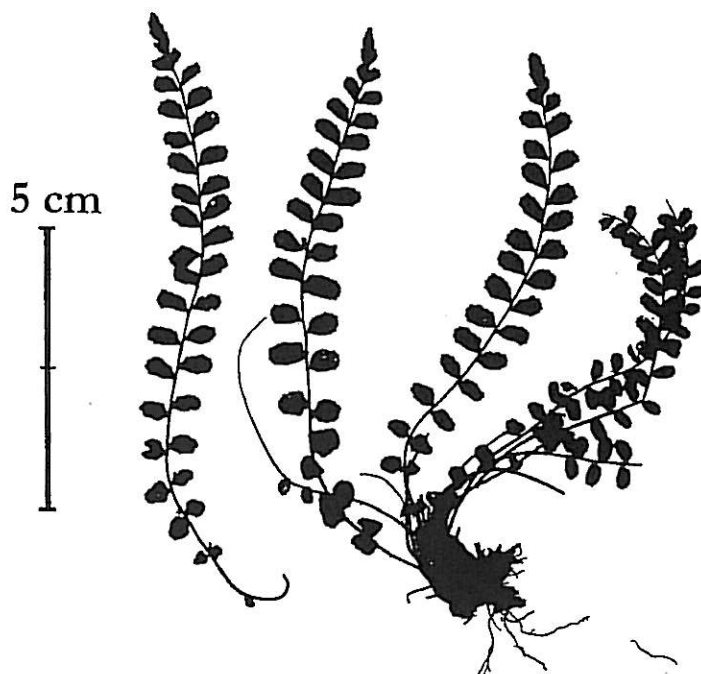
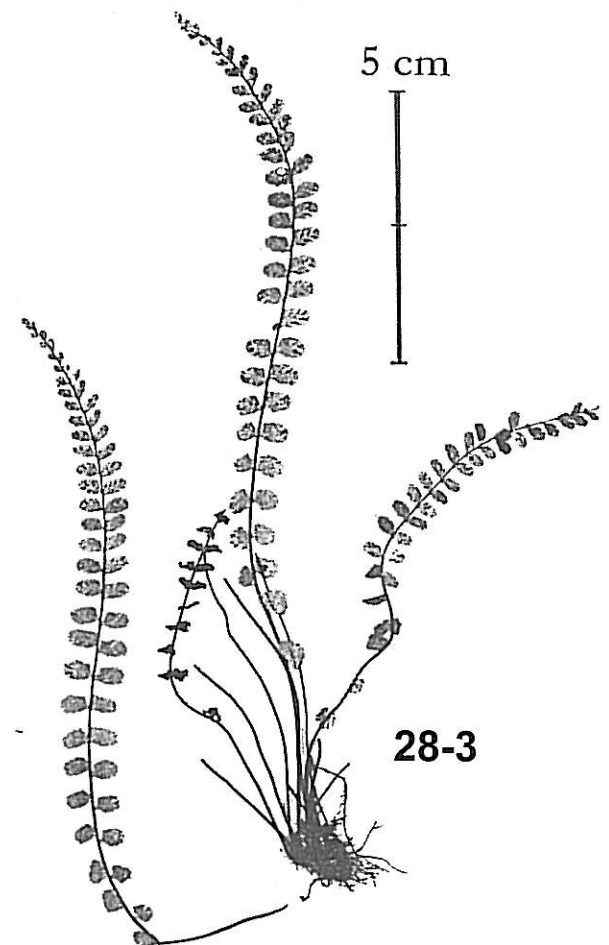


46-2

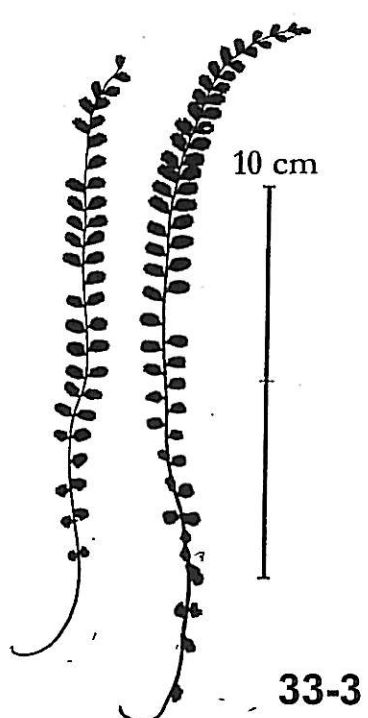
Siliuety Asplenium trichomanes subsp. trichomanes



21-2



41-14

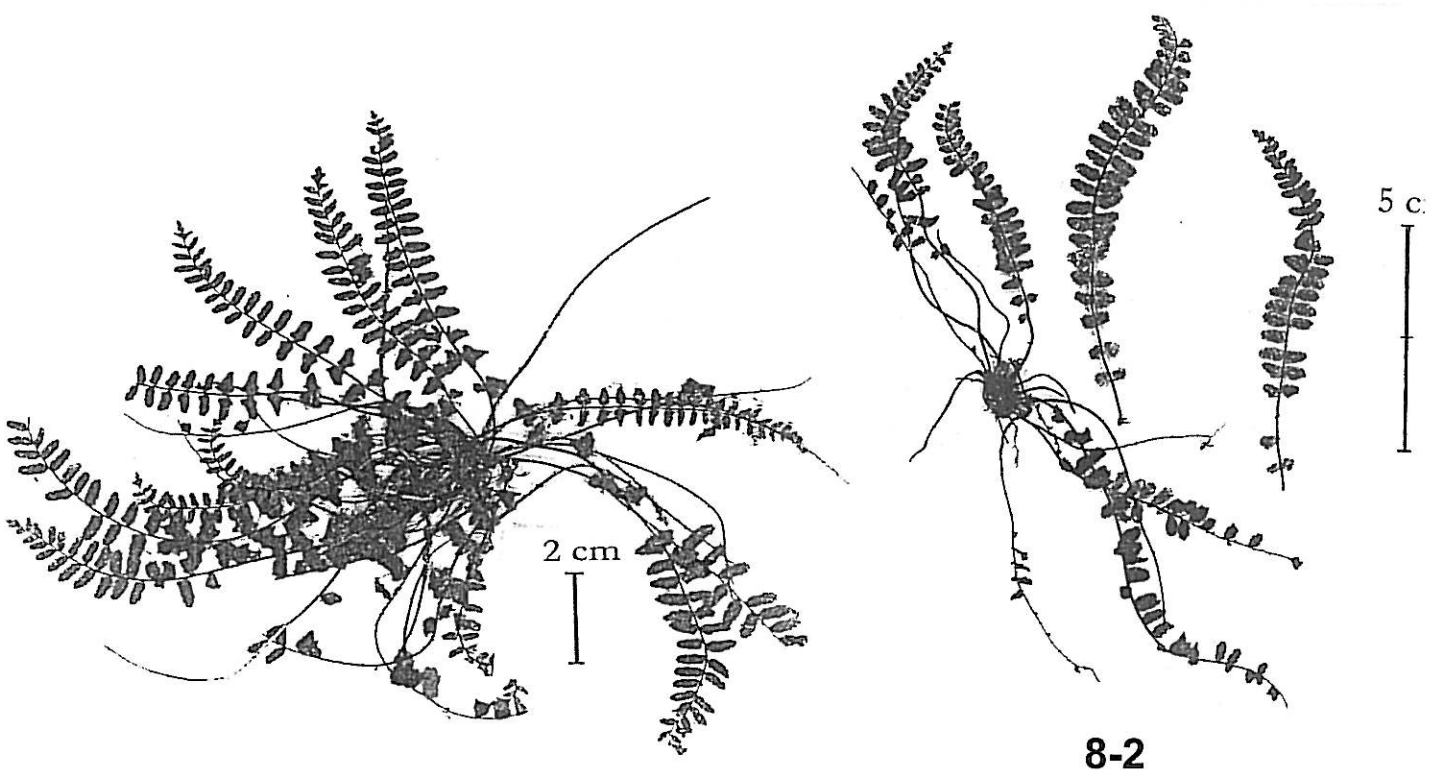


Siluety *Asplenium trichomanes* subsp. *quadrivalens*



7-1

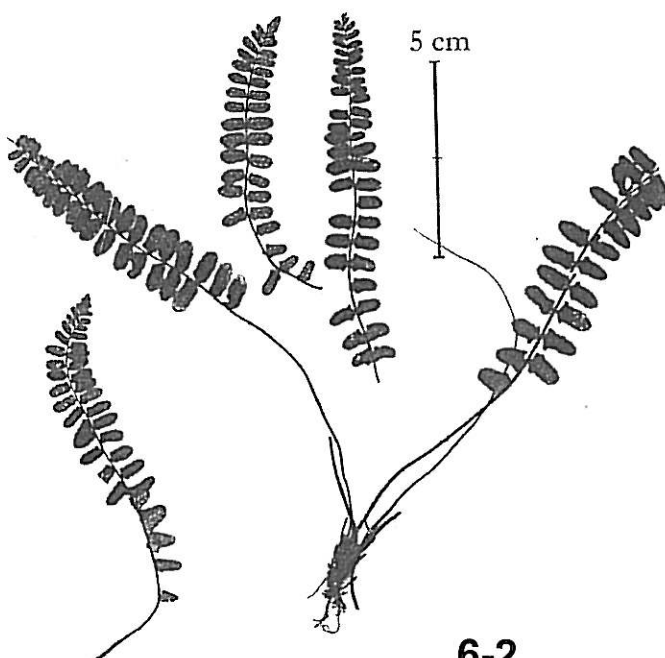
7-2



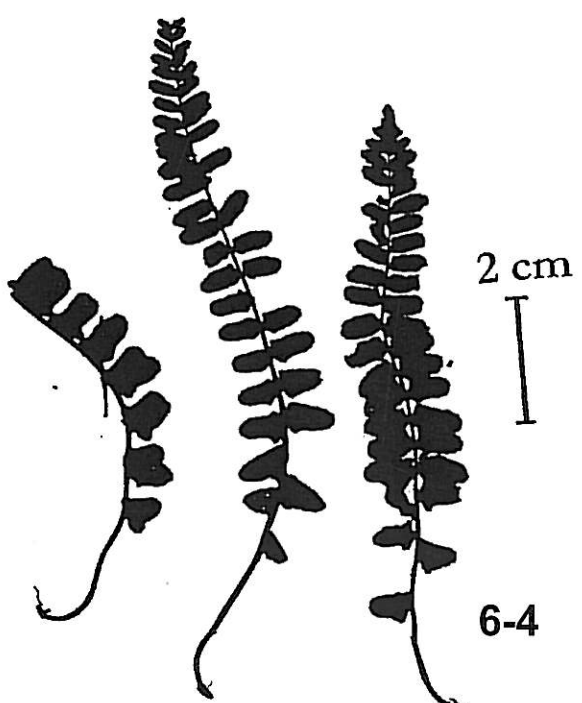
22-1

8-2

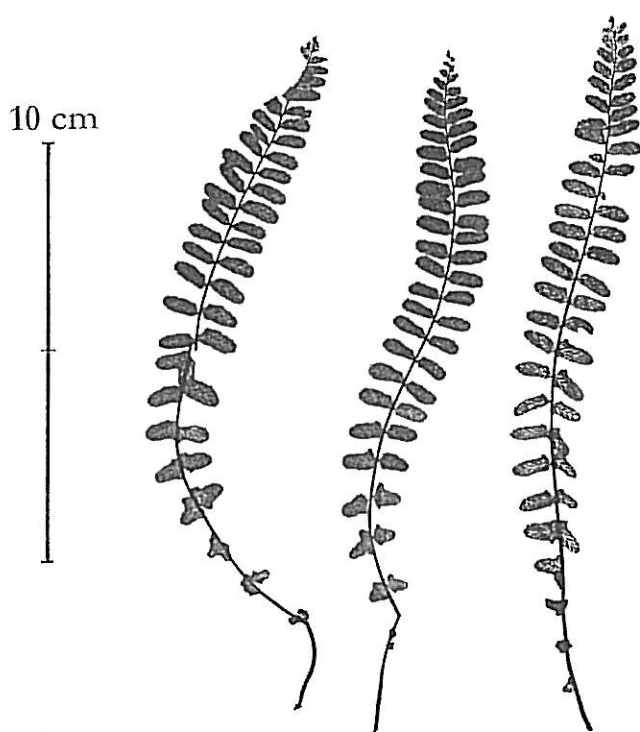
Siluety *Asplenium trichomanes* subsp. *pachyrachis*



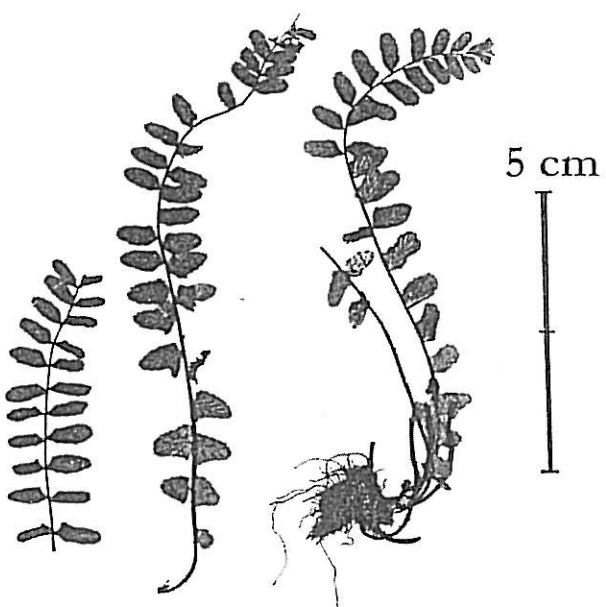
6-2



6-4

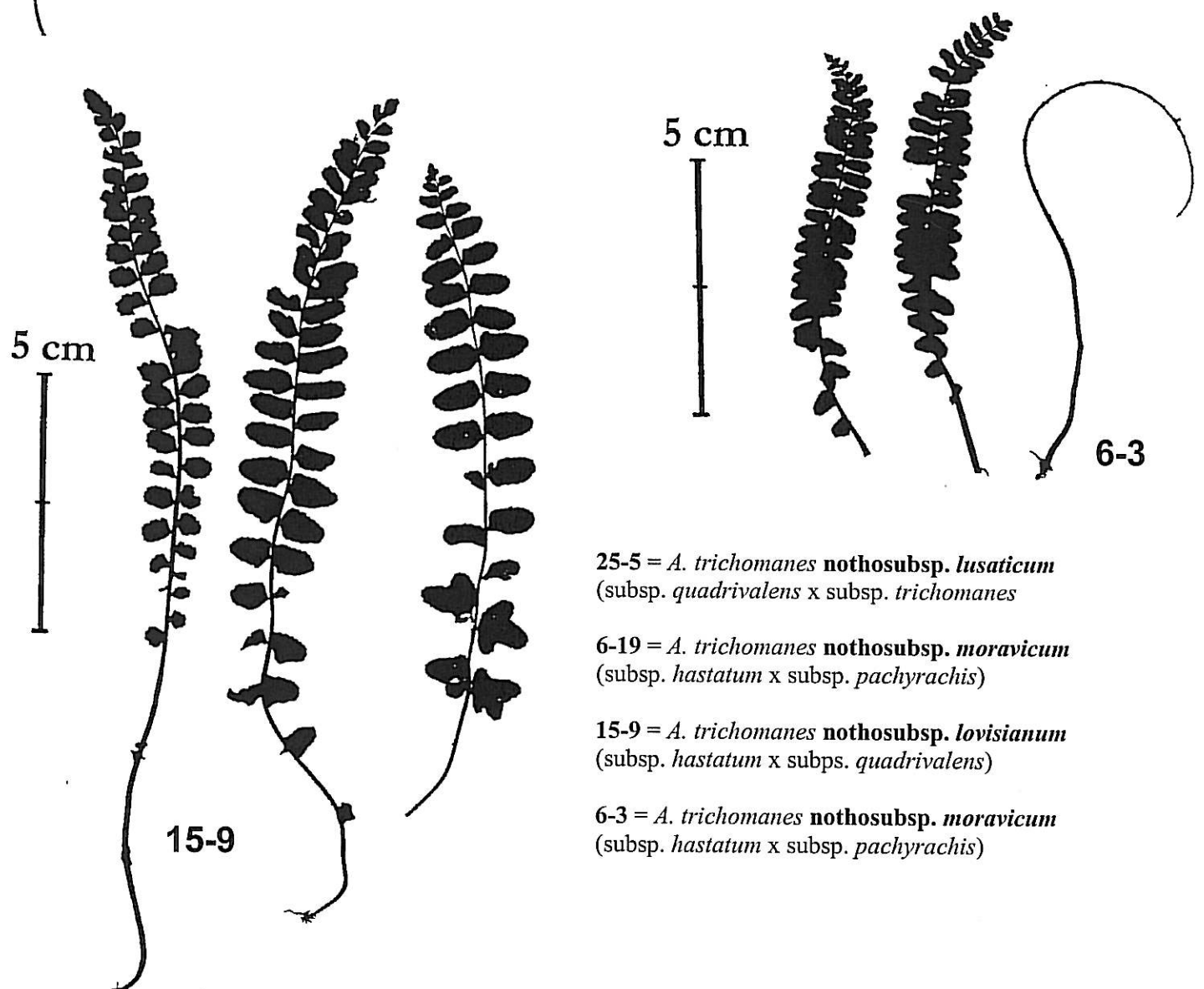
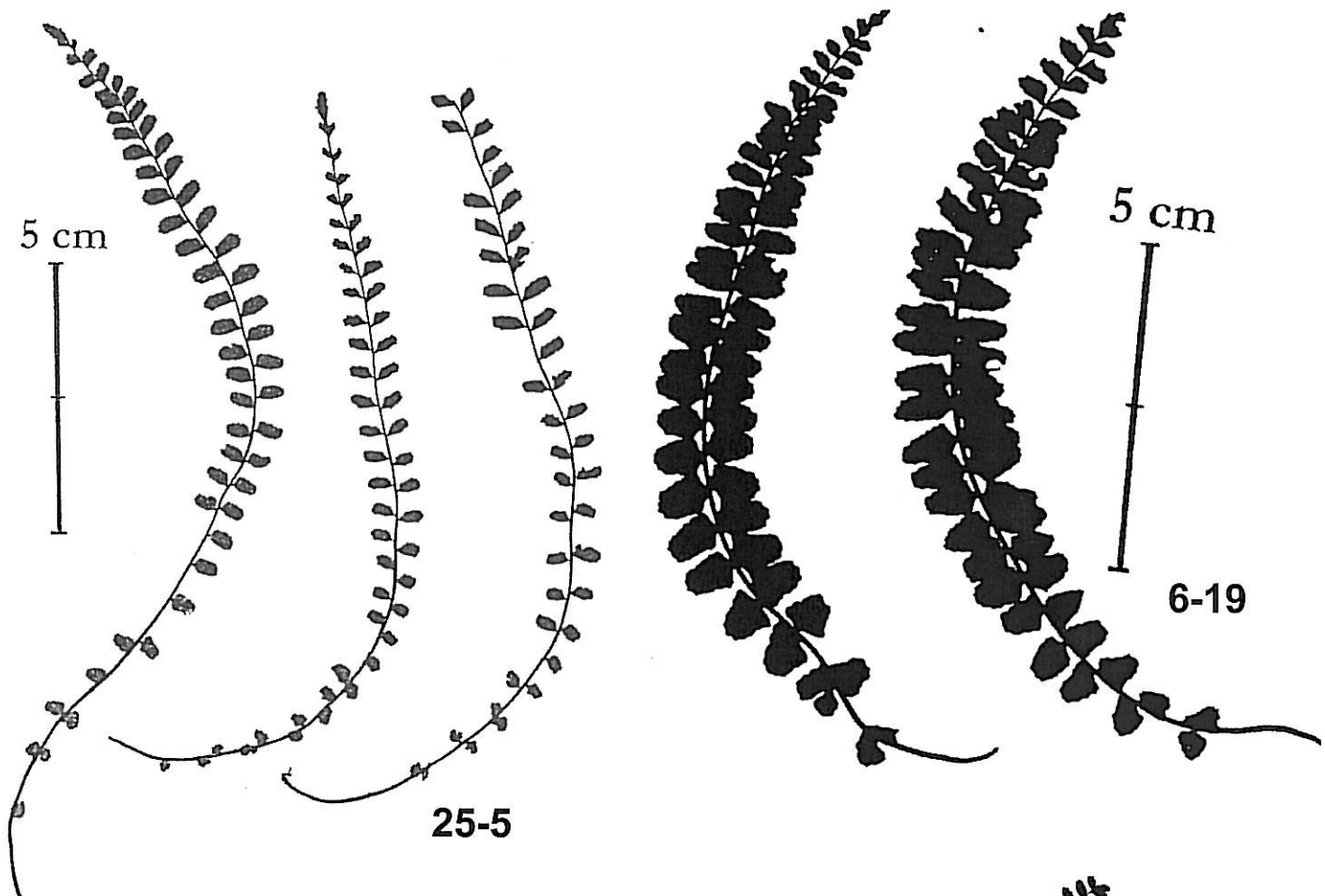


17-1



16-6

Siliuety *Asplenium trichomanes* subsp. *hastatum*

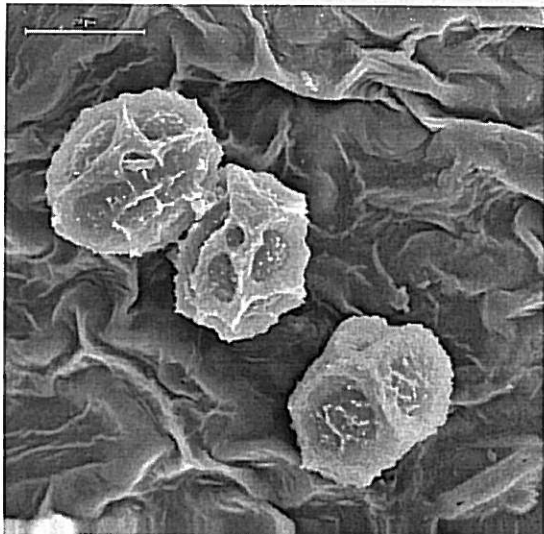


25-5 = *A. trichomanes* nothosubsp. *lusaticum*  
(subsp. *quadrivalens* x subsp. *trichomanes*)

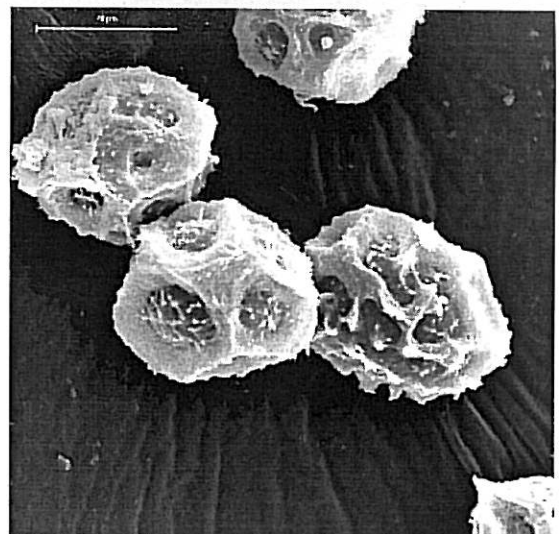
6-19 = *A. trichomanes* nothosubsp. *moravicum*  
(subsp. *hastatum* x subsp. *pachyrachis*)

15-9 = *A. trichomanes* nothosubsp. *lovisianum*  
(subsp. *hastatum* x subsp. *quadrivalens*)

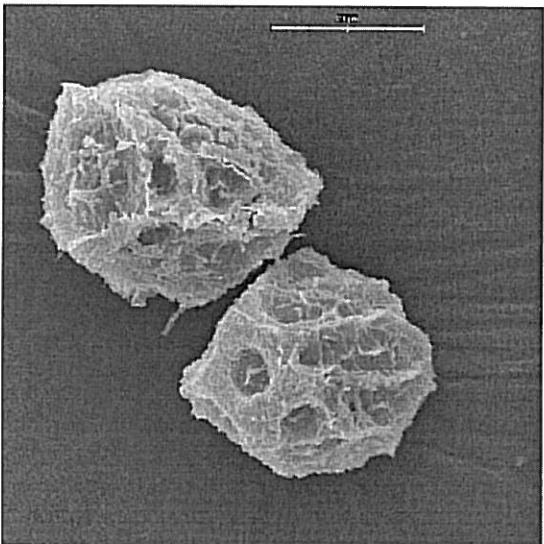
6-3 = *A. trichomanes* nothosubsp. *moravicum*  
(subsp. *hastatum* x subsp. *pachyrachis*)



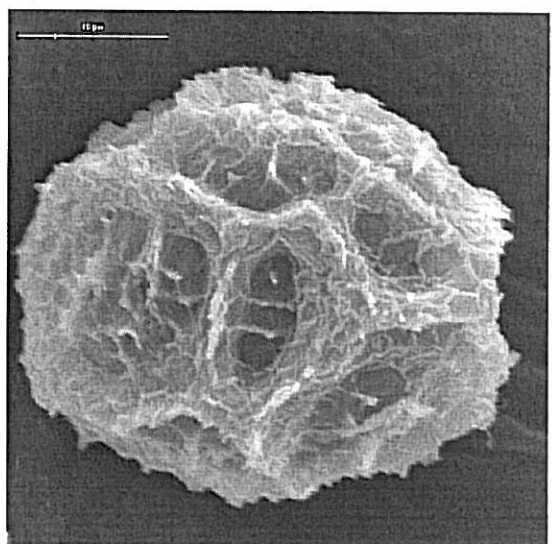
1.



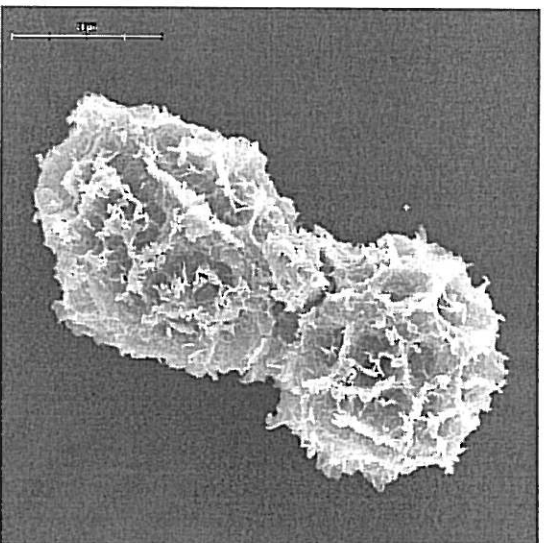
2.



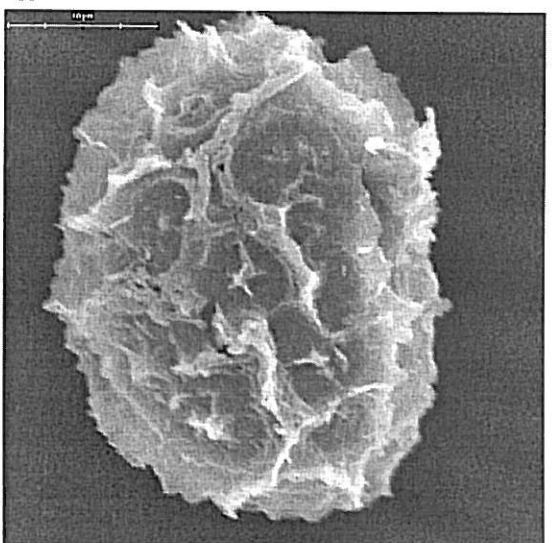
3.



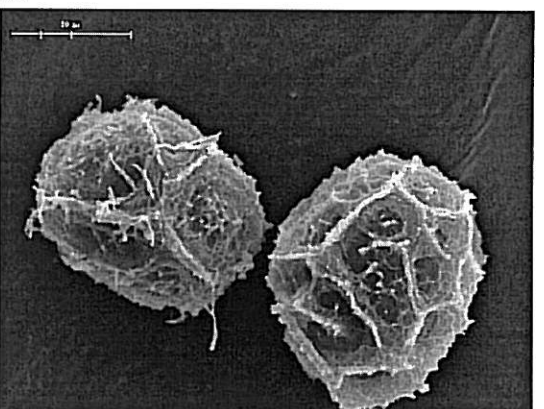
4.



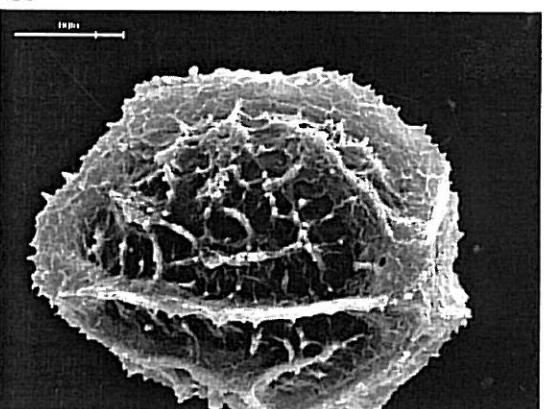
5.



6.



7.



8.

Ornamentace povrchu výtrusu u jednotlivých taxonů komplexu *A. trichomanes* agg. 1–2 = *A. trichomanes* subsp. *trichomanes* (46-2); 2–3 = *A. trichomanes* subsp. *quadrivalens* (33-3); 5 = *A. trichomanes* subsp. *pachyrachis* (8-1); 6 = *A. trichomanes* subsp. *pachyrachis* (7-1); 7–8 = *A. trichomanes* subsp. *hastatum* (16-2). Délka měřítka je 10 µm u obr. 4, 6, 8, a 20 µm u obr. 1, 2, 3, 5, 7. Foto: L. Elert